

عالم الذرة

مجلة هيئة الطاقة الذرية في سورية



- البلورة الإلكترونية المحيرة
- حل النواقل الفائقة فائقة النقل حقاً؟
- أضواء التيتانيا السحرية
- كيف تشكّل الهدروجين الأسود؟
- مضادات الآفات وسرطان الثدي
- انعكاسية أشعة X

أيلول – تشرين الأول 1994

السنة التاسعة

العدد الثالث والثلاثون

تعريف بمنشورات هيئة الطاقة الذرية
Internal & External Publications of the AEC of SYRIA

السعر (ل. س. من داخل سوريا) بالقطن الأجنبي من خارج القطر Price	الشكل	منشورات عامة (معدة للبيع)
15 ل. س. \$ 3	كتيب مطبوع Printed Booklet	1- النظائر المشعة في الحياة اليومية Isotopes in Day Life (ترجمة دائرة الإعلام والترجمة والنشر)
40 ل. س. \$ 9	كتيب مطبوع Printed Booklet	2 - ما يجب أن يعرفه الطبيب الممارس في معالجة المتعرضين للإشعاع . What The General Practitioner (MD) Should Know About Medical Handling of overexposed Individuals . (ترجمة قسم الوقاية والأمان)
100 ل. س. \$ 15	معجم مطبوع Printed Dictionary	3 - معجم المصطلحات العلمية والتقنية في الطاقة الذرية باللغات: العربية - الإنكليزية - الإفرنسية - الإسبانية - الروسية Atomic Energy Glossary of Technical Terms (ترجمة نخبة من المختصين بتكليف من الهيئة)
80 ل. س. \$ 7	كتاب مطبوع Printed Book	4 - مستويات التدخل المقدرة لمواجهة تلوث الطعام بالنظائر المشعة (إرشادات للتطبيق بعد الانتشار الواسع للتلوث الإشعاعي الناتج عن حادث نووي كبير) Derived Intervention Levels for Radionuclides in Food . (ترجمة الدكتور إبراهيم عثمان)
160 ل. س. \$ 15	كتاب مطبوع Printed Book	5 - تشعيع الغذاء (تقنية لحفظ الغذاء وتحسين سلامته) Food Irradiation (A technique for preserving and improving the safety of food) (ترجمة الدكتور نجم الدين شراي)
100 ل. س. \$ 15	كتاب مطبوع Printed Book	6 - المثل العليا والواقع مقالات مختارة للأستاذ محمد عبد السلام Ideals and Realities, Selected. Essays of Abdus Salam (ترجمة الدكتور أدهم السمان والأستاذ أديب شيش)
250 ل. س. \$ 25	كتاب مطبوع Printed Book	7 - نظرية الكم وقصتها الغربية l.etrange histoire des Quanta (ترجمة محمد وائل الأناسي)
160 ل. س. \$ 8	كتاب مطبوع Printed Book	8 - حقائق حول تشعيع الأغذية سلسلة نشرات الحقائق صادرة عن المجموعة الاستشارية الدولية لتشعيع الأغذية . Facts about Food Irradiation (ترجمة الدكتور نزار حمد)

ملاحظة: يمكن طلب المنشورات المعدة للبيع من دائرة الاعلام والترجمة والنشر في هيئة الطاقة الذرية - دمشق - مزة - فيلات غربية شارع الغزاوي - رقم 10 هاتف 2249885 (وبالنسبة لكتاب المثل العليا والواقع يطلب من دار طلاس للطباعة والنشر) .



عالم الذرة

مجلة دورية تصدر سنّ مرات في السنة عن هيئة الطّاقة الذريّة
في الجمهوريّة العربيّة السوريّة، وتهدف إلى الإسهام في نشر المعرفة العلميّة
باللغة العربيّة، في الميدانين الذري والنووي، وفي كلّ مايتعلّق بهما من تطبيقات

أيلول - تشرين الأول 1994

السنة التاسعة

العدد الثالث والثلاثون

المدير المسؤول: د. ابراهيم عثمان المدير العام لهيئة الطاقة الذرية

لجنة التحرير: د. توفيق قسام
د. مصطفى حمو ليلا
د. محمد قعقّع

لجنة الإشراف
« بالترتيب المجاني »

د. أحمد عثمان	د. ممدوح الحسيني
د. توفيق قسام	د. مصطفى حمو ليلا
د. محمد قعقّع	د. غدير زيرفون
د. حسن كلاوي	د. ناجي زين العابدين
د. أسعد لطفي	د. أدهم السمان
د. أحمد خالد المالح	د. شفيق الصقدي
	د. إبراهيم عثمان

الإخراج الفني والإشراف على الطباعة
جودت يعقوب آغا - هيئة الخطيب

شروط الترجمة والتأليف للنشر في مجلة عالم الذرة

- 1 — ترسل نسختان من مادة النشر باللغة العربية مطبوعتان بالآلة أو مكتوبتان بالخط واضح، على وجه واحد من الورقة، وبقرن مساف من السطور.
- 2 — يُكتب على ورقة مستقلة عنوان مادة النشر واسم الكاتب وصفته العلمية وعنوانه مع ملخصين لها أحدهما بالعربية والآخر باللغة الإنكليزية حصراً، في حدود عشرة أسطر لكل منهما، ويطلب من كل من المؤلف والمترجم كتابة اسمه كاملاً، باللغتين العربية والأجنبية، ولقبه العلمي وعنوان مراسلته.
- 3 — يُقدم المؤلف أو المترجم في ورقة مستقلة قائمة بالعبارات التي تشكل الكلمات المفتاح "Key Words" (والتي توضح أهم ما تضمنته المادة من حيث موضوعها وغايتها ونتائجها والطرق المستخدمة فيها) وبما لا يتجاوز عشر عبارات باللغتين العربية والأجنبية.
- 4 — إذا سبق نشر هذا المقال أو البحث في مجلة أجنبية، ترسل الترجمة مع صورة واضحة عن هذه المادة المنشورة. ويستحسن إرسال نسخة الأصل المطبوع والأشكال (الرسوم) الأصلية، إن وجدت، ولو على سبيل الإعارة.
- 5 — إذا كانت المادة مؤلفة أو مجمعة من مصادر عدة، يذكر الكاتب ذلك تحت العنوان مباشرة كأن يقول «تأليف، جمع، إعداد، مراجعة...» ويرفق المادة بقائمة مرقمة للمراجع التي استقاها منها.
- 6 — إذا تضمنت المادة صوراً وأشكالاً، ترسل الصور الأصلية وكذلك الأشكال مخططة بالخط الأسود على أوراق مستقلة، إلا إذا كانت موجودة في المادة المطبوعة بلغة أجنبية (كما جاء في الفقرة «4»)، مرقمة حسب أماكن ورودها.
- 7 — يرسل مع المادة قائمة بالمصطلحات العلمية العربية المستخدمة فيها مع مقابلاتها الأجنبية إذا لم تكن واردة في معجم الهيئة للمصطلحات العلمية والتقنية في الطاقة الذرية، الذي تم نشره في أعداد المجلة (2-18)، والذي ما زال في الإمكان شراؤه من دائرة الإعلام والترجمة ونشر في الهيئة.
- 8 — تكتب المصطلحات وكذلك أسماء الأعلام باللغتين العربية والأجنبية عند ورودها في النص أول مرة ومن ثم يُكتفى بإيراد المقابل العربي وحده سواء أكان هذا المقابل كاملاً أم مختزلاً. وتستعمل في النص المؤلف أو المترجم الأرقام العربية 1، 2، 3، أيها وردت مع مراعاة كتابتها بالترتيب العربي من اليمين إلى اليسار. وإذا ورد في نص معاداة أو قانون أحرف أجنبية وأرقام فتكتب المعادلة أو القانون كما في الأصل الأجنبي.
- 9 — يُشار إلى الحواشي، إن وجدت، بإشارات دالة (*، +، ×، 0...) في الصفحة ذاتها، كما يشار في المتن إلى أرقام المصادر والمراجع المدرجة في الصفحة الأخيرة، وذلك بوضعها ضمن قوسين متوسطين [].
- 10 — تُرقم مقاطع النص الأجنبي والنص العربي بترتيب واحد في حالة الترجمة.
- 11 — يرجى من السادة المترجمين مراعاة الأمانة التامة في الترجمة.
- 12 — تخضع مادة النشر للتقييم ولا تُرد إلى أصحابها نشرت أو لم تنشر.
- 13 — يحصل كل من الكاتب أو المترجم أو المراجع على ثلاث نسخ من عدد مجلة (عالم الذرة) الذي تنشر فيه المادة، كما يمنح مكافأة مالية وفق القواعد المقررة في الهيئة.
- 14 — توجه المراسلات باسم رئيس التحرير إلى العنوان التالي:

مجلة عالم الذرة — دائرة الإعلام والترجمة والنشر — هيئة الطاقة الذرية — ص. ب. (6091) دمشق — الجمهورية العربية السورية.

رسوم الاشتراك

الاشتراك السنوي للطلاب (120) ل. س — الاشتراك السنوي للأفراد (160) ل. س — الاشتراك السنوي للمؤسسات (400) ل. س.
الاشتراك السنوي للأفراد من خارج القطر العربي السوري (30) دولاراً أمريكياً. وللمؤسسات (60) دولاراً أمريكياً

تتضمن الاشتراكات أجور البريد — يرسل رسم الاشتراك المناسب إلى العنوان التالي:

المشتركون من خارج القطر

المصرف التجاري السوري فرع رقم 13
مزة — جبل — ص. ب. 16005
رقم الحساب 2/3012

المشتركون من داخل القطر

دمشق — سبع بحرات — مصرف سورية المركزي
رقم الحساب 23/5110

سعر العدد الواحد

سورية 30 ل. س / لبنان 1000 ل. ل / الأردن 1,5 ديناراً / مصر 2,5 جنيهاً / الجزائر 50 ديناراً و 6 دولارات في البلدان الأخرى

ملاحظة: يمكن للمقيمين داخل القطر دفع قيمة الاشتراك مباشرة إلى دائرة الإعلام والترجمة والنشر في الهيئة مع بيان يوضح عنوان المراسلة المفضل.

7. ك. ميلور البلورة الإلكترونية المخيرة
(ترجمة الدكتور إبراهيم خميس)
14. أ. ر. بيتز تقانات حديثة لتحسين الكفاءة التناسلية
(ترجمة الدكتور معتز زرقاوي)
26. د. أ. هيوز - م. ب. أ. فيشر - د. س. فيشر هل النواقل الفائقة فائقة النقل حقاً؟
(ترجمة الدكتور عادل حروفش)
40. ج. ج. بيناتار انعكاسية أشعة X
(ترجمة الدكتور موسى الإبراهيم)
53. ج. ك. نيو - ر. كولون كارثة تشرنوبيل : حصيلة غير متوقعة
(ترجمة الدكتور محمد عثمان)

69. 1- وأخيراً وجدوه!.....
73. 2- تصدر مركبات الفلّرين المحصورة ضوءاً أبيض عند إثارتها بالليزر.....
74. 3- بروتينات مقاومة للحرارة.....
75. 4- مشروع JET على شفير الهاوية.....
77. 5- الأمل بنجاح الاندماج النووي منوط بأداء مفاعل JET المجدّد.....
79. 6- أضواء التيتانيا السحرية.....
80. 7- كيف تشكّل الهدروجين الأسود؟.....
80. 8- لماذا تحتاج الأغنام المصابة بسقط ذري إلى شراب فوار غير مسكر؟.....
82. 9- مضادات الآفات وسرطان الثدي.....
83. 10- جرع منخفضة تساعد جمل التصحيح في الخلايا البشرية.....

87. □ استقرار الباي بولارون في الترانس بولي استيلين بوساطة.....
ج. أ. بلاك مان
91. □ طريقة مبسطة للتقدير العاجل لأعمار النصف للتكيدات المشعة.....
الدكتور توفيق ياسين
- قصيرة العمر
الدكتور إبراهيم عثمان

- تطوير طريقة التحليل الحجمي لتحديد اليورانيوم في حمض..... الدكتور يحيى قدي - حبيب شليوط.....97
- الفسفور السوري وفي المذيب DEHPA/TOPO المشحونين باليورانيوم
- مستقبلات عوامل النمو كستهدفات للمعالجة بالأضداد..... الدكتور محمد عادل باكير.....100
- ج. دين - ج. ستايلس -
- م. فاليري - ه. موجتيدي -
- ج. بابيتش - س. اكز

(عرض وتحليل)

كتب حديثة مختارة

- 1- ماديات وأساسيات التنضيد بالحزمة الجزيئية..... (تأليف: ج. ي. تاسو).....109
- (عرض وتحليل: ج. ب. هاريسون)
- 2- تبادل الشحنة ونظرية تصادمات أيون - ذرة..... (تأليف: ب. ه. برزذن - م. ر. ك. ماكديول).....110
- (عرض وتحليل: إ. ج. مانسكي)
- تذكرة بمحتويات العديدين الأخيرين (الحادي والثلاثين والثاني والثلاثين).....112
- ملخصات باللغة الانكليزية عن الموضوعات المنشورة في هذا العدد.....120

يسمح بالنسخ والنقل عن هذه المجلة للاستخدام الشخصي بشرط الإشارة إلى المرجع،
أما النسخ والنقل لأهداف تجارية فغير مسموح به إلا بموافقة خطية مسبقة من الهيئة.

المغالاة

@q • KDe&@ç^È |* È^çä • D @e • æ ' ä|æ@{

البَلُورَة الإلكترونيّة المحيّرَة *

ك . ميلور

باحث مساعد في قسم الفيزياء في جامعة نوتينغهام - المملكة المتحدة

ملخص

مرّ أكثر من 50 سنة على اقتراح بإمكانية تجميد الإلكترونات لتصبح صلبة ، ويجد الفيزيائيون الآن أول دليل على أن ذلك يحدث حقاً .

الصافية (الحاصلة) لها - أي سرعة انجرافها - تكون مساوية فقط بضع سنتيمترات في الثانية . وإذا أوقف التيار ، يكون متوسط حركة الإلكترونات مساوياً الصفر .

هناك تأثيران متنافسان على هذه الإلكترونات: التدافع الكهراكدي فيما بينها وطاقتها الحركية . فالإلكترونات تدفع بعضها بعضاً لامتلاكها نفس الشحنة الكهربائية . وهذا بدوره يحافظ على بقائها منفصلة بعضها عن بعض وضمن ترتيب منتظم إلى حد ما ، وإذا ماتحرك واحد منها ، فلن الإلكترونات المحيطة به تتأثر بذلك بشكل قوي - وهذا ما يعرف بخاصة (الارتباط) التعلق correlation .

وفي المادة الناقلة يسود التأثير الثاني - أي الطاقة الحركية . ففي المعدن تكون كثافة الإلكترونات عالية ، وعلى الرغم من أن الإلكترونات يمكنها أن تنتقل في المعدن ، إلا أن حيزاً صغيراً فقط يتوفر لكل واحد منها . ويُعلمنا الميكانيك الكمومي أن على الجسم المحصور في فراغ صغير أن يمتلك طاقة حركية أعلى منها فيما لو شغل فراغاً أكبر . وهذه نتيجة لمبدأ الارتباط uncertainty principle لهايزنبرغ ، الذي يقول أنه كلما ازداد اليقين في تعيين موقع الإلكترون ازداد عدم اليقين (الارتباط) في اندفاعه . ويؤدي الارتباط في الاندفاع إلى طاقة حركية كبيرة (وهذا يُفسر لماذا تكون الطاقات المتعلقة بالفيزياء الذرية أقل بكثير منها في الفيزياء النووية؛ فالذرة أكبر بكثير من النواة) .

تتحرك الإلكترونات في المادة الناقلة ، كالمعادن ، بحرية إلى حد جعل الفيزيائيين يفكرون بشكل مألوف على أنها كالغاز . ومنذ أكثر من نصف قرن مضى ، فكروا ملياً فيما سوف يحدث لو نقصت كثافة هذه الإلكترونات . كيف ستتصرف إذاً ؟ وكيف ستتفاعل ؟ في عام 1934 ، اقترح فيغنر Wigner ، وهو فيزيائي من جامعة برينستون ، أنه يمكن تجميد الإلكترونات ، تحت شروط معينة لتصبح صلبة .

انطلقت هذه الفكرة الغريبة كحالة حدية لنموذج نظري يفسر آلية تحرك الإلكترونات في المعادن . وبعد عشرات السنين ، تحولت إلى بحث عن بلورة إلكترونية حقيقية عبر حقول الميكانيك الكمومي . والآن ، يعتقد الفيزيائيون أنهم وجدوا بلورة فيغنر الكمومية ، بل وأنهم توصلوا إلى اكتشافات مثيرة أخرى أثناء ذلك .

ولفهم مايعني به فيغنر بالبلورات الإلكترونية ، نحتاج أولاً أن ننظر إلى كيفية سلوك الإلكترونات في المادة الناقلة . هناك في أي ناقل توجد الكترونات حرة؛ يعتمد عددها الدقيق ، في حجم معطى ، على نوع المادة وعلى درجة حرارتها .

إذا مررت تياراً عبر ناقل - عندما تشعل مصباحاً كهربائياً مثلاً - فلن الإلكترونات تنحرف باتجاه القطب الموجب للمدخرة وتُسبَدَل بالإلكترونات من القطب السالب . ولدى مرور هذه الإلكترونات في الدارة تصادم وتخسر طاقة وبالتالي تسخن المصباح . وبالرغم من أن الإلكترونات المنفردة تتحرك بسرعة كبيرة جداً في كافة الاتجاهات ، إلا أن السرعة

* هذا المقال منشور في مجلة New Scientist, 8 August, 1992 . ترجمه الدكتور ابراهيم خميس - قسم الخدمات العلمية - هيئة الطاقة الذرية السورية - وراجعه الدكتور توفيق قسام - عضو اللجنة الاستشارية العلمية في هيئة الطاقة الذرية السورية .

مسافات متساوية من بعضها - وبكلمات أخرى ستعاليق الإلكترونات نتيجة لتنافرها الكهروستاتيكية مشكلة بلورة. وهذا كان النموذج: لقد افترض فيغنر أن الإلكترونات تتحرك نحو خلفية من شحنة موجبة منتظمة، في حين تشكل النوى المشحونة إيجابياً خلفية غير منتظمة حيث تتركز الشحنة الموجبة على كل ذرة.

وقد جرى حساب خواص مثل بلورة فيغنر هذه من قبل فيزيائيين نظريين خلال الستينيات. وبقي الأمر على هذا الحال حتى عام 1971 حيث اقترح أمريكيان أنه يمكن حقاً ملاحظة هذه البلورة. وكان يُظن أن البلورة ستكون ثنائية الأبعاد أكثر منها

نموذج بلورة فيغنر

تمتلك الإلكترونات، مثل كافة الجسيمات، طاقة حركية حرارية - وكلما كانت درجة الحرارة أعلى، كانت الطاقة الحركية التي تمتلكها الإلكترونات أكبر. ففي معدن عند درجة حرارة الغرفة، يكون التأثير المشترك للطاقات الحركية الكمومية والحرارية أكبر من تأثير التنافر الكهروستاتيكي ولهذا تعد الإلكترونات غازاً.

لقد اقترح فيغنر أنه لو انخفضت الكثافة الإلكترونية، فسيمكن لكل إلكترون أن يشغل حجماً أكبر. وبالتالي ستكون الطاقات الحركية للإلكترونات أخفض، ولذا فإنها ستقوم بترتيب أنفسها على



صفيحتين من الزجاج. وهذه الجملة ذات فائدة خاصة لأنها تسمح للفيزيائيين بمتابعة حركة الكرات المنفردة وهذا شيء يستحيل فعله مع الإلكترونات. لكن كل هذه الجمل لم تكن تلك البلورة الإلكترونية التي في عقل فيغنر: إذ لا يزال الفيزيائيون يبحثون عن جملة يمكنهم من خلالها دراسة ذوبان الجملة الكمومية ذات الجسيمات المشحونة. وقد أدى بهم هذا البحث إلى مواد نصف ناقلة ذات كثافة إلكترونية أخفض مما هي عليه في المعادن. ويتوجب عند تبريد نصف الناقل أن تتخفف الكثافة الإلكترونية أكثر فأكثر - وبذلك تنقص الطاقة الحركية الكمومية - وأن تنخفض الحركة الحرارية. ولكن، هل يمكن تبريد نصف الناقل إلى الحد الذي تشكل عنده بلورة فيغنر؟

في الثمانينيات، طوّرت تقنية تدعى التنضيد بالحزمة الجزيئية (Molecular Beam Epitaxy (MBE التي تترسب فيها مواد نصف ناقلة (كزنيخيد الغاليوم) في طبقات تبلغ سماكة الواحدة منها سماكة الذرة. وبهذه الطريقة نُصِّب المواد نصف الناقلة الجديدة ذات النقاوة العالية. من هذه الأخيرة كانت الوصلة غير المتجانسة heterojunction - وهي طبقة حدية بين نصفي ناقلين مختلفين مثل زنيخيد الغاليوم (GaAs) وزنيخيد الغاليوم الألمنيوم (AlGaAs)، مع وجود صفيحة من الإلكترونات المأسورة بينهما في بشر طاقة كامنة عند الطبقة الحدية. وقد فصلت هذه الإلكترونات عن الشوائب المشحونة إيجابياً في نصف الناقل (إذ لا يعمل نصف الناقل دون وجود مثل هذه الشوائب التي تكون على شكل طعوم dopants كذرات السيليكون مثلاً). وبذلك تستطيع الإلكترونات أن تتحرك في المستوى الذي أسرت فيه فقط (انظر الشكل 1). ولانقاص الحركة الحرارية للإلكترونات، يجب تبريد هذه العينات إلى درجة من الحرارة تكون أقل من 1 كيلفن.

اكتشاف يستحق الجائزة

أدى العمل على أنصاف النواقل عند درجات حرارة منخفضة إلى بعض الإكتشافات الرائعة. ففي عام 1980، اكتشف كلاوس فون كليتزبنغ Klaus Von Klitzing، الذي عمل آنذاك في مخبر الحقل المغنطيسي العالي والعائد لمخبر ماكس

ثلاثية، لأن في الأبعاد الثلاثة لا يوجد سبيل لفصل الشحنات الموجبة والشحنات السالبة. وهكذا تشكل الشحنة الموجبة خلفية منتظمة. واقترح الباحثان أن يكون بإمكان الإلكترونات الموجودة فوق سطح الهليوم السائل تأمين الشروط الصحيحة اللازمة لملاحظة البلورة الإلكترونية.

وفي عام 1979، نجح ش. غرايمز Ch. Grimes و غ. آدمز G. Adams في مخبر شركة بل AT&T Bell في أسر صفيحة ثنائية الأبعاد من الإلكترونات فوق سطح الهليوم السائل. إن هذه الجملة سهلة التحليل نظرياً. كانت كثافة الإلكترونات في هذه الطبقة منخفضة جداً: حوالي 4×10^{12} إلكترونات في المتر المربع (مقارنة بحوالي 10^{15} إلكترونات في المتر المربع لصفيحة من المعدن لها السماكة ذاتها). وفي مثل هذه الكثافة الإلكترونية المنخفضة: لا تكون الآثار الكمومية هامة؛ فالإلكترونات لا تكون محصورة في حيز معتبر، وبالتالي فإن حركتها تتحدد بالميكانيك النيوتوني لتقليدي. وفي جملة تقليدية كهذه يكون الأثران المتنافسان هما الأثر التعاقبي للتنافر بين الإلكترونات وأثر حركتها الحرارية. وقد بين غرايمز وآدمز أنه إذا تم تبريد الجملة إلى درجة حرارة أخفض من درجة حرجة تشكل الإلكترونات حينئذ شبكة من مثلثات متساوية الأضلاع تتوضع فيها الإلكترونات في زوايا هذه المثلثات.

من التقليدي إلى الكمومي

منذ ذلك الحين، نُفِّذ عدد من التقنيات على الجملة التقليدية توصل الباحثون من خلالها إلى فهم جيد لكيفية ذوبان مثل هذه الجمل وتحولها من ترتيب منتظم كما هو الحال في الجسم الصلب إلى حالة مائعة عشوائية كالغاز. وفي عام 1989 أجريت تجارب في جامعة برمنغهام مع ج. فينين J. Vinen وشكلا فيها بلورات من أيونات الهليوم التي جرى أسرها في طبقة تحت سطح الهليوم السائل، وكانت عبارة عن جملة مشحونة تقليدية ذات بعدين. وفي تجارب أخرى وعلى نطاق أوسع، شكل ش. مورري Ch. Murray ومساعدوه في مخبر شركة بل في عام 1987 «بلورات»، عند درجة حرارة الغرفة، من كرات من البوليسترين المشحونة والتي تم أسرها في الماء بين

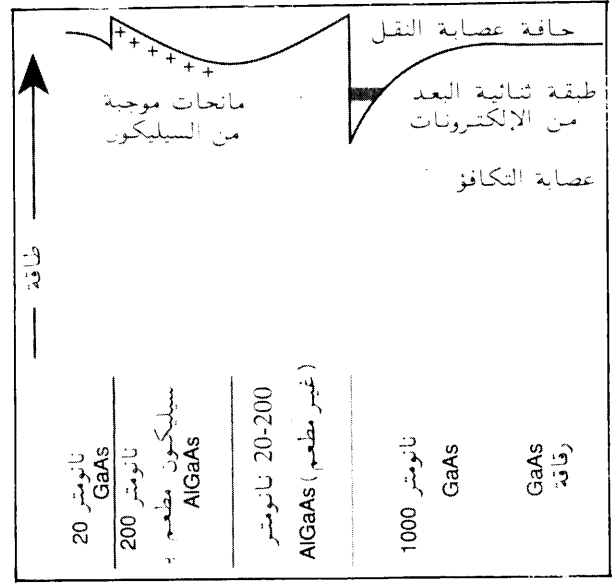
يمكن القول أن هذه الإلكترونات تتموضع في منطقة تساوي تقريباً حجم المدار الدائري.

المدارات المنكمشة shrinking orbits

تتراكب (تتداخل) هذه المدارات تحت تأثير الحقول المغناطيسية المنخفضة. ويزداد شدة الحقل يزداد انكماش المدارات إلى أن تصل إلى حد لا تستطيع عنده الإلكترونات أن تتراكب فتبقى حبيسة (أسيرة) في مدارها الخاص. ويعتبر مركز هذا المدار بمثابة موضع للإلكترون حيث يتحرك تحت تأثير الحقل الكهربائي. ولذلك فإن زيادة أسر الإلكترونات بالحقل المغناطيسي يجب أن تيسر تشكل بلورة فيغنر.

ويستنبأ النظريون بوجود تشكل بلورة فيغنر عند قيمة معينة لـ «عامل الملء» filling factor، وهو كمية تتناسب مع نسبة المساحة المشغولة فعلاً من قبل الإلكترون إلى المساحة المتاحة له. والتي بدورها تعتمد على الكثافة. وعندما يكون عامل الملء مساوياً $1/5$ أو أقل يجب أن تشكل الحالة الصلبة. وقد أجرى ب. ماكسيم P. Maksym من جامعة ليسستر leicester بعض الحسابات التي تظهر كيفية تحول البلورة الإلكترونية من سائل إلى صلب عند تحول عامل الملء ν من $1/3$ إلى $1/9$ (انظر الشكل 2).

في عام 1988 لاحظ ر. ويليت R. Willett من معهد التقنية في ماساشوستش وزملاؤه من مخبر بل وجامعة برينستون أنه بمجرد أن يزيد عامل الملء على قيمة $1/5$ (والذي يقابل حقلاً مغناطيسياً شدته 20×10^{15} بالمتري المربع) فإن مقاومة الصفائح الإلكترونية تزداد بشكل حاد كلما بُرِدَت العينة؛ وتبدأ العينة لتصبح عازلاً أكثر منها ناقلاً. هل كان هذا في النهاية دليلاً على بلورة فيغنر؟ ليس هناك سبب خاص كي تصبح بلورة فيغنر عازلاً؛ إذ يمكن بنفس السهولة أن تكون ناقلاً لو أن كامل البلورة انجرفت نحو الطرف الموجب عند تطبيق التوتر، تماماً كما تفعل الإلكترونات المنفردة في المصباح الكهربائي. هناك تفسير ممكن آخر لهذا السلوك في العازلية؛ إذ يمكن للإلكترونات المنحشرة في حيز ضيق بفعل حقل مغناطيسي أن تأسرها العيوب والشوائب القريبة من الحواف الحدية. ويطلق



الشكل 1- يمكن أسر الإلكترونات على شكل صفيحة ثنائية الأبعاد بين طبقتين من مادتين نصف ناقلتين متقابلان في الوصلة غير المتجانسة. وتكون الإلكترونات في بشر طاقة كاملة ومنفصلة عن الشحنات الموجبة. هل ينتج تبريد هذه الجملة بلورة فيغنر الكمومية؟

بلانك في غرونوبل، أثر (مفعول) هول الكمومي الصحيح Integer Quantum Hall Effect (IQHE)، والذي نال من أجله جائزة نوبل للفيزياء في عام 1985. يحدث هذا الأثر، على سبيل المثال، عندما تُبرّد وصلة غير متجانسة إلى درجة حرارة أقل من 4 كيلفن ثم يُطبّق حقل مغناطيسي بصورة عمودية على صفيحة الإلكترونات. وعلى أثر تحسن المواد، اكتشف عام 1982 أثر هول الكمومي الكسري Fractional Quantum Hall Effect (FQHE) [انظر المؤطر].

ومنذ ثلاث سنين مضت، رأى الفيزيائيون، الذين يدرسون أثر هول الكمومي الكسري باستخدام عينات ذات نوعية أجود، آثاراً غريبة عند الحقول المغناطيسية العالية. إذ تبين لدى تطبيق حقل مغناطيسي عمودي على صفيحة الإلكترونات أن حركة هذه الأخيرة تتبدل. ووفقاً للميكانيك التقليدي فإن الإلكترونات الموجودة في حقول مغناطيسية تتحرك على مدارات دائرية. بينما من وجهة نظر الميكانيك الكمومي

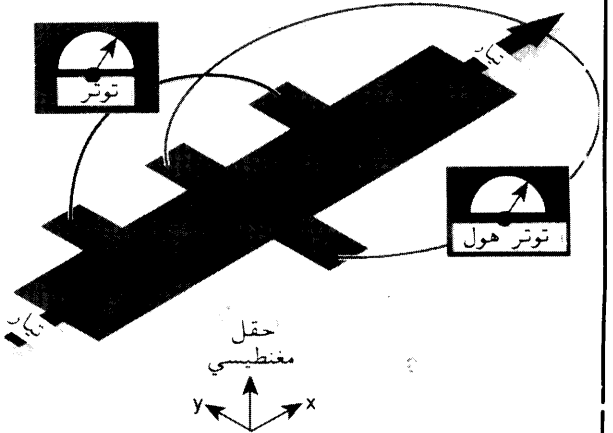
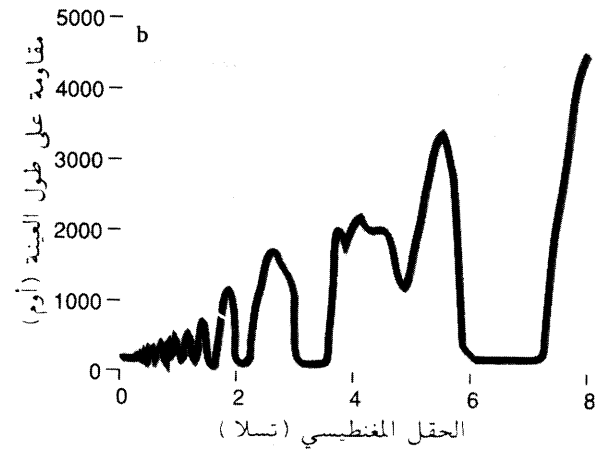
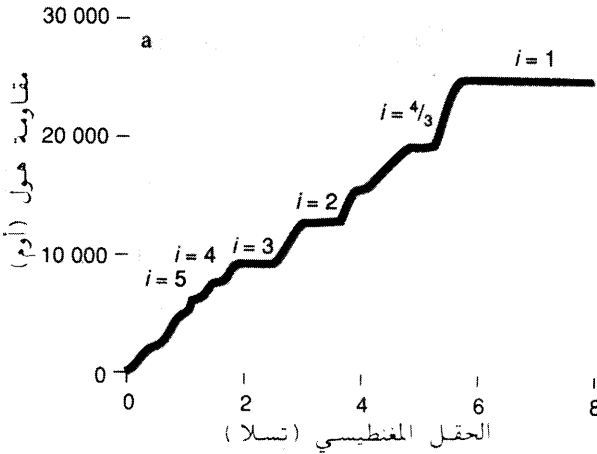
آثار هول الكمومية: السلوك الغريب للإلكترونات في الحقول المغنطيسية

عندما يمر تيار في ناقل، فإنه لا يولد غالباً فرق كمون بين طرفيه (انظر الشكل في الأسفل). ولكن عندما يُطبّق حقل مغنطيسي بزاوية قائمة على التيار، يتولد توتر بزاوية قائمة بالنسبة لاتجاهي التيار والحقل. ويكون حجمه متناسباً طردياً مع الحقل المغنطيسي. وهذا ما يعرف بأثر هول التقليدي. وقد استعمل لسنين عدة في التقصي عن خواص المعادن وأنصاف النواقل كمعرفة، على سبيل المثال، لماذا تكون مادة ما ناقلاً جيداً أو رديئاً.

يمكن من معرفة توتر هول استخراج كمية تدعى مقاومة هول (وهي حاصل قسمة توتر هول على التيار المطبق)، والتي تتناسب طردياً مع الحقل المغنطيسي وعكساً مع الكثافة الإلكترونية. وفي عام 1980، لاحظ كلاوس فون كليتزنج من مخبر الحقل المغنطيسي العالي في معهد ماكس بلانك في غرونوبل وزملاؤه أن مقاومة هول في نبيلة نصف ناقلة تدعى MOSFET سيليكوني قد بقيت ثابتة فوق مجالات معينة من الكثافة وذلك لدى انقاصه للكثافة الإلكترونية.

وقد أعطيت قيم مقاومة هول، التي تحدث عندها العتبات بدقة لدى تقسيم مجموعة مترابطة من الثوابت الأساسية (h/e^2) على عدد صحيح. وبنفس الوقت لوحظ أن المقاومة الحقيقية على طول العينة تؤول إلى الصفر. يدعى هذا الفعل بأثر هول الكمومي الصحيح IQHE (انظر الشكل المقابل). حيث تبلغ قيمة مقاومة هول عند العتبات مقدار 25812.80 أوم مقسوماً على عدد صحيح. وهذا ما يجعل من دقتها ميزة جذابة لأن تكون المعيار العالمي للمقاومة في المستقبل.

في عام 1982، اكتشف د. تسوي D. Tsui

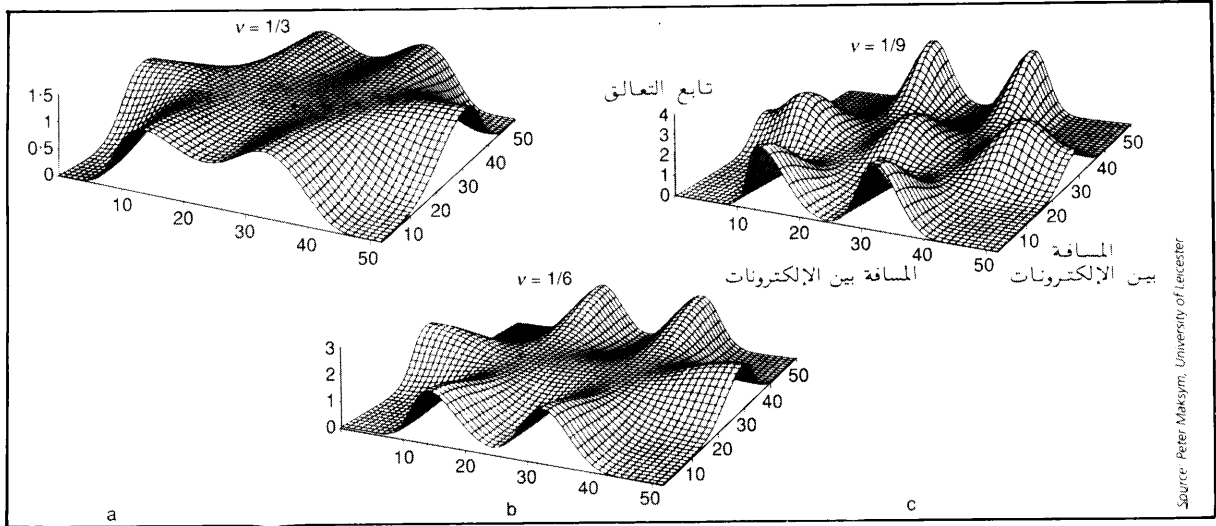


(a) في الحقول المغنطيسية، مقاومة هول لسويات صفيحة إلكترونية ثنائية الأبعاد عند قيم خاصة، (i) لعامل الملاءمة (b). ν في نفس الوقت، تهبط المقاومة الحقيقية لعينة نصف الناقل إلى الصفر.

قياس أثر هول

من جامعة برينستون وزملاؤه في أمريكا أثراً مشابهاً في وصلات (AlGaAs/GaAs) غير المتجانسة ذات الجودة العالية. وقد لاحظوا، من أجل هذه المادة، عتبات أخرى، بالإضافة إلى عتبات IQHE. ويمكن حساب قيم هذه العتبات الإضافية عن طريق تقسيم (h/e^2) على كسر منطوق ذي مخرج فردي مثل $5/3, 1/3$.. الخ).

ونعرف الآن أن هذا الأثر أي أثر هول الكمومي الكسري FQHE، وهو نتيجة للحالة الكمومية الخاصة التي تشكلها الإلكترونات. وتدعى هذه الحالة بسائل FQHE بسبب التأثيرات المتبادلة القوية بين الإلكترونات، وهي تشابه التأثيرات المتبادلة للذرات في السوائل.



الشكل 2- يمكن حساب احتمالية وجود الإلكترون في موضع معين بالنسبة للإلكترون آخر في جملة مؤلفة من ستة إلكترونات. ومن هذه الدراسة، يستطيع النظريون التنبؤ بالحالة الفيزيائية للإلكترونات. إن الانتقال من سطح لا يتمتع بصفات مميزة (a) إلى سطح ذي قيم واضحة (c) عندما يتناقص عامل الملاءمة ν ، يقابل التحول من سائل إلكترونات إلى بلورة إلكترونية.

التثبيت وأن تنقل الكهرباء. وإذا تم ذلك، فينبغي إيجاد عتبة للتوتر تكون تحتها العينة عازلة وفوقها ناقلة. وبالطبع يجب أن يكون هناك ضجيج كهربائي - أي تذبذبات في التوتر - يتولد عند خشخشة البلورة عبر مراكز التثبيت.

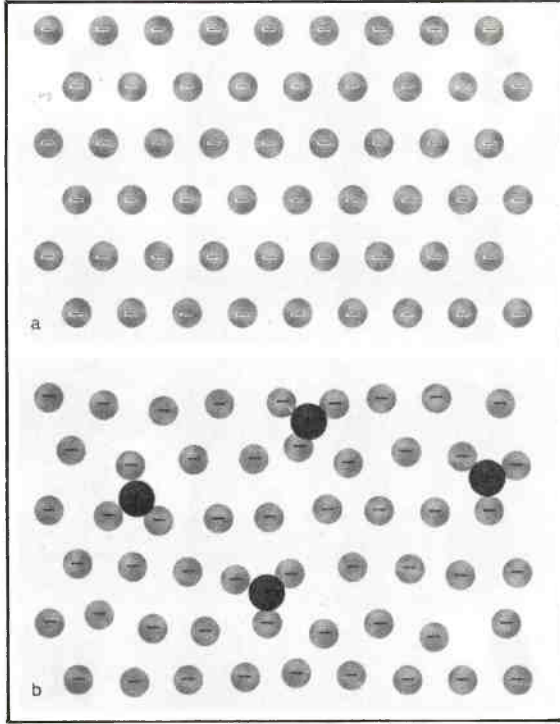
ليست تامة كلياً

في عام 1989، لاحظ ف. غولدمان V. Goldman من جامعة نيويورك الوطنية في ستوني بروك Stony Brook وزملاؤه في جامعة برينستون ومخابر بل في نيوجرسي مازكر تماماً، على عينة من AlGaAs/GaAs تم تبريدها إلى درجة 0.05 كيلفن. وقريباً، وجدت. ويليامز T. Williams في مركز الدراسات النووية في ساكلي بفرنسا وزملاؤه من

على هذا الفعل إسم التوضع المغنطيسي magnetic localisation وهو معروف جيداً إذ يعتمد الحقل، الذي يحدث عنده هذا الفعل، على درجة كمال العينة.

ويمكن أسر الإلكترون في بلورة فيغنر بالطريقة ذاتها، حيث تُحجز كامل البلورة موضعياً، وبذلك يمكن لنصف الناقل أن يصبح عازلاً. تدعى هذه الظاهرة بالتثبيت pinning. وهي تحدث بكثرة حتى في أفضل العينات جودة.

لنفترض الآن أن توتراً أعلى. طبق على العينة: وبالتالي فإن هناك حافزاً أكبر للإلكترونات كي تتحرك إلى الطرف الموجب. وإذا كان التوتر عال بشكل كاف، كان بمقدورنا التخيل أن البلورة الإلكترونية ستتحرر، وفي النهاية ستتحرر من مراكز



الشكل 3- في بلورة فيغنر الكمومية المثالية ينبغي أن تُرتب الإلكترونات ذاتها في نموذج منتظم عند زوايا المثلثات متساوية الأضلاع (a). في الحقيقة، يوجد هذا الانتظام عبر مسافات قصيرة فقط، وهذا ما يشابه الطريقة التي تنتظم فيها الذرات في الزجاج (b).

المزيد عن الطبقة الصلبة من الإلكترونات في نصف الناقل، وماذا يحدث لدى انصهارها. وإذا كانت الخبرة السابقة شيئاً يهتدى به، فإن الأجوبة ستكون غير متوقعة مثلما هي ممتعة.

- تشكر إدارة مجلة عالم الذرة مجلة New Scientist للسماح لها بترجمة هذا المقال ونشره.

فرنسا وبريطانيا وأستراليا النتائج نفسها. وفي كلتا التجريبتين، وُجدَ أن الصلب ينصهر إلى سائل الـ FQHE عند عامل ملء يساوي $1/5$ ؛ وتمت رؤية الصلب على أي من جانبي عامل الملء هذا. وبذلك توفر أخيراً دليل على بلورة فيغنر الكمومية.

في البلورة المثالية ثنائية الأبعاد، يجب أن تكون الشبكة مثلثية. وعند كثافة تبلغ 10^{15} في المتر المربع يكون التباعد بين الإلكترونات مساوياً 18 نانومتراً مقارنة بمسافة 0.28 نانومتراً لذرات نصف الناقل المضيف. أما إذا اختل ترتيب الإلكترونات، فإن هذه الشبكة تختل أيضاً. وكلما قل الاختلال في العينة، كلما ازدادت المسافة التي من خلالها تتشابه البلورة مع البلورة التامة. ويمكن تحديد هذه المسافة باستعمال قيمة توتر العتبة. فقد وجد ويليامز أنها قصيرة - إذ تبلغ حوالي 10 تباعدات إلكترونية في الشبكة - وهي تماثل الرتبة العددية التي توجد في الزجاج. وهكذا يبدو وكأن بلورة فيغنر الإلكترونية قد أصبحت «زجاج فيغنر» (انظر الشكل 3).

وعلى كل حال، فقد أجرى عدة باحثين، خلال العام المنصرم، تجارب في بنى أخرى لأنصاف النواقل وكما يبدو فقد أظهرت أن الإلكترونات تتبلور فيها. ولقد أظهر فريق من الباحثين الروس والكنديين والألمان أن في إحدى هذه البنى، وبالتحديد في بنية MOSFET السيليكوني، تتبلور صفيحة الإلكترونات حتى دون مساعدة الحقل المغنطيسي في أسير إلكتروناتها، ولربما تلك هي بلورة فيغنر الحقيقية ذات البعدين.

ولاتزال دراسات تبلورات فيغنر في الوصلات غير المتجانسة وفي جمل أخرى من أنصاف النواقل في أيامها المبكرة كما يبقى هناك الكثير من الواجب تحديده، مثل الطريقة التي يجب استعمالها لمعرفة

الكلمات المفتاح

Key Words

- 1 -electron crystal..... أنبلورة الإلكترونية
- 2 -Hall effects..... آثار هول
- 3 -Wigner crystal..... بلورة فيغنر
- 4 - semiconductors..... أنصاف النواقل
- 5 - heterojunctions..... وصلات لامتجانسة

تقانات حديثة لتحسين الكفاءة التناسلية في حيوانات المزرعة*

أ. ر. بيترز

شركة هوكست المحدودة في المملكة المتحدة - والتون - ميلتون كينيس - المملكة المتحدة

ملخص

جرى، خلال العقدين الأخيرين، تطوير تقانات التحليل المناعي الإشعاعي (RIA) بهدف قياس هرمونات التناسل. وقد ساهم هذا التطوير إلى حد كبير في فهم الوظائف التناسلية ووضع برامج حقلية لتحسين الخصوبة في الحيوانات الزراعية. فعلى سبيل المثال، استخدم وعلى نطاق واسع قياس تركيز هرمون البروجسترون في حليب أو دم الأبقار من أجل مراقبة الوظيفة المبيضية وكوسيلة لتحديد معايير الخصوبة (كتشخيص الحمل مثلاً). كذلك كان لتقانات التحليل المناعي الإشعاعي تطبيقات رئيسية عند إجراء دراسات تفصيلية للآليات الحيوية والفيزيولوجية المسيطرة على العمليات التناسلية. وهكذا أصبح الأساس لفهم الآلية المسيطرة على الوظيفة المبيضية هو استخدام التحليل المناعي الإشعاعي لتقدير التراكيز الخاصة بالهرمونيّن المنشطين للغدد الجنسية LH وFSH، وكذلك الخاصة بكل من هرمونات: الاستراديول-17 β ، والبرجسترون، والبروستاغلاندين، والإنهيبيّن (المكتشف حديثاً). ولا زالت الظواهر أو المشاكل التالية - وهي: غياب الشياح المبيضي والسلوكي، وإخفاق الإخصاب، وإنتاج مواليد بحجم غير مثالي - هي أهمّ العوائق الحيوية والإدارية للوصول إلى خصوبة مثلى في حيوانات المزرعة. وسوف تستعرض هذه الورقة وبشكل مقتضب الخلفية الوظيفية للظواهر أو المشاكل الآنف ذكرها إضافة إلى استعراض التقانات التي يجري تطويرها بهدف تخفيف الآثار الناجمة عن هذه المشاكل.

1- مقدمة

التناسلي للحيوانات عندما تستخدم لأغراض النقل وحمل البضائع [2,3]. كما لا يعرف، في تلك البلدان النامية، إلا القليل عن فزيولوجية بعض الأنواع الحيوانية السائدة فيها مثل ماشية النوع Bos indicus والجاموس بالمقارنة مع ماشية النوع Bos Taurus [4]. يترتب على مثل هذا الأداء التناسلي السيء تبعات اقتصادية هامة، حيث قُدرت - في المملكة المتحدة - تكلفة الفترة المطولة ما بين الولادتين بحوالي ثلاث جنيهات استرلينية للبقرة في اليوم الواحد، وهذا يمثل بحد ذاته خسارة لا يستهان بها. وقد طورت، خلال العقدين الأخيرين، تقانات التحليل المناعي الإشعاعي (RIA) من أجل قياس

يُعدّ الأداء التناسلي عند حيوانات المزرعة، وبخاصة عند المجترات، سيئاً حتى في أكثر الدول تطوراً. ففي المملكة المتحدة مثلاً، قدر معدل الولادة للأبقار الحلوب من التلقيح الاصطناعي الأول فبلغ 55-60% فقط. كذلك، تصل قطعان قليلة من الماشية إلى الهدف المنشود، ألا وهو الحصول على مولود واحد للبقرة في العام الواحد. أما في البلدان النامية، فتزداد مثل هذه المشاكل تعقيداً بسبب الظروف المناخية غير الملائمة، كما هو الحال عند ارتفاع حرارة الجو [1]، وظروف التغذية التي غالباً ما تكون شحيحة. ومن المحتمل أيضاً حدوث تأثيرات سيئة على الأداء

* هذا المقال منشور في مجلة IAEA-SM-318/16,1991. ترجمه الدكتور معزز زرقاوي - قسم الزراعة الإشعاعية - هيئة الطاقة الذرية السورية - وراجعه الدكتور محمد فؤاد الرباط - كلية الزراعة - جامعة دمشق - دمشق.

استخدم هذا المؤشر كوسيلة لتحري حدوث الحمل، ودورات الشياح oestrus cycles، وفترة السكون التناسلي أو غياب الشياح anoestrus. وقد ثبت، في عدة أنواع حيوانية، امتصاص غدة الضرع للبروجسترون من مصورة الدم وبالتالي فإن تركيز الهرمون المذكور في الحليب يتوازي مع تركيزه في مصورة الدم. وبناءً عليه، أصبح تقدير تركيز البروجسترون في الحليب طريقة مفيدة لمراقبة النشاط التناسلي وبخاصة عند الأبقار [المرجع 6 كمال].

ويبين الشكل 1 المنحنيات (أو التغيرات) النموذجية لتركيز هرمون البروجسترون في الحليب وذلك في الأبقار الحامل وغير الحامل. وكما هو معروف، يحافظ الجسم الأصفر على حاله ويبقى عاملاً وظيفياً بعد انقضاء 16-18 يوماً على التلقيح المخصب، وتعدّ هذه الحقيقة الأساس لاستخدام البروجسترون كوسيلة مبكرة لتشخيص الحمل. ول سوء الحظ، فإن التراكيز العالية للبروجسترون خلال الفترة ما بين 18 و 24 يوماً بعد التلقيح المخصب لا يقتصر ظهورها على حالة حدوث الحمل فقط وهي بذلك تصلح لتشخيص الحمل في 85% من الحالات فقط، وعلى نقيض ما ذكر، فإن ظهور التراكيز المنخفضة للبروجسترون خلال الفترة ذاتها ينبئ بالتأكد وبدقة تصل إلى 100% إلى عدم وجود الحمل، مما يتيح إمكانية تحديد الأبقار غير الحامل ومن ثم معالجتها في وقت مبكر. وقد أمكن أيضاً إثبات أو تأكيد الحمل في مراحل لاحقة عند الأبقار باستخدام كبريتات الاسترون [7]. كذلك يستخدم بنجاح تقدير كبريتات الاسترون بواسطة تقانة التحليل المناعي الإشعاعي وذلك لتشخيص الحمل في إناث الخنازير [8].

وقد لجأ عدد من الباحثين إلى مراقبة انخفاض تراكيز هرمون البروجسترون عند نهاية الطور اللوتيني وذلك بهدف تحديد يوم إجراء عملية التلقيح الاصطناعي دون الحاجة إلى ملاحظة علامات الشياح. ومن نتائج دراسات متعددة [9]، أبدت الأبقار التي لقحت اصطناعياً بالاعتماد على الأسلوب آف الذكر مستويات طبيعية من الخصوبة. وبالإمكان رسم منحنيات تغيرات هرمون البروجسترون عند الحيوانات بقياس تركيزه في عينات متكررة من دمها

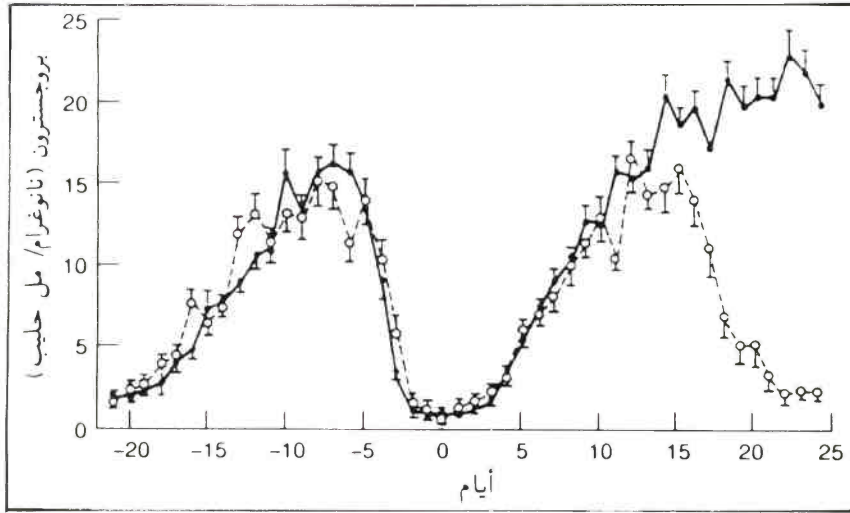
هرمونات التناسل مما ساهم كثيراً في فهم الوظيفة التناسلية وفي وضع برامج حقنية لتحسين خصوبة الحيوانات الزراعية. وكمثال على ذلك، يستخدم على نطاق واسع تقدير تركيز هرمون البروجسترون في حليب ودم الأبقار كوسيلة لمراقبة الوظيفة المبيضية وتقدير معايير الخصوبة (كتشخيص الحمل مثلاً). وقد استنبط القسم المختص باستخدام التقانات النووية في الغذاء والزراعة - والذي يعمل بالمشاركة ما بين الوكالة الدولية للطاقة الذرية ومنظمة الأغذية والزراعة الدولية (FAO/IAEA) - «علبة kit» أو مجموعة تحليل جاهزة خاصة بتطبيق تقانة التحليل المناعي الإشعاعي RIA سهلة الاستعمال وموثوقة. وتنتج، في الوقت الحالي، مخابر الوكالة الدولية للطاقة الذرية الكائنة في سبزرزورف بالنمسا حوالي 3000 من هذه المجموعات الجاهزة سنوياً تقوم بتوزيعها على 400 باحث من البلدان النامية [5]. وتساعد مثل هذه البرامج وبشكل كبير على تنفيذ برامج تقدير خصوبة الحيوان في البلدان النامية كما توفر إمكانية التحري الدقيق عن مسببات عدم الخصوبة ودراستها بشكل مفصل.

وكان أيضاً لتقانات التحليل المناعي الإشعاعي دور أساسي عند القيام بدراسات تفصيلية للآليات الحيوية والفزيولوجية المنظمة لعمليات التناسل. فعلى سبيل المثال، استخدمت تقانة التحليل المناعي الإشعاعي لتقدير تراكيز الهرمونات المنشطين للعدد الجنسية (FSH و LH)، ولتقدير تراكيز كل من: هرمونات الاستراديول 17β ، والبروجسترون، والبروستاغلاندينات، وهرمون الإنهيبين (المكتشف حديثاً)، تلك القياسات التي شكلت بدورها الأساس لضبط وفهم الوظيفة المبيضية.

وتناقش الورقة الحالية تطبيق تقانة التحليل المناعي الإشعاعي (RIA) لقياس الهرمونات الخاصة بعملية التناسل، كما تناقش الاكتشافات الحديثة في مجال تحوير وتحسين خصوبة الحيوان.

2- استخدام تراكيز هرمون البروجسترون لمراقبة الوضع التناسلي

يُعدّ مستوى هرمون البروجسترون في مصورة الدم مؤشراً دقيقاً للوظيفة المبيضية لأنه يعكس مباشرة وظيفة الجسم الأصفر corpus luteum، ولذلك



شكل 1- تراكيز هرمون البروجسترون بالحليب قبل وبعد التلقيح (يوم 0) في أبقار حملت (●) أو لم تحمل (O) نتيجة ذلك التلقيح. تمثل كل نقطة على المنحني المتوسط \pm الخطأ المعياري للمتوسطات SEM (40 ملاحظة) [6].

بضع دقائق عندما تدعو الحاجة إلى دراسة التغيرات العارضية episodic changes لأنماط إفراز الهرمون [11].

وأدت نتائج التحليل التفصيلي للتغيرات الخاصة بطرح الهرمون اللوتيني داخلي المنشأ endogenous LH إلى الاقتراح بأن ظهور نمط حرج وعارضي لإفراز هذا الهرمون يرتبط عادة مع عملية تنشيط الأطوار النهائية لتشكيل الجريبات المبيضية [11]. والدليل الآخر على مثل هذه العلاقة الوظيفية بين الحوادث آنفة الذكر أتت من تجارب جرى فيها تحريض الإفراز العارضي لهرمون LH عن طريق إعطاء الهرمون المنشط للغدد الجنسية (GnRH) والذي كان فعالاً أيضاً في تنشيط الفعالية المبيضية عند الأغنام والماشية [12,13].

4- أسباب عدم الكفاءة التناسلية

في حال غياب الإصابة المرضية، يغدو ممكناً تصنيف مشاكل التناسل الوظيفي ضمن أربع فئات هي:

- (1) الفشل في حدوث دورات مبيضية، وهي الحالة التي تعرف بغياب حقيقي للشياح true anoestrus.
- (2) الفشل في إظهار الشياح في وقت مناسب (غياب سلوكي للشياح behavioral anoestrus).
- (3) الفشل في الإخصاب والحمل عند إجراء تزاوج طبيعي أو تلقيح اصطناعي.

(أو حليها) بغية مراقبة النشاط المبيضي لفترات زمنية محددة ومن ثم تحديد أو كشف النماذج الطبيعية منها أو المخالفة [6]. كذلك، أمكن استخدام تراكيز البروجسترون لتمييز الإصابة بأنواع معينة من حالة الكيسات المبيضية ovarian cystic condition [المرجع 10 كمثال].

3- التحليل المناعي الإشعاعي لهرمونات أخرى

طبّق مبدأ التحليل المناعي الإشعاعي على قياس هرمونات تناسلية أخرى مما أتاح إجراء دراسة تفصيلية للآليات الفيزيولوجية وماستتبع ذلك من فهم أفضل للعمليات التناسلية. والمثال الذي سيناقش أدناه خاص بالهرمون اللوتيني (LH). فخلال السنوات الأخيرة، أضحت جلياً ظهور تغيرات في أنماط إفراز هذا الهرمون إما على المدى القصير أو البعيد، لذلك فإن طبيعة المعلومات المطلوبة هي التي ستحدد التواتر اللازم لجمع العينات (أو الفترة المنقضية ما بين جمع عينتين متتاليتين). فعلى سبيل المثال، يتطلب كشف التغيرات الفصلية في تراكيز الهرمون اللوتيني في الأغنام جمع ثلاث عينات كل أسبوع، بينما يغدو ضرورياً جمع العينات بمعدل عينة واحدة كل 2-3 ساعات كحد أدنى عندما يكون المطلوب تحديد دفقة surge الهرمون التي تسبق الإباضة. ومن ناحية أخرى، يتطلب الأمر جمع عينات من الدم مرة كل

4.1.1- غياب الشياح بعد الولادة

تتميز الفترة التي تعقب الولادة عند حيوانات المزرعة بحدوث ظاهري الإرضاع وتوقف النشاط المبيضي. ففي الماشية الطبيعية، غالباً ما تكون فترة غياب الشياح بعد الولادة أقصر في أبقار ماشية الحليب مما هي عليه في أبقار ماشية اللحم المرصعة. فتحت الظروف الزراعية السائدة في المملكة المتحدة، نجد أن 95% من أبقار ماشية الحليب تكون قد استعادت دوراتها المبيضية في اليوم الخمسين بعد الولادة [6]، بينما لا تتجاوز النسبة المماثلة 40% عند أبقار ماشية اللحم [20]. وفي أنثى الخنزير، ترتبط عملية الإرضاع بغياب الشياح حتى ستة أسابيع بعد الولادة بينما يحدث الشياح والإباضة بعد انقضاء 3-10 أيام على الفطام [21]. وفي حالة الأغنام التي تحصل ولادتها خلال فصل التناسل فغالباً ما يستغرق غياب الشياح عقب الولادة فترة تتراوح بين 3-6 أسابيع [22].

وتعمل مجموعة متنوعة من العوامل الوراثية، والبيئية، وأخرى تتعلق بأمور الرعاية، على الحيوانات الحامل والوالدة لتؤثر على النشاط المبيضي خلال الفترة التي تعقب عملية الولادة. وتشمل هذه العوامل كلاً من: التغذية، والإرضاع، وفصل السنة، والمناخ، والمرض. وقد يؤدي وجود عامل واحد أو عدة عوامل مجتمعة مع بعضها إلى إطالة فترة توقف الفعالية المبيضية التي تعقب عملية الولادة. ولربما يعود السبب في ذلك إلى آليات هرمونية مشتركة ونهائية. ورغم الدراسات المكثفة المجرىة في هذا المجال، لا زال الفهم ضعيفاً وسطحياً لتأثير العوامل الآنف ذكرها وتداخلاتها الدقيقة على النظام العصبي الهرموني neuroendocrine system. وقد قمنا مؤخراً بنشر مراجعة للبحوث حول المظاهر الهرمونية الخاصة « بغياب الشياح الإرضاعي lactational anoestrus في حيوانات المزرعة [23].

وبطريقة ما، تسبب منبهات بيئية مثبطة انخفاضاً في إفراز الوطاء hypo thalamus للهرمون المنشط للغدد الجنسية، ونقصاً في طرح الهرمون اللوتيني، وبالتالي وفقاً في تشكل وتطور الجريب المبيضي. اختبر الكثير من الباحثين ولسنوات عديدة طرائق لإحداث الإباضة في الحيوانات التي تعاني من

(4) صغر حجم الخلفة في الحيوانات الولودة أو انخفاض في الخصب التناسلي fecundity. وسوف نعالج فيما يلي هذه الفئات الأربع على التوالي مع إشارة خاصة إلى بحث حديث حول تخفيف التأثيرات الناجمة عن هذه المشاكل إن لم يكن ممكناً التغلب عليها تماماً.

4.1- غياب الشياح Anoestrus

يحدث توقف للنشاط المبيضي أو الغياب الحقيقي للشياح في ثلاث حالات هي: قبل البلوغ، وبعد الولادة، وعلى أساس فصلي في بعض الأنواع الحيوانية. ويبدو شائعاً في الحالات الثلاثة حدوث إعاقه في إفراز الهرمونات المنشطة للغدد الجنسية، وبخاصة طرح الهرمون اللوتيني النبضي pulsatile LH release، ولكن المسببات والآليات الأولية تبدو أيضاً مختلفة بالنسبة لكل حالة. هذا ولن نعالج هذه الورقة الغياب الفصلي للشياح seasonal anoestrus ولو أنه سبق لهذا الموضوع أن نوقش بشكل مستفيض في السنوات الأخيرة [14].

وقد بُذلت مساع مرموقة من خلال البحث لفهم الآليات الهرمونية الضابطة لوقت البلوغ [15,16]. ورغم أن هذا الموضوع مرتبط بحدوث فشل في إفراز الهرمون اللوتيني النبضي، إلا أن محاولات أجريت لمعالجة هذا الفشل وتحريض البلوغ عند البكاكير heifers باستخدام الحقن المتكرر أو التشريب المطول prolonged infuscion بالهرمون المنشط للغدد الجنسية GnRH، ولكن هذه المحاولات حققت نجاحاً محدوداً فقط [17,18]. ومن المعروف أن الوصول إلى مرحلة البلوغ مرتبط إلى حد كبير بوزن الجسم [19] بحيث تصل عروق الماشية الأوربية النموذجية إلى مرحلة البلوغ عندما تنزن حوالي 250-300 كغ وبعمر يتراوح عادة ما بين 7-12 شهراً. ويبدو أن البلوغ الجنسي عند الماشية الهندية (أو ماشية ال Zebu) يحدث بمر متأخر عما سبق ذكره، كما يلاحظ التأخير في عمر البلوغ بشكل واضح في الجاموس أيضاً [4]، ومن المحتمل أن يكون للتأخير في عمر البلوغ علاقة بالكسب الوزني الضعيف أثناء فترة ما قبل البلوغ. ويبدو أن هناك أملاً ضعيفاً في الحصول على حلول صيدلانية فورية لمشكلة البلوغ المتأخر، ولو أنه من المحتمل جداً أن يكمن حل هذه المشكلة من خلال توفير رعاية جيدة وتغذية محسنة.

الحقن المتواصل للهرمون المنشط للغدد الجنسية بهدف الوصول إلى النتيجة ذاتها. وهذا أيضاً طرح بحد ذاته السؤال حول الضرورة الفيزيولوجية لأن يكون للإشارة الهرمونية نمط نبضي pulsatile pattern.

وفي حدود معرفتنا، لم ترد أية تقارير حول إجراء تشريب متواصل continuous infusion للنعاج الوالدة بالهرمون المنشط للغدد الجنسية، ولو أن مثل هذه التقارير وردت بالنسبة للنعاج المبديّة لغياب شياح فصلي. وقد أدى التشريب المتواصل لجرعة من الهرمون المنشط للغدد الجنسية بلغت 125 أو 250 نانوغراماً في الساعة ولمدة 48 ساعة إلى ارتفاع في تراكيز الهرمون اللوتثيني في مصورة الدم وإلى دفقات أو ارتفاعات في هذه التراكيز أيضاً قبيل الإباضة ومن ثم حصول الإباضة [29]، ولكنه كان ضرورياً للحصول على هذه النتيجة إجراء معالجة أولية بهرمون البروجسترون لضمان تشكل أجسام صفراء عيوشية viable (أو عاملة وظيفياً). أما الدراسات الخاصة بتشريب متواصل للخنزيرات بالهرمون المنشط للغدد الجنسية فهي محدودة، ولو أن Britt وزملاءه [21] أفادوا في هذا المجال بأن الخنزيرات المرضعة التي تلقت تشريباً بهذا الهرمون مقداره 2.5 ميكروغرام/ساعة ولمدة 9 أيام لم يظهر الشياح عليها إلا بعد بلوغها مرحلة الفطام.

وفي أحدث تجارب لنا على الماشية [24] تلقت خلالها أبقار اللحم بعد ولادتها جرعة مقدارها 1.0، أو 2.5، أو 5.0 ميكروغراماً من الهرمون المنشط للغدد الجنسية كل ساعتين ولمدة 48 ساعة مع إعطاء هذه الجرعة إما تشريباً متواصلاً أو حقناً متتالياً بمعدل 24 حقنة كل ساعتين. وقد كانت حصيلّة هذه التجارب أن حدثت أعلى دفقات surges من تراكيز الهرمون اللوتثيني قبيل الإباضة في نصف عدد الأبقار التي تلقت حقناً متتالياً وفي 8 من أصل 10 أبقار تلقت أعلى جرعتين بطريقة التشريب المتواصل.

وحتى تاريخه، يبدو أن المعالجات ذات الجرعة المنخفضة من الهرمون المنشط للغدد الجنسية هي أكثر نجاحاً وثباتاً من حيث إحداث الإباضة في الخنزيرة [21] والنعجة [26] عنها في البقرة [24]، ولو أن هذه النتيجة قد تعكس ببساطة اختلافات في أسلوب تنفيذ المعالجة. وفي حال ضرورة إجراء معالجات بجرعة منخفضة من الهرمون المنشط للغدد الجنسية

غيب الشياح، ولكن أياً منها لم تكن كاملة الفعالية بالنسبة للحيوانات التي تبدي غياب الشياح بشكل عميق. وقد تركّز عملنا على إمكانية محاكاة إفراز الهرمون المنشط للغدد الجنسية من الوطاء وذلك بإعطاء أبقار اللحم بعد الولادة حقنات وريدية متكررة من بيتيد عشاري خارجي المنشأ exogenous decapeptide وخلال فترة تصل إلى حوالي 48 ساعة [24,13]، وقد كان لهذه الطريقة فعالية متوسطة حيث أحدثت الإباضة في حوالي ثلثي الحيوانات المختبرة.

أما بالنسبة للأغنام الوالدة، فقد أحدث إعطاؤها لحقنات متكررة من الهرمون المنشط للغدد الجنسية -بمعدل 100 نانوغرام كل ساعة ولمدة 48 ساعة- دفقات أو رفعات في تراكيز الهرمون اللوتثيني قبل الإباضة ومن ثم الإباضة، غير أن الوظيفة اللوتثينية بقيت ضعيفة أو ناقصة [25]. ومن خلال استخدام نظام معالجة معدل، تمكن Wright وزملاؤه من إحداث إباضة في 11 من أصل 15 نعجة وذلك بإعطائها حقنات من الهرمون المنشط للغدد الجنسية مرة كل ثلاث ساعات ولمدة 24 ساعة، ومرة كل ساعتين ولمدة 24 ساعة، ومرة كل ساعة لمدة 24 ساعة. وقد كانت الوظيفة اللوتثينية طبيعية لدى معظم النعاج المعالجة الأمر الذي حدا بالباحثين إلى الاستنتاج بأن المبيض يحتاج قبل الإباضة إلى فترة تنشيط بواسطة نبضات من الهرمون اللوتثيني وذلك لضمان الحصول على وظيفة لوتثينية طبيعية.

أما في إناث الخنازير المرضعة وغير المرضعة، فقد أحدث الشياح والإباضة فيها عن طريق إعطائها حقنات من الهرمون المنشط للغدد الجنسية مرة كل ساعة أو مرة كل ساعتين [28,27]. وقد حدث الشياح في 3 من أصل 6 خنزيرات مرضعة تم حقنها مرة كل ساعتين بمقدار 2.5 ميكروغراماً من الهرمون المنشط للغدد الجنسية، كما حدث الشياح أيضاً في 6 من أصل 6 خنزيرات مرضعة تلقت 1.5 ميكروغراماً من الهرمون آنف الذكر مرة كل ساعة، بينما لم يحدث الشياح في أي من الخنزيرات الشاهدة.

وفي حال ثبات نجاح التقانة المنوه بها أعلاه، فمن الواضح أن يكون لها في المستقبل فعالية مرموقة لدى عدة أنواع حيوانية، غير أن الحقن الآلي النبضي للهرمون يُعدّ، في الوقت الحالي، غير عملي من الناحية الفنية. ولهذا تحررت الدراسات اللاحقة عن إمكانية

النخامى عائداً بشكل أعظم إلى تأثير حجم الجرعة وليس إلى طريقة إعطاء الهرمون بحد ذاتها .

4.2- الشياح والتحري عنه

كما سبق الإشارة إليه أعلاه، يُعدّ الفشل في حدوث الشياح سبباً هاماً لانخفاض نسبة الخصوبة، لكن الظاهرة الأكثر شيوعاً ربما تكمن في الفشل عن تحري الشياح. وأي تقدم في هذا المجال، على المدى القصير، يمكن إحرازه عبر التطوير المستمر لحقائب التشخيص diagnostic kits (مجموعات التحليل الجاهزة الخاصة بالتشخيص). ويتوافر حالياً على نطاق تجاري عدد من مجموعات التحليل الجاهزة (الحقائب) الخاصة بالتحليل المناعي-الماص sorbent المرتبط بالإنزيم enzyme linked immunosorbent assay (ELISA) وذلك من أجل تقدير هرمون البروجسترون، وهي مجموعات يمكن استخدامها في نفس الوقت لحل هذه المشكلة التي نوقشت أعلاه. ويمكن في المستقبل إحراز تقدم في مجال التحري عن التغيرات الهرمونية المراهقة subtle أو تغيرات أخرى تنبئ عن وقت الإباضة بالمقابلة مع الشياح، وهذا بدوره سيكون أكثر ملاءمة لتوقيت إجراء عملية التلقيح الاصطناعي. وحسب وجهة نظرنا، نرى أن قليلاً من التحسين الجوهرية سيطرأ في المستقبل القريب على التقانات المتوفرة حالياً في هذا المجال.

4.3- التحقق من حدوث الحمل

من الواضح أن المقدرة على الحمل تعد أساساً هاماً في تقويم الأداء التناسلي. والمعدل المنخفض للحمل بعد الإلقاح الأول هو المسبب الرئيسي للأداء التناسلي الضعيف. وفي غياب مرض معدٍ محدد، تصبح المشكلة الرئيسية- على الأقل عند الماشية- هي الموت الجنيني المبكر [33] والذي يحدث عادة قبل حلول اليوم 25 بعد الإلقاح. هذا، ولم يُعرف السبب الدقيق (أو جملة الأسباب) وراء الموت الجنيني المبكر ولو أن ذلك يرتبط عرضياً بتراجع أو اضمحلال مبكر (وقبل الأوان) للجسم الأصغر. وبعبارة أخرى، يبقى الجسم الأصفر، في الحالات الطبيعية، طيلة فترة الحمل أما الموت الجنيني المبكر فيتوافق بفقد مبكر للجسم الأصفر مما يسبب نقصاً

يصبح أمراً ضرورياً استنباط نظام يتيح إيصالها عن طريق الزرق تحت الجلد، وقد بينت تجارب حديثة في هذا المجال أجريت على البكاكير [18] إمكانية تحقيق مثل هذا النظام.

ومن غير المحتمل أن ينجح ويتطور التطبيق العملي لهذا النمط من المعالجات ما لم يتوفر نظام ملائم لإيصال الهرمون وزرقه تحت الجلد. هذا، وقد أجرى McLeod وزملاؤه [30] تجارب على عدد من وسائل النقل القادرة على التحكم بمقدار ما يطلق من الهرمون المنشط للغدد الجنسية فوجدوا بأن أجهزة لزرق غرسات implants مصنعة من «حمض الزبدة - متعدد الهيدروكسيل polyhydroxy-butyric» كانت من نجاحها. ومن ناحية أخرى تبين بأن التركيبات التي تعتمد على الزيت كمادة حاملة تؤدي إلى عدم التحكم بإطلاق الهرمون بشكل كاف لمثل هذه الأغراض.

وأحاطت بعض الشكوك حول موضوع التشريب المتواصل بالهرمون المنشط للغدد الجنسية بالمقارنة مع الحقن أو الزرق المتكرر. ففي الأغنام، أدى تشريب متواصل بالوريد بجرعة مقدارها 2.5 ميكروغرام/ ساعة من الهرمون المنشط للغدد الجنسية [31] إلى حدوث انخفاض قدره 50% في تراكيز «متقبلة النخامى الخاصة بالهرمون المنشط للغدد الجنسية pituitary GnRH receptor» وذلك بعد 24 ساعة من بدء التشريب، ولو أنه أمكن إعادة هذه التراكيز لما كنت عليه بعد إنقضاء 6 ساعات على انتهاء التشريب. أما في الأبقار، فقد سبب تشريب جرعة مقدارها 20 ميكروغرام/ ساعة من الهرمون المنشط للغدد الجنسية الحصول على زيادة أولية في تراكيز الهرمون الغلوتيني بمصورة الدم، أعقب ذلك عودة إلى المستويات السائدة قبل المعالجة بعد 48 ساعة من وقف عملية التشريب [32]. وبعد 14 يوماً من التشريب، بقيت النخامى قادرة على الاستجابة، ولو بقدر أو شدة أقل، لإختبار إعطاء 10 ميكروغراماً من الهرمون المنشط للغدد الجنسية. وهذا يقترح أيضاً حدوث نقص في مستقبلات النخامى pituitary receptors أو على الأقل حدوث شكل من أشكال إضعاف الحساسية. ورغم ماسبق التنويه به، استخدم التشريب المتواصل بنجاح من أجل إحداث الإباضة في بعض الظروف، ولربما كان السبب وراء إضعاف حساسية

بنسبة 70.3% ذلك المتواجد في البروتين البقري المعروف باسم «ألفا 2 - إنترفرون α » - 2-interferon. كما بينت دراسات لاحقة على ارتباط كل من bTP1 و oTP1 بالمتقبلات المتواجدة على بطانة الرحم وبأن التشريب عبر جدار الرحم intra-uterine infusion ببروتينات الحبيبة الاغذائية أو بالإنترفرون المأشوب recombinant interferon يؤدي إلى إطالة الطور اللوتيني في الحيوانات غير الحامل [35,36]. وهكذا قدمت الأبحاث آنفة الذكر الاستنتاج المحتمل الذي يفيد بأن ظاهرة النفوق لبعض الأجنة يمكن عزوها لفشل هذه الأجنة في إنتاج مقدار كافٍ من بروتين الحبيبة الاغذائية. وعليه، فإن هذه النتائج الأولية تطرح بشكل جلي الامكانية المثيرة حول استخدام بروتين الحبيبة الاغذائية المأشوب كوسيلة لمنع أو خفض نسبة النفوق الجنيني في الحيوانات المستأنسة.

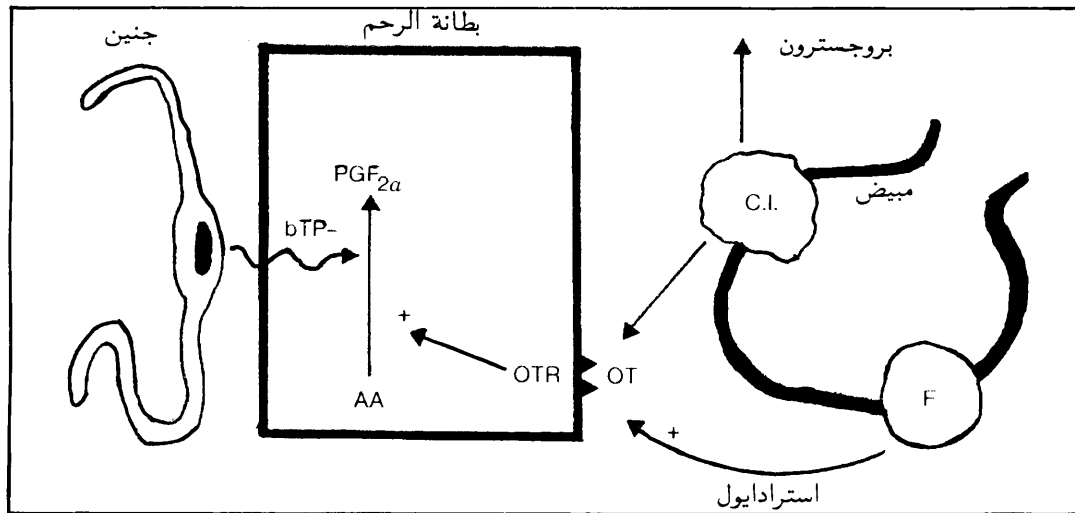
4.3.1- تحسين نسبة الحمل

استخدمت عدة طرائق في هذا المجال من أجل تحسين نسبة الحمل عند الماشية. ومن مراجعة الأبحاث المنشورة حول مقارنات تراكيز هرمون البروجسترون مابين الأبقار الحامل وغير الحامل قبل وبعد الإلقاح [37]، أمكن الاستنتاج بأن المعطيات كانت متضاربة وغير حاسمة في مجمل النقاط. كذلك، أدى إعطاء البروجسترون خلال مرحلة الحمل

في تراكيز البروجسترون ويتيح للحيوان معاودة الشيع وربما في وقته الطبيعي.

وقبل استعراض الطرائق الخاصة بخفض نسبة النفوق الجنيني قد يكون مفيداً تقديم عرض موجز للاكتشافات الجديدة فيما يتعلق بالتحقيق من حدوث الحمل. ففي الحيوان غير الحامل، يسبب البروستاغلاندين - ف 2 ألفا $\text{F}_2\alpha$ prostaglandin المفرز من بطانة الرحم endometrium تراجعاً في الجسم الأصفر، وهذا موضح في الشكل 2.

وهناك دليل يدعو للاعتقاد بأن الاستراديول -17 بيتا المفرز من الجريبات المبيضية المتطورة يحث على اصطناع مستقبلات للأوكسي توسين على خلايا بطانة الرحم. ويعرف الآن بأن الأوكسي توسين oxytocin، والذي هو من أصل لوتيني [34]، يرتبط بهذه المستقبلات وبذلك يحث على اصطناع وإفراز البروستاغلاندين - ف 2 ألفا. وفي مرحلة مبكرة من الحمل في حيوان مجتر طبيعي، يفرز الجنين مركباً بروتينياً ذا وزن جزيئي يقارب 18000 دالتون وذا تأثير مضاد لتحلل اللوتيني، وقد أطلق على هذا البروتين اسم «بروتين الحبيبة الاغذائية رقم 1 الغنمي منه أو البقري ovine or bovine trophoblast protein» (ويطلق عليهما اختصاراً المصطلحين oTP1 و bTP1 للغنمي والبقري منهما على التوالي). وقد تبين حديثاً [35] أن تعاقب الحمض الأميني في oTP1 يشابه



شكل 2- العلاقة بين الجنين، وبطانة الرحم والمبيض. bTP: بروتين الحبيبة الاغذائية البقري؛ AA = حمض الأراكادونيك؛ OT = أوكسي توسين؛ OTR = متقبلة الأوكسي توسين؛ C.I. = جسم أصفر، F: جريب.

من البوسريلين بفواصل زمني قدره 3 أيام بدءاً من اليوم 12 من دورة الشياح وحتى اليوم 48، أمكن الحفاظ على الأجسام الصفراء في تلك الأبقار طيلة فترة المعالجة. وقد أمكن الآن تأكيد النتائج التي حصل عليها Mac Millan وزملاؤه [38] تحت ظروف الحقل في المملكة المتحدة [39] (انظر الجدول 1) والحصول على زيادة في نسبة الحمل قدرها 12% في الأبقار المعالجة. وقد تم أيضاً التوصل إلى تحسينات مشابهة عند الأغنام عن طريق معالجتها بالبوسريلين خلال مرحلة الطور اللوتيني [40].

وكتفسير لنتائج الحالات المنوه بها آنفاً، اقترح [36] بأن البوسريلين يعمل على إعاقة الموجات الطبيعية لنمو الجريبات المبيضية ولهذا فهو يعيق إفراز الاستراديول خلال هذه الفترة مما يؤدي إلى فشل اصطناع متقبلات الأوكسي توسين والتي تمثل بدورها خطوة هامة وضرورية لآلية تحليل الجسم الأصفر (انظر الشكل 2). ومن المحتمل أيضاً تشكل أجسام صفراء إضافية يمكنها أن تعزز أو تزيد من إنتاج البروجسترون.

4.4- تحسين الخصب التناسلي

كان هدف علماء التناسل، ولأمد طويل، زيادة معدل الإباضة والذي يؤدي بدوره إلى زيادة في حجم الخلفة (أو عدد المواليد). واستخدم من أجل ذلك عدد من الطرائق والتي منها استخدام الهرمونات المنشطة للمناسل gonadotrophins، وبخاصة تلك التي لها فعالية مشابهة لتلك الخاصة بالهرمون المنشط للجريب (FSH). وقد كان لاستخدام مثل هذه الهرمونات المنشطة للمناسل دورها في برامج نقل الأجنة. أما الطرائق الأخرى التي ستناقش هنا

المبكر إلى نتائج غير قاطعة ولو أنه يبدو فعالاً عندما تكون نسبة الحمل المراقبة منخفضة بشكل خاص، أي عندما تقع في حدود 40% أو أقل.

وأجريت أيضاً دراسات عديدة حول إعطاء الهرمون المشيمي (المشابه للهرمون اللوتيني) أو الهرمون المنشط للغدد الجنسية، وذلك في يوم الإلقاح، ولكن النتائج بمجملها لم تكن حاسمة أيضاً.

واستخدم Mac Millan وزملاؤه [38] طريقة مختلفة إلى حد ما وذلك في محاولة لدعم الجسم الأصفر عندما يصبح حساساً لآليات تحليله، أي عند الاقتراب من اليوم 16 بعد الشياح عند البقرة. وبموجب هذه الطريقة، أعطيت الأبقار (حوالي 225 بقرة. حقنة واحدة بمقدار 10 ميكوغراماً من مادة البوسريلين buserelin (وهي مركب اصطناعي مضاهي analogue للهرمون المنشط للغدد الجنسية) وذلك في اليوم 11، أو 12، أو 13 بعد عملية التلقيح الاصطناعي. وتم جس الأبقار المعالجة والشاهد مابين الأسابيع 6 إلى 9 بعد عملية التلقيح الاصطناعي وذلك للتأكد من حدوث الحمل، أما الأبقار التي أبدت شياحاً فجرى تلقيحها اصطناعياً مرة ثانية. هذا وقد بلغت نسبة الحمل خلال الأسابيع من 6 إلى 9 بعد الإلقاح الاصطناعي 72.4% و 60.9% وذلك بالنسبة لكل من الأبقار المعالجة والشاهد على التوالي. أما بالنسبة للأبقار التي أعيد تلقيحها اصطناعياً للمرة الثانية، فبلغت نسبة الحمل فيها 85.1% و 69.5% وذلك بالنسبة لكل من الأبقار المعالجة والشاهد على التوالي. وكانت الفروقات بين مجموعتي الأبقار (المعالجة والشاهد) معنوية، وبشكل عال، في كلا الحالتين. وفي تجربة لاحقة [36]، حُقنت خلالها أبقار غير حامل بمقدار 10 ميكوغراماً

الجدول 1- تأثير المعالجة بالبوسريلين buserelin في اليوم 12 بعد التلقيح الاصطناعي على نسبة الحمل عند الأبقار [39].

معنوية الفروق	أبقار شاهد	أبقار معالجة	المعيار
$P < 0.01$	53.4%	65.4%	نسبة الحمل من التلقيح الأول
غير معنوية	52.9%	59.4%	نسبة الحمل من تلقيحات متكررة
$P < 0.01$	91.4	85.3	عدد الأيام من الولادة إلى الحمل
غير معنوية	10.2	5.3	النسبة المئوية للأبقار العقيمة
غير معنوية	1.88	1.58	عدد التلقيحات اللازمة لحمل واحد

من الخلايا الجريبية الحُبابية follicular granulosa cells [42] ويتراكم في السائل الجريبي [43]. وللأنهيين المتحصل عليه من الأغنام والماشية وزن جزئي يبلغ 32000 دالتون ويتركب من تحت وحدتين هما ألفا وبيتا. وقد تبين بأن الجربيات الأكبر حجماً (أكبر من 0.5 مم) هي المصدر الرئيسي للأنهيين عند الأغنام [44]. ويؤدي إعطاء الأنهيين، المتحصل عليه من أنواع حيوانية مختلفة والموجود عادة على صورة سائل جريبي معالج بالفحم (لإزالة الستيرويدات)، إلى تثبيط إفراز الهرمون المنشط للجريب في مصورة الدم، والذي يحدث عادة بعد فترة تأخر تستغرق من 2-3 ساعات [45]. وفي النعاج السليمة، يعقب التثبيط الأولي لإفراز الهرمون المنشط للجريب زيادة تعويضية في إفرازه [46].

وتستغل تأثيرات الأنهيين بتمنيع الحيوانات ضده وبالتالي زيادة إفراز الهرمون المنشط FSH. وقد أمكن إجراء التمنيع ضد أجزاء من السائل الجريبي المحتوي على فعالية للأنهيين وأدى ذلك إلى زيادة عابرة في متوسط نسبة الإباضة، حيث ارتفعت هذه النسبة في عدد قليل من النعاج من 1.2 إلى 2.3، والتي أمكن أيضاً تحقيقها في سنوات لاحقة بعد إعطاء جرعات معززة [47,48]. كذلك، بينت الدراسات الحديثة

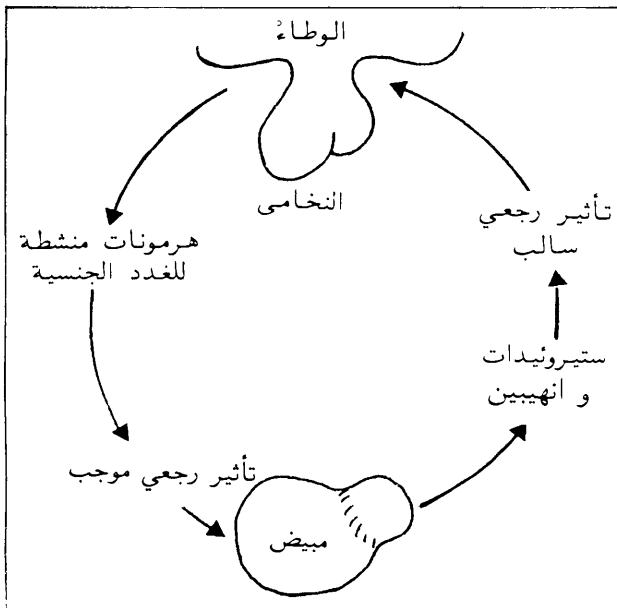
بشكل مقتضب فهي التمنيع immunization ضد كل من الستيرويدات والأنهيين.

4.4.1- التمنيع ضد الستيرويدات

للستيرويدات المبيضية تأثير رجعي سلبي negative feedback أو مثبط لإفراز الهرمونات المنشطة للمناسل (الشكل 3). وقد تبين أن تمنيع الأغنام ضد أنواع مختلفة من الستيرويدات يؤدي إلى زيادة في معدل الإباضة ومايستتبع ذلك من زيادة في نسبة الحملان المولودة lambing percentage [40]. ومن أكثر الطرائق فاعلية في هذا المجال كان التمنيع الفاعل ضد الأندروستينديون androstenedione، وهو مركب مولد للإستروجين، كما كان مثل هذا التمنيع الأساس في إنتاج مركب «فيكوندين fecundin» (cooper-Pitman-Moore, Crewe, UK). وقد بينت التجارب الحقلية المجراة على أكثر من 3000 غنمة في المملكة المتحدة جرى تمنيعها ضد المركب الآنف ذكره حدوث زيادة وسطية قدرها 25% في نسبة الحملان المبراة [41]، غير أنه في نفس الوقت لوحظ وجود تباين مرموق (تراوح ما بين 2- وحتى +49%) في الاستجابة ما بين المزارع المختلفة مما يقترح حدوث تداخلات مع العرق والتغذية وعوامل أخرى. ولهذا لم يلق المركب المذكور نجحاً على النطاق التجاري في المملكة المتحدة، ولربما ساهمت في ذلك عوامل أخرى منها التقنية المعقدة نسبياً لهذه الطريقة ولكونها تحتاج إلى ظروف رعاية دقيقة جداً من أجل الحصول على أقصى فائدة متوخاة منها. ومن وجهة نظرنا، لا بد لنجاح مثل هذه التقانات أن تكون متينة وذات قدرة تحمل عظيمة كي يكون أداؤها سليماً ومستمراً تحت الظروف الحقلية، وهذا يشكل بحد ذاته صعوبة رئيسية تواجه استخدام مثل هذه التقانات في بلدان عديدة. وحتى وقتنا الراهن، لم تثبت في الماشية إمكانية الحصول بشكل مستمر على إباضات ثنائية باستخدام تقانات التمنيع الستيرويدي.

4.4.2- التمنيع ضد الأنهيين

الأنهيين inhibin عبارة عن ببتيد تنتجه المناسل في كل من الذكر والأنثى والذي يعمل، وبشكل انتقائي، على تثبيط إفراز الهرمون المنشط للجريب FSH (انظر الشكل 3). وفي الأنثى، يُفرز الأنهيين



شكل 3- العلاقة بين الهرمونات المبيضية والهرمونات المنشطة للغدة الجنسية.

REFERENCES

المراجع

- [1] THATCHER, W. W., Effects of season, climate and temperature on reproduction and lactation, J. Dairy Sci. 57(1984) 30.
- [2] JAINUDEEN, M. R., "Reproduction of draught animals: Does work affect female fertility?", Draught Animal Power for Production (COPLAND, J. W., Ed.), ACIAR proc. Series No. 10, Australian Centre for Int. Agricultural Research, Canberra (1985) 130-133.
- [3] MOMONGAN, V. G., "Reproduction in draught animals", ibid., pp. 123-128.
- [4] DOBSON, H., KAMPONPATANA, M., A review of female cattle reproduction with special reference to a comparison between buffaloes, cows and zebu, J. Reprod. Fertil 77 (1986) 1-36.
- [5] JEGGO, M. H., RICHARDS, J.I., DARGIE, J. D., "The use of immunoassay diagnostic kits in developing countries", Biotechnology and Livestock in Developing Countries (Proc. Conf. Edinburgh, 1989) (HUNTER, A., Ed.), Centre for Tropical Veterinary Medicine, Edinburgh (1991) 286-303.
- [6] BULMAN, D. C., LAMMING, G.E., Milk progesterone levels in relation to conception, repeat breeding and factors influencing acyclicity in dairy cows, J. Reprod. Fertil. 54 (1978) 447-458.
- [7] HAMMON, M., FLEET, I.R., HOLD-SWORTH, R.J., HEAP, R.B., The time of detection of oestrone sulphate in milk and the diagnosis of pregnancy in cows, Br. Vet.J. 137 (1981) 71.
- [8] CUNNINGHAM, N.F., HATTERSLEY, J.J.P., WRATHALL, A.E., Pregnancy diagnosis in sows based on serum oestrone sulphate concentration, Vet. Rec. 113 (1983) 229-233.
- [9] McLEOD, B.J., FOULKES, J.A., WILLIAM, M.E., WELLER, R.F., Predicting the time of ovulation in dairy cows using on-farm milk progesterone kits, Anim. Prod. 52 (1991) 1-10.
- [10] DOBSON, H., RANKING, J.E.F., WARD, W.R., Bovine cystic ovarian disease: Plasma hormone concentrations and treatment, Vet. Rec. 110 (1977) 459-461.
- [11] FOXCROFT, G.R., HARESIGN, W., HAYNES, N.B., LAMMING, G.E., PETERS, A.R., Gonadotrophins-Domestic animals, Acta Endocrinol. 288 (1988) 41-50.
- [12] McLEOD, B.J., HARESIGN, W., LAMMING, G.E., Response of seasonally anoestrous ewes to small-dose multiple

إمكانية إحداث زيادة مسيطر عليها في نسبة الإباضة وذلك عن طريق التمنيع ضد الإنهيين في الأبقار [49] والخنازير [50].

5- استنتاجات ختامية

نقد تم بإيجاز استعراض مجالات مختارة لبحوث حديثة في حقل فيزيولوجيا التناسل عند حيوانات المزرعة. وتبين بأن تطبيق التقنية الحيوية biotechnology سيحدث إمكانات تقدم مثيرة في مجال تحويل وتحسين الخصوبة الحيوانية، وبخاصة من خلال اصطناع الببتيدات ذات الفعالية الهرمونية ومن خلال استنباط الجديد من المركبات المستمعة immunogens (أو المولدة للضد). ولكن، لا بد، ويقدر الامكان، أن يواكب تطوير المعرفة الفيزيولوجية تطويراً لكل من الأنظمة الخاصة بإيصال العقاقير والأنظمة المساعدة على إعطاء اللقاحات وذلك حتى يتسنى تطبيق المكتشفات الجديدة في أقرب فرصة ممكنة. في الختام، ومن خلال خبراتنا السابقة نود الإشارة إلى ملاحظتين تحذيريتين، ألا وهما: (أ) قد لا يكون ملائماً إدخال معالجات التقنية الحيوية المعقدة عانية التطور من أجل تحسين الخصوبة مالم تتوفر حدود دئيا من ظروف الرعاية والتغذية ومكافحة المرض، و(ب) سوف يتطلب الأمر استنباط منتجات موثوقة جداً ومتينة وذات قدرة تحمل عظيمة إذا ما أردنا لها النجاح في بيئة حقليّة عدوانية قاسية.

injections of GnRH with and without progesterone pretreatments, J. Reprod. Fertil. 65 (1982) 223-230.

- [13] RILEY, G.M., PETERS, A.R., LAMMING, G.E., Induction of pulsatile LH release, FSH release and ovulation in post-partum acyclic beef cows by repeated small doses of GnRH, J. Reprod. Fertil. 63 (1981) 559-565.
- [14] ELLENDORFF, F., ELSAESSER, F., Endocrine Causes of Seasonal and Lactational Anoestrus in Farm Animals, Nijhoff, Dordrecht (1985).
- [15] FOSTER, D.L., YELLON, S.M., OLSTEF, D. H. Internal and external determinants of timing of puberty in the female, J. Reprod. Fert. 75 (1985) 3344.
- [16] DODSON, S.E., McLEOD, B.J., HARESIGN, W., PETERS, A.R., LAMMING, G.E.,

- Endocrine changes from birth to puberty in the heifer, *J. Reprod. Fertil.* **82** (1988) 527-538.
- [17] McLEOD, B.J., PETERS, A.R., HARESIGN, W., LAMMING, G.E., Plasma LH and FSH responses and ovarian activity in prepubertal heifers treated with repeated injections of low doses of GnRH for 72 h, *J. Reprod. Fertil.* **74** (1985)5
- [18] JAGGER, J.P., PETERS, A.R., McLEOD, B.J., LAMMING, G.E., Pituitary and ovarian responses to prolonged administration of low doses of GnRH in prepubertal heifers, *Anim. Reprod. Sci.* **18**(1989)111-124.
- [19] SORENSON, A.J., et al., Causes and prevention of reproductive failures in dairy cattle. I. Influence of underfeeding and overfeeding on growth and development of Holstein heifers, *Bull. Cornell Univ. Agric. Exp. Sta.* (1959) 936-951.
- [20] PETERS, A.R., RILEY, G.M., Milk progesterone profiles and factors affecting post-partum ovarian activity in beef cows, *Anim. Prod.***34**(1982)145-153.
- [21] BRITT, J.H., ARMSTRONG, J.D., COX, N.M., ESBENSHADE, K.L., Control of follicular development during and after lactation in sows, *J. Reprod. Fertil., Suppl.* **33** (1985)37-54.
- [22] HUNTER, G.L., Some factors affecting rebreeding during the post-partum period *Anim. Breed. Abstr.* **36** (1968) 347-377.
- [23] PETERS, A.R., LAMMING, G.E., Lactational anoestrus in farm animals, *Oxford Rev. Reprod. Biol.***12**(1990)245-288.
- [24] JAGGER, J.P., PETERS, A.R., LAMMING, G.E., Hormone responses to low-dose GnRH treatment in post-partum beef cows, *J. Reprod. Fertil.***80**(1987)263-269.
- [25] WRIGHT, P.J., GEYTENBEEK, P.E., CLARKE, I.J., FINDLAY, J.K., LH release and luteal function in post-partum acyclic ewes after the pulsatile administration of LH-RH, *J. Reprod. Fertil.* **67** (1983) 257-262.
- [26] WRIGHT, P.J., GEYTENBEEK, P.E., CLARKE, I.J., FINDLAY, J.K., Induction of plasma LH surges and normal luteal function in acyclic post-partum ewes by the pulsatile administration of LH-RH, *J. Reprod. Fertil.* **71** (1984)1-6.
- [27] COX, N.M., BRITT, J.H., Pulsatile administration of GnRH to lactating sows: Endocrine changes associated with induction of fertile oestrus, *Biol. Reprod.* **27** (1982) 1126-1137.
- [28] ARMSTRONG, J.D., BRITT, J.H., Pulsatile administration of gonadotrophin-releasing hormone to anoestrous sows: Endocrine changes associated with GnRH- induced and spontaneous oestrus, *Biol. Reprod.* **33** (1985) 375-380.
- [29] McLEOD, B.J., HARESIGN, W., LAMMING, G.E. Induction of ovulation in seasonally anoestrous ewes by continuous infusion of low doses of GnRH, *J. Reprod. Fertil.* **68** (1983) 489-495.
- [30] McLEOD, B.J., HARESIGN, W., PETERS, A.R., HUMKE, R., LAMMING, G.E., The development of subcutaneous delivery preparations of GnRH for the induction of ovulation in acyclic sheep and cattle, *Anim. Reprod. Sci.* **17** (1988) 33-50.
- [31] CROWDER, M.E., HERRING, R.D., NETT, T.M., Rapid recovery of gonadotroph function after down-regulation of receptors for GnRH in ewes, *J. Reprod. Fertil.* **78** (1986) 577-585.
- [32] LAMMING, G.E., McLEOD, B.J., Continuous infusion GnRH reduces the LH response to an intravenous GnRH injection but does not inhibit endogenous LH secretion in cows, *J. Reprod. Fertil.* **82** (1988) 237-246.
- [33] SREENAN, J.M., DISKIN, M.G., "The extent and timing of embryonic mortality in the cow", *Embryonic Mortality in Farm Animals* (SREENAN, J.M., DISKIN, M.G., Eds), Nijhoff, Dordrecht (1986) 1-11.
- [34] WATHES, D.C., Possible actions of gonadal oxytocin and vasopressin, *J. Reprod. Fertil.* **71** (1984) 315-345.
- [35] STEWART, H.J., FLINT, A.P.F., LAMMING, G.E., McCANN, S.H.E., PARKINSON, T.J., Antiluteolytic effects of blastocyst-secreted interferon investigated in vitro and in vivo in the sheep, *J. Reprod. Fertil., Suppl.* **37** (1989) 127-138.
- [36] THATCHER, W.W., MacMILLAN, K.L., HANSEN, P.J., DROST, M., Concepts for regulation of corpus luteum function by the conceptus and ovarian follicles to improve fertility, *Theriogenology* **31** (1989) 149-164.
- [37] DISKIN, M.G., SREENAN, J.M., "Progesterone and embryo survival in the cow", *Embryonic Mortality in Farm Animals* (SREENAN, J.M., DISKIN, M.G., Eds), Nijhoff, Dordrecht (1986) 142-158.
- [38] MacMILLAN, K.L., TAUF, V.K., DAY, A.M., Effects of an agonist of gonadotrophin releasing hormone (buserelin) in cattle. III. Pregnancy rates after a post-insemination injection during metoestrus or dioestrus, *Anim. Reprod. Sci.* **11** (1986) 1-10.
- [39] DREW, S.B., PETERS, A.R., "The effect of treatment with a gonadotrophin releasing hormone on the fertility of dairy cows", *Proc. British Society of Animal Production Winter Meeting, Scarborough, 1991, Anim. Prod.* (in

- press).
- [40] McMILLAN, W.H., KNIGHT, T.W., MacMILLAN, K.L., Effects of gonadotrophin releasing hormone (buserelin) on sheep fertility, *Proc. N.Z. Soc. Anim. Prod.* **46** (1986) 161-163.
- [41] SCARAMUZZI, R.J., HOSKINSON, R.M., "Active immunization against steroid hormones for increasing fecundity", *Immunological Aspects of Reproduction in Mammals* (CRIGHTON, D.B., Ed.), Butterworth, London (1984) 445-474.
- [42] STUBBING, L.A., MAUND, B.A., Effects on the fecundity of Sheep of immunization against androstenedione, *Vet. Rec.* **123** (1988) 489-492.
- [43] ERICKSON, G.F., HSUEH, A.J.W., Secretion on inhibin rat granulosa cells in vitro, *Endocrinology* **103** (1978) 1960-1963.
- [44] TSONIS, C.G., et al., Inhibin in individual ovine follicles in relation to diameter and atresia, *J. Reprod. Fertil.* **67** (1983) 83-90.
- [45] FINDLAY, J.K., TSONIS, C.G., STAPLES, L.D., CAHILL, R.N.P., Inhibin secretion by the sheep ovary, *J. Reprod. Fertil.* **76** (1986) 751-761.
- [46] FINDLAY, J.K., ROBERTSON, D.M., CLARKE, I.J., Influence of dose and route of administration of bovine follicular fluid and the suppressive effect of purified bovine inhibin (MW 31 000) on plasma FSH concentrations in ovariectomized ewes, *J. Reprod. Fertil.* **80** (1987) 455-461.
- [47] McNEILLY, A.S., Effect of changes in FSH induced by bovine follicular fluid and FSH infusion in the pre-ovulatory phase on subsequent ovulation and corpus luteum function in the ewe, *J. Reprod. Fertil.* **74** (1984) 661-668.
- [48] CUMMINS, L.J., O'SHEA, T., AL-OBADI, S.A.R., BINDON, B.M., FINDLAY, J.K., Increase in ovulation rate after immunization of Merino ewes with a fraction of bovine follicular fluid containing inhibin activity, *J. Reprod. Fertil.* **77** (1986) 365-372.
- [49] GLENCROSS, R.G., BLEACH, E.C., McLEOD, B.J., BEARD, A.J., KNIGHT, P.J., Increased ovulation rate in heifers immunized against a synthetic peptide sequence of bovine inhibin, *J. Reprod. Fertil., Abstr. Ser. No 6* (1990) Abstr. 30.
- [50] BROWN, R.W., et al., Immunization against recombinant bovine inhibin subunit causes increased ovulation rates in gilts, *J. Reprod. Fertil.* **90** (1990) 199-205.

Key Words

الكلمات المفتاح

- 1-oestrous cycle..... دورة الشياح (الشبق).
- 2-fertility..... خصوبة
- 3-follicle stimulating hormone (FSH)..... الهرمون المنشط للجريب
- 4-fusion..... تشريب
- 5-radioimmunoassay..... تحليل مناعي إشعاعي
- 6-ovulation..... إباضة
- 7-immunization..... تمنيع
- 8-artificial insemination..... تلقيح اصطناعي
- 9-biotechnology..... تقانة حيوية

هل النواقل الفائقة فائقة النقل حقاً ؟ *

د. إ. هيو

مخابر بل AT و T ، في موري هيل نيوجرسي ، الولايات المتحدة الأمريكية

م. ب. إ. فيشر

مركز أبحاث واتسون التابع لـ IBM ، يوركتاون هايت - نيويورك ، الولايات المتحدة الأمريكية

د. س. فيشر

قسم الفيزياء ، جامعة هارفارد ، كامبريدج ، ماساشوسيتس ، الولايات المتحدة الأمريكية

ملخص

إن الفرق الأكثر إثارة بين سلوك النواقل الفائقة ذوات درجات الحرارة العالية من أكاسيد النحاس وسلوك ما سبقها من النواقل الفائقة ذوات درجات الحرارة المنخفضة من النمط II هو أن التناقص التدريجي للمقاومة الكهربائية مع درجة الحرارة ، بوجود حقل مغنطيسي ، يكون أكبر في النمط II . وهذا يثير سؤالاً فيما إذا كان للنقل الفائق من النمط II مقاومة معدومة تماماً ، عند تبريده في حقل مغنطيسي . يشير البرهان النظري والتجريبي الآن إلى أنه بانخفاض درجة الحرارة ، ثمة انتقال طوري واضح نحو طور فائق الناقلية حقيقي ، تهيمن فيه الشوائب ويحوي ترتيباً فوضوياً مجمّداً لدوامات Vortices تدفق مغنطيسي .

النمط II . ومن دواعي السخرية ، أن الخاصة الأصلية والمعروفة للنواقل الفائقة ، ألا وهي المقاومة المنعدمة ، كانت الخاصة الأقل فهماً في بعض الأحيان . أدى اكتشاف النواقل الفائقة عالية درجة الحرارة الحرجة من أكسيد النحاس في عام 1986 إلى إحياء الاهتمام بالناقلية الفائقة وإلى تطوير مجموعة جديدة من مواد النمط II حيث تكمن الناقلية الفائقة في طبقات CuO_2 . وبالرغم من أن الاهتمام قد تركز على الآلية المجهرية للناقلية الفائقة في هذه المواد وعلى خصائصها المميّزة في حالتها العادية ، فإن كثيراً من خواصها الجهرية تتباين بشكل لافت للنظر عما هي عليه في ما سبقها من النواقل الفائقة . يبيّن الشكل 1 مقاومة المركب $\text{Bi}_2\text{Sr}_2\text{CaCu}_2\text{O}_{8+\delta}$ (المعروف بـ BSCCO) على سلم لوغاريتمي بتابعة درجة الحرارة ومن أجل حقول مغنطيسية مختلفة الشدة . ففي الحقل المغنطيسيّ المعدوم يظهر الزوال المفاجيء

في عام 1911 ، وجد ك. أونسن Onnes أن المقاومة الكهربائية للزئبق تزول فجأة عند درجة حرارة أدنى من 4.2 كلفن . وقد قادت هذه المشاهدة التاريخية للناقلية الفائقة إلى الكشف عن حشدٍ من ظواهر متعلقة بها ، من بينها طرد الحقول المغنطيسية الخارجية (أثر مايسنر Meissner effect) ، واستكمام التدفق المغنطيسي . بلغت محاولات فهم هذه الظواهر ذروتها في النظرية الظاهرية لـ جينزبورغ Ginzburg ولاندau Landau . وقد قدمت نظرية باردن - كوبر - شرايفر (BCS) Bardeen - Cooper - Schreiffer للمجهرية تبريراً لنظرية جينزبورغ - لاندau وفسّرت كثيراً من خواص أخرى للنواقل الفائقة [1] . ورغم أن غالبية الخواص الجهرية (الماكروسكوبية) للنواقل الفائقة أصبحت مفهومة بحلول عام 1970 ، بيد أنه بقيت مسائل نظرية متعلقة بفهم الزوال الظاهري للمقاومة في مجموعة واسعة من النواقل الفائقة: مواد

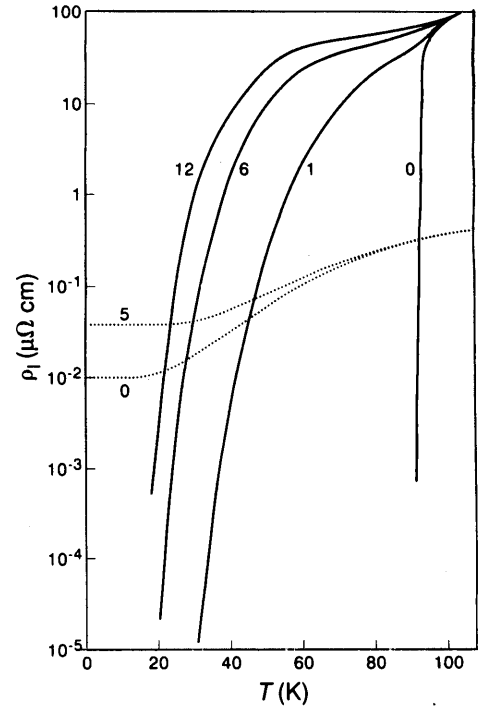
* هذا المقال منشور في مجلة Nature, Vol. 358, 13 August 1992 . ترجمة الدكتور عادل حرفوش - قسم الكيمياء - وراجعه الدكتور توفيق قسام - عضو اللجنة الاستشارية العلمية - هيئة الطاقة الذرية السورية .

الفائقة من النمط II تعاني انتقالاً طورياً حقيقياً إلى حالة ذات مقاومة معدومة تماماً عندما تبرد في حقل مغنطيسي، أم أن العملية مجرد انخفاض بالمقاومة إلى حد يصعب معه قياسها؟ سنستعرض هنا المحاولات الحديثة التي جرت للإجابة عن هذه الأسئلة وما يتصل بها. ورغم أن هذه القضايا يمكن أن تتدرج تماماً ضمن إطار نظرية جينزبورغ لاندau التقليدية، وإن يكن ذلك بقيم غير متعارف عليها للوسطاء، تتطلب الإجابات عنها فهماً للتأثيرات المتبادلة ما بين التأرجحات الحرارية القوية، والشوائب المتوضعة عشوائياً وعيوب بلورية أخرى، وبين النقل في الأوساط غير المرتبة. شهد كل مجال من هذه المجالات تطوراً واسعاً في النظرية والتجربة وفي سياقات أخرى خلال العقدين المنصرمين. ولم يكن فهمنا الحالي على الأقل بالنسبة للأسئلة الرئيسية إن لم يكن لجميع الأجوبة المتعلقة بالناقلية الفائقة - ممكناً لولا التحسينات التي طرأت في هذه المجالات اللامترابطة ظاهرياً خلال الفترة الواقعة ما بين 1970 و 1985 تقريباً التي كان بحث الناقلية الفائقة فيها معلقاً نسبياً.

خطوط التدفق والدوامات


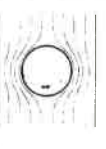

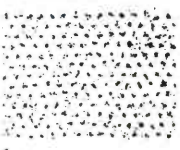
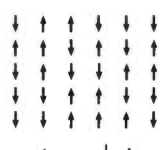
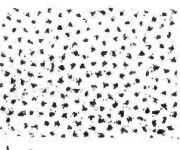
عندما يبرّد ناقل فائق إلى ما دون درجة حرارة تحوّلّه، تتزاوج الإلكترونات معاً لتشكيل أزواج كوبر Cooper pairs. وبالرغم من أن النظرية المجهرية BCS تعطي تفسيراً لسبب حدوث هذا التزاوج، تبقى نظرية جينزبورغ - لاندau، الأقدم والأبسط والأكثر ظاهريّة، كافية، بل وضرورية حقاً، لفهم كثير من الخواص المميزة، الأكثر لفتاً للنظر، لطور النقل الفائقة [1]. فهي تُركّز تحديداً على التابع الموجي الكمومي المترابط، ψ ، لأزواج كوبر، وتغيراته في المكان والزمان، وعلى تأثيراته المتبادلة مع الحقلين الكهربائي والمغنطيسي. وهذا التابع الموجي هو مقدار سُلّمي عقدي ويمكن بالتالي تمييزه بسعته وطوره: $\psi = |\psi| e^{i\phi}$.

تتغير بوجه عام كل من سعة التابع الموجي وطوره في المكان والزمان، لكن التعلقات المكانية في الطور، ϕ ، لها الأولوية في تشكيل الخواص المدهشة للناقلية الفائقة. فعندما تبرّد المادة إلى حالة الناقلية الفائقة، بغياب الحقل المغنطيسي، يصبح طور التابع الموجي متعلقاً جبرياً macroscopically correlated، وله نفس



الشكل 1- تابعة مقاومة الاستجابة الخطية لدرجة الحرارة $\rho_1 = \lim_{T \rightarrow 0} [E/J]$ ، حيث E الحقل الكهربائي و J كثافة التيار في المادة. نتجت المنحنيات المتواصلة من أجل $\text{Bi}_2\text{Sr}_2\text{CaCu}_8\text{O}_{8+\delta}$ (BSCCO)، وللمقارنة، رُسم المنحنيات المتقطعة من أجل النحاس ذي الناقلية العالية. نتج كل منحن عن قيمة خاصة للحقل المغنطيسي، مقاسة بـ التسلا. أخذت هذه البيانات من المراجع 33 - 35. يبقى هبوط المقاومة في النواقل الفائقة منخفضة درجة الحرارة حاداً تماماً حتى بوجود حقل مغنطيسي (كما هو الحال من أجل BSCCO في الحقل الصفري فقط).

للمقاومة عند درجة حرارة تحوّل حرجة $T_c \approx 90\text{K}$ ، غير أنه في حقول مغنطيسية معتدلة، شداتها بضع واحداث من التسلا، تكون المقاومة قابلة للقياس حتى عند درجات حرارة أدنى من 20K بخلاف التوقع الذي يفترض زوالها الفجائي عند درجة حرارة $T_{c2}(H)$ قريبة من 80 K. وفي الواقع، بوجود حقول أشد من 5T، لا يُصبح المركب BSCCO أفضل نقلاً من نحاس جيد إلا دون الدرجة 30K. تثير هذه المعطيات أسئلة أساسية. هل BSCCO هو بالفعل فائق الناقلية (بمقاومة معدومة حقاً) عند درجات حرارة منخفضة وبوجود حقل مغنطيسي؟ وتعبير أعم، هل النواقل

مغناطيس	ناقل فائق
 <p>مغناطيس حديدية</p>	 <p>ψ منظم لا وجود للدوامات لا وجود للتيارات</p>
 <p>مغناطيس حديدية معاكسة</p>	 <p>شبكة دوامية</p>
 <p>زجاج سبيني</p>	 <p>زجاج دوامي</p>

الشكل 2- مخططات لترتيب سبيني في نظم مرتبة مغناطيسياً (القسم اليساري، حيث تشير السهام إلى توجه السبينات الموضعية) والأطوار المشابهة الترتيب في ناقل فائق (القسم اليميني). ففي طور مايسنر للناقل الفائق (العلوي) يُطرد كل من الحقل المغناطيسي والدوامات من المادة، كما توضحه خطوط الحقل المغناطيسية حول كرة فائقة الناقلة مثالية. ومن أجل الشبكة الدوامية والزجاج الدوامي فقد أُشير لأوضاع الألباب الدوامية بنقاط وللتيارات السارية بسهام في الرسوم البيانية؛ وعلى اليمين توجد صور للتوزعات الدوامية على البلورات BSCCO حُصل عليها بفضل وسم السطح بجسيمات مغناطيسية ناعمة آثرت الالتصاق بالقرب من خطوط التدفق المغناطيسي عند كل دوامة. (أخذت صور الزخرفة من العمل الوارد في المرجع (36)).

المختلطة. يُؤلف الحقل المغناطيسي خطوط تدفق في المادة، وينقل كل خط بالضبط وحدة واحدة من التدفق المغناطيسي، وهي كم التدفق $\phi_0 \equiv hc/2e$ الذي يتحدد بالشحنة الكلية $2e$ لأزواج كوبر. ويُحدّد قطر كل خط تدفقي بواسطة طول مُميّز، يدعى طول الاختراق المغناطيسي، ويُرمز له بـ λ . وبوجه أعم، λ هو المقاس الطولي الذي يمكن للحقل المغناطيسي في ناقل فائق أن يتغير ضمنه. وبجوار منتصف كل خط تدفقي تتخاد سعة التابع الموجي، $|\psi|$ ، لزوج كوبر حتى الصفر. وتسمى المنطقة التي تتخاد فيها السعة

القيمة الوسطية زمنياً في كل نقاط المادة. وتعرف مثل هذه التفاعلات الجهرية بـ «الترتيب (النسق) بعيد المدى long-range order» وهو مفهوم يقوم بدور رئيسي في فيزياء المادة المكثفة الحديثة.

هناك مثال تقليدي آخر عن الترتيب (النسق) البعيد المدى نجده في المواد المغناطيسية. تظهر هذه الترتيبات في عدد لا يحصى من التشكيلات، بدءاً من المواد ذات المغناطيسية الحديدية والمواد ذات المغناطيسية الحديدية المعاكسة وحتى المواد المثبطة الغريبة exotic frustrated materials المسماة «الزجاجيات السبينية» spin glasses [2]. توجد تشابهات مثيرة بين أنماط الترتيب المغناطيسي وبين الحالات المنظمة لناقل فائق عندما نضعه في حقل مغناطيسي، كما يوضحه الشكل 2. إذ يمكن أن نتصور سبينات الإلكترونات في جسم صلب كمغانط مجهرية بالغة الصغر. ففي مادة ذات مغناطيسية حديدية، تقود التأثيرات المتبادلة بين السبينات إلى توجيهها وفق إتجاه واحد عبر المادة كلها. تُنتج هذه الظاهرة التعاونية مغناطيساً دائماً، حيث يتجه كل سبين وسطياً نحو القطب الشمالي للمغناطيس، مثلاً. إن ترتيباً مغناطيسياً بعيد المدى كهذا يشابه إلى حد كبير الترتيب البعيد المدى في ناقل فائق، حيث يقوم اتجاه ψ في المستوى العقدي (الطور ϕ) بدور التوجيه السبيني.

إن إحدى الخواص المميزة التقليدية لناقل فائق، والتي غالباً ما تستعمل في اختبار مواد جديدة للدلالة على إمكانية النقل الفائق، هي طرد الحقل المغناطيسي الخارجي الضعيف وهو ما يعرف بأثر مايسنر (الشكل 2). ورغم أن النواقل الفائقة تطرد حقولاً مغناطيسية ضعيفة، فإن الحقل ذا الشدة الكافية سيخترق المادة، لكنه سيترك عواقب غير اعتيادية. ففي النواقل الفائقة من النمط I لا يمكن للحقل المغناطيسي اختراق المادة إلا على حساب تدمير الناقلة الفائقة. أما في النمط II من النواقل الفائقة، فهناك حل وسط: يتم طرد الحقول الضعيفة، بينما الحقل الذي تزيد شدته على قيمة حرجية دنيا، H_{c1} ، يخترق المادة بصورة لا متجانسة، مشكلاً الحالة

منهما، وكما سنرى، ليس قوياً بما يكفي كي يقاوم العيوب والتأرجحات في المواد الحقيقية. وأكثر النوعين وضوحاً هو ذو التعلقات الانسحابية والتوجيهية بعيدة المدى الموجودة في الترتيب الدوامي ذاته، المشابهة مباشرة للتعلقات البلورية في الجسم الصلب. أما النوع الثاني من الترتيب البعيد المدى فهو أكثر براعة: يُرتب طور التابع الموجي، ϕ ، وفق نموذج فضائي غير عادي، معبراً عن الشبكة الدوامية المبينة أدناه. ويتشابه ترابط الطور البعيد المدى هذا مع ترتيب المغنطة الحديدية المعاكسة في المواد المغنطيسية، التي تظهر فيها السبينات الالكترونية ترتيباً ذا بنية فضائية دورية (انظر الشكل 2).

وإذا ما زادت شدة الحقل المغنطيسي في الشبكة الدوامية، تصبح الدوامات أكثر تقارباً فيما بينها وتبدأ ألباها بالتراكب. وعند الشدة الحرجة العليا للحقل يتلاشى كل من الشبكة الدوامية وتزواج الإلكترونات، وتصبح المادة عادية. وباهمال التأرجحات الحرارية تكون شدة الحقل الحرجة العليا $H_{C2} = \phi_0 / (2\pi \xi^2)$ ، وبالتالي فإن أطوالاً ترابطية قصيرة تقود إلى شدات حقول حرجة علوية كبيرة. أما من أجل النواقل الفائقة من أكاسيد النحاس ذوات درجات الحرارة الحرجة T_c العالية وعند درجات حرارة منخفضة فلا بد وأن تقود أطوال الترابط القصيرة إلى حقول حرجة علوية تتجاوز 100 تسلا، أي أكبر من الحقول المتوفرة في مغناط اليوم. يُظهر الشكل 3a، مخططاً طورياً كاملاً لناقل فائق من النمط II، حصل عليه من معالجة نظرية جينزبورغ - لانداو بحقل وسطي، وذلك من أجل قيمة خاصة لـ K . كما توجد مخططات طورية مماثلة جيدة كميّاً من أجل نواقل فائقة من النمط II صافية تقريباً وذات درجة حرارة حرجة منخفضة. إلا أن التأرجحات الحرارية وعيوب العينة، التي أُسقطت من الحساب حين استنتاج الشكل 3a، يمكن أن تغير كثيراً من هذا المخطط الطوري [7].

التأرجحات الحرارية

تلعب التأرجحات الحرارية عادة دوراً ثانوياً في حالة النواقل الفائقة منخفضة درجة الحرارة الحرجة، في حين تكون التأرجحات الحرارية ذات شأن أكبر

بشدة «اللّب الدوامي vortex core» و له نصف قطر يساوي طول التماسك ξ ، وهو الطول الأساسي الثاني المنسوب للنواقل الفائقة. ففي أكاسيد النحاس عالية درجة الحرارة الحرجة، يكون ξ ، الواقع في المجال 10^{-2} إلى 10^{-3} سم، في درجات الحرارة المنخفضة، أصغر بكثير من 10^{-3} سم، الذي يتجاوز 1000\AA [3]. في النمط II للنواقل الفائقة منخفضة درجة الحرارة الحرجة، فيكون ξ عادة أكبر بكثير. تُعدّ النسبة $K = \lambda/\xi$ وسيطاً هاماً غير ذي أبعاد. ففي نظرية جينزبورغ - لانداو، تشير القيمة $K = 1/\sqrt{2}$ إلى الحدود الفاصلة بين مواد النمط الأول ومواد النمط الثاني. وهكذا تُعدّ أكاسيد النحاس عالية درجة الحرارة الحرجة، T_c ذات القيم العالية جداً لـ K ، نوقس فائقة من النمط الثاني متطرفة. وسنحصر اهتمامنا هنا بالنواقل الفائقة من النمط الثاني، التي تنتقل إلى الحالة المختلطة عندما يخترق المادة حقل مغنطيسي.

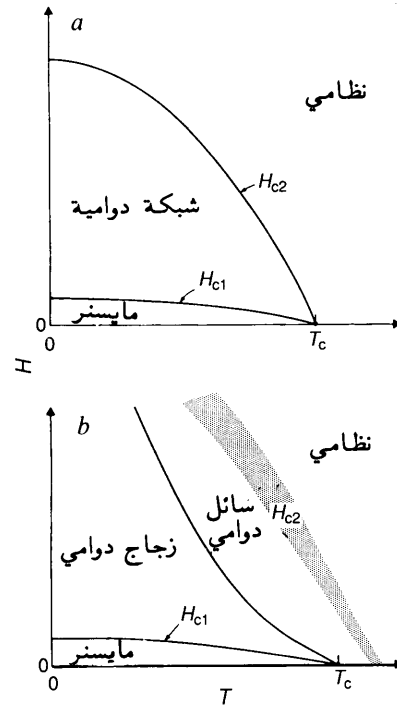
خلال دورة كاملة حول لبّ الدوامية، يتبدل (يلتف) طور التابع الموجي بمقدار 2π . وينعكس هذا التبدل الطوري على هيئة تيارات كهربائية (تيارات فائقة) تسير حول الدوامية، حاجبة الحقل المغنطيسي وحاصرة إتياء ضمن مسافة λ عن لبّ الدوامية. وعلى عكس الدوامات في السوائل العادية، تكون الدوامية في دوامة ناقل فائق مكتملة؛ أي يجب أن يكون التغير الطوري حول الدوامية مضاعفات صحيحة من 2π لأن التابع الموجي ψ أحادي القيمة. وبسبب هذا التكميم، تكون دوامة الناقلية الفائقة مستقرة توبولوجياً، ولا يمكن لخط الدوامية أن ينتهي ضمن الناقل الفائق.

أوضح أبريكوسوف [4] طبيعة الدوامية أو خطوط التدفق وتنبأ بأنه عند وضع ناقل فائق من النمط الثاني ضمن حقل مغنطيسي شدته أعلى من القيمة الحرجة الدنيا H_{c1} ، فعلى الدوامات التي تخترق المادة أن تشكل شبكة منتظمة. لقد تم إثبات هذا التنبؤ بعد عقد من الزمن [5] بتجارب زخرفة مغنطيسية magnetic decoration التي أظهرت ترتيباً مثالياً لخضوط التدفق، وهو ما دعي بشبكة أبريكوسوف الدوامية (الشكل 2) وإذا ما أهملت التأرجحات الحرارية تظهر شبكة أبريكوسوف الدوامية نوعين من الترتيب البعيد المدى، بالرغم من أن أيّاً

الاختراق كبيرة. إن طول الترابط، ξ ، هو تقريباً من قياس أزواج كوبر المربوطة من الإلكترونات، التي تكون أصغر بكثير في المواد عالية درجة الحرارة الحرجة، وتعبّر أطوال الاختراق الكبيرة عن نواقل فائقة ضعيفة بسبب الكثافة المنخفضة نسبياً للأزواج الإلكترونية المتحركة.

لقد اكتشفت الآثار الأكثر لفتاً للنظر للتأرجحات الحرارية المعززة في النواقل الفائقة عالية درجة الحرارة الحرجة عند وجود حقل مغناطيسي مطبق. يوضح الشكل 3b المخطط الطوري لناقل فائق من النمط الثاني مع تأرجحات حرارية قوية. لنلاحظ نظام السائل الدوامي فيما بين الحقل الحرج العلوي لحقل وسطي، $H_{C2}(T)$ ، والطور الزجاجي الدوامي. فبال تبريد في حقل مغناطيسي، تبدأ الإلكترونات بالتزاوج وتشكل الدوامات في تابع موجه الزوج الإلكتروني بجوار القيمة H_{C2} ، غير أن الدوامات لا تتجمد إلا عند درجات حرارة منخفضة بشكل محسوس. لقد لوحظ وجود نظام سائل دوامي حقيقي في حالة أفلام فائقة الناقلية [8، 9]، بينما لم يلاحظ وجوده في النواقل الفائقة الكتلية إلا بعد أن درست النواقل الفائقة لأكاسيد النحاس [10، 11]. تكون الدوامات في السائل الدوامي متحركة ولها تعالقات قصيرة المدى منحسرة في مواقعها، تشبه كثيراً الذرات في السائل العادي. يمتد نظام السائل الدوامي إلى درجات الحرارة المنخفضة بخاصة في المواد ذات الطبقات اللامتناحية بشدة (مثل BSCCO) عند توجيه الحقل المغناطيسي عمودياً على الطبقات [12، 13]. في هذه الحالة، تتكون الخطوط الدوامية في الواقع من أوتار من دوامات نقطية أو قرصية في كل طبقة فائقة الناقلية، مع تعالقات ضعيفة نوعاً ما بين الدوامات في طبقات مختلفة. وهكذا فإن وجود نظام سائل دوامي على نطاق واسع يُفسّر معطيات المقاومة لـ BSCCO المبينة في الشكل 1 بصورة طبيعية.

إن السائل الدوامي هو المماثل الطبيعي، لطور المغنطة المسيرة المضطرب، الذي يحصل في المواد المغناطيسية المسخنة لدرجة حرارة أعلى من درجة حرارة كوري (أو نيل). و في المغناطيسية، لا



انشكل 3- (a)، مخطط طوري لناقل فائق من النمط II، تم فيه تجاهل التأرجحات الحرارية والعيوب المادية، كنوع لدرجة الحرارة، T ، ولحقل مغناطيسي مطبق، H . يعد هذا المخطط الطوري، من وجهة نظر وصفية، صحيحاً لغالبية النواقل الفائقة من النمط II منخفضة درجة الحرارة الحرجة. (b)، مخطط طوري بياني لناقل فائق من النمط II مع تأرجحات حرارية قوية، كما في أكاسيد النحاس cuprates عالية درجة الحرارة الحرجة. وفي غياب عيوب المادة كان من الممكن أن يكون الطور المرتب المنخفض درجة الحرارة في حقل مغناطيسي أعلى من H_{C1} شبكة دوامية إنما العيوب الدائمة الوجود تعمد استقرار الشبكة الدوامية، ناقلة إياها إلى الطور الزجاجي الدوامي، كما هو مبين. والتحول عند H_{C2} في (a) حصل توسيعه هنا بفعل التأرجحات وغدا مجرد عبور تدريجي من معدن طبيعي إلى سائل دوامي، أشير إليه بالمنطقة المظلمة.

فهو أكثر انخفاضاً في حالة المواد عالية درجة الحرارة الحرجة حيث تكون أطوال الترابط صغيرة وأطوال بكثير في النواقل الفائقة لأكاسيد النحاس عالية درجة الحرارة الحرجة. والسبب هو أن درجات الحرارة أعلى والطاقات اللازمة لإحداث الدوامات وتحريكها تكون أدنى. إن المقاس الطاقوي المناسب هو الذي يلزم لخلق قطعة من خط دوامة طولها يساوي طول ترابطي واحد [7]. وهذا المقاس الطاقوي يتغير كتغير ξ/λ^2 ، وبالتالي

لاحقاً هناك بعض المقاومة اللاخطية، حتى في طور مايسنر: لا بد من من الحاجة لحقل كهربائي غير صفري للحفاظ على أية كثافة تيار غير صفيرية داخل المادة، وبالتالي فإن المقاومة اللاخطية $\rho \equiv E/J$ لا تختفي إلا عندما تتناهى كثافة التيار إلى الصفر. وفي ناقل فائق بالحالة المختلطة ($H > H_{C1}$)، توجد خطوط دوامية، تحرّضت بالحقل المغنطيسي المخترق. وتؤدي حركات هذه الخطوط إلى المقاومة. وفي نظام السائل الدوامي تكون الخطوط الدوامية متحركة بسبب التآرجحات الحرارية ولو بدون تيار، ويمكنها بذلك أن تتحرك متجاوبة مع التيار، ومسببة مقاومة لاصفيرية. ولكن ماذا عن هذه الخطوط في طور شبكة أبريكوسوف الدوامية؟ قد يكون الجواب مدهشاً، ففي مادة نظيفة تماماً ومثالية يكون مجمل الشبكة الدوامية حراً للتحرك استجابة للتيار، ومسبباً أيضاً مقاومة لاصفيرية. وبالتالي، ففي ناقل فائق مثالي لا يكون طور شبكة أبريكوسوف الدوامية في الحقيقة فائق الناقلية. ورغم ذلك، غالباً ما تملك المواد الحقيقية عيوباً بنيوية وكيميائية (أوساخاً) ويمكن لهذه أن تعيق حركة الشبكة الدوامية [14]. فوجود حقل مغنطيسي نافذ، وإذا ما أردنا الإجابة عن السؤال المطروح في العنوان، لا بد لنا من أخذ الدور الذي يلعبه الوسخ بعين الاعتبار.

الوسخ والطور الزجاجي الدوامي

منذ أكثر من عشرين سنة مضت، اثبت لاركين Larkin [15] أن العيوب المادية تدمر الترتيب البلّوري البعيد المدى لشبكة أبريكوسوف الدوامية، إذ يوجد تنافس بين أثرين (مفعولين): فالتأثيرات المتبادلة بين الخطوط الدوامية تدعّم البنية الشبكية، في حين تسعى العيوب المادية المتوضعة عشوائياً إلى تثبيت الخطوط عند مواقع عشوائية، مُمزقةً بذلك بنية الشبكة. وقد بيّن لاركين أن التثبيت الدوامي العشوائي بعد مقاس طوليّ مُميّز، l_L ، يسيطر ويُدمّر الطور الشبكيّ الدوامي. ورغم أن قِدَ مناطق البلورات المكروية l_L يمكن أن يكون طويلاً جداً في حالة التثبيت الضعيف، فإن التعالقات الشبكية (الموضعية) البعيدة المدى تتخرب إلى مسافات تفوق l_L . تؤكد النظرية التقليدية لحركة الدوامية، المبنية على أفكار نشأت في بداية الستينيات عند أندرسون

بأن السائل الدوامي أي ترتيب بعيد المدى: تقود حركة الدوامية إلى خلط طور تابع موجة الزوج الإلكتروني. معطلة بذلك أية إمكانية ترابط طوري بعيد المدى ومخرية الناقلية الفائقة. ويجب التأكيد على أن السائل الدوامي في الواقع ليس طورياً متميزاً تتطور خواصه برفق وباستمرار لدى تزايد الحقل أو درجة الحرارة بدءاً من H_{C2} وحتى الحالة العادية.

المقاومة

أي الأطوار في المخططات الطورية (الشكل 3) هو حقاً فائق النقل، وله مقاومة معدومة؟ على الرغم من أن المقاومة الصفيرية هي الخاصة المميّزة للناقل الفائق من عدة أوجه، إلا أنها في بعض النواحي، الأصعب على التفسير. يعود الجزء الحاسم من المقاومة لحركة الخطوط الدوامية، التي تُسبب التبدد وبالتالي المقاومة. ففي ناقل فائق يجري التيار الكهربائي الموضعي في الاتجاه الذي يتزايد فيه الطور ϕ وتكون كثافة التيار J متناسبة مع معدل زيادة الطور ϕ في هذا لاتجاه: $J \propto \nabla \phi$. يؤثر هذا التيار بقوة ماغنيس Magnus على الخط الدوامي، دافعاً إياه نحو داخل التيار (هناك مفعول شديد الشبه بذلك يعطي صفيحة هوائية رقيقة دفعاً نحو الأعلى عندما ينفخ الريح عبرها). إن التغير الكلي في الطور ϕ عند عبور مادة فائقة الناقلية من أحد جانبي خط الدوامية يختلف بمقدار 2π عن التغير الذي نجده عند العبور من لجانب الآخر. وعند تحرك خطوط الدوامية عبر المادة إستجابة لقوة ماغنوس فإنها تتحرك باتجاه يُخفّض التغير الكلي للطور وبالتالي يُخفّض (يبدّد) التيار. وللحفاظ على تيار ثابت، يجب الحفاظ على فرق الكمون (وبالتالي على الحقل الكهربائي E) عبر المدة. يعمل فرق الكمون على زيادة فرق الطور عبر المادة، معادلاً بذلك النقص العائد لحركة الخطوط الدوامية، وبالتالي يحافظ على تيار مستقر. في طور مايسنر ($H_{C1} > H$) يُطرد الحقل المغنطيسي من المادة ولا توجد خطوط دوامية حرة لتتحرك وتسبب المقاومة. ولذا فطور مايسنر هو طور فائق الناقلية حقاً وذو مقاومة خطية صفيرية $\rho_1 \equiv \lim_{J \rightarrow 0} \{E/J\} = 0$. علماً أن ρ_1 هي المقاومة الأومية التي تقيس الاستجابة الخطية لتيار أو لحقل مطبق. وكما سنرى

الدقيقة للدوامات المجمدة. إن الترتيب الموجود في هذا الطور الفائق الناقلية يماثل مباشرة الترتيب المغنطيسي الذي يحصل في بعض السبائك المغنطيسية العشوائية، المسماة بالزجاجيات السبينية (أنظر الشكل 2). ففي الزجاجيات السبينية [2]، تتجمد المحاور السبينية للالكترونات زمنياً، ولكنها بدلاً من أن تنتظم على استقامة واحدة كما في المغناط الحديدية، أو وفق نموذج دوري فضائي كما في المغناط الحديدية المعاكسة، تتوجه هذه المحاور السبينية وفق ترتيب نوعي العينة تحدده التفصيلات المجهرية للمادة. وبسبب هذا التشابه، سمي الطور الفائق الناقلية الجديد بـ «الزجاج الدوامي Vortex glass» [19].

وعلى نقيض طور مايسنر، يوجد الطور الزجاجي الدوامي الفائق الناقلية في المواد غير النقية فقط. ولقد بينا بأنه يمكن للنواقل الفائقة في حقل مغنطيسي نافذ أن تكون بالفعل فائقة الناقلية فقط عندما تكون ملوثة. وأن التثبيت العشوائي الموجود إلى حد ما في أية مادة حقيقية، مهما كانت دقة تحضيرها، يعدم استقرار الطور الشبكي الدوامي (الذي لم يكن فائق الناقلية بالفعل) ويحوّله إلى الطور الزجاجي الدوامي الفائق الناقلية.

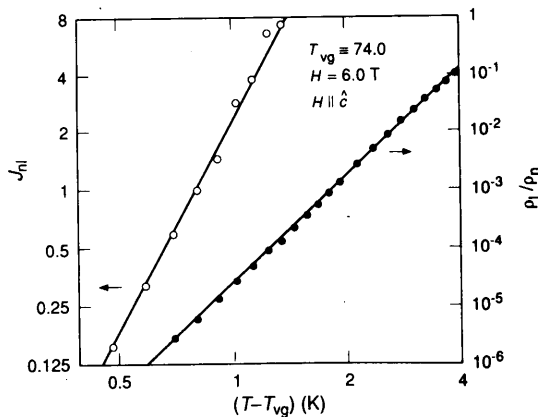
وبرأيي، فإن الخلل الأساسي في نظريات الحركة الدوامية المنشطة حرارياً والمبنية على أعمال أندرسون وكيم [17, 16, 14] هو أنها تفترض وجود حركة مستقلة لحزم محدودة من قطع الخط الدوامي. لكن، وكما أشرنا أعلاه، لا يمكن لخط دوامي أن ينتهي في ناقل فائق، لذا فإن الخطوط الدوامية مجبرة على البقاء متصلة في الوقت الذي تتحرك فيه قطعها. وأثبتنا أنه عند درجات الحرارة المنخفضة يظل هذا الاجبار (التقييد) سارياً وأن التأثيرات المتبادلة بين الخطوط الدوامية (التي تمتد بعيداً إلى مسافات من مرتبة طول الاختراق، λ) لا يمكن إهمالها، حتى لمسافات طويلة أبعد من القدر الشبكي المجهرى λ_L . تسبب هذه التأثيرات المتبادلة تعالقات طورية يمكنها في درجات حرارة كافية الانخفاض أن تنتشر اعتباطياً إلى مسافات طويلة، منتجة ترتيباً بعيد المدى للطور الزجاجي الدوامي.

سنأخذ الآن بالاعتبار بعض التنبؤات الرئيسية لنظرية الطور الزجاجي الدوامي وإثباتاتها التجريبية.

Anderson وكيم Kim [17, 16, 14]، أنه يمكن لحزم محدودة finite bundles لقطع من خطوط دوامية ذات طول وقطر من مرتبة λ_L ، أن تتحرك بفعل التنشيط الحراري عبر منظر أخاذ من حواجز طاقة حرة ناجمة عن التثبيت. تهمل في هذا التقريب التأثيرات المتبادلة ما بين الحزم الدوامية. ونظراً لكون الحزم محدودة، فإن للحواجز ارتفاعاً أعظمية محدوداً، U . وإن من شأن الحركة المستقلة للحزم الدوامية التي يفرضها التيار المطبق أن تدمر الترابط الطوري للتابع الموجي للزوج. وتقود إلى مقاومة محدودة ذات صيغة منشطة حرارياً (صيغة أرينيوس Arrhenius): $\rho_1 \sim \exp(-U/k_B T)$. وهكذا تم التنبؤ بأن السلوك الجهري للدوامات في الحالة المختلطة هو نفس سلوك السائل الدوامي المتشاكل جداً (كجريان الدبس البارد خلال إسفنجية). وحسب هذه النظرية، لا تكون النواقل الفائقة في حقل مغنطيسي فائقة الناقلية بالفعل، إلا عند درجة الصفر المطلق. ومع ذلك فإن هذا الاستنتاج، من أجل أغراض عملية، غالباً ما يكون غير ذي أهمية فيما يخص النواقل الفائقة التقليدية: أي إن $U/k_B T$ تكون كبيرة لدرجة أن ρ_1 تصبح صغيرة لا يمكن قياسها إلا في الجوار القريب جداً من الخط H_{C2} .

أما من أجل النواقل الفائقة لأوكاسيد النحاس عالية درجة الحرارة الحرجة من ناحية أخرى، فإن $U/k_B T$ غير كبيرة وهذا يستلزم إعادة اعتبار المسألة من جديد، خاصة في ضوء القياسات التجريبية الجديدة (كتلك المعروضة في الشكل 1 مثلاً). لقد قمنا حديثاً بتحري سيناريو مختلف [18, 7] عن ذاك الذي تخيّل أندرسون وكيم. وبينما أنه بالتبريد، يعاني السائل ذو الخطوط الدوامية المتفاعلة مع مواقع التثبيت العشوائية تحولاً طورياً ترموديناميكياً حاداً إلى طور فائق الناقلية حقيقي مع دوامات غير متحركة وبالتالي مقاومة صفرية بالمعنى التام. وفي هذا الطور الفائق الناقلية تتجمد الدوامات وفق تشكيل توفيقى نوعي العينة، تتحدد تفصيلاته بفعل التنافس بين تفاعلات الدوامات فيما بينها وتفاعلاتها مع الشوائب المجهرية في المادة. وبسبب جمود الدوامات، يملك الطور في تابع الموجة الزوجي ترتيباً بعيد المدى حقيقياً، رغم ما يديه المخطط العشوائي الذي يعكس بالتفصيل المواقع

مجموعات إعادة الاستنظام [25] في ظواهر حرجة بجوار التحولات الطورية المستمرة بأن الأسات الحرجة هي أرقام عامة تميز نمط التحول إنما تكون غير حساسة للتفاصيل المجهرية، كما هي في المادة. إضافة لذلك، يمكن للمرء أن يتوقع بأن هناك قوانين تدرج عامة يمكنها ربط القياسات في الدرجات المختلفة للحرارة بجوار التحول، شريطة أن تقاس كل كمية فيزيائية بأساً مناسباً للمقدار $(T - T_{vg})$. سنركز بشكل خاص على التبدد dissipation كنموذج للتنبؤ المطبق: أي منحنيات التيار بدلالة التوتر. وكمثال على قانون التدرج [7] نتوقع تلاشي المقاومة الخطية، $\rho \sim (T - T_{vg})^s$ ، عندما تقترب نحو التحول من الأعلى، حيث $s = v(z-1)$. لقد لوحظ قانون القوة هذا مع قيمة للأس $s \approx 6.5$ من أجل عينة من YBCO ضمن مجال من درجات الحرارة تهبط فيه المقاومة بأكثر من أربع مراتب [21] (الشكل 4).



الشكل 4- التدرج في النظام الحرج الزجاجي الدوامي في بلورة YBCO ضمن حقل مغنطيسي شدته 6 تسلا، مطبق موازياً للمحاور c للمادة (أي عمودياً على مستويات CuO_2). أخذت المعطيات من المرجع 21. تمثل الدوائر المصمتة قيم المقاومة الخطية، ρ_l ، مقسومة على المقاومة في الحالة العادية، ρ_n ، ومرسومة وفق سلم لوغاريتمي بدلالة الفرق بين درجة الحرارة، T ، وبين تلك التي يحصل عندها التحول الطوري الزجاجي الدوامي، $T_{vg} = 74\text{K}$. ويعطي ميل الخط الذي تحدده الدوائر المصمتة قيمة الأس s الحرج الذي $S = v(z-1) \sim 6.5$. أما الدوائر البيضاء فتشير إلى قيم كثافة التيار، J_{n1} (بواحدات اختيارية)، من أجل البداية الألاخطية في المقاومة. ويعطي الميل هنا القيمة $2v \sim 4$.

لقد جاء الدليل على وجود الطور الزجاجي الدوامي من تجارب النقل التي أجريت على النواقل الفائقة لأوكسيد النحاس، خلال السنوات القليلة الماضية [20 - 24].

التحول ذو الطور الزجاجي الدوامي

إن الأسلوب الناجع لتمييز طور فائق الناقلية حقاً، بمقاومية معدومة تماماً، عن سائل دوامي بمقاومة صغيرة لدرجة يتعذر قياسها لكنها غير معدومة، هو البحث عن تحول طوري أثناء انخفاض درجة الحرارة. فلذا ما وجد الطور الزجاجي الدوامي انفاثق الناقلية، فينبغي أن يحدث تحول طوري ترموديناميكي حاد يفصله عن السائل الدوامي (غير انفاثق الناقلية). قد يكون هذا التحول الطوري من المرتبة الأولى، حيث ستقفز المقاومة في هذه الحالة إلى الصفر بشكل متقطع وستكون خواص أخرى غير مستمرة عند التحول الطوري، أو قد يكون التحول الطوري هذا مستمراً (من المرتبة الثانية). وفي الحالة الأخيرة، التي يبدو أنه تم الحصول عليها في عينات من $\text{YBa}_2\text{Cu}_3\text{O}_7$ (YBCO) ذات تثبيت عشوائي شدته كافية، يمكن أن نتوقع سلوكاً تدريجياً حرجاً عاماً universal critical scaling behaviour عند درجات حرارة قريبة من درجة حرارة تحول الطور الزجاجي الدوامي، T_{vg} .

يحصل السلوك التدريجي الحرج في جميع التحولات الطورية المستمرة [25] ويمكن عزوه إلى وجود طول مميز يتغير عند التحول. ففي ما يعلو التحول الزجاجي الدوامي، يكون الطول المقصود، ξ_{vg} ، المقاس الطولي الذي ضمنه يكون طور التابع الموجي الزوجي متعلقاً (مع أنه في نموذج عشوائي). وكما في غالبية التحولات الطورية المستمرة، يمكن للمرء، أن يتوقع تباعداً في طول الترابط تبعاً لقانون قوة، كلما اقتربنا من درجة حرارة التحول: حيث $\xi_{vg} \sim |T - T_{vg}|^{-\nu}$ مُميز بالأس ν الحرج. ويمكن أيضاً توقع تباطؤ حرج للديناميكيات بجوار التحول الطوري، المستمر مع زمن استرخاء، τ ، متباعد تبعاً لقوة ξ_{vg} ، $\tau \sim \xi_{vg}^z \sim |T - T_{vg}|^{-z/\nu}$ ، حيث z الأس الحرج انديناميكي. وهذا الزمن، بالتقريب، هو الزمن الذي يحتاجه تارجح ذو قدر ξ_{vg} للاسترخاء. تتنبأ نظرية

المعادلة (1) أن يسلك سلوك $J \sim J^{(z-1)/2}$ من أجل قيم كبيرة لـ J . ثم عند T_{vg} نجد أن $J \sim J^{(z-1)/2}$ أو $\rho(J) \sim E$ ، وهي علاقة قانون قوة بين التوتر والتيار. أظهرت منحنيات التيار بدلالة التوتر (I-V) YBCO التي قاسها كوش ومساعدوه Koch et al. [20]، الخصائص العامة للتحويل ذي الطور المستمر (الشكل 5). يشير الخط المتقطع إلى سلوك قانون القوة عند T_{vg} . ومن أجل $T > T_{vg}$ و $J < J_{nl}$ ، لوحظ وجود سلوك أومي مع $\rho_1 J$ ، $E \approx \rho_1 J$ ، في حين أنه من أجل تيارات أشد تصبح اللاخطية محسوسة ويتناقص كل من ρ_1 و J_{nl} باستمرار أثناء اقتراب T من T_{vg} من الأعلى. إن قيم الأسات الحرجة المستخلصة من التجريبتين [20 و 21] الموصوفتين أعلاه تتوافق جيداً، رغم اختلاف العينات وكثافات التيار المدروسة. علاوة على ذلك، أظهرت محاكيات حاسوبية حديثة [26، 27] لنموذج فائق الناقلية دليلاً على التحويل ذي الطور الزجاجي الدوامي مع أسات حرجة ماثلة.

مقاومة لا أومية

يوجد مباشرة تحت التحويل الزجاجي الدوامي عند T_{vg} سلوك تدريجي [7] يشابه العلاقة (1)، مع مقياس متميز للتيار J_{nl} . بيد أن السلوك لا يكون أومياً من أجل $J > J_{nl}$ ؛ وعلى الأصح، كلما تناقص التيار يتلاشى التوتر بأسرع من أي قوة للتيار، كما هو مبين من الانحاء نحو ميلانات شديدة جداً عند أسفل ويمين الشكل 5. يُعزى هذا النظام التبددي لحركة دوامية في الطور الزجاجي الدوامي المرتب. ولفهم ذلك، دعنا نتأمل أولاً آليات التبدد المشابهة في طور مايسنر الأكثر بساطة.

لا يوجد في طور مايسنر دوامات حرة ($H < H_{cl}$)، إنما تحصل تلقائياً وعند درجات حرارة مخالفة للصفر، تأرجحات حرارية مُحدثة على نحو نموذجي إشارات موضعية ذات طاقة حرة من مرتبة الطاقة الحرارية، $k_B T$. إن نمطاً واحداً من الاثارة الحاصلة والذي بإمكانه أن يؤدي إلى تبدد في تيار ما هو عبارة عن حلقات دوامية مغلقة ذات محيط محدود [28] (الشكل 6). وتكون الطاقة الحرة، $f_v(R)$ ، لحلقة دوامية دائرية ذات نصف قطر R متناسبة تقريباً مع محيطها، $f_v(R) \approx 2\pi R \epsilon$ ، حيث ϵ هي الطاقة الحرة

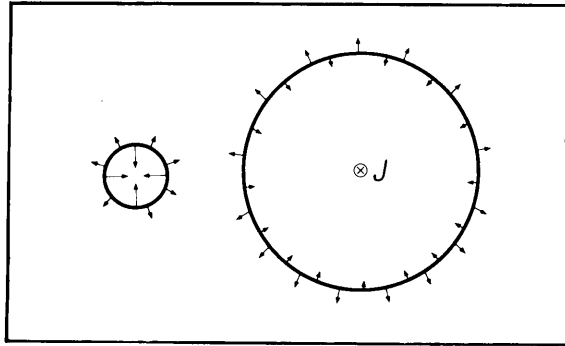
وعند درجات من الحرارة تقع في الجوار العلوي القريب من الدرجة T_{vg} ، تتمتع حالة السائل الدوامي بطول ترابطي طويل جداً ξ_{vg} . لكن هذه التعالقات يمكن أن تتعطل بفعل حركة الخط الدوامي التي تسببها بالذات كثافة التيار المطبق J الضعيفة، وهكذا تكون المقاومة اللاخطية $\rho(J) = E/J$ حساسة جداً لقيمة J عند درجات حرارة قريبة من T_{vg} . ومن المهم تعريف مقياس متميز لكثافة التيار J_{nl} . على أنه التيار الذي تتعطل عنده بشكل ملحوظ حالة السائل الدوامي. وتحديدًا، عندما تكون $T_{vg} < T$ نختار J_{nl} كتيار تتضاعف من أجله المقاومة اللاخطية: $\rho(J_{nl}) = 2\rho_1$. لقد تنبأنا في [7] أن اضمحلال J_{nl} يكون متناسباً مع مقلوب مربع طول الترابط، $J_{nl} - \xi_{vg}^{-2} \sim (T - T_{vg})^{2\nu}$ ، فقد قادت قياسات غاميل ومساعديه Gammel et al. على YBCO إلى الأس $2\nu \approx 4$ (الشكل 4). إن هذا الهبوط السريع لـ J_{nl} عندما تقترب T نحو T_{vg} من الأعلى هو النتيجة التجريبية المتناقضة بصورة لافتة للنظر مع النظريات التقليدية [14، 16، 17] للحركة الدوامية المنشطة حرارياً. تفترض هذه النظريات أن طول التعالق هو تقريباً طول العبور اللاركيني l_L ، لarkin's crossover length l_L ، لذا فهي لم تتنبأ بأي تبعية حرارية قوية لـ l_L في هذا النظام. وهكذا أخفقت الطريقة التقليدية إذن عند درجات حرارة وكثافات تيار منخفضة إلى حدٍ يكفي لأن يكون طول الترابط، ξ_{vg} ، أكبر من قد المناطق البلورية المجهرية l_L .

بالإضافة إلى التنبؤ بسلوكيات قانون القوة هذه، تتنبأ نظرية التدرج بأن تابعة الحقل الكهربائي لكثافة التيار ستكون نفسها من أجل أية درجة حرارة مجاورة لـ T_{vg} إنما فوقها شريطة أن يكون التبدد معائراً بالمقاومية الخطية وتكون كثافة التيار معايرة بالكثافة J_{nl}

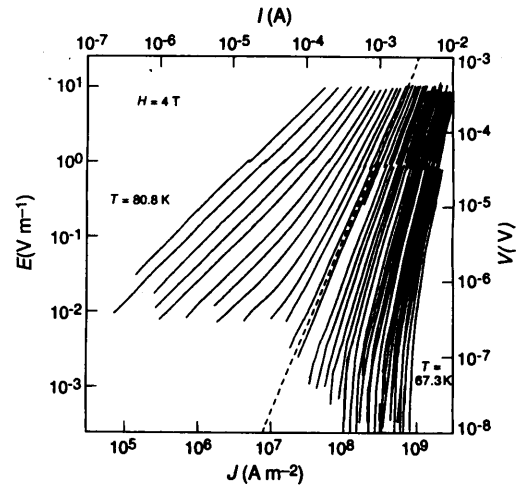
$$\frac{\rho(J)}{\rho_1} \equiv \frac{E}{J\rho_1} \approx \mathcal{R}_+ \left(\frac{J}{J_{nl}} \right) \quad (1)$$

حيث $\mathcal{R}_+(J \rightarrow 0) = 1$ هو تابع تدرج عام مع J_{nl} ومن التعريف الذي ورد أعلاه لـ J_{nl} ، فلن $\mathcal{R}_+(1) = 2$. وكلما انخفضت T نحو T_{vg} عند قيمة ثابتة لـ J ، يتباعد كل من $\rho(J)/\rho_1$ و J/J_{nl} . وكي يكون لـ E و $\rho(J)$ سلوك جيد عند T_{vg} ، يجب على تابع التدرج في

تطبق على الحلقة باتجاه الخارج ذات شدة وسطية واستمرارية كافيتين لبلوغ الحلقة هذا القدر. وفي غياب أي تيار مطبق فستكتمش على الأرجح مثل هذه الحلقة الدوامية بسرعة إستجابة لقوة موجودة دائماً تتجه نحو الداخل قيمتها ϵ/R بوحدة الطول تنشأ من توتر خطها وانحنائه. لنفترض، من ناحية ثانية، أنه توجد كثافة تيار منتظمة J مارة عبر الحلقة. فيمكن حينئذ لقوة ماغنوس المتجهة نحو الخارج والناجمة عن هذا التيار أن توازن القوة المتجهة نحو الداخل الناجمة عن توتر الخط الدوامي (الشكل 6) وأن تحدث حلقات ذات أنصاف أقطار أكبر من قدر حرج $R_c(J) \approx \epsilon/J$ مما يؤدي إلى توسع غير محدود؛ أي تحدث الحركة الدوامية الناتجة بتدريجاً محدوداً (إن عملية تجمع نوى الحلقات الدوامية بنصف قطر أكبر من نصف القطر الحرج $R_c(J)$ ، مشابهة لعملية تشكل نوى (تجمع) جرمي لقطيرات سائل في بخار فوق مشبع، ويلعب التيار المطبق دور درجة فوق الاشباع و R_c دور نصف قطر القطيرة الحرج) ويكون

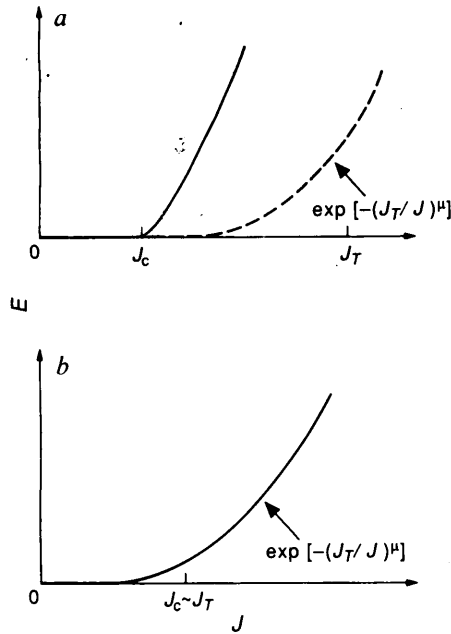


الشكل 6- تمثل الدائرتان ثخينتا المحيط إشارات حلقة دوامية مغلقة في طور مايسنر. وتشير السهام المتجهة إلى الداخل إلى القوة المطبقة على الحلقة والعائدة لتوتر (شدة) خط الدوامية؛ تتناسب سعة هذه القوة مع تقوس الحلقة. وبوجود كثافة تيار مارة عبر الحلقة (عمودية على سطح الحلقة) هناك أيضاً قوة ماغنوس المطبقة على الحلقة نحو الخارج والعائدة لتفاعل الحلقة مع هذا التيار (لو كان التيار معكوساً لتشكلت قوة نحو الداخل). إن الحلقة اليسارية أصغر من نصف القطر الحرج وبالتالي فالقوة نحو الداخل أكبر فتسعى الحلقة للانكماش. أما الحلقة اليمينية فهي أكبر من نصف القطر الحرج وبالتالي فالقوة نحو الخارج هي المهيمنة وتسعى لتوسيع مستمر للحلقة، مساهمة بذلك في تبديد التيار.



الشكل 5- منحنيات الكمون بدلالة التيار عند درجات حرارة ثابتة من أجل فيلم نضيد (منضود) epitaxial film سمكه $0.4 \mu m$ من YBCO ضمن حقل مغنطيسي، شدته 4 تسلا، مطبق موازياً لمحاور المادة c (عمودياً على مستويات طبقة CuO_2). تختلف المنحنيات المتجاورة عن بعضها بمجالات من درجة الحرارة يساوي الواحد منها $0.3 K$ تقريباً وقد أُشير على الشكل إلى درجة الحرارة العليا والدنيا. رسمت المنحنيات وفق سلاسل لوغاريتمية، وأشير أيضاً إلى كثافات التيار J والحقول الكهربائية. يشير المستقيم المنقطع إلى درجة حرارة التحول الزجاجي الدوامي عند $T_{vg} \approx 77 K$ وحيث $E \sim J^{(z+1)/2}$ مع $z \approx 4.8 \pm 0.2$. وفي درجات الحرارة لأعلى من T_{vg} عند كثافات تيار منخفضة تكون $J \sim E$ ، دالة على خاصة السلوكية الأومية لمعدن عادي أو سائل دومي. وما دون T_{vg} ، يصبح ميل المنحنيات أشد وأشد عند التيارات المنخفضة موحياً بتبدد أسي صغير كما هو متوقع من أجل الطور الزجاجي الدوامي. أخذت البيانات من المرجع 20. لقد تم قياس المنحنيات على دفعتين منفصلتين حتى $E \approx 1 V m^{-1}$ للأولى ومن ثم حتى $E \approx 10 V m^{-1}$ للثانية. وتعود الانكسارات بين مجموعتي المنحنيات عند $E \approx 1 V m^{-1}$ للتسخين المقاوم في الدفعة الثانية.

بوحدة الطول أو بشكل مكافئ، توتر خط الدوامية. إن احتمال بولتزمان لهذه الحلقة، الذي يبدو كتأرجح حراري تلقائي عند درجة حرارة T ، هو عندئذ $\exp [-f_v(R)/k_B T]$. وهو الاحتمال الذي تحدث به التآرجحات الحرارية العشوائية في الوقت ذاته قوى



الشكل 7- يمثل الشكل توضيحاً بيانياً للحقل الكهربائي E بدلالة كثافة التيار J في طور فائق اناقلية بالفعل (طور مايسنر أو الطور الزجاجي الدوامي). (a)، في حالة التآرجحات الحرارية الضعيفة حيث $J_c \ll J_T$ يكون الحقل الكهربائي من أجل $J > J_c$ صغيراً. يمثل الخط المنقط استقراراً خارجياً للسلوك المنشط في المجال $J_c > J$ و $J_c < J$. في الجوار المباشر لـ J_c ، رغم ذلك، تتلاشى الحواجز التنشيطية لحركة دوامية وتحدث زيادة سريعة في التبدد، مما يقود إلى نشوء تيار حرج بين ظاهرياً. وجد هذا السلوك في النواقل الفائقة منخفضة درجة الحرارة الحرجة. (b)، حالة التآرجحات القوية، حيث تتقارب J_c و J_T وتكون بداية التبدد أقل حدة في تزايدها. وجد هذا السلوك في النواقل الفائقة عالية درجة الحرارة الحرجة (باستثناء درجات الحرارة الأخفض بكثير من T_c حيث يكون السلوك أكثر تماثلاً مع الحالة (a)).

لإحداث الترتيبات الجديدة الدوامية، كتابع قوة لقد المنطقة المعاد ترتيبها، تماماً كما في طور مايسنر. وإذا طبق تيار عبر الناقل الفائق، فإنه سيحدث إنتاج منشط حرارياً لمثل هذه الترتيبات المعادة أكبر من القدر الحرج $R_c(J)$. وهذا سيسبب انخفاضاً طورياً ومن ثم تبدداً كما في طور مايسنر مؤدياً من جديد إلى مقاومة للتيار المنخفض من الشكل $E/J \approx \exp[-(J_T/J)^\mu]$ $1 \gg \mu > 0$ لكنها هنا بأسٍ $\mu \gg 1$

معدل التبدد في طور مايسنر متناسباً مع احتمال تجمع نوى الحلقات الكبيرة، بقدر كافٍ $\exp[-f_v(R_c(J))/2k_B T]$ ، معطية من أجل كثافة تيار صغير J

$$E/J = \rho(J) \approx \exp[-(J_T/J)^\mu] \quad (2)$$

حيث $\mu = 1$ و $J_T \approx e^2/k_B T$ تحدد مقياس (تدرج) التيار لهذا التبدد المنشط حرارياً. وهكذا فالتبدد موجود باستمرار، حتى في طور مايسنر لكنه عند كثافات تيار صغيرة ينشأ بفعل تآرجحات حرارية كبيرة نادرة ويتلاشى أسياً من أجل $J \rightarrow 0$.

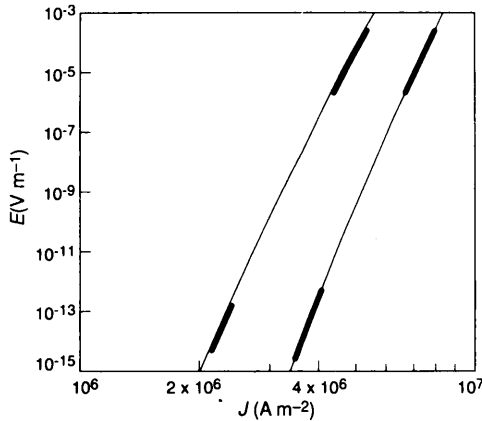
كيف يتوافق ذلك مع المفهوم التقليدي للتيار الحرج في النواقل الفائقة؟ من أجل كثافات تيار صغيرة، يتغير الحاجز الطاقي الحر، الواجب اجتيازه لإنتاج حلقة دوامية، كتغير $J^{-\mu}$. ولكن هذا الحاجز يصبح من مرتبة $k_B T$ عند التيار الحرج J_c وينطبق قانون التبدد المنشط حرارياً، الذي تحدده العلاقة (2)، عندئذ فقط من أجل $J < J_c$ ؛ أما من أجل $J > J_c$ فتنتج الدوامات ببسر، مؤدية إلى تبدد شديد. وفي النواقل الفائقة منخفضة درجة الحرارة الحرجة، تكون $J_c \ll J_T$ عدا في الجوار القريب جداً من T_c ، وبالتالي يكون تشكل نوى (تجمع) الحلقات نادراً جداً من أجل $J < J_c$. وبالتالي يمكن أن نجد تزايداً مفاجئاً وحاداً في التبدد عند J_c (الشكل 7a). أما في الجوار المباشر لـ T_c في النواقل الفائقة التقليدية، وفي أجزاء كبيرة من المخطط الطوري لأكاسيد النحاس عالية درجة الحرارة الحرجة، من ناحية أخرى، تكون J_c و J_T متقاربتين وبالتالي يكون ابتداء التبدد أبطأ في تدرجه، مع تيار حرج صعب التحديد (الشكل 7b).

في الطور الزجاجي الدوامي، حيث يقوم العديد من الدوامات باختراق العينة، يحصل سلوك تبددي مماثل كيفياً، علماً أن التفاصيل أكثر غموضاً بكثير ولم تفهم تماماً حتى الآن. وليس واضحاً بعد ما هي الصفة الدقيقة لترتيبات الخط الدوامي المسيطرة التي تؤدي إلى تبدد لاخطي في الطور الزجاجي الدوامي؛ ولقد تم تحليل العديد من الاقتراحات في هذا الصدد [31, 29, 7]. ومع ذلك تكبر في كل من عمليات التبدد المقترحة، حواجز الطاقة الحرة، التي يجب اجتيازها

يؤدي إلى اضمحلال كاضمحلال $J(t) \approx J_T [\ln(t/t_0)]^{-1/4}$ خلال أزمنة طويلة جداً، حيث t_0 زمن مجهري من مرتبة 10^{-9} - 10^{-12} ثانية. أعطت هذه التقنية ساندفولد sandvold وروسل Rossel [23] حساسية فولتية أفضل بعشر مراتب تقريباً من قياسات النقل التقليدية، تقابل حقولاً كهربائية منخفضة حتى $10^{-14} \text{ Vcm}^{-1}$. يبين الشكل 8 استنتاجهما لتغيرات الحقل الكهربائي بدلالة كثافة التيار $E(J)$. وقد وجدنا تلاؤماً جيداً مع العلاقة (2) في أفلام YBCO مع $\mu \approx 1/3$. وهذا يتفق مع قياسات النقل إضافة إلى ذلك تعطي هذه التجارب دليلاً قوياً على أن المقاومة تتلاشى بأسرع من أي شدة للتيار في الطور الزجاجي الدوامي.

الاستنتاجات

رأينا أن المفعولين المشتركين للتأرجحات الحرارية والشوائب يقودان إلى مخططات طورية وخصائص نقل للنواقل الفائقة لأوكسيد النحاس عالية درجة الحرارة



الشكل 8- الحقل الكهربائي E بدلالة كثافة التيار، حيث تقاس J وفق سلم لوغاريتمي، وذلك من أجل فيلم منضود من YBCO سمكه 0.2 ميكرومتر مُنَمَّى على SrTiO_3 [23] (100). الحقلان المغنطيسيان المطبقان هما: 0.3 تسلا على اليسار و 0.1 تسلا على اليمين وعند الدرجة 70 كلفن، أي في الطور الزجاجي الدوامي. تنحصر البيانات في الأقسام الشخينة من المنحنيين؛ فعند قيم E العالية تم قياس الحقل الكهربائي مباشرة، في حين يستدل على قيم E المنخفضة جداً من الاضمحلال البطيء مع الزمن للتيارات الدوارة في المادة. وأشار إلى التلاؤم مع العلاقة (2) بالقيمة $\mu = 0.34$ بواسطة الخطوط النحيلة.

تحدده طبيعة عمليات التبدد. يطلق على مثل هذه الحركة الدوامية المنشطة حرارياً بالزحف الدوامي (أو التدفقي). وكما في طور مايسنر، يمكن لتيار كافٍ الشدة أن يجتاز الحواجز الطاقية الحرة نحو حركة دوامية، مسبباً تدفقاً دوامياً وتبدداً سريعاً؛ يحدث ذلك فوق كثافة التيار الحرجة J_c . وهكذا نستنتج أن طور مايسنر والطور الزجاجي الدوامي كليهما ناقلان فائقان خطيان بمقاومية لا تتعدى إلا عند حد الاستجابة الخطية لكثافة تيار معدومة. أما من أجل أي كثافة تيار غير معدومة، فإن المقاومة لا تكون معدومة بسبب الحركة الدوامية المنشطة حرارياً، مع أنها تتلاشى كتابع أسّي لكثافة التيار، J ، من أجل $J \rightarrow 0$.

وبسبب التوترات الصغيرة جداً التي تحصل في النظام المنشط، يكون القياس المباشر للسلوك في العلاقة (2) والتحديد التجريبي للأس μ صعباً. تقود القياسات الحديثة [24, 23, 20] في الطور الزجاجي الدوامي، مع ذلك، إلى ملامات (توافقات) معقولة للعلاقة (2) مع قيم μ أقل من 1/2.

هناك سبيل آخر لدراسة التبدد اللاخطي في الضور الزجاجي الدوامي من خلال استرخاء المغنطة عند درجات الحرارة المنخفضة. ففي تجربة نموذجية تبرد العينة في حقل مغنطيسي حتى تصل إلى الطور الزجاجي الدوامي، ومن ثم نبذل فجأة شدة الحقل. يُثير هذا التبدل تيار حجب غير مستقر، $J(t)$ ، يتضاءل إلى الصفر أثناء دخول الخطوط الدوامية في المادة أو خروجها منها وتتحرك هذه الخطوط نحو تشكيلها المتوازن الجديد. يعطي الاضمحلال البطيء لهذا التيار، الذي يمكن قياسه من خلال التمهيط المرافق، بالعلاقة $dJ(t)/dt \propto E(J)$ ، حيث $E(J)$ هو الحقل الكهربائي اللازم لإبقاء التيار J في حالة مستقرة. وتكون dJ/dt في النواقل الفائقة التقليدية (والنواقل الفائقة لأوكسيد النحاس عند درجات الحرارة المنخفضة جداً) صغيرة من أجل $J < J_c$ لدرجة أن كثافة التيار لا تنخفض مطلقاً إلى حدٍ أدنى كثيراً من J_c ، حتى خلال عام كامل. أما بالتأرجحات القوية في النواقل الفائقة لأوكسيد النحاس، فيمكن للتيار على نقيض ذلك أن يتضاءل أسرع من ذلك بكثير، كما أن الشكل المتوقع لـ $E(J)$ في العلاقة (2)

معدوم أو عند درجة حرارة معدومة، بغياب الطور الزجاجي الدوامي عند درجة حرارة غير معدومة. هذا وإن المسار الهام الآخر للدراسة هو تقصي النواقل الفائقة ذات البنية الصناعية، المصنوعة بواسطة تقانات الصناعة المكروية مثل التنضيد بالحزم الجزيئية molecular beam epitaxy حيث يمكن تغيير خواص البنية بشكل منظوم ومستمر، مثل إدخال طبقات غير فائقة الناقلية بسماكات مختلفة.

أخيراً، يجب علينا الإجابة مباشرة عن السؤال المطروح في العنوان. ويرجع الفضل في ذلك إلى التجارب التي أجريت على النواقل الفائقة لأكاسيد النحاس عالية درجة الحرارة الحرجة، وإلى الأفكار النظرية الجديدة. فالجواب الذي كان يعتقد أنه «لا»، النواقل الفائقة في الحالة المختلطة ليست فائقة النقل فعلاً؛ إنما مقاومتها صغيرة جداً، هو في الحقيقة، «نعم، إنها فائقة النقل بالفعل عند درجات حرارة أدنى من تلك التي يحدث عندها التحول الطوري نحو الطور الزجاجي الدوامي».

- تشكر إدارة مجلة عالم الذرة مجلة Nature للسماح لها بترجمة هذا المقال ونشره.

REFERENCES

المراجع

- [1] *Superconductivity*, Vols 1 & 2 (ed. Parks, R. B.) (Dekker, New York, 1969).
- [2] Edwards, S. F. & Anderson, P. W. *J. Phys.* F5,965-974 (1975).
- [3] Batlogg, B. in *Physics of High-Temperature Superconductors* (eds Maekawa, S. & Satto, M.) 228 (Springer, Berlin, 1992).
- [4] Abrikosov, A. A. *Zh. eksp. teor. Fiz.* 32, 1442-1452 (1957), (Engl. transl.) *Sov. Phys. JETP* 5, 1174-1182 (1957).
- [5] Trauble, H. & Essman, U. *J. appl. Phys.* 39, 4052-4059 (1968).
- [6] Moore, M. A. *Phys. Rev. B* 45, 7336-7345 (1992).
- [7] Fisher, D. S., Fisher, M. P. A. & Huse, D. A. *Phys. Rev. B* 43, 130-159 (1991).
- [8] Huberman, B. A. & Doniach, S. *Phys. Rev. Lett.* 43, 950-952 (1979).
- [9] Fisher, D. S. *Phys. Rev. B* 22, 1190-1199 (1980).
- [10] Gammel, P. L., Schneemeyer, L. F.,

الحرجة في حقل مغنطيسي مختلفة جذرياً عن تلك للنواقل الفائقة من النمط II منخفضة درجة الحرارة الحرجة، فإذا تم تبريد ناقل فائق تقليدي من النمط II في حقل مغنطيسي أعلى من H_{C1} ، تصبح المقاومة صغيرة على نحو مفاجيء يصعب قياسها عندما يُقطع الخط H_{C2} كما في الشكل 3a. وفي تباين مذهل بسبب التآرجحات الحرارية القوية في مواد أكاسيد النحاس، لا يوجد خط محدد لـ H_{C2} بل هناك فقط تزاوج تدريجي للإلكترونات وفق أزواج كوبر مسببة تشكيلا من خطوط دوامية (الشكل 3b). وفي نظام السائل الدوامي غير الفائق الناقلة الناتج، يُرافق انخفاض درجة الحرارة ازدياد معاوقة الشوائب للحركة الدوامية وبالتالي تتناقص المقاومة. ويستمر ذلك إلى حين حدوث تحول الطور الزجاجي الدوامي. $T_g(H)$ ، حيث تتلاشى أخيراً المقاومة الأومية الخطية. وعلى مقربة من T_g ، وجد سلوك تدريجي scaling behaviour لمنحنيات التيار فولت، معطياً الدليل الأفضل على حدوث تحول طوري حقيقي. وفي الطور الزجاجي الدوامي يخضع تبدد التيار الضعيف لهيمنة التنشيط الحراري الناجم عن إعادة تنظيمات دوامية جماعية كبيرة والتي تسبب مقاومة تتلاشى أسياً مع التيار عند التيارات الضعيفة. وعند درجات الحرارة المنخفضة جداً، يكون التبدد المنشط حرارياً صغيراً جداً، وتُظهر منحنيات التيار فولت بداية حادة واضحة للتبدد عند التيار الحرج، مع مقاومة صغيرة يصعب قياسها بشكل مباشر عند تيارات دنيا؛ وهذا النظام مشابه للنواقل الفائقة منخفضة درجة الحرارة الحرجة.

رغم التجارب النوعية، والكمية في بعض النواحي، المتوافقة مع العرض النظري المقدم هنا، يبقى العديد من المسائل والنظم الجديدة موضوعاً للدراسة والتحري. ويشمل هذا الموضوع تبعية T_g وسلاط التيار J_T والتيار الحرج J_C للمادة ونوعها وتوزيع العيوب، وأحد هذه الحدود المثيرة للاهتمام هو ما يتعلق بالعيوب القليلة جداً (حدّ النظافة). زيادة على ذلك، لم تتم بدقة دراسة التبدد اللاخطي في الحالة المختلطة في أي مادة لامتناحية بشدة وشبه ثنائية البعد مثل BSCCO أو في الأفلام الرقيقة المعزولة الفائقة الناقلة والثنائية البعد حقاً. يتوقع أن تكون هذه الأفلام فائقة النقل حقاً من أجل حقل مغنطيسي

- Waszczak, J. V. & Bishop, D. J. *Phys. Rev. Lett.* **61**, 1666-1669 (1988).
- [11] Nelson, D. R. & Seung, H. S. *Phys. Rev.* **B39**, 9153-9174 (1989).
- [12] Houghton, A., Pelcovits, R. A. & Sudbø, A. *Phys. Rev.* **B40**, 6763-6770 (1989).
- [13] Brandt, E. H. *Phys. Rev. Lett.* **63**, 1106-1109 (1989).
- [14] Anderson, P. W. & Kim, Y. B. *Rev. mod. Phys.* **36**, 39-43 (1964).
- [15] Larkin, A. I. *Zh. eksp. teor. Fiz.* **58**, 1466-1470 (1970), (Engl. transl.) *Sov. Phys. JETP* **31**, 784-786 (1970).
- [16] Kes, P. H., Aarts, J., van den Berg, J., van der Beek, C. J. & Mydosh, J. A. *Supercond. Sci. Technol.* **1**, 242-248 (1989).
- [17] Brandt, E. H. *Int. J. mod. Phys.* **B5**, 751-795 (1991).
- [18] Fisher, M. P. A. *Phys. Rev. Lett.* **62**, 1415-1418 (1989).
- [19] Shih, W. Y., Ebner, C. & Stroud, D. *Phys. Rev.* **B30**, 134-144 (1984).
- [20] Koch, R. H. et al. *Phys. Rev. Lett.* **63**, 1511-1514 (1989).
- [21] Gammel, P. L., Schneemeyer, L. F. & Bishop, D. J. *Phys. Rev. Lett.* **66**, 953-956 (1991).
- [22] Worthington, T. K. et al. *Phys. Rev.* **B43**, 10538-10543 (1991).
- [23] Sandvold, E. & Rossel, C. *Physica C* **190**, 309-315 (1992).
- [24] Dekker, C., Eidelloth, W. & Koch, R. H. *Phys. Rev. Lett.* **68**, 3347-3350 (1992).
- [25] E. g., Fisher, M. E. *Rev. mod. Phys.* **48**, 597-616 (1974).
- [26] Reger, J. D., Tokuyasu, T. A., Young, A. P. & Fisher, M. P. A. *Phys. Rev.* **B44**, 7147-7150 (1991).
- [27] Gingras, M. J. P. *Phys. Rev.* **B45**, 7547-7550 (1992).
- [28] Langer, J. S. & Fisher, M. E. *Phys. Rev. Lett.* **19**, 560-563 (1967).
- [29] Feigl'man, M. V., Geshkenbein, V. B., Larkin, A. I. & Vinokur, V. M. *Phys. Rev. Lett.* **63**, 2303-2306 (1989).
- [30] Fischer, K. H. & Nattermann, T. *Phys. Rev.* **B43**, 10372-10382 (1991).
- [31] Bouchaud, J. P., Mézard, M. & Yedidia, S. *Phys. Rev. Lett.* **67**, 3840-3843 (1991).
- [32] Fisher, M. P. A., Tokuyasu, T. A. & Young, A. P. *Phys. Rev. Lett.* **66**, 2931-2934 (1991).
- [33] Wilson, M. N. *Superconducting Magnets*, 99 (Oxford Univ. Press, 1983).
- [34] Palstra, T. T. M., Batlogg, B., Schneemeyer, L. F. & Waszczak, J. V. *Phys. Rev. Lett.* **61**, 1662-1665 (1988).
- [35] Safar, H., Gammel, P. L., Bishop, D. J., Mitzi, D. B. & Kapitulnik, A. *Phys. Rev. Lett.* **68**, 2672-2675 (1992).
- [36] Grier, D. G. et al. *Phys. Rev. Lett.* **66**, 2270-2273 (1991).

Key Words

- | | | |
|--------------------------------|-------|-----------------------|
| 1- coherence length | | طول الترابط |
| 2- cooper pairs | | أزواج كوبر |
| 3- long-range order | | ترتيب بعيد المدى |
| 4- magnetic penetration length | | طول التغلغل المغنطيسي |
| 5- Magnus force | | قوة ماغنوس |
| 6- Meissner phase | | طور مايسنر |
| 7- scaling behaviour | | سلوك تدريجي |
| 8- spin glass | | زجاج سبيني |
| 9- vortex glass phase | | طور زجاجي دوامي |
| 10- vortex creep | | زحف دوامي |

انعكاسية أشعة X*

ج. ج. بيناتار

باحث في جناح فيزياء الحالة الصلبة في مركز ساكلي للدراسات - فرنسا

ملخص

تستخدم منذ بضع سنوات أشعة X، الوسيلة التقليدية لدراسة البلورات، لإلقاء نظرة جديدة على السطوح والسطوح البينية. إن انعكاس أشعة X في الواقع حساس جداً لتفاصيل البنية ولعيوب السطوح على مقاييس بضعة أنغسترومات. يُبين المؤلف كيف أن هذه الطريقة قد سمحت بتقدم حاسم في فهم سطوح السوائل والأجسام الصلبة والأفلام الرقيقة. إذ أنها تدخل في أساس أجهزة تجارية صنعت حديثاً جداً مخصصة إما للبحث أو لصناعة الطبقات الرقيقة في الضوئيات أو في الإلكترونيات المكمونة.

يصل المجهر الإلكتروني التقليدي إلى فصل يساوي حوالي نانومتر واحد، لكنه ليس حساساً بشكل كافٍ لتفاصيل السطوح.

إذا كانت دراسة بنية المواد بأشعة X التي اكتشفت في عام 1895 من قبل ف. رونتجن W. Roëntgen، قد رأت النور في بداية هذا القرن مع التجارب الأولى على البلورات ل. ف. فريديريك W. Friedrich وب. كنيبنغ P. Knipping وم. فون لاوه M. Von Laue في ألمانيا، إلا أن استخدام انعكاس أشعة X على السطوح لا يعود إلا إلى سنوات 1950. بالإضافة إلى ذلك، عرفت هذه التقنية انطلاقة جديدة في العقد الأخير. إن أشعة X، التي هي في الحقيقة كالضوء، أمواج كهرومغناطيسية، لكن طول موجتها أصغر بكثير (يقع في المجال بين 0.005 و 10 nm) ملائمة لقياس الشخانات الصغيرة من رتبة طول موجتها ولتجزي البنى الرقيقة جداً والتي تقوم بدور متزايد في التقانة الدقيقة. لنذكر في الإلكترونيات المكمونة، مراقبة طبقات المعدن أو الأكسيد المتوضع على السيليسيوم في مختلف المركبات، وفي الضوئيات، التحقق من نوعية الطبقات العازلة كهربائياً والمتوضعة على ركائز زجاجية من أجل تصنيع مرايا بنوعية عالية الجودة. في هذه الطبقات الناتجة بالسحق أو بالتبخير الحراري أو أيضاً من خلال تفاعل كيميائي، لا بد وأن

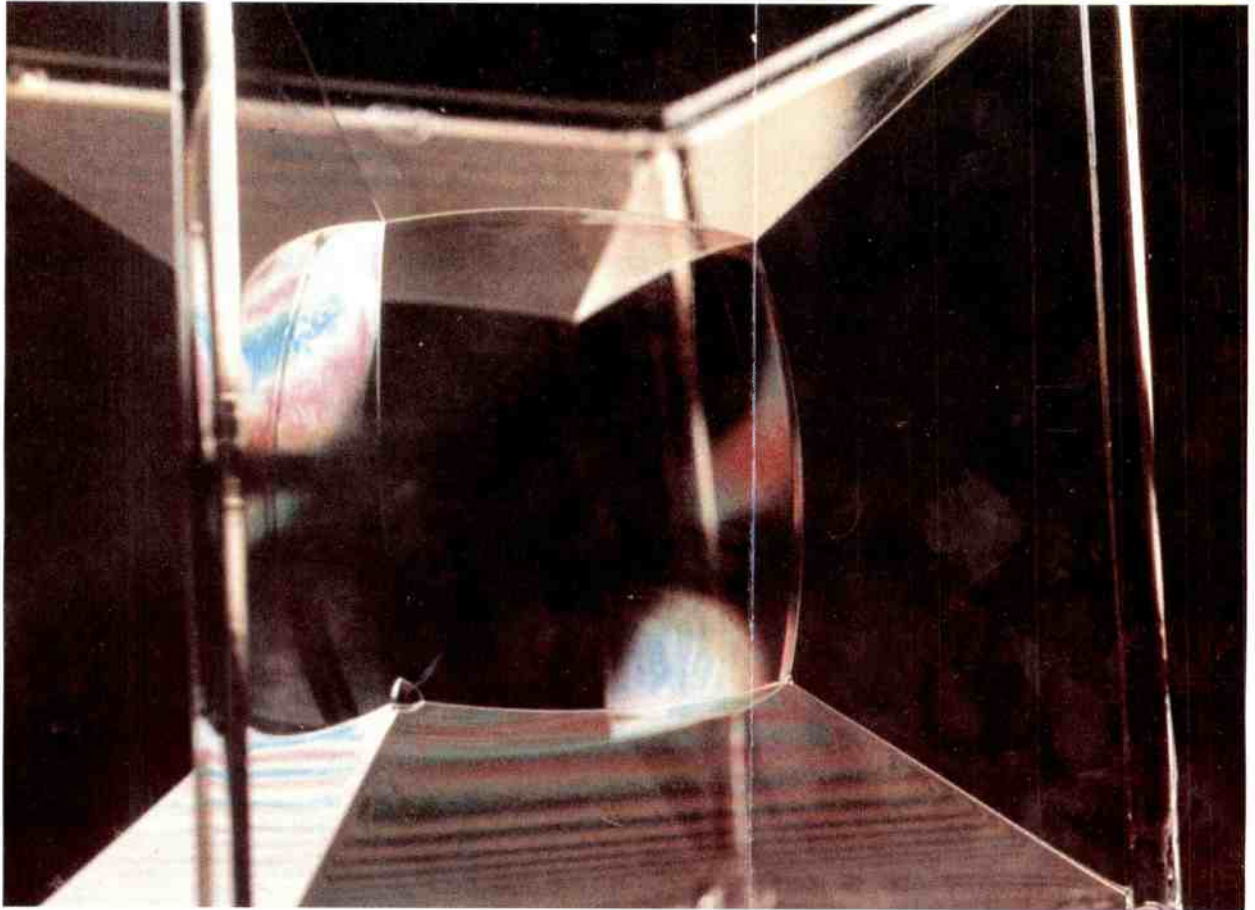
إن تآكل المعدن ومقاومة سطح زجاجي للخدش أو نوعية مرآة، كل ذلك يتعلق بشكل أساسي بحالة السطح. وهذه الظواهر المتوضعة في المناطق الرقيقة للغاية، التي هي السطوح والسطوح البينية بين أوساط مختلفة أو الأفلام الرقيقة أيضاً، ما تزال خفية من أوجه عديدة. نلاحظ فيها بالفعل تغيرات محلية في الخشانة وفي الثخانة أو في التركيب الكيميائي على مقاييس من رتبة النانومتر. وهكذا من أجل فهم أفضل للسطوح والسطوح البينية، ظهرت احتياجات جديدة للتمييز وأحدثت تطور تقنيات متنوعة. من بين جميع هذه التقنيات، يشهد الآن التحليل بواسطة أشعة X، المنعكسة على السطح المدروس بورود ضعيف جداً يدعى بالورود المماسي، ازدهاراً هاماً. يقع مجال رصده في منتصف الطريق بين مجال تلك الأداة الحديثة جداً، التي هي المجهر ذو المفعول النفقي، ومجال تلك التقنية المجربة منذ سنوات عدة خلت وهو المجهر الإلكتروني. إن الفصل بالمجهر ذي المفعول النفقي هو من مرتبة عشر النانومتر، وهذا ما يسمح برؤية الذرات منفردة على سطح البلورة (انظر «المجهر ذو المفعول النفقي Le microscope à effet tunnel» في مجلة La recherche تشرين الأول 1986). إن هذه الكفاءات، وإن كانت رائعة، هي بالغة التكلفة للذي يرغب في اختبار سطح أو سطح بيني وتشوهاتهما بمقياس كبير.

* هذا المقال منشور في مجلة La recherche, Vol. 23, N°244, Juin, 1992. ترجمه الدكتور موسى الابراهيم - قسم الكيمياء - هيئة الطاقة الذرية السورية. وراجع الدكتور توفيق قسام - عضو اللجنة الاستشارية العلمية في هيئة الطاقة الذرية السورية.

وهي الحالات النهائية لأفلام الصابون (الشكل 1) بعد سيلان الماء .

في الواقع إن انعكاس أشعة X بورود مماسي يضع تحت تصرف الباحثين طريقتين متجاورتين وغالباً تتم إحداهما الأخرى: «الانعكاسية» أي قياس الشدة المنعكسة بالصورة الاعتيادية على السطح و «الانعراج السطحي» أي انعكاس الأشعة المنعرجة على السطح . يظهر الانعراج السطحي عندما تبرز من السطح بنى منتظمة كالمستويات البلورية التي تميل إلى عكس الضوء في اتجاهات مفضلة ليست هي اتجاهات الانعكاس العادي . وهذا الفعل ، الذي تلزم لملاحظته شدة تشعيع بأشعة X أقوى من الشدات المستخدمة في حالة الانعكاس العادي ينسب إلى طرائق علم البلورات التقليدي . ولكن قبل كل شيء ، على أية مبادئ تستند

يكون في متناول أيدينا وسيلة لفحص تجانس هذا التوضع وتراصه أو أيضاً خشونته . أصبحت الانعكاسية أيضاً واحدة من الوسائل المميزة للكيمياء الفيزيائية وذلك لأنها ساهمت بعدد لا بأس به من الدراسات: بنى المعادن السائلة والطبقات المعدنية والسوائل العضوية والطبقات العضوية وانتشار قطرات البلورات السائلة والبوليمرات (انظر أيضاً مقال «من القطرة إلى التجعيد: التبليل بأشعة X: De la goutte à la crepe» في مجلة La recherche aux rayons X le mouillage). سنوضح هذه التقنية من خلال وصف تجارب حديثة أجريت على جملتين: الطبقات الأحادية لجزيئات أمفي فيلية amphiphiles (أي جزيئات لها جزء قطبي له ألفة تجاه الماء وينجذب نحوه وجزء لا قطبي) على سطح الماء والتي تدعى أيضاً طبقات لانغمير Langmuir والأفلام «السوداء»



الشكل 1- أثارت أفلام الصابون فضول العلماء منذ قرون . إن فيلم الصابون الذي نراه هنا عبارة عن نوع من السندويش يحوي طبقة من الماء محاطة بطبقتين متناضرتين من جزيئات الصابون . يسيل الماء شيئاً فشيئاً مخلقاً فيلماً تزداد رقيقته أكثر فأكثر وقد دُرست البنية بأشعة X .

كالتشوهات السطحية أو تغيرات كثافة التركيب الكيميائي.

تحليل منحنى الانعكاسية يتيح تحديد خشونة السطح المفحوص

إذا كان السطح، أو بشكل أدق السطح البيني بين الهواء والوسط تام الاستواء، فإن قوانين الضوء تدل على أن منحنى الانعكاسية بدلالة زاوية الورود يتكون من عتبة انعكاس كلي تحت الزاوية الحرجة ثم يسقط حاد للانعكاسية (الشكل 2B). يشير هذا التناقض السريع في الانعكاسية، التي تهبط من القيمة 1 إلى 10^{-7} عندما تبلغ زاوية الورود عشرين ضعفاً من الزاوية الحرجة، إلى أن جميع الظواهر التي سنهتم بها تحدث من أجل زوايا الورود الصغيرة جداً.

لنقارن الآن هذه التوقعات النظرية مع منحنى الانعكاسية الحاصل على سطح عينة حقيقية، على سبيل المثال، قرص مصقول أحادي البلورة من السيليسيوم: نلاحظ أنه إذا تطابقت منطقة الانعكاس الكلية مع تلك التي للسطح المثالي، تصبح الشدة المقاسة أصغر بكثير من تلك التي للسطح تام الاستواء وذلك كلما ابتعدنا عن الزاوية الحرجة (الشكل 2B). إلى أي شيء يمكن أن ننسب هذا الفارق؟ في الحقيقة إن سطح السيليسيوم ليس تاماً، إنه خشن وبيدي تضاريس (نتوءات) ناجمة عن الصقل إرتفاعها الوسطي يقارب 5\AA وتمتد هذه الارتفاعات والوهاد على أطوال صغيرة لا تزيد عن المكرون. ولكي نفهم لماذا تصبح تأثيرات هذه الخشونة محسوسة أكثر فأكثر عندما تزداد زاوية الورود، نتخيل بأننا ننظر إلى مرج أخضر قصاً حديثاً، فإذا نظرنا إلى هذا المرج من مستوى الأرض فإنه يظهر مثل بساط كثيف، وعلى العكس إذا نهضنا ونظرنا إليه من فوق سطح الأرض، يصبح عدم التجانس ظاهراً أكثر فأكثر. يُحسب بدقة منحنى الانعكاسية التي يعطيها سطح تام الاستواء انطلاقاً من مقدارين معروفين بوجه عام بالنسبة للمجرب، وهما زاوية الورود وقرينة انكسار المادة المعتبرة من أجل أشعة X. لا يُعلمنا هذا المنحنى إذا الشيء الكثير. وعلى العكس عندما يكون السطح غير تام الاستواء يكون المنحنى مختلفاً، و يُدخل الفيزيائيون حينئذ في معادلاتهم وسيطاً متماً وهو حد الخشونة الذي يتيح لهم ملاءمة المنحنى المحسوب مع المنحنى التجريبي. إن تحديد وسيط الخشونة هذا دقيق جداً: يبلغ $0,1\text{\AA}$.

انعكاسية أشعة X؟ لقد اعتُقد، ولفترة طويلة، بعد المحاولات الأولى التي أجراها رونتجن لإحداث انحراف حزمة أو انعكاسها، بأن أشعة X تنتشر بدقة تامة وفق خط مستقيم مهما تكن المادة المعبورة. لقد بدت هذه الملاحظات وكأنها تؤدي بنا إلى استنتاج أن قرينة الانكسار يجب أن تكون مساوية إلى الواحد. في الحقيقة، إن قرينة الانكسار بالنسبة لأشعة X لاتساوي 1 تماماً إذ أنها في الواقع غير بعيدة عنه: والفارق في حدود الواحد بالمليون فقط. ورغم هذا الفارق الضعيف فإن هذه القرينة تتمتع بميزة ذات أهمية بوجه خاص إنها أقل من الواحد، على العكس من قرينة انكسار الضوء المرئي.

إن هذه القرينة الأصغر من الواحد هي في أصل خاصة رائعة، تكمن في أن الانعكاس الكلي لأشعة X على سطح كافة المواد يحصل عندما تكون زاوية الورود صغيرة جداً (نقصد عندما تكون الزاوية التي يحدثها الشعاع مع السطح ضعيفة للغاية). وهكذا فإن جميع المواد تسلك تحت ورود ضعيف سلوك المرايا لأشعة X. وهذا الانعكاس الكلي ظاهرة سهلة الملاحظة بالضوء المرئي، عندما يمر من الماء، وهو وسط ذو قرينة أعلى من الـ 1، إلى الهواء. فإذا نظر غواص ما إلى السطح فوقه بزاوية صغيرة بالكفاية لا يرى شيئاً عبره، يظهر له السطح وكأنه مرآة عاكسة. وهذا هو الفعل ذاته إنما بعكس دَوْرِي الهواء والوسط المادي، هو ما يستخدم من أجل دراسة السطوح بأشعة X. لنشر هنا إلى أن زوايا الورود، التي يحدث من أجلها الانعكاس الكلي، هي صغيرة جداً. وتدعى أيضاً الزاوية العظمى، التي بعدها يختفي الانعكاس الكلي، بالزاوية الحرجة وهي تقدر بـ $2,7$ ملي راديان (تقريباً $0,15^\circ$) من أجل أشعة X المنعكسة على الماء، ذات الطول الموجي $1,54\text{\AA}$ أما من أجل المواد الثقيلة مثل الذهب فإن هذه الزاوية تزداد حتى 10 ملي راديان ($0,6^\circ$). وفي الواقع العملي، نتحرى عن مجال زاوي يقع نموذجياً بين 1 و 70 ملي راديان (أي بين $0,05^\circ$ و 4°).

كيف يعمل الباحثون؟ إن التجربة في مبدئها سهلة للغاية، تضمن قياس الشدة المنعكسة على فيلم رقيق أو سطح بيني أو سطح عادي بدلالة زاوية الورود. وتعرف حينئذ الانعكاسية كنسبة شدة الانعكاس إلى شدة الورود (الشكل 2A). إن المعلومات التي توفرها الانعكاسية تخص بشكل أساسي تغيرات كثافة المادة في الاتجاه العمودي على السطح العاكس، وتحت هذا السطح بالضبط،

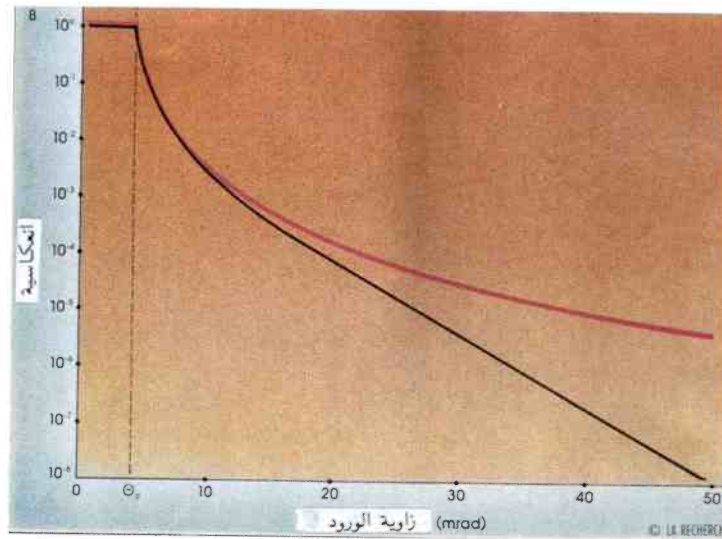
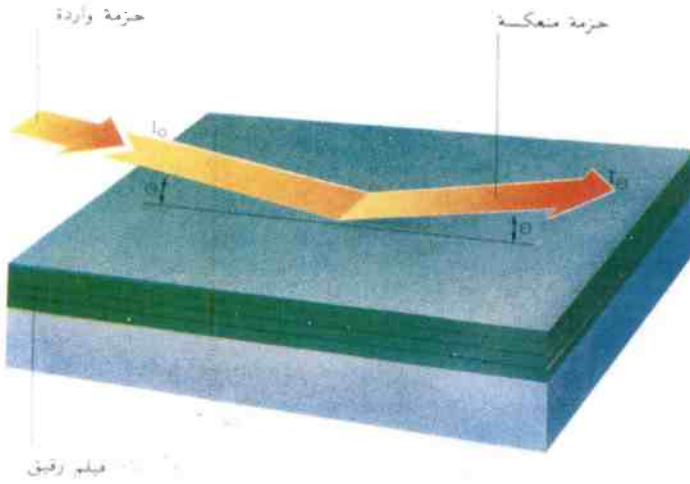
والخشونة السطحية البينية والكثافة). فإذا لم نعرف كثافة الطبقات أو إذا لم تكن خشونة مختلف السطوح البينية متساوية أو أيضاً إذا لم تكن ثخانة الطبقات ثابتة يصبح تفسير منحنيات الانعكاسية أكثر تعقيداً ويتطلب أدوات رياضية نوعية. وتعد هذه الصعوبات في التفسير سبب تأخر تطور هذه الطريقة نسبياً. وهكذا لم تُستخدم انعكاسية أشعة X عملياً ولم تفهم نظرياً إلا منذ أعمال ل. ج. بارات L. G Paratt في جامعة كورنيل Cornell في الولايات المتحدة الأمريكية في عام 1954 [1]. ونحن مدينون له بوضع طريقة حساب منحنيات الانعكاسية لجملته متعددة الطبقات، والتي فتحت الطريق نحو علم قياس الانعكاسية الحديث. وبالتوازي مع بارات طور ف. أبيلي F. Abélès بجامعة باريس في فرنسا صيغة لبقية وفعالة لمعالجة المسألة بأسلوب صحيح مستعملاً تقنية المصفوفات [2]. إن حسابات الانعكاسية هذه للجمل المضدعة معقدة، ومن المفضل أن تتم على الحاسب بحيث تُكيّف مختلف وسطاء النموذج النظري وفق المنحنيات التجريبية. وهكذا نفهم لماذا لم تلق الطريقة في الواقع نجاحاً إلا ابتداءً من الأعوام 1960 - 1970. وفي السبعينيات أيضاً، وضع ب. كروس P. Croce في معهد البصريات في أورسي تقنيات حساب لتحليل دقيق لتأثيرات عدم تجانس السطح والخشونات على انعكاس أشعة X وعلى ظواهر أخرى أكثر تعقيداً كالانتشار [3]. أتاحت هذه الأعمال تحقيق الدراسات الأولى الكمية. وفي نهاية السبعينيات شرع الباحثون، مُزوّدِين بهذه الأدوات، التي صُمّمت من أجل السطوح أو السطوح البينية الصلبة، بدراسة السطوح البينية (سائل - بخار) أو (سائل - سائل). قام س. أ. رايس S. A. Rice من جامعة شيكاغو بالولايات المتحدة الأمريكية ومعاونوه الأوائل عام 1978 بتحديد البنية المجهرية للسطح البيني سائل - بخار المعادن السائلة. تنطوي دراسة السطوح السائلة على صعوبات خاصة إذ أنها بالضرورة أفقية ولا يمكن توجيهها أمام حزمة أشعة X. وبعد رايس بضع سنوات، أنشأ ل. بوسيو L. Bosio ومعاونوه [4] في مدرسة الفيزياء والكيمياء الصناعية في باريس مقياس انعكاس بسيط للغاية يلائم السطوح السائلة بفضل تصميم منيع متحرك لأشعة X؛ وهكذا استكشفوا بشكل مفصل سطح بعض المعادن السائلة. لقد حددوا على سبيل المثال المظهر العام للكثافة الإلكترونية على سطح الزئبق وأوضحوا بنيته السطحية عند عدة تضييدات ذات كثافة مختلفة. لقد كشفت دراسة سطح الماء عام 1988، من قبل فريق ب.

هذا وتشكل دراسة الطبقات الرقيقة تطبيقاً هاماً للانعكاسية لكن الحالة هنا تتعقد قليلاً تتكون الطبقة الرقيقة أو الفيلم البالغ الرقة، مثل طبقة من التنغستين على السيليسيوم أو أيضاً الغشاء انبولوجي، من سطحين بينيين يعكسان كلاهما الأشعة الواردة وبالتالي فإن منحنى الانعكاسية لا يتناقص باستمرار إنما يُظهر تعرجات تدخّل على ظواهر التداخل. لقد كان الفيزيائي الألماني H. Kiessig أول من حلل عام 1930 هذه التداخلات الناتجة عن حزم أشعة X المنعكسة على أسطح البينيين وبرهن كيف تستنتج من ذلك ثخانة الفيلم، معطياً بذلك طريقة جديدة ذات دقة نادرة من أجل قياس ثخانات صغيرة جداً (أقل من 2000 Å). ومنذ ذلك الحين تدعى أشكال التداخلات هذه اناتجة عن الفيلم بأهداب كيسيغ (الشكل 2C). والأكثر من ذلك، يمكن أن تتحدد خشونة وجهي الفيلم بطريقة مشابهة لتلك التي وصفناها من أجل سطح بيني وحيد.

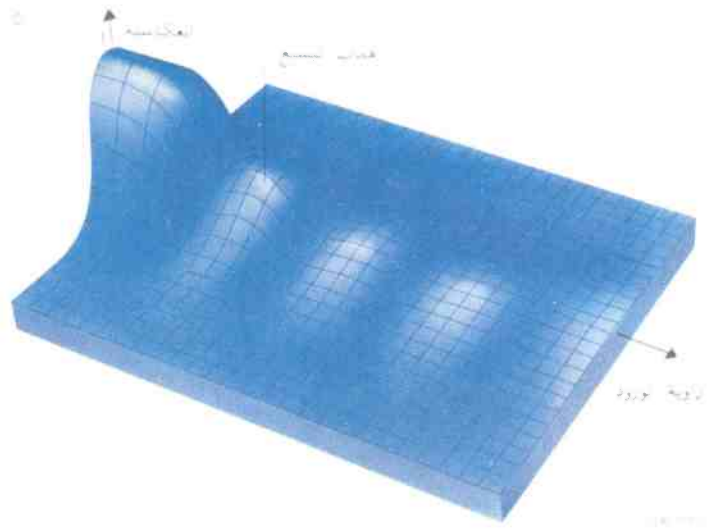
لنعقد المسألة قليلاً، بفرض أننا نود، بالإضافة إلى الوسيطيين السابقين، الثخانة والخشونة، قياس كثافة المادة التي تحوي على سبيل المثال، لاتجانسات، يظهر منحنى الانعكاسية الآن تعديلات جديدة بالنسبة إلى المنحنى «الكامل» إنه غني بما فيه انكفاية من أجل إعطائنا هذه المعلومات بصورة شبه مستقلة عن المعلومات الأخرى (على سبيل المثال بقياس الزاوية الحرجة أو أيضاً بإدخال وسيط نوعي في انحسابات مخصص للملاءمة المنحنى النظري مع المنحنى التجريبي).

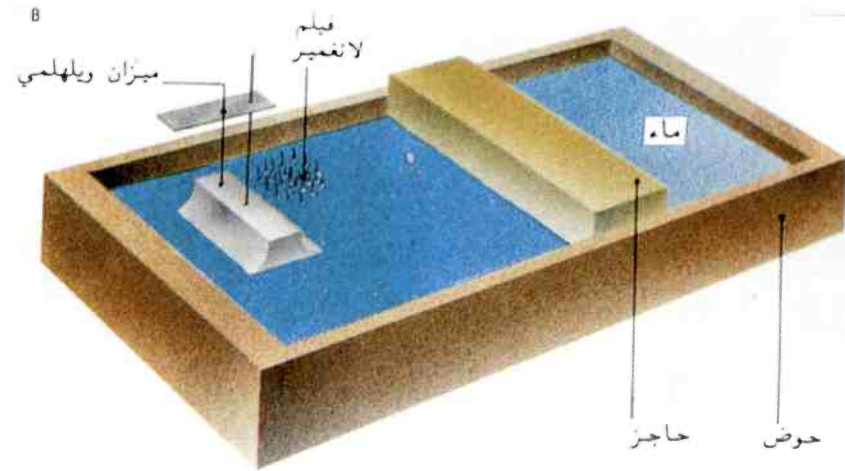
انعكاس أشعة X يعطي المنفذ إلى خصائص الطبقات المختلفة لفيلم منضد

يمكن أن نذكر جملاً أكثر تعقيداً أيضاً، تكون من أجله انعكاسية أشعة X أفضل كثيراً من التقنيات الضوئية التقليدية: مثال الطبقات المتعددة أو الأفلام المنضدة التي تضم عدداً كبيراً من السطوح البينية والتي نصادفها في صناعة معالجة الزجاج من أجل منع الانعكاسات الضوئية أو على العكس لصنع المرايا الشديدة العكس. يُظهر منحنى الانعكاسية لجملته متعددة الطبقات أشكال تداخلات معقدة جداً في أغلب الأحيان. فبالإضافة إلى أهداب كيسيغ، تظهر مجموعة أخرى من أهداب التداخل (تدعى قمم براغ Bragg) ناجمة عن تداخلات الحزم المنعكسة على السطوح البينية لمختلف التضييدات. تعطي قمم براغ هذه السبيل إلى خصائص الطبقات (كالدورية



الشكل 2- انعكاسية أشعة X طريقة حساسة بشكل خاص لدراسة السطوح. نرسل حزمة أشعة X بورود معزول، أي بحيث تصنع زاوية θ صغيرة جداً مع السطح (A) ونقيس شدة الجزء المنعكس من الضوء بدلاً من زاوية الورود θ . والمنحني الظاهر في (B)، باللون الأحمر يمثل الانعكاسية في حالة سطح أملس تماماً ومتجانس، أما الأسود فممن أجل سطح خشن (خشونة 6 أنغسترومات). عندما تكون زاوية الورود صغيرة، يكون الانعكاس كلياً في الحالتين ويظهر المنحنيان عتبة. يفترق المنحنيان عن بعضهما مع تزايد زاوية الورود. ويدخل الباحثون في معادلاتهم وسيط الخشونة الذي يسمح لهم بملاءمة المنحني الحسابي مع المنحني التجريبي. عندما نقيس انعكاسية فيلم رقيق، نلاحظ تموجات ناجمة عن التداخلات بين الأشعة المنعكسة لوجهي الفيلم والمسماة أهذاب كيبسيغ (c). تسمح هذه الأهذاب بتحديد ثخانة الفيلم بدقة كبيرة. يمثل المنحني بثلاثة أبعاد، حيث يُظهر البعد الثالث شكل الحزمة المنعكسة.





الشكل 3. الموجات الشعرية (A) عبارة عن موجات ذات ارتفاع صغير جداً (بضعة أنغسترومات) تتشكل على سطح الماء تحت تأثير درجة الحرارة. يُعبر عنها ببعض خشونة السطحية التي نقيسها بمساعدة انعكاسية X. يُقاس التوتر السطحي بشكل مستقل بواسطة جهاز يسمى ميزان ويلهلم (Wilhelmy).
تبدل طبقة الجزيئات العضوية على سطح الماء (فيلم لانغمير) الموجات الشعرية وبالتالي خشونة السطح. يتبع هذا التغير بشدة حالة الجزيئات السطحية. ومن أجل دراسة هذه الظاهرة، نبعثر الجزيئات على السطح ثم نجمعها أو نفردها زيادة أو نقصاناً بمساعدة حاجز متحرك (B). يضغط هذا التجهيز الجزيئات ويخضعها لتغيرات طورية حقيقية تُترجم بتغيرات هامة في الموجات الشعرية.

الغاز، السائل المتمدّد، السائل المكثف وفي النهاية الجسم الصلب.

تمتاز الطبقات المصنوعة من جزيئات الحمض الدسم بكونها بسيطة جداً فهي تتألف من تنضدين: يحوي الأول منها سلاسل أليفاتية (كارهة للماء). ويحوي الآخر رؤوساً قطبية (شركة للماء). وباستعمال هذا النموذج البسيط، الذي يعطينا كثافة الطبقات، ضبطنا قيمة خشونة السطح بحيث نجعل منحنيات الانعكاسية المحسوبة تطابق المنحنيات التجريبية [6]. وكانت النتائج الأكثر مفاجأة تخص تغير الخشونة بدلالة الضغط المطبق من قبل الحاجز. فعندما يكون هذا الضغط معدوماً، لا تحدث الكثافة الضعيفة للجزيئات أي تأثير على الموجات الشعيرة وتبقى الخشونة حينئذ مطابقة لخشونة الماء النقي.

وبالمقابل عندما يكون الضغط المطبق أشدّ ينشأ طور تكون فيه الجزيئات قريبة بعضها من بعض قريباً كافياً لتشكّل سائلاً قليل الكثافة هو السائل المتمدّد. لقد بين تحليل منحنيات الانعكاسية أن الجزيئات تشكّل قشرة رقيقة مستمرة لكنها غير ملتصقة (متراصة) بشكل كافٍ كي تتنظم السلاسل الأليفاتية عمودياً على السطح. وعلاوة على ذلك، تصبح الخشونة أعلى من خشونة سطح الماء النقي. وفي الواقع لا تتوقف الخشونة عن الإزدياد خلال فترة الانضغاط (وذلك من $3,2\text{\AA}$ إلى $3,7\text{\AA}$). إن ازدياد الموجات الشعيرة مع الضغط الذي يظهر مع ازدياد الخشونة، ليس إلا نتيجة بسيطة لانخفاض التوتر السطحي، وهذا ينشأ عن أن انجذاب الجزيئات الأمفيغرافية عند السطح بجزيئات كتلة الماء الكلية هو أضعف شدة من انجذابها بجزيئات الماء السطحية. يتأرجح السطح بيسر كبير بنفس الصورة التي يتشوه فيها بسهولة بالون مفرغ من الهواء قليلاً.

لنضغط الجزيئات أكثر فننتقل عندئذ إلى الطور المسمى «سائل مكثف» وهو أكثر كثافة من الطور السابق وفيه سلاسل الجزيئات مشدودة جداً. يظهر هذا التغير البنيوي بعنف ويتبعه ازدياد الخشونة (من $3,7\text{\AA}$ إلى $4,2\text{\AA}$) المرتبط بانخفاض جديد للتوتر السطحي. وعندما نزيد الضغط أيضاً كي نعبر إلى الطور الصلب، والتغيرات البنيوية معروفة تماماً: تترجم بانتصاب الجزيئات الذي ينتهي إلى ترتيب تكون فيه الجزيئات عمودية على سطح الماء. والأمر الأكثر مفاجأة هو تغير الخشونة التي تهبط بحدة من $4,2\text{\AA}$ إلى 3\AA ، وهذا يقابل موجات شعيرة ذات سعة أقل من سعة موجات الماء النقي.

بيرشان P.Pershan من جامعة هارفارد بالولايات المتحدة الأمريكية، عن وجود خشونة مذهلة غير متوقعة تقدر بـ $3,2\text{\AA}$ وبرهنوا بأن هذه الخشونة تتجم عن ظواهر حركية هي التحريض الحراري للموجات الشعيرة [5]. وهذه الموجات الشعيرة عبارة عن موجات ذات سعة صغيرة جداً وهي ليست من منشأ ميكانيكي، إنما تتشكل تحت تأثير درجة الحرارة (الشكل 3A) على عكس أمواج المحيطات الناتجة عن تأثير الرياح. كان فريقنا أول من استعمل عام 1987 انعكاسية أشعة X لدراسة نوع آخر من الظواهر ألا وهو سلوك طبقة أحادية الجزيئة من حمض دسم (حمض البان) على سطح الماء. يتشكل هذا الفيلم العضوي في تجويف من التفلون (الشكل 3B) ويدعى هذا الفيلم بطبقة لانغمير، تكريماً للأمريكي إيرفينغ لانغمير Irving Langmuir، الحائز على جائزة نوبل في الكيمياء لعام 1932 والذي بدأ في تقنية تصنيعها. تُشعر الجزيئات في البداية على سطح الماء بمساعدة محلول يتبخّر بسرعة عالية. تكون الجزيئات حينئذ مبشرة كثيراً وفي حالة تذكرنا بالحالة الغازية. ثم «تجمع» الجزيئات عن طريق سوقها بمساعدة حاجز متحرك يمسح السطح بحيث نحصل على أطوار أكثر كثافة.

كان هدفنا استكشاف التغيرات البنيوية للفيلم العضوي بالإضافة إلى تغيرات سلوكية الموجات الشعيرة على سطح الماء بدلالة الضغط الذي يطبقه الحاجز المتحرك. كانت الصعوبات الأولى تجريبية: كيف يتم تعريض سطح الماء لأشعة X دون أن تحجب حواف الحوض الحزمة الواردة؟ وكان الحل بإملاء الحوض إلى أعلى من حافته العلوية. يعرف كل واحد منا أنه عندما يُسكب الماء ببطء كافٍ في وعاء فإنه لا يطفح إلا عندما يتجاوز سطح الماء أعلى الوعاء قليلاً. يعود هذا السلوك إلى خاصية مميزة للماء هي توتره السطحي الشديد الذي ينجم عن حقيقة أن جزيئات الماء عند السطح تجذب بعضها بعضاً جذباً أشد من جذب جزيئات الهواء فوقها لها. يشبه فعل التوتر السطحي هذا فعل الغشاء المرن للبالون المنفوخ جيداً، الذي يحول دون التشوهات الكبيرة في سطح البالون وبالإضافة إلى ذلك، يكون التوتر السطحي كافياً لكي لا ينسكب الماء عندما نحرك الحاجز المستخدم لتجميع الجزيئات بتصغير السطح المتاح لجزيئات الحمض الدسم، فيضغط الحاجز هذه الجزيئات كما يضغط المكبس الغاز في الأسطوانة. تخضع جزيئات الحمض الدسم المضغوطة لتغيرات طورية حقيقية وتمر على التوالي عبر الحالات التالية:

K. Mysels في الولايات المتحدة الأمريكية في أعوام 1950 أساسياً بواسطة قياسات ضوئية وكهربائية، فقد بقيت بنية فيلم نيوتن غامضة. وانتهى الأمر بفريقنا في السنة الأخيرة إلى توضيح مشكلة قديمة تعود قريباً لثلاثة قرون: فقد استطعنا بشكل كامل تحديد بنية الأفلام السوداء وبخاصة قياس كمية الماء المحبوسة في هذه الأفلام [7].

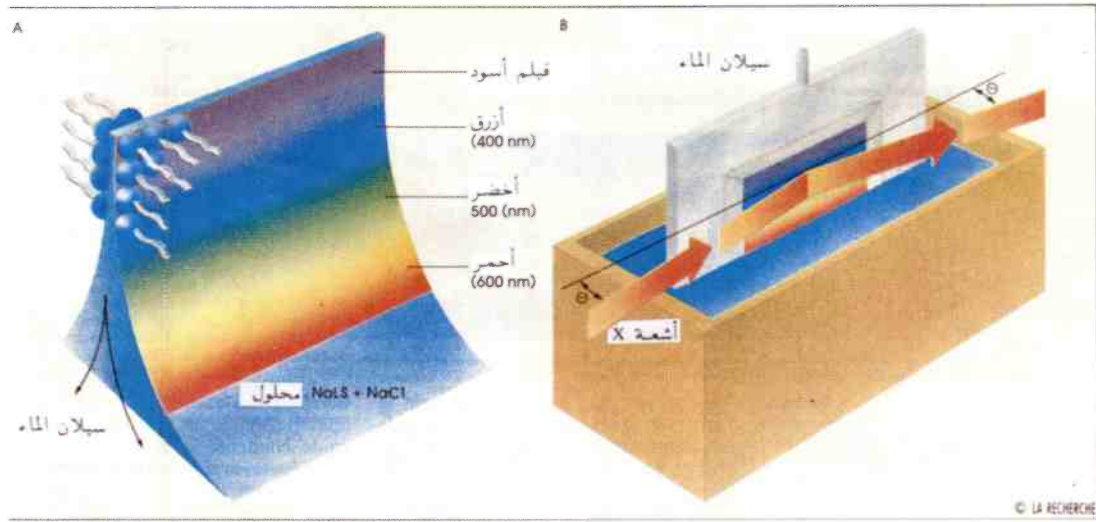
أخيراً أمكن توضيح بنية الفيلم الأسود، المرحلة النهائية لفيلم الصابون، بدراسة أهداب التداخل التي يولدها

وكما كان الحال من أجل القياسات على طبقات لانغمير، كانت مسألة الولوج في الزوايا الصغيرة جداً معقدة بصورة خاصة إذ كيف يتم تشكيل فيلم صابون مستو باستعمال إطار معدني ودون أن يعاق بهذا الإطار؟ وكان الحل في قطع الإطار على شكل حديد مائل بحيث يتشكل الفيلم تماماً في مستويه الخارجي وبالضبط مقابل حزمة أشعة X (الشكل 4B). وعندما حُلّت مشكلة مرور أشعة X قمنا باحتياطات تجريبية دقيقة جداً (مراقبة الرطوبة ودرجة الحرارة، إزالة الاهتزازات) بحيث تتم السيطرة التامة على شروط تشكل واستقرار الفيلم. لقد تبين في هذه الشروط أن النتائج التجريبية قابلة للتكرار تماماً. لاحظنا في أشعة X المنعكسة عدة أهداب تداخل كيسيغ تتضمن تغيرات هامة في الانعكاسية وذلك من 1 من أجل الانعكاس الكلي إلى بضع وحدات من 10^{-8} من أجل النهايات الصغرى. وانطلاقاً من هذه المعطيات التجريبية شيدنا نموذجاً بنوياً لفيلم نيوتن الأسود (الشكل 4C). والأكثر دهشة في هذا الفيلم هو الغياب الكلي للماء السائل المرتبط بثخانة الفيلم الضعيفة جداً (33\AA فقط) [7]. وبالمقابل، كانت الرؤوس القطبية مميّهة بالكامل، أي محاطة بجزيئات ماء محبوسة في البنية، تماماً كما في الصابون في الحالة المبلورة. كيف تفسّر الثخانة الضعيفة جداً لهذا الفيلم؟ السبب في ذلك حسب رأينا هو التالي: يؤدي التركيز العالي بالملح إلى معادلة تامة للشحنة الكهربائية السطحية للصابون وحده وبالتالي إلى محايدة التدافعات الكهراكية بين جانبي الفيلم. وبإمكان هذا الفيلم أن يصبح رقيقاً جداً حتى ثخانة تنتج من التوازن بين قوى الجذب الجزيئي (المسماة قوى فان دير فاس Van der Waals) والقوى ذات المدى القصير جداً (على سبيل المثال القوى المحيطية الفراغية) التي تعيق تداخل الجزيئات). لقد وجدنا حديثاً لدى اختبارنا حالة

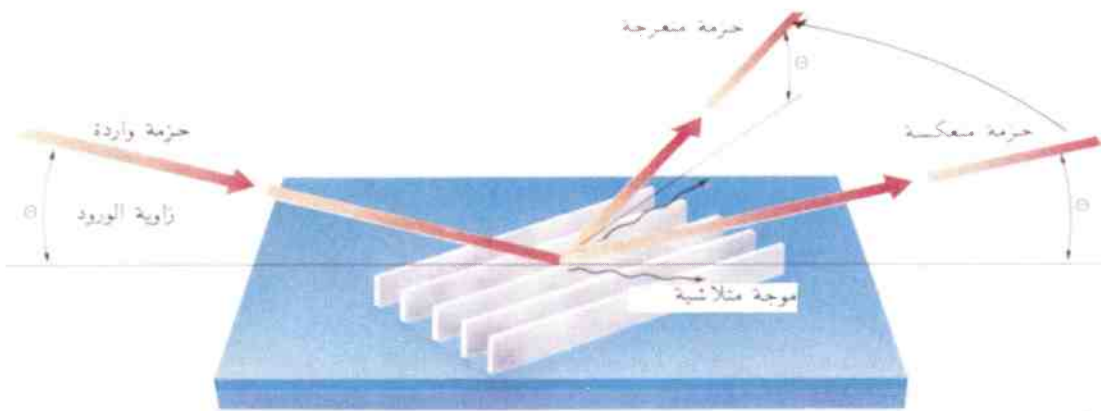
تسمح نظرية الموجات الشعيرة هنا أيضاً بتفسير هذه الظاهرة الغريبة حيث تصبح الطبقة أكثر صلابة وأصعب تقوياً، وهذه الصلابة بالذات هي بالضبط ما يحد بشدة من التآرجحات الشعيرة السطحية. لنوضح هنا أن قياسات الخشونة هذه لطيفة لانغمير في أطوارها المكثفة ما كانت لتتحقق بالطرائق الضوئية لأن سعات التآرجحات أصغر مما ينبغي لها أن تكون عليه كي تكون سهلة المنال بهذه التقنيات وهكذا كان الحال أيضاً مع القياسات التي أجريناها على جمل أخرى مثل أفلام الصابون السوداء التي سمحت انعكاسية X عليها بحل مشكلة قديمة جداً.

إن الملاحظات الأولى على أفلام الصابون قديمة جداً ورواد دراستها العلمية هم ر. هوك R. Hooke (1572)، ي. نيوتن I. Newton (1704) و ج. ف. جيبس J. W. Gibbs (1876). والأفلام السوداء هي المرحلة النهائية لفقاعة الصابون بعد سيلان الماء (الشكل 4A). ففيلم الصابون بحد ذاته هو نوع من سندويش ثنائي الطبقة يشبه الغشاء البيولوجي بشموله طبقتين خارجيتين متناظرتين مكونتين من بساط من جزيئات الصابون وبينهما طبقة من الماء. ولكن هنا وعلى عكس الأغشية، تكون السلاسل الأليفاتية (الكارهة للماء) موجهة هنا نحو الخارج. ما هي الأفلام السوداء؟ نعلم منذ زمن بعيد أن ثخانة الأفلام السوداء صغيرة جداً بالمقارنة مع طول موجة الضوء المرئي (الواقع بين 0,4 و 0,8 ميكرون). لنفحص فيلماً من الصابون شكّل على إطار شاقولي غمس في حوض ماء صابوني. عندما يصبح الفيلم رقيقاً أثناء تصريف الماء نرى تتابع شرائط ملونة بألوان قوس قزح ويبقى أيضاً الفيلم ثخيناً. ثم إذا راقبنا الفيلم على خلفية معتمة نرى بقعة سوداء تتشكل وتنتشر على كامل الفقاعة. في الواقع يصبح الفيلم غير مرئي (عائماً) ولا يظهر إلا باستخدام عدسة هلالية أحد وجهيها مقعر والآخر محدب عند وصلها بسطح حمام الماء الصابوني.

تتكوّن هذه الأفلام من ثلاثة مركبات: وهي الصابون (هنا دوديسيل سلفات الصوديوم وهو عبارة عن صابون أيوني) والملح (على سبيل المثال كلور الصوديوم) والماء. وبحسب التركيز بالملح، نلاحظ نطيين من الأفلام السوداء: الأول ذو التركيز المنخفض يدعى الفيلم الأسود الشائع وهو الأكثر ثخانة، والآخر وهو الأرق يتم الحصول عليه بتركيز أعلى من الملح فيدعى فيلم نيوتن الأسود. وعلى الرغم من الدراسات العديدة على الأفلام السوداء، كالدراسات الأنيقة جداً التي أنجزها ك. ميسيل



الشكل 4- يرق فيلم الصابون تدريجياً بقدر ما يسيل منه الماء، الذي يشكل الطبقة الوسطى. عندما تكون ثخانة الفيلم من مرتبة الأطوال الموجية الضوئية، تبدو على الفيلم حينئذ ألوان قوس القزح (A). ومن ثم يكون رقيقاً جداً ويصبح غير مرئي (أو أسود عندما يُلاحظ على خلفية معتمة). هكذا يفرض التحليل نفسه بانعكاسية أشعة X. ولدراسة أفلام الصابون، نُشكلها على إطار مستوي بحيث يُضاء الفيلم بأشعة X تحت زوايا صغيرة جداً (B). وهكذا حُدّد تركيب فيلم نيوتن الأسود الرقيق جداً (33\AA)، الذي لا يحتوي إلا على بضع جزيئات من الماء محبوسة في شبكة جزيئات الصابون (C).



الشكل 5- ينشأ الانعراج السطحي، وهو طريقة متممة للانعكاسية، عن الموجة «المتلاشية»، الموجة الضعيفة جداً التي تتوغل في السطح وتنتشر موازية له عندما يكون الجزء الأساسي من حزمة أشعة X منعكساً. وعندما تلاقي الموجة المتلاشية مستويات بلورية، فإنها تنحرف جزئياً وتخرج ثانية خارج مستوى الانعكاس يعطي قياس هذه الموجة المنعرجة إذاً مؤشرات عن تنظيم الجزيئات في مستوى السطح.

غاليوم (GaAsAl)، المصنعتين بطريقة التنضيد epitaxie* الجزئي.

لنعد الآن إلى مبدأ الانعراج السطحي. قلنا أعلاه أنه عندما تصل حزمة أشعة X بزوايا ورود أدنى من الزاوية الحرجة، فإنها تعاني انعكاساً كاملاً على السطح البيني. في الحقيقة، إذا انعكس تماماً كامل الشدة الواصلة تقريباً، حينئذ يتوغل جزء بسيط جداً من الإشعاع الوارد في المادة بشكل موجبة تسمى «الموجة المتلاشية» تتخاد بسرعة كبيرة على مسافة بضع عشرات الأنغسترومات. تنتشر هذه الموجة المتلاشية موازية لسطح المادة بعمق توغل يمكن اختياره إجمالاً بين 40 و 1000Å بتغيير زاوية الورد قليلاً، كلما كانت هذه الزاوية أكبر تتوغل الموجة أكثر عمقاً. عندما تلاقي هذه الموجة مستويات بلورة مجاورة للسطح (الشكل 5) يمكن أن تحدث حينئذ ظواهر التداخل وتنعرج الموجة المتلاشية، ثم تبرز ثانية من السطح البيني بعدما كانت قد انحرفت. يسمح تحليل ظواهر التداخل هذا بتحديد البنية الذرية أو الجزئية لسطح بيني كعلم البلورات التقليدي للمواد الكثيفة.

ماهي أهم تطبيقات وحدود هذه التقنية؟ يتعلق الجواب بطبيعة المادة الملاحظة التي تفرض شروطاً تجريبية قاسية جداً مثل الجودة الكاملة وعدم تلوث السطوح البنية المعدة للدراسة، ناهيك عن صغر المادة المتفاعلة مع أشعة X. وهذا يقود إلى استعمال تخلية عالية (من أجل العينات الصلبة) وأجهزة خصوصية جداً، تتوفر في أغلب الأحيان حول منابع سنكروترونية تمكن من القياس في أزمنة معقولة. سنوضح هذه التقنية بمثال مأخوذ من الجمل العضوية، أي طبقة لانغمير الأحادية على الماء. لكن يجب الإشارة إلى أن معظم الدراسات من هذا النوع قد تمت على جمل لاعضوية، ومنها مثلاً، دراسات الانتقالات الطورية للسطح أو دراسات سطوح أنصاف النواقل.

إنه لمن المفيد أن يوصف باختصار هنا استكشاف بُنى مسطحة لطبقات أحادية بواسطة الانعراج السطحي الذي باشره عام 1990 فريق ب. دوتا P. Dutta من جامعة نورث ويسترن North Western في الولايات المتحدة الأمريكية [9]، لأنه يُكملُ العمل الذي عرضناه أعلاه حول الطبقات الأحادية. إن الجملة التي تهّم الأمريكيان تشابه تقريباً جملتنا، لأن الأمر يتعلق بالحموض الدسمة من

الصابون غير الأيوني الذي يُشكل أفلام نيوتن أنها ذات بنية مشابهة جداً لتلك الجمل السابقة. إن نتاج ملاحظتنا عام جداً لأن أفلام نيوتن لا تحتوي على ماء سائل.

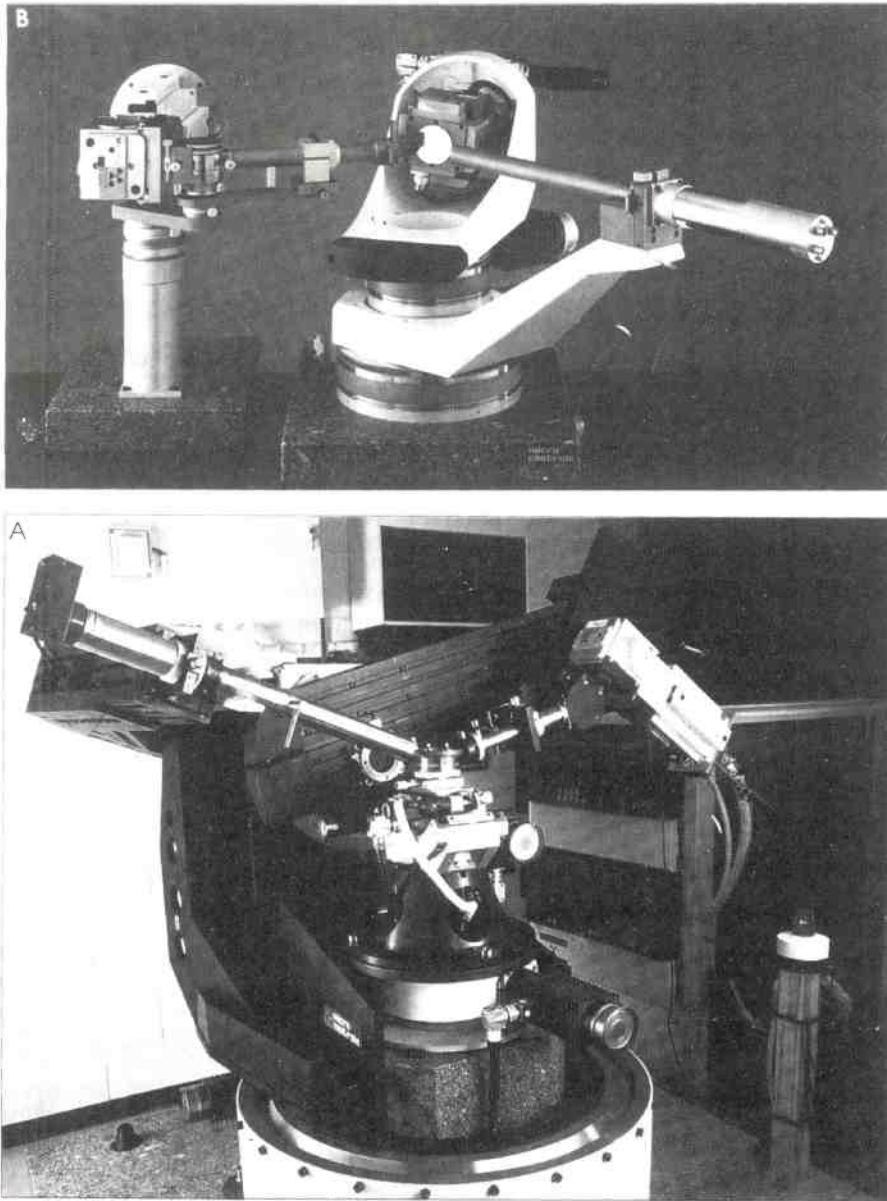
لنعد حالياً إلى الفيلم الأسود الشائع المشكل باستخدام صابون أيوني ولكن بتركيز ضعيف من الملح. لقد أشرنا إلى أنه إذا بقي نظام الطبقات مشابهاً لنظام طبقات فيلم نيوتن حينئذ يكمن الاختلاف مع هذا الأخير في وجود طبقة حقيقية من الماء السائل ثخانتها 30Å محتواة بين جوانب الصابون. يكون الفيلم الأسود هذا، غالباً غير مستقر وتكون فترة حياته قصيرة (من 1 إلى 5 دقائق) وهذا يعود دون شك إلى الحركات القوية للحمل الحراري للماء في الفيلم.

لقد أتاح لنا وضع طريقة تسجيل منحنيات الانعكاسية بزوايا صغيرة، جداً حيث الشدة أقوى، القيام بتسجيلات سريعة (تدوم قرابة 10 ثوان) أثناء سيلان الفيلم على سلم الثخانات الصغيرة جداً (من 200 إلى 30Å) وقياس رقة الفيلم بدلالة الزمن في الواقع، لم يُعدْ هيدروديناميك الأوساط المستمرة في سلم الثخانات هذا كافياً لتفسير السيلان: يكون هذا السيلان في البداية مُسرّعاً بسبب دخول جميع القوى المجهرية ذات المدى القصير في التأثير وتظهر مسائل جديدة على سبيل المثال، حركية جوانب الصابون. يجب أن توضح لنا هذه القياسات كيفية تشكل الأفلام السوداء وتفتح لنا طريقاً جديداً والذي قد يسمى «نانو هيدروديناميك» في سلم الثخانات التي تتدخل فيها القوى المكروسكوبية بشدة.

مقاييس الانعكاسية بأشعة X هي الأجهزة التي يجب أن تصبح بسرعة مقاييس اعتيادية شائعة سواء في المخبر أو في الصناعة

يتطلب الفهم الكامل لبنية منطقة بينية معلومات أكثر من تلك التي توفرها الانعكاسية التي تعطينا توزيع الجزئيات في اتجاه عمودي على السطح. ينبغي أيضاً معرفة انتظام الجزئيات وفق الاتجاه الموازي للسطح البيني. حيث يتدخل هنا الانعراج السطحي. لقد استُخدمت هذه التقنية للمرة الأولى في الولايات المتحدة الأمريكية من قبل ف. س. مارا W. C. Marra و ب. إيزنبرغر P. Eisenberger من جامعة برينستون Princeton في عام 1979 [8] من أجل دراسة الطبقتين البلوريتين الرقيقتين لزرنيخ الألمنيوم -

* epitaxie : هي ظاهرة نمو بلورة على سطح بلورة أخرى بحيث يكون نمو البلورة المترسة موجهاً بالبنية الشبكية للقاعدة (معجم مصطلحات العلم والتكنولوجيا).



الشكل 6- من أجل دراسة السطوح السائلة والصلبة بسهولة من خلال الانعكاسية أو الانعراج السطحي، فقد صنع المؤلف أجهزة تتضمن عدة معايير زاوية تسهل القياسات الدقيقة. في (A)، نرى مقياس الانعراج «4- حلقات» الذي يسمح، بفضل إزاحة المنبع، بإجراء قياسات الانعكاسية والانعراج بورودات مماسية على السطوح السائلة. في (B) مقياس الانعراج التجاري الحديث «3- حلقات» (شركة ميكروكونترول) مخصص لدراسة السطوح والأفلام الصلبة الرقيقة.

يصف بدقة بنية بعض من هذه الأطوار بفضل الانعراج السطحي.

في الواقع، وعلاوة على المميزات التي أعطيناها لمختلف الأطوار، يجب إدخال عنصر جديد تكون حساسية الانعكاس بالنسبة له ضعيفة تماماً: وهو

السلسلة ذاتها ولكن مدروسة بدرجات حرارة منخفضة تقع بين 1 و 8°C في حين أن قياساتنا أجريت في درجات الحرارة العادية. في هذا المجال من درجات الحرارة، تظهر هذه المركبات تشكيلة كبيرة جداً من الأطوار، لقد استطاع فريق ب. دوتا أن

لأن الخطوة الصغرى للضبط الزاوي صغيرة جداً (10^{-4} درجة). ولتحقيق تجربة انعراج سطحية، نستعمل الضبطيين الآخرين وفق المحورين الشاقوليين) اللذين يوفران إمكانية استكشاف الضوء المنعكس خارج مستوى الورود وتوجيه العينة. وبواسطة هذا الجهاز، يمكن إجراء دراسة طبقات لانغيمير على الماء بالانعكاسية وبالانعراج على السواء. في حالة السطوح البلورية حيث تفرض فيها الفعالية الكيميائية الكبيرة جداً العمل تحت خلاء عال، لا تستعمل إلا أجهزة الانعراج السطحي المصنوعة خصيصاً من أجل الإشعاع السنكروتروني (لا تستعمل الانعكاسية إلا نادراً من أجل هذا النوع من الدراسات).

إن الحالة الأخيرة حالة الأفلام الرقيقة وذات الطبقات المتعددة وكذلك حالة السطوح البينية بين الأجسام الصلبة تهتم الصناعيين كثيراً. إذ أن هذه الجمل غالباً ما تكون سهلة الاختبار، لأنها لا تتطلب وسطاً معقداً الإعداد ولا تستدعي خلاءً عالياً، ويمكن أن تدرس غالباً بواسطة منبع تقليدي لأشعة X. لقد سمحت لنا التجربة المكتسبة في مجال الانعكاسية على هذا النوع من العينات تصميم مختلف الأجهزة حيث تم تسويق الأكثر عصرية منها (الشكل 6B). يمثل هذا الجهاز حصيلته مختلف التطورات التي تحققت في السنوات الأخيرة. وأخيراً، تمتلك ضوئيات أشعة X مظهرًا مضاعفًا: تقانة معقدة التجهيز ووسيلة مخبرية سهلة الاستعمال. إنها معقدة عندما ينبغي استعمالها مع منابع سنكروترونية وبشكل أساسي في حالة الانعراج السطحي، لكنها توفر معلومات غنية جداً عن البنية. غير أنه عندما يكون استعمال منابع تقليدية لأشعة X ممكناً، يمكن أن تصبح القياسات سهلة جداً. ومن المتوقع أيضاً أن تصبح انعكاسية أشعة X، التي تلقى حالياً نجاحاً كبيراً، سريعة الشيع وهكذا يمكن أن يصبح مقياس انعكاس أشعة X جهازاً شائعاً كما هو المجهر الإلكتروني أو مقياس القطع الناقص الذي هو جهاز يستعمل استقطاب الضوء لقياس الشخانات والقرائن. وسيكون بالإمكان حينئذ التفكير باستخدام ذلك لفحص الطبقات الرقيقة، شائعة الاستعمال، عند الصنع، وذلك أثناء علاج خواصها للانعكاس سواء في عدسات النظارات أو في واقيات الريح (الزجاج الأمامي في السيارات) أو عند التزجيج. هذا وتعدّ الإلكترونيات المكروية، المنتجة الكبرى للطبقات الرقيقة ذات الأبعاد المتزايدة في صغرها، أيضاً مجالاً يجب أن يقوم فيه مقياس انعكاس أشعة X دوراً متزايداً من أجل فهم البنى ومراقبة الجودة.

الميلان الجزئي. دون الدخول في التفاصيل، لقد أثبت تحليل مُعطيات انعراج السطح وجود طورين صليين متمايزين (الأول بدرجة حرارة منخفضة والآخر بدرجة حرارة عالية) حيث كانت الجزيئات عمودية على سطح الماء وتنظم على شبكة مثلثية ملتوية قليلاً. تكون الجزيئات مائلة في الضغوط السطحية الأضعف مما هي عليه في الطور الصلب ويمكن أن يأخذ هذا الميل اتجاهين اتجاه موازٍ لضلع المثلث واتجاه عمودي على هذا الضلع. إن هذين الترتيبين هما أصل الطورين «سائل مكثف» متمايزين وهكذا فإن انضمام التقنيتين، الانعكاسية والانعراج السطحي يعطينا جميع العناصر التي تصف ترتيب الجزيئات بجوار السطح.

لقد رأينا من خلال مختلف الدراسات المقدمة بأنه تم الآن السيطرة التامة على أدوات تحليل معصيات الانعكاسية أو الانعراج السطحي. ما هي اتجهيزات التجريبية التي تسمح باستخدام هذه اتقنيات الجديدة؟

إن اجواب على هذا السؤال يتعلق في الواقع بالجمل لمراد دراستها. لنختبر ثلاث حالات: السوائل، السطوح البلورية (غالباً شديدة الفعالية كيميائياً)، وأخيراً سطوح الأجسام الصلبة والأفلام الرقيقة. في حالة السوائل، تنجم الصعوبة التجريبية الأساسية من حقيقة أنه يلزم إزاحة الحزمة الواردة كي تترك السطح الأفقي. لا يوجد إلا إمكانيتين لتحقيق هذا الشرط: إما بحرف الحزمة (وهذا هو الحل المعتمد حول منابع السنكروترون) وهو أقل سهولة بكثير مما هو عليه من أجل الضوء المرئي، لأن المرايا و المنايع وحيدة اللون لأشعة X ليست بهذه السهولة في الاستعمال، أو بإزاحة منبع أشعة X. لا يمكن التفكير بهذا الحل إلا عندما يكون المنبع منبعاً مخبرياً مغلفاً (تشبه منابع العاملين بالتصوير الإشعاعي). وهذا هو الحل الذي اخترناه حيث صنعنا مع شركة مكرو كونترول Microcontrole جهاز انعراج «4 حلقات» أي أنه يتضمن أربعة محاور دوران، اثنان منها لتوجيه العينة بالنسبة للحزمة الواردة والاثنان الآخران لجمع الإشعاع المنعرج أو المنعكس (الشكل 6A). في تجربة الانعكاسية لا يلزم سوى المحورين الأفقيين فقط: وهما اللذان يزيحان المنبع والكاشف على التوالي في المستوى الشاقولي. يتيح هذا النوع من الأجهزة استكشافاً دقيقاً للانعكاسية، ذلك

REFERENCES

المراجع

- [1] L. G. Paratt, *Phys. Rev.*, **95**, 359, 1954.
 [2] F. Abélès, *Ann. phys.*, **5**, 596, 1950.
 [3] P. Croce et L. Nevot, *Revue phys. Appl.*, **11**, 113, 1976.
 [4] L. Bosio et M. Oumezine, *J. Chem. Phys.*, **80**, 954, 1984.
 [5] D. K. Schwartz et al., *phys. Rev.*, **A41**, 5687, 1990.
 [6] J. Daillant, *et al Europhys. Lett.*, **8** (5), 1989.
 [7] O. Bèlorgey et J. J. Benattar, *Phys. Rev. Lett.*, **66**, 313, 1991.
 [8] W. C. Marra, P. Eisenberger et A. V. Cho, *J. Appl. phys.*, **50**, 6927, 1979.
 [9] B. Lin, *et al phys. Rev. Lett.*, **65**, 191, 1990.

Key Words

الكلمات المفتاح

- 1- reflectivity الانعكاسية
 2- X-ray أشعة X
 3- interface سطح بيني
 4- tunnel effect microscope مجهر ذو المفعول النفقي
 5- structure البنية
 6- liquid crystals البلورات السائلة
 7- surface tension التوتر السطحي
 8- layer الطبقة
 9- surface diffraction الانعراج

كارثة تشيرنوبيل: حصيلة غير متوقعة*

ج . ك . نيو
مهندس زراعي-مدير أبحاث في معهد الوقاية والأمان النووي في فوننتي أورو - فرنسا
ر . كولون
رئيس دائرة في معهد الوقاية والأمان النووي

ملخص

منذ ست سنوات انفجر المفاعل رقم 4 في المحطة النووية في تشيرنوبيل، وعلى مدى ما يقرب من عشرة أيام قذف جزء كبير من المنتجات المشعة من قلب المفاعل إلى الجو، مشكلاً سحابة مشعة أحدثت مساراتها وإسقاطاتها على كل أوروبا أحد الهواجس خلال أشهر عديدة. وشكلت هذه الكارثة، التي لا سابق لها في تاريخ الطاقة الذرية، موضوعاً لأحاديث مطمئنة، أو صمت رسمي أو إشاعات مفجعة. فماذا عن تلك الكارثة اليوم، بعد ست سنوات؟ ما هي الحصيلة التي يمكن إقامتها فيما يخص النتائج البيئية والزراعية والصحية لهذا الحادث؟ في هذا المقال رسم جان كلود نينوت Jean-Claude Nénot صورة متباينة. فإذا كانت لتأثيرات البيئية آخذة بالتحسن، حتى بالقرب من المحطة النووية، فما زالت الشكوك مستمرة على الصعيد الطبي والصحي.

المقدمة

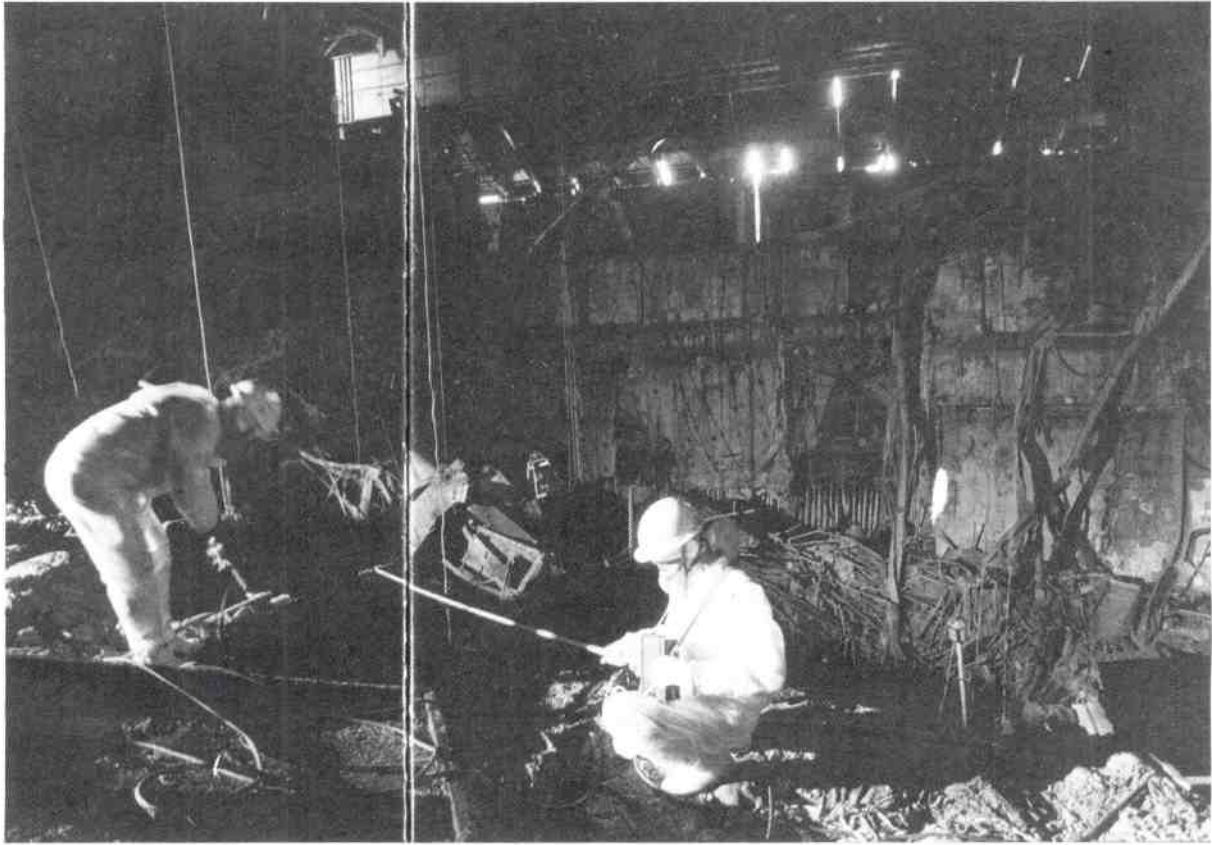
وبقيت الإشاعات الأكثر بعداً عن الواقع تنتشر. وكان من الصعب على المواطن، سواء كان أوكراينياً أو بيلوروسياً أو روسياً أو فرنسياً، أن يقدّر الأمور في جو يسود فيه الصمت الرسمي، والأقوال المطمئنة قصداً، والمزايدات السياسية ومختلف سيناريوهات الكارثة. وفي الواقع، وبعد أن أُعلن الإنذار في مركز الأزمة في وزارة الصناعة والطاقة الذرية في موسكو، أخذت السلطات المركزية على عاتقها مسؤولية تقدير الوضع ومراقبته وإدارته: وكانت المعلومات، خلال المرحلة الأولى هذه، محدودة للغاية، كيلا يقال إنها غير موجودة. وأدى غياب الإعلام الرسمي هذا إلى انتشار الشائعات، التي غالباً لا أساس لها إلا أنها أسهمت في تزايد حالة حقيقية من الذعر. لكن اتساع الكارثة وصداها الدولي لم يسمحا للمسؤولين في الجمهوريات الثلاث المعنية (أوكرانيا وبيلوروسيا وروسيا) بالبقاء بعيداً عن الأمر طويلاً. فقد جرى تدخلهم وتدخل المؤسسات العلمية المختلفة التابعة لهم بشكل غير منظم، في سياق سياسي

في الساعة الواحدة والدقيقة الثالثة والعشرون (حسب توقيت موسكو) من يوم 25 نيسان 1986، انفجر أحد المفاعلات الأربعة في الموقع النووي في تشيرنوبيل، فارتفع غطاء المفاعل، المكون من بلاطة تزن ألفي طن، محرراً كمية كبيرة من المنتجات المشعة المختلفة في الجو. وخلال الأيام العشرة التالية، تغيرت شروط انتشار المنتجات المشعة، بحسب سيطرة تأثيرات الآلية (الانفجار) أو التأثيرات الحرارية (الحريق) التي غيرت من الأهمية النسبية للتكليفات المشعة المنطلقة كما غيرت من شروط تبعثرها. ويشكل هذا الحادث في الوقت الراهن أهم كارثة في تاريخ الطاقة الذرية المدنية (الشكل 1). وبالرغم من العدد الكبير لقياسات النشاط الإشعاعي المتبقي. وبالرغم من العدد الكبير أيضاً للأشخاص الذين تم فحصهم ومتابعتهم طبياً، وبالرغم من التدخلات العديدة لانقاذ السكان من خطر الإشعاعات، ظلت لشكوك كبيرة فيما يخص النتائج الطبية والصحية،

* هذا المقال منشور في مجلة La Recherche 246, Vol. 23, septembre, 1992. ترجمه الدكتور محمد عثمان - قسم البيولوجيا - وراجعه الدكتور توفيق قسام -
عصر اللجنة الاستشارية العلمية - هيئة الطاقة الذرية السورية.

وانطلاقاً من القياسات التي أجراها السوفييت في منطقة تمتد 30 كيلومتراً حول المحطة النووية، قدر النشاط الإشعاعي الصادر بهامش ريب معقول ($\pm 50\%$). فضلاً عن ذلك، أعيدت هذه التقديرات من قبل منظمات وطنية، كمعهد الوقاية والأمان النووي (IPSN) في فرنسا مثلاً، ومنظمات دولية، خاصة الوكالة الدولية للطاقة الذرية (AIEA)، على أساس مستوى التلوث المقاس في البلاد المتأثرة بالإسقاطات المشعة.

واقتصادي واجتماعي صعب جداً، الأمر الذي لم يساهم في إصلاح الموقف بل زاد الطين بلة. وفقد الناس ما تبقى لديهم من ثقة، إذ باتوا مصدومين، لا يَعمون شيئاً مما يحدث، وسط هذه المزايدات والمنافسات. ولهذا طلبت السلطات السوفييتية، في عام 1989، من الوكالة الدولية للطاقة الذرية (AIEA) تنسيق الخبرة الدولية [1]، التي سمحت بتقييم الحالة الراهنة وإسقاطها على المستقبل، وتقدير نوعية وصلاحية المعلومات التي يقدمها السوفييت.



الشكل 1- يُعد انفجار أحد المفاعلات الأربعة في المحطة النووية في تشيرنوبيل، منذ أكثر من ست سنوات، أهم كارثة في تاريخ الطاقة النووية. فقد انهار قلب المفاعل، وارتفع غطاء المفاعل، المكون من بلاطة وزنها 2000 طن، بوضع شاقولي نتيجة الانفجار. وقد سمح ذلك بانتشار العناصر المشعة في الجو: غازات نادرة، اليود 131، والسييزيوم 137 و134، والسترونشيوم 90، والبلوتونيوم 239، إلخ... وقد سببت هذه التكليدات المشعة المنطلقة في الجو تلوث كميات كبيرة من الهواء: ودفعت الرياح السحابة المشعة المشهورة عبر كامل أوربا تقريباً. وبقي القسم الأساسي من الوقود في المفاعل المصاب أو في جواره مباشرة. والتابوت الذي أنجز في تشرين الأول 1986 هو بنية مكون من الخرسانة والفولاذ بارتفاع 50 م مُعد لحصر الوقود في أنقاض المفاعل. والصورة الضوئية هذه، المأخوذة بعد خمس سنوات من الحادث، هي إحدى الصور الأولى من داخل التابوت. وتجرى قياسات النشاط الإشعاعي على حافة الحفرة التي كان المفاعل موجود فيها. وبما أن البنية الموجودة تحت المفاعل تحمل أوزاناً لم تكن بالأساس محسوبة لها، فمن الضروري الحفاظ على حالة التابوت الحانية. ومنذ عام 1990 طرحت مسألة وضع تابوت ثانٍ: ويجب أن يصمم ليقاوم بشكل خاص التصدعات الداخلية التي يمكن أن تحدث.

التشعيع الخارجي فيها إلى 0.1 mSv/h (انظر المؤطر 1) في نهاية اليوم الأول، أي ما يعادل ألف مرة من السوية الطبيعية. من الواضح أن السكان القاطنين في مناطق معزولة قريبة واقعة خارج منطقة الإخلاء، وفي بعض الأحيان في مناطق بعيدة لكنها شديدة التلوث، استمروا بالحياة بشكل عادي في وسط ذي نشاط إشعاعي شديد. وقد خضع هؤلاء السكان لا محالة إلى تعريض مرتفع بعد الحادث من الصعب جداً تقديره بعد فوات الأوان.

لقد أسهم توضع النكليدات المشعة على الأرض، المتضافر بشدة مع التشعيع الخارجي، والتقاطه من قبل الغطاء النباتي، وخاصة المنتجات الزراعية المعدة لتغذية الإنسان والحيوان، في تفاقم الوضع. ففي المنطقة القريبة من الموقع، بلغ تركيز العناصر المشعة في المنتجات الغذائية (حليب، بقوليات خضراء...) مئات الآلاف وحتى ملايين البيكرل Bq في اللتر أو في الكيلوغرام [2].

وقد شكل الماء سبيلاً آخر للتلوث: فالرواسب المشحونة بنواتج السحاب المشع الصادر عن المفاعل شكلت معيلاً مباشراً للتلوث في المياه السطحية، ولكن تلك المياه على الخصوص تلوثت أيضاً نتيجة غسل الأراضي الملوثة بالنكليدات المشعة. وقد أقلق هذا النوع من التلوث السوفييت بشدة، وعلى الخصوص من ناحية وقاية حقول المياه الجوفية والخزانات الكبيرة التي تستعمل لتزويد المدن مثل كييف. غير أنه اتضح فيما بعد بأن هذا الخطر كان ضئيلاً، إلا في المناطق القريبة جداً أو في حالة الأوساط المغلقة (بعض البحيرات أو المستنقعات) التي كانت عرضة لتراكم العناصر المشعة.

ثم تحسن الوضع سريعاً، بمرور الزمن. وقبل كل شيء بصورة طبيعية، بسبب تناقص النشاط الإشعاعي للعناصر قصيرة العمر (وخاصة اليود ^{131}I)، واختفاء التلوث الجوي، وهجرة العناصر إلى باطن الأرض والرسوبيات. بالإضافة إلى ذلك، وبما أن رواسب العناصر المشعة قد توقفت واختفى جزء من النباتات الملوثة، فالسبيل الوحيد الباقي للتلوث هو الامتصاص بواسطة الجذور النباتية، وهذا أقل أهمية بكثير. كما تحسن الوضع أيضاً بوضع نظام رقابة حقيقي، وباستخدام وسائل الحماية (على سبيل المثال، استبعاد المنتجات الغذائية التي تجاوز مستوى التلوث

وقد حدث جزء كبير من هذه الإصدارات (حوالي 25%) في اليوم الأول إثر الانفجار الذي حدث في المفاعل. أما الباقي فقد انتشر خلال الأيام التسعة التالية إثر الحريق الشديد الذي شب. وقد تغير معدل طرح النواتج المشعة خلال الزمن: فقد تناقص طيلة الأيام الخمسة الأولى وتزايد طيلة الأيام الأربعة الأخرى. وقد توقف الإصدار عملياً عقب اليوم العاشر.

وقد وجد في الإصدارات المشعة أن النكليدات المشعة الأشد تبخراً تشكل الأكثرية. وتأتي، في المقام الأول، كافة الغازات النادرة الموجودة في المفاعل؛ ثم يأتي بعد ذلك اليود ^{131}I ، وهو نكليد ذو دورة قصيرة (ثمانية أيام) مسؤول عن قسط كبير من تعريض السكان للإشعاعات خلال الأسابيع الأولى، وقد انبعث عنه ما يقرب من 5.10^{17}Bq (انظر المؤطر 1)، ويمثل ذلك حوالي 20% من النشاط الإشعاعي الموجود في قلب المفاعل. ونجد بعد ذلك السيزيوم، ^{137}Cs و ^{134}Cs ، والأول هو نكليد مشع ذو دور طويل (30 سنة) ومسؤول عن الجزء الأعظم من تعرض السكان في الحاضر والمستقبل: حوالي 7.10^6Bq من ^{137}Cs كان قد انتشر، أي حوالي 15% من النشاط الإشعاعي الموجود في قلب المفاعل. وأخيراً تأتي مجموعة العناصر الأخرى (السترانسيوم 90- والبلوتونيوم 239...) وهي أقل تبخراً بكثير، ولهذا السبب فإن نشاطاتها الإشعاعية الصادرة كانت أضعف بكثير (من رتبة بضعة أجزاء بالمئة من النشاط الموجود في قلب المفاعل).

وهكذا فإن كل هذه النكليدات المشعة وُجدت مدفوعة في الجو، على شكل تنابعات كتل من الهواء الملوث الذي نطلق عليها غالباً اسم السحاب المشع. ولم يتوفر لدينا سوى القليل من المعلومات عن الوضع المحلي عقب الحادث. كما لم يسمح بالفعل افتقد الإعداد والتنظيم بالحصول على قياسات موثوقة ومتناسقة وممثلة. واستناداً إلى المعلومات التي بحوزتنا ومن إعادة تمثيل الوضع مرة ثانية نعلم أن سويات التلوث والتشعيع خلقت وضعاً في غاية الخطورة، اقتضى إخلاء 135000 شخص، وعلى الخصوص الـ 45000 شخص من سكان مدينة بريبيات Pripjat الموجودة على بعد ثلاثة كيلومترات إلى الغرب من المحطة النووية المصابة حيث وصل



الشكل 2- إلى الغرب من المحطة النووية في تشرنوبيل، احترقت غابة صنوبريات كاملة بالإشعاعات وعلى مساحة 400 هكتار. وقد وصلت سويات التشعيع في هذا المكان إلى قيم مرتفعة جداً، من رتبة حوالي مائة غراي. في الجهة الخلفية من هذه الصورة الضوئية، يمكن مشاهدة المحطة النووية المهدامة. غير أن مثل هذه التأثيرات على الوسط تبقى محصورة في الموضع وتلاحظ العودة إلى الحالة العادية بعد الكارثة بست سنوات.

وتعزى هذه التأثيرات بشكل أساسي إلى مفعول الإشعاعات على البراعم القمية حيث توجد فيها النسج القمية (الميريستيمات) *méristèmes*، وهي نسج مكونة من خلايا سريعة الانقسام تؤدي إلى نمو النبات. وكما في جميع النسج ذات معدل التجديد السريع، فلن النسج القمية على نحو خاص سريعة التأثر بالإشعاعات، سيما في حالة الصنوبريات.

ودون الإقلال من أهمية هذه التأثيرات، يجب مع ذلك أن لا ننسى، من جهة، أن هذه التأثيرات لا تظهر في الواقع إلا في منطقة محدودة المساحة نسبياً، ومن جهة أخرى، أن الوضع عكوسي: فنلاحظ الآن العودة إلى الحالة العادية.

وفيما يتعلق بالعالم الحيواني، وبخاصة القواضم، فقد ثبت أن التشعيع الشديد قد أحدث في بعض المناطق موت الكثير منها وتبع ذلك نسبة مرتفعة من الوفيات الجينية. لكن الوضع عاد إلى حاله منذ عام 1987-1988 من جراء النزوح. وقد تعرضت الماشية بشكل خاص للإسقاطات، لأن معظمها كان على المراعي ولم يتم إخلاؤها أو أنها أُخليت في وقت متأخر. وفي منطقة ملوثة قريبة جداً من المحطة النووية، بقي قطيع من عدة مئات من رؤوس الماشية،

فيها بعض القيم المقررة) وبالتعليمات المشددة للسلوك التي بانت ناجعة جداً.

غير أنه خلال الفترة الحرجة التي تلت الحادث، استطاعت مستويات التشعيع، في منطقة تبعد بضعة كيلومترات حول المحطة النووية المصابة، أن تصل بدقة إلى قيم مرتفعة جداً بلغت عدة عشرات غراي (انظر المؤطر 1)، وحتى حوالي مائة غراي، ولعدة أسابيع. وفي مثل هذه السويات يمكن أن نتوقع ظهور تأثيرات على الوسط النباتي والحيواني. وهكذا، فإن غابة مساحتها 400 هكتار مكونة من الصنوبر *pins sylvestres*، تقع غرب المحطة النووية، أتلقت تماماً [3] (الشكل 2). وقد وصلت الجرعة في هذا المكان إلى حوالي مائة غراي. وفي مناطق أخرى، تقع على بعد عدة كيلومترات حول المحطة النووية، حيث وصلت الجرعة فيها إلى بضع عشرات غراي، شوهدت مظاهر مختلفة مثل ذبول بعض الأشجار، وإثباط نموها وقدرتها على التكاثر، وتغيرات شكلية ظهر تأثيرها على نمو غير متماثل أو على كبر بعض الأعضاء (إبر شجر الصنوبر) (الشكل 3)، وتموتها *nécroses* أو إصابتها بأضرار مختلفة وخاصة البراعم وظهور شذوذات وراثية.

المؤطر 1

واحدات قياس الإشعاعات وآثارها*

النشاط الإشعاعي La radioactivité

يُعرَّف نشاط كمية ما من مادة نشطة إشعاعياً بعدد التفككات (لنوى الذرية) الحاصلة في هذه الكمية خلال واحدة الزمن. وواحدة النشاط الإشعاعي في النظام الدولي للوحدات هي البكرل (Bq)، حيث:

$$1 \text{ Bq} = \text{تفككاً واحداً في الثانية}.$$

وهذه واحدة صغير جداً، فيستعمل عادة مضاعفاتها: الكيلوبكرل (kBq) ويساوي 1000 بكرل والميغابكرل (MBq) ويساوي 10^6 بكرل.

وحتى عام 1986 كان يستعمل الكوري (Ci)، الذي سبق وعرف تاريخياً بأنه نشاط غرام واحد من لراديوم 226-، حيث: 1 كوري = 37 مليار بكرل. ويُسمى الزمن اللازم لتفكك (الاختفاء) بالتحول إلى ذرات أخرى (نصف عدد الذرات الموجودة في الأصل بـ «دور النشاط الإشعاعي» Periode radioactive). ويتراوح هذا الزمن بين جزء صغير جداً من الثانية وعدة مليارات السنين.

الجرعة الممتصة La dose absorbée

تتخلل الإشعاعات المؤينة عن قسم من طاقتها في المادة التي تعبرها، ويُعبّر عن هذه الطاقة المنتقلة، أو الجرعة الممتصة، بالغراي (Gy)،

حيث: 1Gy = جولاً واحداً لكل كيلوغرام واحد من المادة

لا توجد علاقة مباشرة بين التفككات بالثانية (بالبكرل) والجرعة الممتصة (بالغراي) حيث أن التقابل بينهما يختلف من أجل كل نظير من كل عنصر.

مكافئ الجرعة L'équivalent de dose

يمكن للطاقة المنتقلة من الإشعاع المؤين إلى النسيج أو العضو أن تحدث آثاراً بيولوجية، تتعلق بالتأثير بكمية الطاقة المنتقلة (أي بالجرعة الممتصة)، ولكن أيضاً تتعلق بالطريقة التي حرّرت فيها هذه الطاقة، وبالتالي بطبيعة الإشعاع. ولذا يعبر عن هذا الأثر (الأذى) بمكافئ الجرعة، وواحدته السيفرت (Sv) sievert. فمن أجل مكافئ الجرعة ذاته ومن أجل النسيج أو العضو ذاته، تكون الآثار متماثلة مهما تكن النوى المشعة وسواء أكان التعرض خارجياً أم داخلياً. وهكذا نجد أن:

$$1 \text{ Sv} = 1 \text{ Gy} \times Q$$

حيث Q هو معامل نوعي يتعلق بطبيعة الإشعاع، وتتراوح قيمته بين 1 و20. فمن أجل الإشعاعات كأشعة x وأشعة غاما أو بيتا مثلاً، تكون Q = 1 ومن أجل مصدرات α تكون Q = 20.

والسيفرت واحدة كبيرة نسبياً، فيستعمل عادة أجزاء منها:

الملي سيفرت (mSv) = $1/1000 \text{ Sv}$ والمكروسييفرت (μSv) = جزءاً من مليون جزء من السيفرت.

ويُعبّر عن الجرعة غالباً بدلالة الزمن الذي تم فيه التعرض لها، ومن ذلك يأتي مفهوم معدل الجرعة:

أي الجرعة بوحدة الزمن (mGy/h أو mSv/h، مثلاً).

وطالما أن لمكافئ الجرعة ذاته تأثيرات تختلف حسب العضو المعرض، يستعمل أيضاً مكافئ الجرعة الفعالة الذي يقابل مكافئ الجرعة محمّل بمعامل يأخذ في الاعتبار الحساسية الخاصة بكل عضو تجاه الإشعاعات. ويمكن اعتبار هذه الكمية كمؤشر لخطورة الآثار على المدى البعيد (الآثار المحتملة)، مع الأخذ في الاعتبار طبيعة هذه الآثار وتوزعها المتجانس أو غير المتجانس في الجسم ويُعبّر عن هذه الكمية بالسيفرت أيضاً.

* سبق وأن نشر في مجلة عالم الذرة، العدد 22 لعام 1992، ص 99.

شععت قبل شهرين من ولادتها، عانت أيضاً من قصور درقي hypothyroidie، تمخض فيما بعد عن قزم نسبي. أما تواتر التشكلات الشاذة (التشوهات) malformations المشار إليها عند العجول وصغار الخنازير لا يمكن أن يعزى إلى التشعيع، لأن هذا النوع من التأثيرات لا يظهر إلا في الجرعات المرتفعة جداً (أكثر من 100 غراي). ومع ذلك، فإن المقارنة بين المناطق الشديدة التلوث بشكل خاص (مثل ضواحي ناروديتشي Naroditchi و أوفروتش Ovroutch) والمناطق التي تجنبت ذلك التلوث في أوكرانيا والقرم Crimée) لم تظهر فرقاً ذا دلالة معنوية.

إن خرائط توضعات السيزيوم ^{137}Cs وما تبعه من السترونشيوم ^{90}Sr والبلوتونيوم ^{239}Pu التي وضعها العلماء السوفييت، وخاصة لجنة الدولة للأرصاد الجوية وعلم المياه، كانت دقيقة بما فيه الكفاية حسب التقدير الذي أجري تحت رعاية الوكالة الدولية للطاقة الذرية AIEA. ويوضح الشكل 4 فيما يوضح أهمية توضعات الـ ^{137}Cs على مسافات عدة مئات الكيلومترات (منطقة غومل Gomel، في الشمال الشرقي من المحطة النووية) وكذلك تباينها الكبير، الناتج بشكل خاص عن تأثير العوامل الجوية (انظر المؤطر 3).

وما زال تلوث المحاصيل الزراعية الناتجة من هذه المناطق، في الوقت الحالي، قابلاً على العموم للقياس. ويختلف هذا التلوث كثيراً بحسب المنشأ وطبيعة المحصول، وكذلك تبعاً لمعايير الوقاية المعتمدة وطريقة تطبيقها. وعلى سبيل المثال، إن مستويات تلوث المحاصيل الناتجة من المزارع الجماعية كانت أخفض من المحاصيل الصادرة عن المزارع الخاصة، وذلك بدون شك من جراء الرقابة المشددة والتعليمات الرسمية المتبعة جيداً. وقد سمحت الأراضي المحروثة، واستعمال المخصبات، واختيار الزراعات، وشروط تغذية الماشية بتخفيض مستويات التلوث بشكل ملموس جداً.

وبشكل عام، يبقى نشاط السيزيوم ^{137}Cs في المحاصيل النباتية والحيوانية من رتبة العشرات إلى مئات البيكرل في اللتر أو الكيلوغرام. غير أن قيماً أعلى، وحتى مرتفعة جداً، تلاحظ بشكل إفرادي، وخاصة في حالة الأراضي الحامضية، حيث يتثبت



الشكل 3- على بعد عدة كيلومترات حول المحطة النووية، وصلت جرعة التشعيع إلى عدة عشرات من الغراي ويلاحظ فيها إصابات بينية من بينها المجموع النباتي. فالأشجار الفتية ماتت، والأشجار القديمة التي تأذت بشدة عام 1986، أبدت استئنافاً لنشاط قممتها منذ عام 1987 وتظهر في الوقت الراهن نصفاً علوياً غليظاً وكثيفاً على نحو غير سوي. وتوضح هذه الصورة الضوئية، المأخوذة في عام 1989، هذا الارتكاس في نشوء البراعم الورقية بشكل غير سوي في نبات صنوبري مشعع.

خلال 2-4 أشهر، يتلقى جرعات عالية (800 غراي للدرق) وأملت به نسبة عالية من الوفيات والمرضيات. وقد أخلت الحيوانات (أبقار وخراف وخيول)، التي كانت موجودة في مجمل منطقة 30 كم حول المحطة النووية، بعد حوالي عشرة أيام من الحادث؛ وفي هذه الأثناء، تلقت حوالي مائة غراي في الدرق وعانت بعد ذلك من اختلال عمل هذه الغدة، بصورة أشد كلما كانت الجرعة عالية. وكان مردود ونسبة تكاثر هذه الماشية بعد ذلك أقل من السوي، لكن حالتها الصحية السيئة كانت ناتجة أيضاً عن النقص المزمن من العلف ونوعيته الرديئة. ولقد تحسن مردود الحليب ولحم الذبائح بشكل ملموس منذ بضع سنوات. كما أن العجول التي ولدت بعد حادث تشيرنوبيل، والتي

ويعيش حالياً ما يزيد على 800000 مواطن،
أوكراني وبيلوروسي وروسي، على مساحة 28000 كم²
سجلت فيها توضعات من السيزيوم ¹³⁷Cs تزيد على
200 kBq/m². ويسكن ما يقرب من 600000 منهم في
1500 تجمع سكني مقامة على أرض ملوثة بمحتوى
من السيزيوم يقدر بين 150 و500 كيلوبيكيرل/م².
وعلى الأراضي التي تظهر محتوى يزيد على 1500
kBq/m² ما زال يعيش أيضاً في حوالي مئة ناحية، في
ضواحي غومل و موغيليوف Mogilyov (بيلوروسيا)
[4].

والأمر المهم الذي ينبغي معرفته بأعلى دقة
ممكنة هو الخطر على صحة السكان المعرضين
للإشعاع نتيجة الحادث؛ وأفضل تمثيل للخطر هو
جرعة الإشعاعات المتلقاة بالفعل منذ عام 1986
والتي سيتم تلقيها أيضاً في المستقبل. وبالرغم من أن
خراطط تلوث التربة كانت معروفة جيداً نسبياً، إلا أن
الجرعات التي تلقاها السكان كانت مع الأسف أقل
معرفة بكثير.

خضع السكان إلى أنماط مختلفة من التعرض:
فتلقوا جرعات خارجية، مصدرها توضعات
الجسيمات المشعة، التي بعثتها الرياح في الجو، على
التربة، وجرعات داخلية ناتجة إما عن استنشاق هذه
الجسيمات الموجودة في السحاب المشع (أي أثناء
انفجار المفاعل أو في الأيام التالية؛ راجع المؤطر 3)،
وإما عن التغذية على منتجات غذائية ملوثة. وتتجم
المركبة الدائمة للتشعيع الداخلي بصورة أساسية من
السيزيوم ¹³⁷Cs المنقول بالطريق الغذائي. وتتجم المركبة
الأخرى عن اليود ¹³¹I وهو المسؤول عن تشعيع
الدرق. وهذا التشعيع كان قصير الأجل بسبب قصر
عمر هذا النكليد المشع.

ولقد تم تقدير الجرعات بأساليب مختلفة
على مر الزمن: ففي السنوات الأولى التي تلت
الحادث (1986 إلى 1990) أجريت قياسات جيدة على
بعض الأفراد، لكنها كانت بعدد غير كاف ليتمكن
من استنتاج قيم منها قابلة للتطبيق على مجموع
السكان. ولذا فقد قدرت الجرعات، في هذه الفترة،
لاحقاً، مع الأخذ بعين الاعتبار مكان السكن،
وخراطط تلوث التربة، والقياسات التي جرت على
المنتجات الزراعية. إن المعرفة الدقيقة نوعاً ما
للتعرضات التي أصابت الأشخاص في الماضي لا

السيزيوم فيها قليلاً مما يجعله قابلاً للتمثيل بسهولة
أكبر من قبل النبات بالامتصاص الجذري. كما
تلاحظ أيضاً سويات أعلى في المحاصيل الطبيعية،
وخاصة في الفطور حيث يمكن العثور على قيم فيها
تتراوح بين 1000 إلى 10000 بيكرل/كغ.

وقد تأكدت هذه الملاحظة في نتائج حملة أجريت
عام 1990 في نطاق مشروع للوكالة AIEA، تضمن
قياساً مباشراً للتلوث بالسيزيوم ¹³⁷Cs في حوالي 9000
شخص. وكانت القيم بشكل عام من رتبة بضعة
كيلوبيكيرل ولكنها كانت تصل أحياناً، لدى بعض
الأفراد، إلى سويات أعلى بمرتبة واحدة أو مرتبتين.

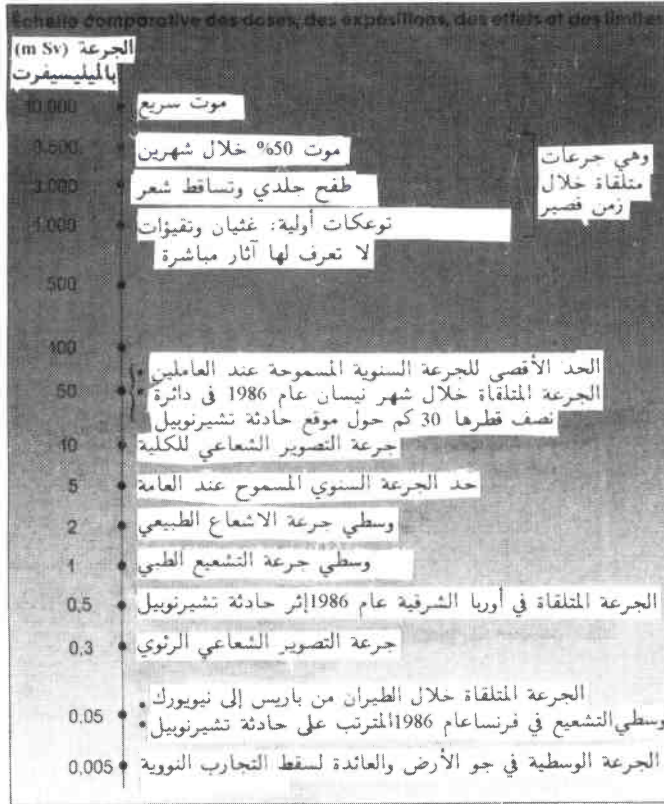
ومع ذلك لا يعتبر التشعيع الداخلي، المرتبط
باستهلاك المحاصيل الغذائية، المصدر الوحيد
للتعرض. فالتشعيع الخارجي، الناتج عن وجود ¹³⁷Cs
انتوضع في التربة أو في الوسط بشكل عام، يسهم
على نحو هام في التعرض الكلي. لكن هنا أيضاً
تتروح تدفقات الجرعة (راجع المؤطر 1) في المناطق
الملوثة بين 0.10 µSv/h، التي هي عملياً الخلفية
الإشعاعية الطبيعية، و1 µSv/h في وسط طبيعي. وكانت
سويات التشعيع الخارجي في المناطق المأهولة (القرى)
أخفض كما كانت الجرعة الخارجية المتوسطة السنوية
محدودة، بفضل الوقاية التي تحقّقها المساكن. وقد
تأكد ذلك في حملة قياسات بأفلام قياس الإشعاع
films-dosimètres حملها حوالي 8000 شخص خلال
العام 1990، باستثناء بعض الأفراد الذين لم يتبعوا،
على الأرجح، التعليمات المعطاة من قبل السلطات.

ومع الزمن يتطور هذا الوضع، وتميل مستويات
تلوث المحاصيل الغذائية والتشعيع الخارجي إلى
التناقص تدريجياً مع تلاشي ¹³⁷Cs (الانتقال في
الأرض، والغسل، والتثبيت بأشكال غير قابلة
للتمثيل....).

ويُقدّر لهذه الظواهر، على العموم أن تحدث بدور
من رتبة عشر سنوات، وهي قيمة تختلف حسب
لشروط لبيئية ولكنها تبالغ في القيمة الحقيقية
وبالتالي فإنها تزيد من هذا التقدير. وباستعمال هذه
القيمة المقدرة بحوالي عشر سنوات في النماذج
الملائمة، يمكن أن ترسم الحالة الإشعاعية في
المناطق الملوثة على مستوى عدة عقود. عندها يكون
بالإمكان تقدير الجرعة التي سيتلقاها الفرد المقيم في
المناطق الملوثة طيلة حياته.

المؤطر 2

آثار الإشعاعات المؤينة على جسم الإنسان*



نميز نوعين من الآثار، الآثار الحتمية والآثار المحتملة أو غير الحتمية.

- الآثار الحتمية هي عموماً أضرار تظهر سريعاً (بضع ساعات إلى بضع أسابيع) وهي آثار أكيدة لدى جميع الأشخاص الذين يتعرضون لجرعة من الإشعاع أعلى من عتبة معينة dose-seuil. وترتبط الخطورة مباشرة بمقدار الجرعة: فكلما ازدادت الجرعة ازدادت خطورة الأثر.

إن لكل نسيج أو عضو حساسيته الخاصة تجاه الإشعاع وهو يتأثر بالإشعاع بدءاً من عتبة خاصة به. والخلايا الفتية، عموماً، هي الأكثر تحسناً بالإشعاع. ولذلك فإن النسيج ذات معدل التجدد الأسرع تتأثر بالإشعاع بشكل خاص. وعلى العموم لا يحدث هذا النوع من الآثار عند الجرعات الأقل من 0.5 Gy.

- أما الآثار المحتملة، فتتمثل في أذيات أو إصابات (سرطانات، لوكيميا، إبيضاض الدم)، آثار وراثية) يزداد خطر ظهورها كلما ازدادت الجرعة وهي رغم ذلك ليست مطلقاً إصابات نوعية خاصة بالإشعاعات (لأن الإصابات ذاتها قد تظهر بسبب سموم مختلفة: بمواد كيميائية وبتعاطي التبغ وبالتعرض للأشعة فوق البنفسجية... إلخ) ومن المقبول أنه لا توجد عتبة جرعة لهذه الظواهر وهي دائماً آثار متأخرة؛ فالسرطانات المحرّضة إشعاعياً لا تحدث إلا بعد فترة طويلة جداً (ربما عشر سنوات وأكثر). وقد تبين أنها تظهر عشوائياً بين السكان الذين تعرضوا للإشعاع: ولذلك هي آثار محتملة.

إن معاملات الخطورة (كاحتمال تحريض مرض السرطان بوحدة الجرعة) معروفة جيداً نسبياً. وتأتي هذه المعطيات من دراسات وبائية لمجموعات من الأفراد تعرضت للإشعاع، جرت مقارنتها بمجموعات لم تتعرض له، كسكان هيروشيما وناكازاكي الذين تعرضوا للإشعاع أو عمال مناجم اليورانيوم أو راديولوجيي (العاملين في التصوير الشعاعي) بداية القرن الحالي أو المرضى الذين تجري معالجتهم بالأشعة وغيرها.

ومن أجل الجرعات الأدنى من جرعة معينة تصبح هذه الآثار نادرة إلى حد تستحيل ملاحظتها فيه. وهكذا لم نستطع التحقق من ظهور آثار ذات مدى بعيد (متأخرة) بين السكان الذين تعرضوا لجرعات في حدود بضعة أعشار السيفرت. أما بالنسبة للجرعات الأقل من ذلك كثيراً فلا يوجد أي دليل قاطع على حدوث الآثار الاحتمالية أو عدم حدوثها: إذ لم يسبق لنا مطلقاً قط أن استعنا بملاحظة الآثار الوراثية عند الإنسان.

* سبق وأن نشر في مجلة عالم الذرة، العدد 22 لعام 1992، ص 98.

هذا القرار بتحديد كبر عدد السكان المعنيين، أي السكان الذين تزيد الجرعات - عمر لديهم على 350 mSv. ولقد قدر عدد الأشخاص الذين يمتهم هذا الإجراء، في عام 1991، بحوالي 50000 إلى 60000 شخص، وفي نهاية عام 1991 كان من المقدّر ترحيل جميع الأشخاص الموجودين في المناطق التي تجاوز التلوث فيها 1500 كيلوبيكربل/م² إلى مناطق سكنية أخرى، وكذلك العائلات التي تضم أطفالاً أقل من 12 سنة أو نساء حوامل عندما يكون التلوث بين 500 و1500 كيلوبيكربل/م². وإجمالاً، كان حوالي 220000 شخص معنيين بهذا التغيير في السكن.

ولقد سببت الكمية الكبيرة من اليود المشع، المنتشرة عند انفجار المفاعل، تشعياً للدرق لا يمكن إهماله، وكان من الصعب تقدير الجرعات التي تم تلقيها، وإن كانت القياسات المباشرة لليود المثبت في الدرق قد سمحت بدعم التقديرات النظرية. لقد بينت أول حصيلة بأن 17000 طفل شععوا بأكثر من 1 Sv في الدرق، و6000 طفل بأكثر من 2Sv، و500 طفل بأكثر من 10 Sv. ومن أجل 117000 شخص من المناطق المراقبة بدقة في بيلوروسيا وروسيا كانت الجرعة الدرقية المتوسطة 0.2 Sv عند البالغين. ومن بين 45000 طفل في المناطق المعرضة بشكل خاص في غومل و موجيلوف Mogilyov، سجلت أكثر من 300 حالة بلغت فيها الجرعة الممتصة في الدرق بين 10 و20 سيفرت، وأكثر من 700 حالة بين 5 و10 سيفرت، وأكثر من 2500 حالة بين 2 و5 سيفرت [5].

أما التأثيرات التي يُخشى منها لدى السكان المعرضين منذ عام 1986 فهي أمراض غير خطيرة (كالقصور الدرقي والدّرينات الدرقية على سبيل المثال) أو خبيثة (كإبيضاضات الدم والسرطان) أو أيضاً تورث الخلف عاهات وراثية (راجع المؤطر 2). ولقد نتجت المعارف المتوفرة عن الأمراض المحرّضة إشعاعياً radio-induites من مراقبة مجموعات الأشخاص المعرضين للإشعاع، سواء مهنيّاً، أم أثناء المعالجة الشعاعية، أم إثر التعرض لقنبليتي هيروشيما وناكازاكي. وقد سمحت المتابعة الوبائية المنهجية منذ عدة عقود بتحديد فعل الإشعاعات وتقدير أضرارها. وتوضح هذه المسألة بدقة منظمة علمية

تعطي فائدة إلا إذا كانت مقارنة للملاحظات التي أجريت على الجماعات السكانية المعنية، في إطار اندراست لوبائية.

ولم يتم القيام بعمل جدّي ورصين حقاً إلا خلال عام 1990، من قبل المسؤولين السوفييت، وخاصة معهد الفيزياء الحيوية في موسكو، كما في مشروع انوكالة الدولية للطاقة الذرية AIEA، من أجل جميع المناطق المعنية؛ فاعتباراً من قيم انجرعات التي تم الحصول عليها، تمّ حساب الجرعة - عمر la dose-vie، أي مجمل الجرعة التي جرى تلقيها والتي سيتم تلقيها طيلة 65 سنة (وهي المدة الوسطية لحياة الفرد) بعد الحادث. ويفترض أن يسمح تقدير الجرعات - عمر هذه بالحكم بضرورة اتخاذ وسائل الوقاية أو لا (بدءاً من التعليمات الخاصة البسيطة بعدم استهلاك بعض المنتجات، أو منع دخول المناطق الأكثر تلوثاً، وحتى إلى الإخلاء النهائي). ومن أجل المستقبل، يجب معرفة أن التقديرات تقوم على أسس نظرية غير مؤكدة بقدر ما هي ذات مدى طويل.

ولقد بين الاختصاصيون السوفييت، مثل الأكاديمي ل. أ. إيلين L. A. Ilyin والبروفسور س. ت. بلياييف S. T. Bélyayev، وكلاهما من معهد الفيزياء الحيوية في موسكو [4, 5]، أن الجرعات الفردية التي تم تلقيها بين الأعوام 1986 و1990 في «المناطق المراقبة بدقة» (أكثر من 500 kBq/m²) تقدر بـ 35 mSv. كما تلقت بعض الفئات (مزارعون، حراحيون) جرعات تصل حتى 60 mSv. أما الجرعات التي تزيد على 150 mSv فلا تخص إلا حوالي 3000 شخص من أجل الفترة ذاتها. وتعطي التقديرات الأكثر احتمالاً قيماً وسطية للجرعة - عمر بين 100 و400 mSv حيث توجد مناطق أكثر تأثراً من الأخرى، مثل مناطق غومل في بيلوروسيا أو برينسك Bryansk في روسيا. وفي إطار المقارنة، تقدر الجرعة - عمر الوسطية الناتجة عن التشعيع الطبيعي بحوالي 150 mSv، ويمكن أن تزيد قيمتها، في بعض المناطق، بمقدار مرتين أو ثلاث مرات.

ولقد أوصت السلطات السوفييتية بتحديد الجرعة - عمر بـ 350 mSv كمرجع (وهي القيمة المعدلة للحد النظامي خلال 70 سنة للعمل العادي)، وفوق هذه القيمة يجب القيام بإخلاء السكان. يسمح

مسبق، سيما في حالة تشرنوبيل، لأن عوامل تحريضها عديدة ومعقدة.

وفي السنوات الأخيرة، حاولت منظمات دولية كبيرة توضيح الوضع دون أن تدعي بأنها تجري دراسات وبائية حقيقية لأن مثل هذه الدراسات لا يمكن الشروع فيها إلا بالدعم الكامل من السلطات في الجمهوريات المعنية بما في ذلك الوسائل الإدارية والفنية الكبيرة والدائمة، الأمر الذي لم يكن موجوداً في الواقع. لقد أجرت هذه المنظمات أعمالها بطريقة اختبار العينات ولا يمكن لنتائجها أن تعطي سوى لمحة عن الحالة الصحية الحالية بمحدودياتها في الزمان والمكان.

وتشمل المنظمات الكبيرة هذه منظمة الصحة العالمية OMS، والصليب الأحمر، واللجنة العلمية في الأمم المتحدة لدراسة تأثيرات الأشعة المؤينة، ومنظمة التعاون والتنمية الاقتصادية، وهيئة من مجموعة الدول الأوروبية، والوكالة الدولية للطاقة الذرية [1, 6, 7, 8]. وبمبادرة من هذه الأخيرة سمح تقرير دولي بتحديد الوضع على نحو حديث وأكثر كمالاً. ويعطي هذا التقرير كافة النتائج الملاحظة على جماعات سكانية تعيش في المناطق الملوثة بشدة (أكثر من 500 kBq/m^2) ومقارنتها بالنتائج التي جمعت لدى سكان يعيشون في المناطق الخالية تقريباً من التلوث. وقد غنيت هذه الدراسة بشكل خاص بتقصيات الاضطرابات الدرقية عند أطفال ولدوا في عام 1986 وفي عام 1980 (بأعمار 5 و11 سنة)، وبالعمل والآفات الأكثر شمولاً لدى البالغين بين 40 و60 سنة. والنتيجة العامة، والمؤقتة أيضاً، أنه يوجد بالتأكيد في الجمهوريات الثلاث المعنية بالحادث مشاكل صحية بعدد أكبر. لكن يصعب عزوها بشكل مباشر لفعل الإشعاعات، لأنه لا يظهر أي فرق واضح بين المجموعات المعرضة والمجموعات الشاهدة غير المعرضة. إن هذا التدهور العام للحالة الصحية يرتبط إذن تماماً بالكارثة، لكنه إلى حد كبير لا يمكن أن يعود إلى تشعيع السكان إلا جزئياً.

وهناك المراضيات الثانوية في الكوارث الكبيرة المعترف بها طبيياً منذ حوالي عشر سنوات؛ إنها مراضيات الكوارث *pathologie des catastrophes* (أو أمراض التوتر بعد الصدمة *post traumatic stress disorder*). وهذه المراضيات متنوعة جداً، وذات

دولية، هي اللجنة العلمية في الأمم المتحدة لدراسة تأثيرات الإشعاعات المؤينة [6].

إن الأمراض المحرّضة إشعاعياً سمة مشتركة هي زمن لظهورها *temps de latence*: ويمتد زمن اللطو لايضاضات الدم عدة سنوات (أكثر الحالات تكراراً تحصل بعد حوالي 7 سنوات من التشعيع، أي، في حالة تشرنوبيل، حوالي عام 1993)، وفي حالة الأورام الأخرى بعد حوالي عشر سنين أو عشرات من السنين حيث يزداد تكرارها بانتظام مع الزمن. وتظهر اختلالات عمل الدرق أبكر من ذلك بكثير. وبعبارة أخرى، يعني ذلك أن الآفات الخبيثة الناتجة عن حادث تشرنوبيل يجب أن يبدأ كشفها الآن فقط.

وبالاعتماد على تقديرات الأخطار الناتجة عن الدراسات الوبائية هذه، يمكن القيام ببعض التوقعات بشأن تشرنوبيل. فهناك خطر نشوء سرطان محرّض إشعاعياً، في الحالات التي يتاح متابعتها وبائياً، بنسبة 5% لكل سيفرت يتم تلقيه. وبما أن الوفيات بالسرطان في مجموعة عادية تقدر بحوالي 20%، فإن الاحتمال لدى المواطن المتوسط في بيلوروسيا أو أوكرانيا، الذي تلقى جرعة 0.1 Sv، ينتقل من 20% إلى 20.5%. فعلى سبيل المثال، في مدينة تعدادها 10000 نسمة، ستتجاوز الوفيات بالسرطان بين عامي 1996 و2056 العدد 2000 لتصل إلى 2050؛ وستكون ايضاضات الدم بزيادة 6 حالات وسرطانات الدرق بزيادة 24 حالة (أكثر من عُشرها سيكون مميتاً) [1]. ويبيّن ذلك الصعوبات في توضيح التأثيرات طويلة الأجل، ببيانات إحصائية صحيحة. وتتفاقم الصعوبات لانعدام المراجع (المعطيات) السابقة أو حتى المحدثة، ولبساطة الوحدات الطبية للتشخيص والمعالجة. وتشير المعطيات، التي في متناولنا الآن والآتية من الجمهوريات المتعرضة للحادث، بوضوح إلى أن التقصيات السريرية والحيوية جرت بشكل غير منظم وبدون تخطيط وبوسائل غير كافية وغالباً غير ملائمة، وأنه لا يمكنها أن تؤدي إلا إلى نتائج محدودة. وإن تقدير الخطر الوراثي هو أيضاً أكثر صعوبة؛ فتحريض العاهات في الخلف غامض للغاية عند الإنسان وتتطلب متابعته عدة أجيال. وأخيراً، إن خطر المضاعفات ذات الطابع الجسدي النفسي *psychosomatique* لا يمكن تحديده كميّاً بشكل

المؤطر 3

تجولات سحب تشيرنوبيل

خلال الأيام العشرة التي تلت حادث تشيرنوبيل، أنشأ انتشار النكليدات المشعة في الجو كتلاً من الهواء الملوّث (تسمى غالباً «سحاب مشع») قادتتها الرياح تبعاً لمسارات متبدلة حسب الظروف الجوية من أهمها:

- مسار دفع النشاط الإشعاعي نحو الشمال الغربي، باتجاه فينلندا والسويد، حيث اكتشف وصولها في 27 نيسان وتم الإعلان عنه لأول مرة؛

- مسار متجه نحو الغرب، ثم نحو الجنوب الغربي، كان مصدر تلوثات هامة في بولونيا، وتشيكوسلوفاكيا، وبدرجة أقل في ألمانيا وفي شمال إيطاليا. ووصل مخففاً جداً إلى فرنسا عبر جهتها الشرقية في الأول من أيار 1986؛

- مسار متجه نحو الجنوب، ووصل إلى رومانيا، وهنغاريا، وبلغاريا، وتركيا، واليونان. وكان النشاط الإشعاعي يتناقص شيئاً فشيئاً كلما ابتعد السحاب عن موقع المحطة النووية المصابة، بسبب تمددها في لكتلة الجوية من جهة، والتوضع على الأرض من جهة أخرى. وقد جرى هذا التوضع على طول المسارات واشتد بالمطر عند هطوله مؤدياً بذلك إلى «بقع» من التلوث. وكانت هذه التوضعات المصدر الأساسي لتعرض لسكان المقيمين في المناطق التي حدثت فيها، إما من جراء التشيع المباشر الناتج عن التوضعات بحد ذاتها، وإما من جراء انتقالها إلى المنتجات النباتية والحيوانية وبالتالي من انجبالها في الطعام.

وعندما وصل السحاب المشع فوق فرنسا، أظهرت القياسات المنظمة للنشاط الإشعاعي في الهواء مباشرة زيادة في قيمتها. فبالنسبة للسيزيوم ^{137}Cs ، كان المستوى الموجود سابقاً، من رتبة ميكروبيكرل/م³ هواء، ثم تجاوز في أيار 1986 قيمة من رتبة 0.1 إلى 0.2 بيكرل/م³، مع وجود قيم قميّة وصلت من 1 إلى 10 بيكرل خلال عدة أيام. وقد عاد حالياً إلى نفس مستواه قبل حادث تشيرنوبيل.

ولم يكن توزع التلوث في فرنسا منتظماً. ويمكن القول، إجمالاً، أن الثلث الشرقي كان الأكثر إصابة وإن الثلث الغربي كان الأقل إصابة.

واتبع التلوث المتتابع للمنتجات الغذائية تقريباً المخطط ذاته. ومنذ عام 1989، لم تعد تظهر تبعات للحادث في تلوث المنتجات الغذائية ذات المنشأ الوطني، مع الأخذ بالحساب مقدار الـ ^{137}Cs الموجود سابقاً، باستثناء بعض المنتجات الخاصة مثل السعتر أو بعض أنواع الفطور الحرجية.

غالباً، وفساد الوضع الاقتصادي والاجتماعي، وعدم ثبات الخيارات السياسية أدت بمجموعها إلى هذه الحالة من الضيق النفسي *détresse psychologique* وضخمته. وترتبط هذه الاضطرابات بنتائج الحادث الذي بدل ظروف الحياة العادية بشدة، بما فيها عمليات الإخلاء الضخمة وتغييرات العادات، وتفاقم سوء التغذية نتيجة الخوف والقلق. وتُجسّد هذه المرضية ضرراً صحياً حقيقياً وتخص كافة السكان الذين تعرضوا أو لم يتعرضوا للإشعاعات بجرعات هي بالنسبة للقسم الأكبر منهم، أقل ارتفاعاً مما يجب لتسبب الاضرار من النموذج الموصوف. وتعدّ هذه المرضيات بالتأكيد النتيجة الأكثر خطراً لحادث تشيرنوبيل.

علاقة بفقدان الفرد لضبط محيطه. وتسبب القلق، وحالات الاكتئاب، والأمراض الجسدية النفسية وهي المسؤولة عن التوترات العائلية، من طلاق، وازدياد تعاطي الكحول، والاسراف في تعاطي العقاقير، والعنف، والانتحار وغالباً اضطرابات السلوك بدرجات مختلفة. ولم ينج السكان المحليون والإقليميون من هذا المرض؛ فقد أشار الأطباء المحليون والاختصاصيون الأجانب الذين شاركوا بتحريات طبية، إلى حالة مزمنة من القلق والتوتر، مسؤولة عن آلام متنقلة، من رُق، ومن تخلف مدرسي، إلخ...، تعزى منهجياً إلى كارثة تشيرنوبيل. كما أن فقدان الإعلام الموضوعي، والغياب الكلي للثقة تجاه السلطات في كافة المستويات (بما في ذلك السلطات الصحية) والذي له ما يبرره

لحساسية الجهاز المكون للدم système hématopoïétique للإشعاع، ولأن تحريض ابيضاضات الدم أسرع من تحريض السرطانات الأخرى. وتتميز وبائيات ابيضاض الدم بتواترها الطبيعي الثابت نسبياً، وهو حوالي حالة واحدة لكل 2000 طفل، وتظهر في السنوات الخمس عشرة الأولى من العمر. ولم تسجل أية زيادة لهذا المعدل خلال السنوات التي تلت عام 1986، كما لم يُسجل أي ميل للزيادة. وقد أكد الخبراء الدوليون هذه النتائج السلبية. وإن من السابق لأوانه دون شك استخلاص نتائج نهائية من هذه التحريات طالما أن الزيادة المنتظرة في ابيضاضات الدم ستبقى ضئيلة، وبالتالي يصعب كشفها وتتطلب أدلة أكثر أهمية. ويتعذر، في الوقت الراهن، تفسير الدلالات المحلية: فالمجموعات المدروسة صغيرة جداً على الأغلب ولا يمكن الحصول منها على نتائج ذات دلالة إحصائية، كما أن المجموعات الشاهدة مفقودة، إلخ...

ولم تُكتشف أية زيادة في التشكلات الشاذة في خلف النساء المشعّعات أثناء الحمل. غير أنه لوحظت زيادة في الإجهاضات المفروضة طبيّاً في أوكرانيا بين عام 1986 و1987 وكذلك زيادة في الولادات المبكرة، ويعزى ذلك إلى التوتر النفسي وللشروط الصعبة التي يعيشها الأشخاص المرحّلون.

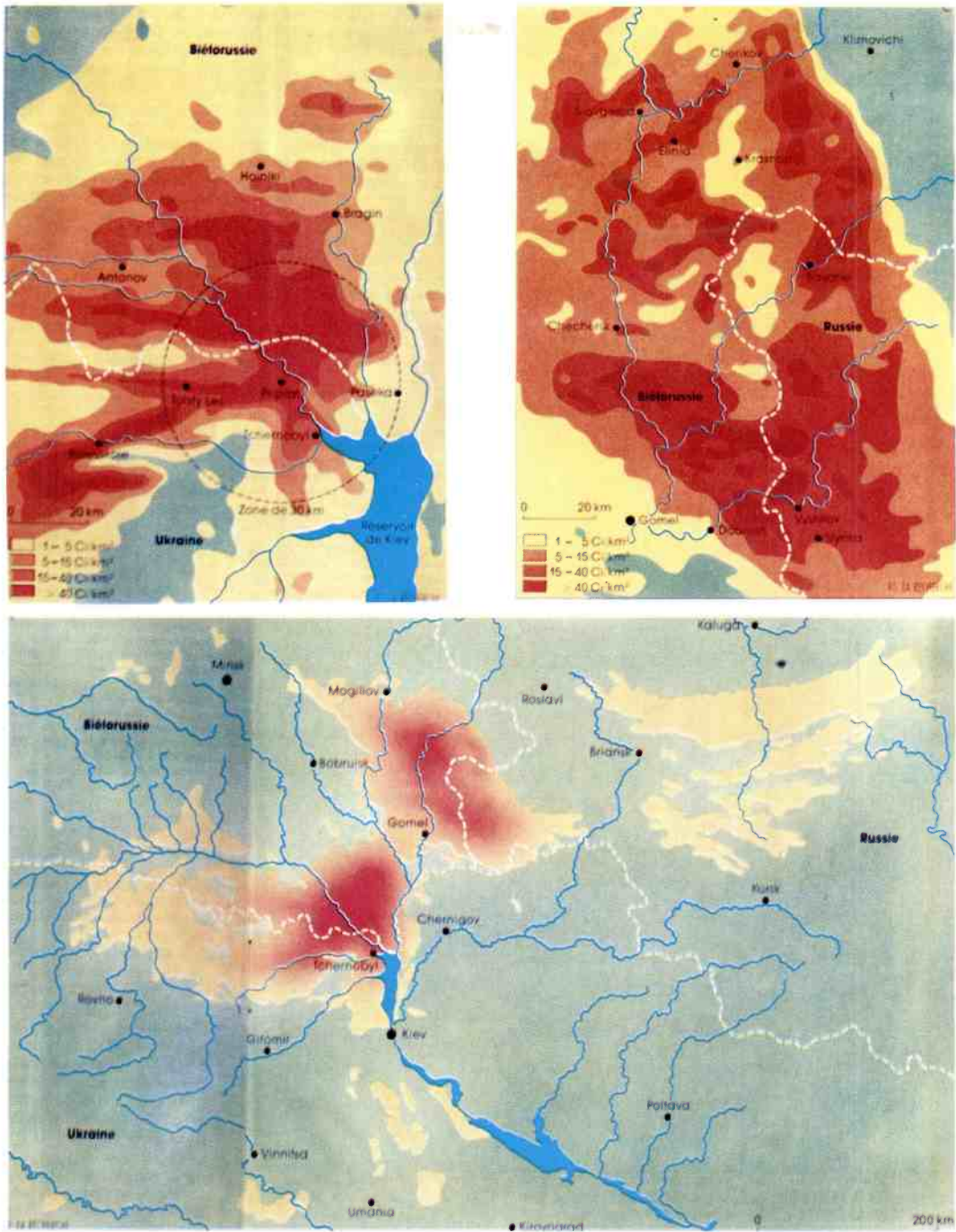
إن تعذر جمع وجدولة مأموري التصفية يعيق أية حصيلة صحيحة

وتوجد مجموعة هامة جداً من الأشخاص تلقت جرعات مرتفعة نسبياً ولا تتوفر بشأنها المعلومات اللازمة: إنهم العمال الذين طمروا المفاعل والذين نظفوا الموقع، وهم المعروفون باسم «المصفّين أو مأموري التصفية Liquidateurs»، وعددهم 650000 عامل، عملوا بالتناوب وخضعوا لمراقبة قليلة الدقة في قياس الجرعة الإشعاعية.

وقد كانت بعض أعمال الأيام الأولى، مقترنة بوقاية مشكوك فيها، مسؤولة بالتأكيد، لدى بعض مأموري التصفية، عن جرعات بإمكانها أن تسبب تأثيرات متوسطة وطويلة الأمد. وبعد أن أدى كل عامل عمله عاد إلى مكانه الأصلي، مدينياً كان أم عسكرياً؛ وهؤلاء، حالياً، موزعون في الجمهوريات يتعذر بالتالي جمعهم وجدولتهم. ومع أن مركز

وفي الواقع، اهتم الأطباء بتحري التأثير المباشر للإشعاعات على عدد من الوظائف والأعضاء، فكانت الغدة الدرقية في المقام الأول، نظراً للجرعات العالية التي تلقتها مجموعات كبيرة، والحساسية الخاصة لدى الأطفال، وللظهور المبكر لقصور الدرق المحرّض شعاعياً ولوجود العوز اليودي في هذه المناطق، والذي من شأنه تعقيد الوضع. ولقد أجريت اختبارات بيولوجية عديدة جداً في أوكرانيا وبييلوروسيا (قياس هرمون TSH، وهو هرمون منشط يفرزه الفص الأمامي من الغدة النخامية، ويُعدّ دليلاً لعمل الدرق). غير أن متوسط معدلات هذا الهرمون لم يكن منخفضاً بمقدار كاف لتكون مسؤولة عن الاضطرابات الدرقية. وبالإضافة إلى ذلك، كانت التحريات المنهجية للقصور الدرقى أو للمرضيات الأخرى غير مثمرة. وكانت النتائج السلبية هذه أفضل المعلومات التي أمكن الحصول عليها من مصادرها المحلية والدولية. كما كانت الفحوصات السريرية والتصويرية بالصدى سوية، حتى لدى 8000 طفل من منطقة كاوزكازيا Kauzhskaya، حيث تلقى الدرق جرعة وصلت 10 Sv لدى البعض منهم. كما أن النتائج الأولى للمركز الأوكراني - الفرنسي، الذي تتبع في كييف منذ بداية عام 1991 مجموعة من عدة آلاف طفل رحلوا من برييات، أدت إلى النتيجة نفسها. غير أن حصيلة حديثة أُجريت في بداية عام 1992، لم تكن مطمّنة بالمقدار نفسه. وقد قدم هذه النتيجة أطباء من بييلوروسيا إلى اختصاصيين غربيين (يعملون في كنف المجموعة الأوربية ومنظمة الصحة العالمية) وتتضمن هذه النتيجة زيادة هامة في عدد الدرنيات الدرقية عند الأطفال، وفي سرطانات الدرق، ولاسيما لدى الأطفال الذين كانوا دون سن الثالثة في عام 1986، مع وجود ذروة في عام 1990. لكن هذه النتائج لا تخص سوى عدد محدود من الأطفال وتتطلب تأكيداً وتوسيعاً على مجموعات سكانية أخرى، للتحقق بوجه خاص من دقة تشخيص الأمراض والتحليل الإحصائي الذي غاب على ما يبدو عن عناصر المقارنة. وتجدر الإشارة أيضاً إلى أن استعمال وسائل تشخيصية متطورة غير مستعملة في الماضي، يخشى أن يؤدي إلى المبالغة في تقدير النتائج المنسوبة للحدث.

والنموذج الثاني من المرضيات التي تم تحريها بشكل خاص يتمثل بابيضاضات الدم، نظراً



الشكل 4- لقد وضعت خرائط توضعات العنصر المشع ^{137}Cs بشكل دقيق بما فيه الكفاية بعد الكارثة في الجمهوريات الثلاث المعنية بالتلوث الإشعاعي أكثر من غيرها .
 الخريطة A تعطي فكرة عامة عن الإسقاطات في الاتحاد السوفيتي سابقاً . وقد قُدِّرت النشاطات الإشعاعية بالكوري (Ci) ، لكن يفضل حالياً استعمال البيكرل (Bq) ($37=1 \text{ Ci}$ مليار من البيكرل) . والنسبة للسيزيوم ^{137}Cs ، تقدر المساحة الإجمالية التي تجاوزت فيها فاعلية التوضعات القيمة $200 \text{ kBq}/\text{m}^2$ بحوالي 28000 km^2 ؛ وتزيد الفاعلية على $1500 \text{ kBq}/\text{m}^2$ في 3000 km^2 منها .
 الخريطتان B و C تظهران التوزيع التفصيلي لإسقاطات السيزيوم ^{137}Cs في منطقة تشيرنوبيل (B) وفي بيلوروسيا وروسيا (C) . (حسب المعطيات السوفيتية ومعطيات الوكالة الدولية للطاقة الذرية في تشرين الثاني عام 1989) .

وصف ما يحدث في داخل التابوت، وخصوصاً سيلان الحمم «Lave». وهذه الحمم مكونة من مزيج الوقود المشع والمعادن، والرمل وجميع المواد الملقاة على قلب المفاعل لإطفاء الحريق، وتفكك ببطء وتحت تأثير الإشعاعات. وينتج عن ذلك انتشار مستمر بضجيج منخفض لرذيزات تتسرب من ثقب التابوت الاسمنتي.

وبما أن البنى الموجودة تحت المفاعل تحمل أوزاناً لم تكن بالأساس محسوبة لها، أصبح من الضروري المحافظة على حالة التابوت الحالي عدة سنوات أخرى. كما طرحت منذ عام 1990، من جهة أخرى، قضية بناء تابوت ثان. ويوجد الآن نداء لتقديم عروض في هذا الشأن وهناك عدة خيارات يُنظر في أمرها.

أما النتائج الاجتماعية فيتعدّر تحديدها؛ وهي بالتأكيد هامة جداً حتى أن البعض يعتقد بأن إدارة الأعمال السيئة لهذا الحادث ساهمت بظهور «البيرسترويك». أما النتائج البيئية فهي أكثر وضوحاً بكثير. فالتأثيرات على البيئة القريبة من المحطة النووية، التي ظهرت في الأشهر الأولى التي تلت الحادث، أخذت بالتراجع جيداً وستتم العودة إلى الحالة العادية في السنوات القادمة؛ أما التأثيرات في المجال الزراعي والغذائي - الزراعي فتتطلب وقتاً أطول لتتناقص، لكن تغييرات أنماط الزراعة أو استخدام التربة لا ينبغي أن تؤدي إلى خسارة كبيرة على المدى البعيد. وفيما يخص النتائج الصحية، فإن تقديرها على المدى البعيد أشد صعوبة بكثير ويتطلب متابعة طبية شديدة التدقيق في التفاصيل ولمجموعات سكانية كبيرة. كما ينطوي ذلك أيضاً على عامل نفسي لا يمكن إهماله، ومن المنتظر أن يخف مع الزمن. والدراسات الوبائية، وحدها المعتمدة على جماعات سكانية محددة جيداً، ستسمح بتقدير التأثيرات المباشرة على الصحة. ولا يتحقق الحل إلا بالاستخدام السريع لهيئات تقوم بالتقصي والرعاية والدراسات ويعمل فيها معاً اختصاصيون وأطباء محليون بالمشاركة مع اختصاصيين من المنظمات الدولية.

وبالرغم من التصريحات عن النوايا المعلنة من قبل الجهات المختلفة، فقد بقي مع الأسف كل شيء على حاله. ويخشى، بعد مضي 6 سنوات، من عدم

أوبننسك Obninsk صرح بأنه يقتني 43000 من ملفاتهم، يمكن اعتبار معظم مأموري التصفية غير خاضعين للدراسة والمتابعة. وهذا مؤسف لسببين: الأول من أجلهم هم، لأنهم خسروا حق المتابعة الطبية التي تسمح بالتشخيص المبكر للأمراض ذات الصلة بكارثة تشيرنوبيل. والثاني، أن المجموعة العلمية فقدت تحري هذه النتائج والإفادة منها.

ويتعدّر حالياً تحديد كافة تبعات كارثة تشيرنوبيل. وهي ذات طبيعة معقدة ومختلفة للغاية: فهي اقتصادية واجتماعية وبيئية وصحية. وقد حسبت النتائج الاقتصادية، لكن قيمها المباشرة وغير المباشرة تختلف حسبما يؤخذ بالحسبان المدى القصير أو المتوسط أو البعيد.

ففي المدى القصير، تُدرج كلفة المحطة النووية المنهدمة، بما في ذلك الموقع النووي المحكوم عليه بالإغلاق وكلفة الأعمال الضخمة الرامية إلى إبطال تلوث المناطق المجاورة. والجدير بالذكر أن المفاعلات الثلاثة المجاورة استأنفت عملها سريعاً (المفاعلات 1 و 2 في تشرين الأول وتشرين الثاني من عام 1986، والمفاعل 3 في كانون الأول 1987 بعد الأعمال الضخمة لإبطال التلوث والإصلاح). وشب حريق في بهو عنفة المفاعل 2 في 10 تشرين الثاني 1991؛ وتسبب بخسائر كثيرة دون أن يؤثر مع ذلك في الجزء النووي. وقد قررت السلطات الأوكرانية إيقاف هذا المفاعل نهائياً. أما المفاعلات 1 و 3 اللذان مازالا يعملان حالياً في موقع تشيرنوبيل، فمن المفروض إيقافهما عام 1995 خضوعاً لقرار البرلمان الأوكراني. يتضمن المدى المتوسط، كلفة الإجراءات اللازمة للعودة إلى شروط الحياة الممكنة والسوية في المناطق المجاورة، بما في ذلك إخلاء السكان وإعادة تسكينهم.

ويشمل المدى البعيد، الكلفة الإجمالية لإنشاء وسائل جديدة لإنتاج الطاقة لتخفيف النقص في هذا المضمار، ونفقة صيانة وتفكيك تابوت المفاعل والنتائج المباشرة على السكان. والتابوت عبارة عن بناء مؤلف من الاسمنت والفولاذ، ارتفاعه 50 متراً، مخصص لحصر الوقود في أنقاض المفاعل من أجل حماية البيئة. وقد أنجز في ظروف صعبة، وبغياب المعلومات الأكيدة عن تموضع الوقود، وتم الانتهاء منه في تشرين الثاني عام 1986. وفي عام 1989، أعلن عن

REFERENCES

المراجع

القدرة على استدراك التأخير الذي جرى إلا بصعوبة كبيرة، ومن فقدان عدد من المعلومات الثمينة بشكل لا يعوض .

تشكر إدارة مجلة عالم الذرة مجلة *La Recherche* للسماح لها بترجمة هذا المقال ونشره .

- [1] Agence internationale de l'énergie atomique (AIEA), *The international Chernobyl project, an overview. Assessment of radiological consequences and evaluation of protective measures*, Report by an International Advisory Committee, IAEA, Vienne, 1991.
- [2] R. M. Alexakhin, *Radioecological problems of nuclear power industry*, Atommya Energia USSR, mai 1989, traduit du Russe.
- [3] Société nucléaire de l'URSS, *Impact radioécologique de L'accident de Tchernobyl*, 1991.
- [4] S. T. Belyayev, V. F. Demin, «Les conséquences à long terme de Tchernobyl. Les contremesures et leur efficacité», Actes de la conférence internationale sur les accidents nucléaires et le futur de l'énergie, Leçons tirées de Tchernobyl, avril 1991, SFNEN, 235, 1991.
- [5] L. A. Ilyin, «Public dose burdens and health effects due to the Chernobyl accident», Actes de la conférence internationale sur les accidents nucléaires et le futur de l'énergie, Leçons tirées

- de Tchernobyl, avril 1991, SFNEN, 1, 1991.
- [6] Comité scientifique des Nations unies pour l'étude des effets des rayonnements ionisants (UNSCEAR), *1988 Report to the general Assembly, with annexes*, United Nations, New York, 1988.
- [7] League of Red Cross and Red Crescent Societies, *Report on assessment mission to the areas affected by the Chernobyl disaster*, USSF, février 1990.
- [8] Organisation de coopération et de développement économiques (OCDE), *Chernobyl data evaluation for accident consequence assessment. A survey conducted by an OECD/NEA Group of Experts SINDOC* (89) 26, 1989.

Key Words

الكلمات المفتاح

- 1- Tchernobyl. تشرنوبل
- 2- radionucleotides. نكليدات مشعة
- 3- radioactivity. النشاط الإشعاعي
- 4- radiations. الإشعاعات
- 5- radioactive fallout. الإسقاطات المشعة
- 6- ^{137}Cs السيزيوم 137
- 7- ^{131}I اليود 131
- 8- radioactive cloud. السحاب المشع
- 9- catastrophic pathogenes. مريضات الكوارث
- 10- radio-induced hypothyroid القصور الدرقي المحرض شعاعياً

أَخْبَارُ مَنْفَرَةٍ

أخبار الذرة في بعض المجالات العالمية

1- وأخيراً وجدوه! *

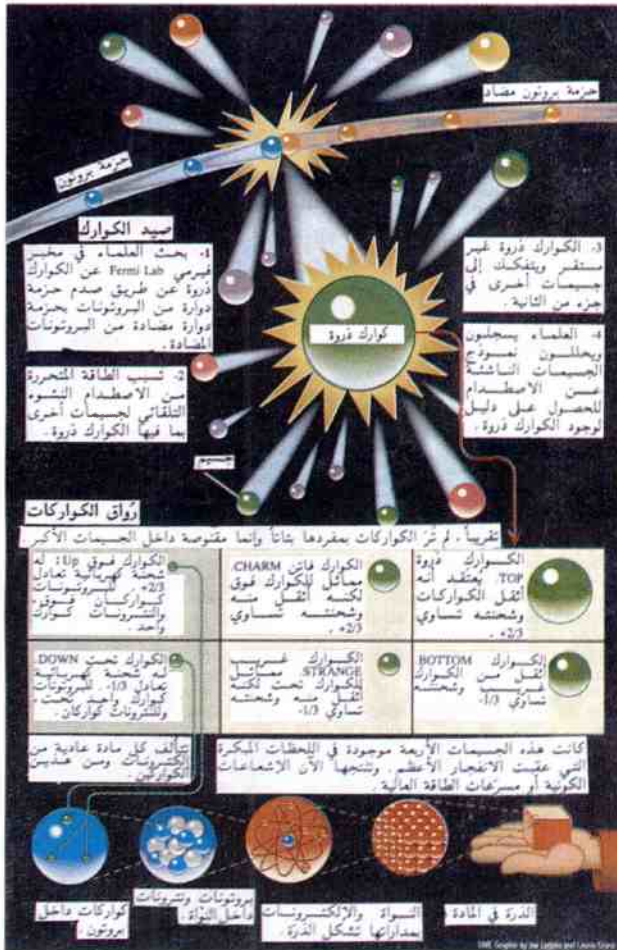
بعد سبعة عشر عاماً من البحث، يعتقد الفيزيائيون أنهم عثروا على لبنة مفقودة من اللبنة المكونة للمادة.

كلما طالت فترة نجاح الكوارك «ذرة» في التملص من القنص، كلما ازداد تعلق متعقبه بأهمية اصطياده، فليس عجباً أن أطلق عليه في يوم من الأيام اسم حوت الفيزياء الأبيض العملاق. والذرة في العالم تحت الذري كانت، باعتقاد العلماء، الكوارك السادس والأخير من الكواركات - وهذه الكواركات جسيمات شبه نقطية تكوّن لبنات البناء الأساسية للمادة. ومع مرور السنين أصبح الإخفاق في العثور على الكوارك ذرة مصدر رعب وارتباك بالنسبة للنظرين الذين جزموا بوجوده.

إلا أنه تردد في الأسبوع الأول من أيار 1994 في العالم صدى المراتف العلمي لعبارة «thar she blcws»، حيث جاءت الأخبار من عدة مئات من الباحثين عن الجسيمات، الذين يعملون في مختبر المسرع الوطني «فيرمي»، قرب شيكاغو، إذ قدموا دليلاً قوياً على ظهور سطحي قصير لاثني عشر كواركاً وليس لكوارك واحد فقط من الكواركات ذرة وذلك داخل كاشف ضخّم في مختبرهم.

وبقي من الواجب تأكيد المشاهدات الأولى لهذه العنيفة التي طال البحث عنها. وما إن يتم ذلك، حتى يبلغ الفيزيائيون واحدة من أغنى حقب الاكتشاف في تاريخ العلم، كما أنهم سوف يشبتون أهلية الثقة التي وضعوها في ما يدعى النموذج المعياري الذي هو صرح نظري ضخم، قام مرة بتخفيض عدد كبير مذهل من الجسيمات تحت الذرية إلى بضعة مكونات أساسية فقط. يشمل ذلك ثلاثة أزواج من الجسيمات الخفيفة المعروفة باللبتونات التي من أشهرها الإلكترون سالب الشحنة،

والنترينو عديم الشحنة، وكذلك ثلاثة أزواج من الجسيمات الأثقل المعروفة بأسمائها الغريبة ألا وهي الكواركات. تتحد الكواركات «فوق up» و «تحت down» لتشكل البروتونات والنوترونات، وهي مركبات المادة العادية. بينما تتعاون الكواركات «فاتن charm» و «غريب strange» لصنع جسيمات أكثر غرابة، وهي النوع الذي تنتجه في الفضاء العميق، الكوازارات والإشعاعات الكونية عالية الطاقة. عندما اكتشف الفيزيائيون في عام 1977، الكوارك الخامس المسمى «قاع bottom»، استنتجوا وبسرعة أنه يجب أن يكون له شريك أيضاً. وقد أثبت هذا الشريك أنه يستحق سنوات من البحث. إذ أن سماته الظاهرة تحمل تلميحات محيرة



* عن مجلة Time, May, 9, 1994, p.53, تأليف J. Madeleine Nash - شيكاغو - الولايات المتحدة - ترجمة دائرة الإعلام والترجمة والنشر ومراجعة لجنة التحرير -

يطول ليصل إلى هذا الحد . فقد توقع النظريون ألا يتجاوز حجم الكوارك ذرّة ثلاثة أضعاف حجم شريكه الكوارك «قاع bottom»، مما يضعه ضمن مجال مسرّعات الجسيمات التي كانت متوفرة في الولايات المتحدة وأوروبا آنذاك . لقد ادعى، في عام 1984، ك. روبيا C. Rubbia ومساعده في المركز الأوروبي للبحوث النووية CERN قرب جنيف - سويسرا، أنهم اكتشفوا الكوارك ذرّة، إلا أنه تبيّن أن هناك خطأ ما . في نهاية عام 1990، وعلى الرغم من توفر كل شيء لباقي المسرّعات، إلا أنها كفت عملياً عن اصطياذ الكوارك ذرّة وترك العمل لمصادم تيفاترون Tevatron مخبر فيرمي، الذي كان ومازال من أقوى المصادمات .

تطلّب اصطياذ الكوارك ذرّة جهود عمل مكثف لـ 440 فيزيائياً من 36 معهداً في خمسة بلدان . فقد أمضوا ست سنوات في بناء كاشف عملاق، هو عبارة عن كتلة من الفولاذ والإلكترونيات، ترز خمسة أطنان ويزيد ارتفاعه على ثلاثة طوابق . تجثم هذه الأداة الضخمة والغريبة داخل النفق الدائري للتيفاترون الذي يبلغ طوله 6.4 كم . وفي مركز الكاشف المجوّف، نجد البروتونات والبروتونات المضادة التي سرّعت إلى مايقارب سرعة الضوء، يصطدم بعضها ببعض بعنف آلاف المرات في الثانية . تولّد مثل هذه التصادمات كميات كبيرة من الطاقة تبدو على شكل نوافير متألقّة من الجسيمات قصيرة الأجل، التي تومض آثارها عبر شاشات الكمبيوتر . ومن خلال البحث بين هذه الومضات، توصل العلماء أخيراً، إلى اكتشاف الكوارك ذرّة الذي يعتقدون أنه أحد خلائق الطبيعة البدائية السريعة الزوال .

يُزعم أن الكواركات ذرّة الأصلية قد نشأت من البحر العكر للإشعاع البدائي الذي أعقب الانفجار الأعظم بزمان أقل من جزء واحد من تريليون* جزء من الثانية . وما إن اتسع الكون وتبرّد حتى اختفت جميعها تقريباً . أما الآن فلا تظهر الكواركات بشكل طبيعي إلا في شروط معينة . ولاستحضارها يتوجب على العلماء أن يخلقوا الشروط النارية التي أعقبت الانفجار الأعظم من جديد، وهذه ليست مهمة

إلى عالم مصغر لايمكن سبر غوره . عالم قد يكون مأهولاً بجسيمات أغرب من تلك التي اكتشفت حتى هذا الحين . بالنسبة للكوارك ذرّة فهو ثقيل بشكل استثنائي، وبدقة أكثر، هو أثقل من البروتون بـ 200 مرة، إذ يعادل ثقله ثقل ذرّة كاملة من الذهب تقريباً . ويقول هـ. فريش H. Frisch من جامعة شيكاغو: «إنه لأمر محيّر أن يصل وزن جسيم ثانوي إلى هذا القدر من الكبر» . وهذا يوحي أن الكوارك ذرّة منضفر، بشكل معقد، بالآلية الغامضة المسؤولة عن إعطاء كتلة .

والسؤال المحيّر: لماذا تكون بعض الجسيمات، كالكوارك ذرّة، بهذا الثقل بينما تكون الجسيمات الأخرى، كالفتوتون، بدون كتلة أبداً؟ وإن التفسير المرجّح لهذا اللاتناظر المدهش يذكرنا بفئة من الجسيمات الافتراضية، تعرف ببوزونات هيغز، والتي يُظن أنها تغمر الكون كضباب كثيف . يمكن أن تقارن إلى حد ما، القوة التي يطبّقها حقل جسيمات هيغز هذا، بشدة الثقالة الأرضية . فالفتوتون عديم الكتلة يسبح في حقل هيغز كما لو كان غير موجود، في حين تخضع باقي الجسيمات لقوة جرّ كبيرة تكسبها وزناً في جوهرها . إن معرفة كتلة الكوارك ذرّة لا بد وأن تساعد في تكملة المخطط التمهيدي الأول لبوزون هيغز، الذي وضعه النظريون، كما توحى إلى التجريبيين، بطرق ماهرة للبحث عنه . ويذهب الفيزيائيون أبعد من ذلك، حيث يتوقع بعضهم احتمال تحوّل جسيمات هيغز لتصبح زوجاً غير شفعي، ناتجاً من اتحاد الكوارك ذرّة مع توأمه المضاد . يتساءل ك. هيل Ch. Hill، أحد فيزيائيي مخبر فيرمي: «هل الكوارك ذرّة هو الانسان الثلجي ييتي Yeti»، مشيراً بذلك إلى المخلوق الأسطوري الذي يقال إنه موجود في الهيمالايا العليا، «أم هل هو آثار أقدم هذا المخلوق؟» . في الحقيقة، نحن لا نعرف الإجابة عن هذا السؤال . وإن مانعرفه هو أن النموذج المعياري / غير كامل ليس إلا»

عندما بدأ الفيزيائيون بتصميم الكاشف المصادم في مخبر فيرمي CDF، منذ قرابة عقدين، لم يكن لديهم أدنى فكرة عن أن البحث عن الكوارك ذرّة قد

* تريليون هو العدد 10¹² في الولايات المتحدة وفرنسا، والعدد 10¹⁸ في بريطانيا وألمانيا .

لقد علّم البحث عن الكوارك ذروة صياديه المعنى الحقيقي لكلمة ماراتون (سباق القدرة على الصبر والاحتمال). إذ يقول ج. هوث J. Huth وهو فيزيائي من جامعة هارفرد «لقد كان شعار حياتي لفترة طويلة أن هناك معنى للإنهاك». فالوقت الذي أمضاه العلماء سابقاً بالعمل مستخدمين الكاشف، يستغرقونه الآن بالاجتماعات التي يبلغ عددها حوالي 20 اجتماعاً في الأسبوع. وعندما يلتقي فريق CDF يلتئم حشد كبير في قاعة الاجتماعات العامة في مخبر فيرمي، وفي بعض الأحيان تكون نتيجة ذلك جلبة كبيرة. فورقة البحث التي يبلغ عدد صفحاتها 152 صفحة، والتي تحمل إثبات وجود الكوارك ذروة، قد أرسلت منذ فترة قصيرة إلى مجلة *Physical Review*، وكان من الممكن أن تقدّم قبل شهرين لولا التساؤلات التي أثارها أعضاء هيئة البحث الذين صعقوا بالنتائج، مما أدى إلى تعزيز روح البحث وبالتالي إدخال المزيد من الإيضاحات عليها.

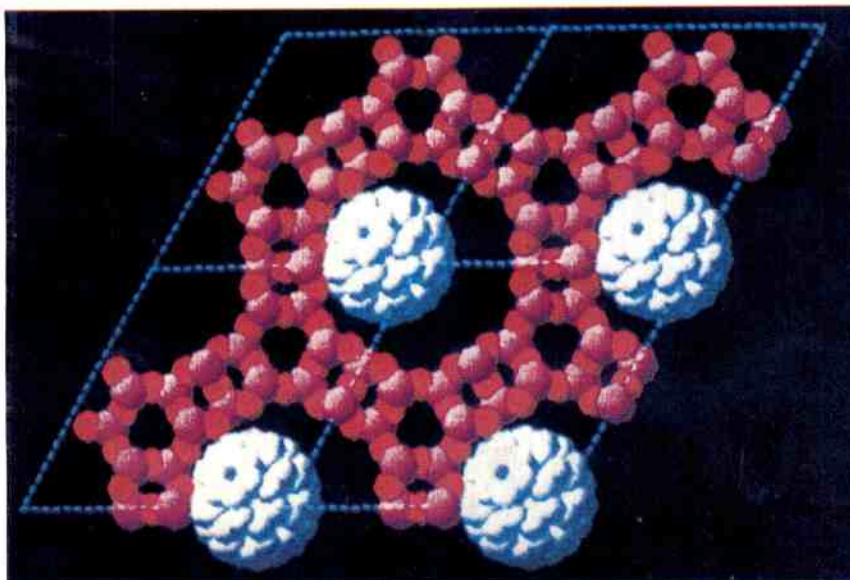
وما يخشاه بعض علماء CDF حتى الآن، هو تفاضهم عن خطأ قد يكون فادحاً، إذ يعتقدون أنه لا يزال هناك احتمال نسبته 400/1 بأنهم ربما كانوا مخطئين، الأمر الذي يبدو بسيطاً جداً بالنسبة للأشخاص العاديين. لكن من الحكمة أن نتذكر أن الأمور الشاذة التي تبدو كرهان قوي في حلبة سباق ما، ليست كافية لدعم الادعاءات العلمية. ولا بد أن يتلاشى الشك المتبقي على مر الشهور القادمة، عندما يتم تجميع المزيد من المعطيات ليس فقط عن طريق CDF وإنما عن طريق كواشف منافسة تدعى DZero، إذا اعتمدنا ما يعتقده معظم الفيزيائيين من أن الكوارك ذروة موجود هناك فعلاً، فلن الأضواء ستتركز عليه تدريجياً، وإلا فلن ذلك سيولّد اثارة كبرى، لأنه إذا لم يكن الكوارك ذروة هو الذي يُحدث ظهور الجسيمات المفاجيء داخل أعماق الكاشف، فما يكون هذا إذاً؟.

- تشكر إدارة مجلة عالم الذرة مجلة *Time*

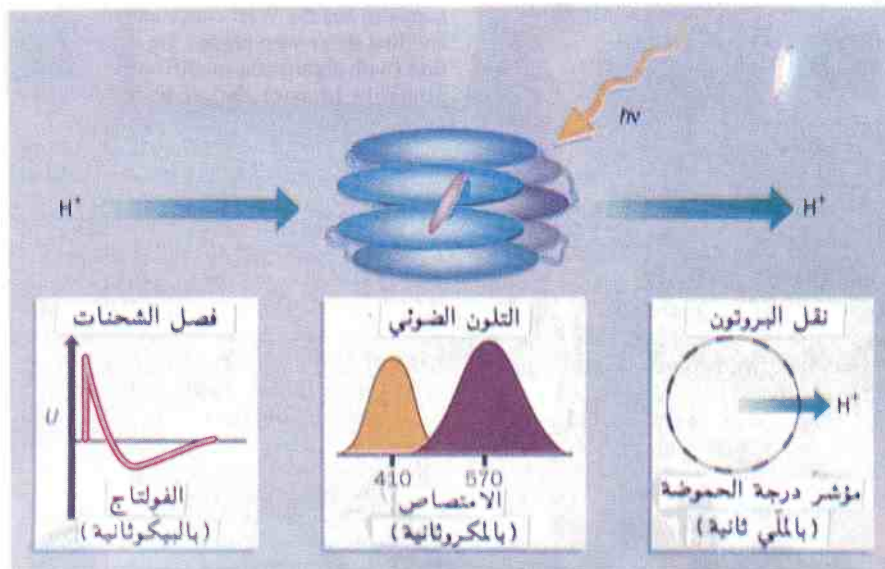
للسماح لها بترجمة هذا الخبر ونشره.

سهلة. ونظراً لأن الكوارك ذروة ثقيل للغاية فلا يقدر على انتاج الجسيم سوى الاصطدامات الأعلى طاقة من التيفاترون. أضف إلى ذلك أن عمر ملك الكواركات هذا، متناهٍ في الصغر فلا يمكن الاستدلال على وجوده إلا عن طريق الآثار الضئيلة لجسيمات أخرى يتفكك إليها فوراً. وهكذا فإن الكشف الذي صممه علماء مخبر فيرمي يتألف من أكثر من 100 000 جزء، كل واحد منها معدّ لأن يقتفي أثر أنماط مختلفة من الجسيمات. فعلى سبيل المثال، يُستخدم مغنطيس فائق النقل لقياس طاقة الإلكترونات والميونات. وكلما قلّ انحناء هذه الجسيمات المشحونة بفعل الحقل الكهرومغناطيسي، كلما كانت أكثر طاقة، وبالتالي زاد احتمال نشوئها عن الكوارك ذروة.

من بين الأجزاء الأكثر حيوية في مصادم CDF، الإلكترونيات السريعة التي تقوم بعملية فرز سيول من المعطيات الواردة، فتقوم للتو بفصل الثابتة عن غير المؤلفه. ويعلق م. كامبل M. Campbell، أحد فيزيائيي جامعة ميتشيغان، قائلاً: «نحن كمن يبحث عن إبرة في أكوام من القش، ولكي نجدها علينا أن نعالج أكوام القش كل ثانية». وعلى سبيل المثال، جرى داخل مصيدة الجسيمات الكبيرة في CDF، خلال مرحلة العمل التجريبي الأخير، عدد كبير من الاصطدامات بين البروتونات والبروتونات المضادة بلغ 1 تريليون. وبالرغم من ذلك، فقد بيّنت الحوافظ الإلكترونية للكاشف أن الأمل معقود فقط على 16 مليوناً منها، وتستحق تحليلاً أكثر تفصيلاً. وقد جرت عملية غربلة أخرى بينما كانت مجموعات من الحواسيب تقوم بفحص عشرات الآلاف من القياسات التي كانت ترافق كل اصطدام مشيرة فقط إلى أكثرها أهمية. ومن هذا كله، ظهرت دزينة من الكواركات المرشحة لأن تكون كواركات ذروة. قال و. كارثيرز الأصغر W. Carithers Jr. وهو فيزيائي من مخبر لورنس بركلي في كاليفورنيا، معلقاً على سبيل الفكاهة: «لو كانت الاصطدامات كالدولارات، فالعملية سوف تبدو كما لو أننا بدأنا بالميزانية الفيدرالية بأكملها وانتهينا بالحصول على 12 دولاراً».



الصورة 1- تشكل فسفات الألمنيوم المسامية (أحمر) سلسلة ربط وسياج مع القنوات التي حبست الفلرين ذا القطر 1nm مشكلة مادة مركبة تصدر الضوء.



الصورة 2- يتألف الباكتريرودوسين من 248 حمضاً أمينياً مرتبة في سبعة حلازين نمط α (أزرق) وبقية (جذر residue) من ال retinylidene مرتبطة برابطة تكافؤية (أرجواني). يؤدي امتصاص فوتون إلى نقل بروتون من خلال الفوهة البروتونية في الباكتريرودوسين. وتقسم هذه العملية إلى: (1) تغير إلى حالة تماكب بدئية وفصل شحني في سلم زمني من رتبة البيكوثانية، (2) تبدل لوني عكوس في سلم زمني من رتبة الميكروثانية، وأخيراً (3) نقل بروتوني يمكن اقتناؤه بواسطة مؤشرات pH. وتتطلب دورة تامة من النقل البروتوني للباكتريرودوسين نحو 10 ملي ثانية. إن كلاً من هذه الظواهر الأساسية ذات استخدام تقني فعال.

2- تصدر مركبات الفلّرين المحصورة ضوءاً أبيضاً عند إثارتها بالليزر*

عرض الباحثون من جامعة مانشستر، معهد العلوم والتكنولوجيا (UMIST)، مانشستر (إنكلترا) على أنه عند إثارة مركبات الفلّرين المحصورة بضوء أزرق من ليزر إيون الأرغون فإنها تصدر ضوءاً أبيضاً. إذ طرحت هذه الملاحظة إمكانية الحصول على مجموعة جديدة من مواد ليزرية وأخرى إلكترونية ضوئية جديدة.

إن كرات باكي أو الفلّرين هي مركبات كربونية تكون فيها ذرات الكربون مرتبة نفسها في بنى قفصية كروية (سميت بذلك الاسم لكونها تشبه القبة الجيودوزية التي تخيلها وصورها باكنسترفولر). يمكن لهذه الأقفاص أن تحوي أعداداً مختلفة من ذرات الكربون، وقد استعمل فريق UMIST قفصاً ذا ستين ذرة من الكربون (C_{60}) مع أنه يمكن استعمال أقفاص كربونية أخرى تحوي 82, 76, 70 أو 84 ذرة كربون.

ومن الصعب استنتاج الخواص الفيزيائية والكيميائية لجزيئات الفلّرين بسبب بُناها الكروية الكبيرة والفريدة من نوعها.

ليس من السهل إجراء بحوث تجريبية على كرات الكربون لأنه ينبغي أولاً الحصول عليها، ولذلك قام فريق UMIST بتوليدها بواسطة مولد الفلّرين، كما أنه يصعب التحكم بها لحظة توليدها لأن هندستها الحزنية تجعل الكرات تهتز وتدور بسرعة. ومما من طريقة سهلة نستطيع بها الحفاظ على الجزيئات في موضع واتجاه معينين.

قامت مجموعة من الكيميائيين في UMIST برئاسة د. لي D. Leigh بالبحث عن طريقة لحصر الفلّرين، وذلك من أجل إجراء دراسات كيميائية أخرى موسّعة عليه. إذ اقترح زميل له وأسمه ميشيل أندرسون M. Anderson، أنه يمكن استخدام قنوات مسامية من فسفات الألمنيوم تسمى (VPI-5)

لحصر الفلّرين (انظر الصورة رقم 1 صفحة 72). يستعمل VPI-5 كالزبولينات، كوسيط مبادل أيوني وكذلك في إزالة عسرة الماء. تحوي هذه المواد قناة بقطر 1.25nm في حين قطر كرة الكربون 60 هو 1nm، وبالتالي يمكن حبس كرة C_{60} في قناة بحيث يكون لها في هذه القناة درجة حرية واحدة فقط. ويقترح الباحث أندرو مودي A. Moody بأن هذا التأثير مشابه لكرة تنس تتحرك في أنبوب.

أشار تحليل المادة بعد دمج الفلّرين فيها إلى أن ثلث قنوات VPI-5 مليئة بكرات الفلّرين C_{60} . ولتحديد طبيعة التركيب المضبوط لمركب الفلّرين VPI-5، تم تشجيع هذا التركيب بضوء ليزري أزرق $Ar^+ laser$. يعطي شكل الفلّرين البلوري النقي إصداراً ضعيفاً في مجال تحت الأحمر، وذلك عند إثارته بليزر إيون - الأرغون بالطول الموجي 458nm. ومن المدهش أنه عند إثارة الفلّرين المحصور في أقبية VPI-5 بالليزر ذاته فإنه يعطي إصداراً قوياً وعريضاً على كامل الجزء المرئي من الطيف. وهذا الطيف المنسجم هو طيف عريض ويبدو أنه لا يتغير مع تغير درجة الحرارة إلا قليلاً. وقد افترض لي أن سبب التغير في خصائص الإصدار هو تأثير الحصر الكمومي للإلكترونات الفلّرين من قبل VPI-5 وهذا يشبه ماتمت ملاحظته في السيليكون المسامي.

وعلى الرغم من أن العمل في مراحله الأولى فقد قام فريق البحث مؤخراً بتحديد بعض انتظيقات الممكنة لهذه المواد الجديدة. اقترح لي استعمال هذه المواد كمواد ليزرية جديدة أو كنماذج جديدة للشاشات الضوئية. وتجري الآن بحوث أخرى موسّعة لمعرفة إمكانية استعمالها كمواد تتألق كهربائياً بدلاً من إثارتها بالضخ الضوئي. ويهتم الفريق أيضاً بالبحث عن هذا الأثر في الفلّرينات الأخرى غير C_{60} .

3- بروتينات مقاومة للحرارة**

لقد تم استثمار البروتينات لأهداف تقانية بصورة متزايدة، مثلاً في الحاسبات الحيوية Biosensors

* من مجلة Laser Focus World, September, 1993. تأليف Bridget R. Marx. ترجمة الدكتور عبد الوهاب علاف - قسم الكيمياء - مراجعة وتعديل لجنة التحرير - هيئة الطاقة الذرية السورية.

** من مجلة 2. Nature, Vol. 366, 4 November, 1993, p. تأليف Norbert Hampp. ترجمة الدكتور أحمد عثمان - عضو اللجنة الاستشارية العلمية - هيئة الطاقة الذرية السورية.

إلى طاقة كيميائية تمكن خلية انجرثوم من البقاء حية .

وعندما نتحدث عن عطالة (خمول) الباكتريرودوسين تجاه المواد الكيميائية والتفكك الكيميائي الضوئي وعن ديمومته الملفتة للنظر، يتوجب علينا أن نميز مايلي: إن المعني بذلك هو شكل الغشاء الأرجواني. إذ تحتوي الأغشية الأرجوانية نحو عشرة جزئيات دسمة مقابل جزيء واحد من الباكتريرودوسين تعمل كوسط لزج حاضن لثلاثي قطع الباكتريرودوسين. وإذا ما تم الحصول على محلول من هذا الغشاء ومن ثم تحليل الباكتريرودوسين ثلاثي القطع أو أحادي القطع المعزول منه لتبين أن الغشاء السليم (الصحيح) قوي من أجل ثبات المادة. ولقد ميّز شين وزملاؤه [1] مظهراً مفتاحياً آخر، وهو غياب الماء، من أجل محافظة الجزيء على ثباته فوق درجة المائة المثوية، الأمر الذي يوسع صلاحية استعمال الأغشية الأرجوانية في درجات الحرارة العالية المطلوبة للتطبيقات التقنية.

ويجمع الباكتريرودوسين ثلاث وظائف مفيدة تقنياً من الناحية المبدئية (انظر الصورة رقم 2 صفحة 72) [3]. أولاً، إنه مضخة بروتونية موجهة ضوئياً، الأمر الذي يجعل بالإمكان قلب الطاقة الشمسية إلى طاقة كيميائية أو كهربائية. ثانياً، إنه يملك صفات كهروضوئية تعود إلى حدوث فصل شحني ابتدائي فيه بعد امتصاص فوتون. ثالثاً، إنه بروتين ذو تلون ضوئي: يؤدي امتصاص الضوء إلى قلب لوني عكوس من الأرجواني إلى الأصفر، بإمكانه العودة والاقتراب من الأشعة الزرقاء والأصفر أكثر مما يفعله أي مركب لوني ضوئي مُصنّع كيميائياً. إن هذه الخاصة وحقيقة كون الباكتريرودوسين يستعمل الضوء بكفاءة عالية (يكفي فوتون واحد أو اثنان لقلب جزيء واحد من الأرجواني إلى الأصفر) تجعله مرغوباً (مطلوباً) للاستعمال في العمليات المعلوماتية الضوئية.

لقد أدت بحوث متخصصة جداً لعقدين من الزمن إلى كشف البنية الجزيئية [4] للباكتريرودوسين ولوظيفته [5,6] بدقة متناهية. لقد تم الحصول، في البدء، على جزئيات طافرة محررة من الباكتريرودوسين في الباكتريري الشريشيات

والكواشف الحيوية Bioreactors. ولكن تتطلب بعض هذه التطبيقات درجات حرارة عالية أثناء العمل (فوق المائة درجة مئوية)، وهي درجات تشبه فيها معظم البروتينات. وإن أحد البروتينات المستعملة في مثل هذه الظروف هو الباكتريرودوسين bacteriorhodopsin كما يذكر ذلك شين وآخرون في الصفحة 48 من هذا العدد [1]. لقد وجدوا أن الباكتريرودوسين يبقى ثابتاً تركيبياً حتى درجة 140 مثوية عندما يكون على شكل أفلام رقيقة جافة. إن هذه نتيجة مذهشة ومشجعة لجوانب جديدة في البحث تجري على هذا المركب - استعماله في المعلوماتية الضوئية.

عند الاقتراب جداً من سان فرانسيسكو، يشاهد المرء منظرًا خاصاً أخاذاً لكثافة انتشار الأحواض الملحية الأرجوانية اللون في منطقة الخليج. وقد تبين في السبعينيات أن اللون يعود لدرجة كبيرة إلى بروتين من بروتينات شبكية العين يمكن عزله من باكتيريا (جراثيم) تعيش في ظروف المحلول الملحي المشبع القاسية الحاوي على القليل من الأوكسجين المنحل [2]. ولقد أصبح العيش في مثل هذا المأوى الايكولوجي «البيني» ممكناً لأن باكتيريا الـ *Halobacterium salinarum* (دعيت سابقاً *H. halobium*) قد طورت خلال مسيرة التطور النوعي مجموعة من البروتينات التي تمكنها من استعمال أشعة الشمس مباشرة كمصدر للطاقة. إن البروتين المفتاح في التركيب الضوئي لهذه الجراثيم هو الباكتريرودوسين. وإن عدة عشرات آلاف الجزئيات من هذا البروتين تشكل شبكة بلورية ثنائية البعد في الغشاء الخلوي على طول مسافة تعادل (500-1000) نانومتر قطراً و5 نانومترات فقط سماكة، وهو طول جزيء واحد من الباكتريرودوسين. ومن لونه، دعيت القطعة الغشائية هذه «الغشاء الأرجواني purple membrane» التي يمكن اعتبارها الخلية الشمسية البيولوجية لهذه الجراثيم. ويعمل كل جزيء مفرد من الباكتريرودوسين في الغشاء الأرجواني كمضخة بروتونية موجهة ضوئياً. فبعد امتصاص فوتون ضوئي، ينقل الباكتريرودوسين بروتوناً من داخل الخلية إلى الوسط المحيط، ويقلب بذلك الطاقة الضوئية

4- مشروع JET على شفير الهاوية *

سُفِّصَلُ مَنَاتِ الْعِلْمَاءِ وَالْمُهَنْدِسِينَ مِنْ أَعْمَالِهِمْ فِي وَقْتٍ لَاحِقٍ مِنْ عَامِنَا هَذَا 1994 مِنْ أَكْبَرِ مَشْرُوعِ مَفَاعِلِ انْدِمَاجِي فِي الْعَالَمِ، وَهُوَ مَفَاعِلِ الْحَلَقَةِ الْأُورِيِ الْمُشْتَرَكِ JET فِي مَنَظِقَةِ كُلْهَامِ بِالْقُرْبِ مِنْ مَدِينَةِ اكسفورد، مَا لَمْ يُعْثَرِ عَلَى حُلٍّ لِلنِّزَاعِ الطَّوِيلِ حَوْلِ الطَّرِيقَةِ الَّتِي سَيُعَامَلُ بِهَا الْعِلْمَاءُ الْبَرِيطَانِيُونَ الْعَامِلُونَ بِالْمَشْرُوعِ.

وَصَلَ النِّزَاعُ إِلَى طَرِيقٍ مَسْدُودٍ فِي شَهْرِ كَانُونِ الْأَوَّلِ عِنْدَمَا صَوَّتَ الْبَرْلَمَانُ الْأُورِيِ لِصَالِحِ اقْتِطَاعِ 30% مِنْ مِيزَانِيَةِ الانْدِمَاجِ النَّوَوِيِّ الْأُورِيِ إِلَى أَنْ تَبْدَأَ مُحَادَثَاتُ لِلْوَصُولِ إِلَى حُلٍّ وَسَطٍ. وَبَعْدَ ذَلِكَ تَمَّ اقْتِطَاعُ جُزْءٍ مِنْ مِيزَانِيَةِ مَشْرُوعِ JET بِنَفْسِ النِّسْبَةِ. وَوَصَّفَ مَارْتِنُ كِيلِهَاكِر M. Keilhacker مَدِيرَ الْمَشْرُوعِ ذَلِكَ الْاقْتِطَاعَ بِأَنَّهُ «سَيُوقِفُ الْعَمَلَ بِالْمَشْرُوعِ فِي أَيَّارٍ أَوْ حَزِيرَانٍ».

يَعْتَبَرُ مَشْرُوعُ JET مِنْ أَكْثَرِ مَفَاعِلَاتِ الانْدِمَاجِ النَّوَوِيِّ نَجَاحاً فِي الْعَالَمِ. وَيَنْظُرُ إِلَيْهِ كَأَفْضَلِ مِثَالٍ عَلَى مَا يُمْكِنُ أَنْ يَحْقُقَهُ التَّعَاوُنُ الْعِلْمِيُّ بَيْنَ الدُّوَلِ الْأُورِيَةِ. لَقَدْ تَمَّ تَجَاوُزُ الْأَهْدَافِ الْأَصْلِيَةِ لِلْمَشْرُوعِ حَيْثُ أَنَّ وَظِيفَتَهُ الْأَسَاسِيَّةَ هِيَ أَنَّهُ سَيَكُونُ حَقْلَ تَجَارِبٍ لِمَفَاعِلِ الْجِيلِ التَّالِي. وَهُوَ الْمَشْرُوعُ الْأُورِيِ الرَّوسِيِ الْيَابَانِيِ الْأَمْرِيَكِيِّ الْمُشْتَرَكِ الَّذِي يَدْعَى الْمَفَاعِلَ التَّجْرِبِيَّ النَّوَوِيَّ الْحَرَارِيِّ الدُّوَلِيَّ ITER. إِنْ أَيْ تَأْخِيرٍ يَحْصُلُ فِي مَشْرُوعِ JET قَدْ يَجْعَلُ مَهْمَةً وَضَعُ تَصْمِيمِ الْمَفَاعِلِ ITER أَمْرًا أَكْثَرَ صَعُوبَةً. وَيَتَسَاءَلُ «كِيلِهَاكِر» قَائِلًا: «كَيْفَ يَتَسَنَّى لَكَ أَنْ تَغْلُقَ الْمَفَاعِلَ وَأَنْتَ مَا تَزَالُ مَتَمَتِّعًا بِمَصْدَاقِيَةِ عَالَمِيَّةٍ».

وَلَبَّ الْمَشْكِلَةَ هُوَ أَنَّ قَرَابَةَ 220 بَاحِثًا بَرِيطَانِيًّا يَعْمَلُونَ فِي الْمَشْرُوعِ وَهُمْ يَعْمَلُونَ أَيْضًا لِصَالِحِ سُلْطَةِ الطَّاقَةِ الذَّرِيَّةِ الْبَرِيطَانِيَّةِ وَيَتَقَاضُونَ رَوَاتِبَ أَقْلٍ بِنِسْبَةِ 30-40% مِنْ نَظَائِرِهِمُ الْأُورِيَّيْنَ الَّذِينَ تَسْتَخْدِمُهُمْ هَيْئَةُ الطَّاقَةِ النَّوَوِيَّةِ الْأُورِيَّةِ. وَالشَّيْءُ الْأَكْثَرُ أَهْمِيَّةً كَمَا يَقُولُ جُونُ بِيلَارْد J. Billard، الَّذِي يَعْمَلُ لِصَالِحِ اتِّحَادِ يُمَثِّلُ الْمُوظَّفِينَ فِي مَشْرُوعِ JET، هُوَ أَنَّ الْعَامِلِينَ لَدَى وَكَالَةِ الطَّاقَةِ النَّوَوِيَّةِ التَّابِعَةِ لِلْجَمَاعَةِ الْأُورِيَّةِ

كُولِي Escherichia coli [7]. وَمَعَ تَطَوُّرِ جُمْلَةِ التَّحَوُّلِ فِي الْبَاكْتِيرِي Halobacterium أَصْبَحَ بِالِإِمْتِكَانِ الْحَصُولِ عَلَى جِزْيَاتِ الْبَاكْتِيرِيورودوسِينِ الطَّافِرَةِ فِي الْغَشَاءِ الثَّابِتِ فِي مَقَادِيرٍ كَبِيرَةٍ.

لَقَدْ تَمَّ الْبَرَهَانُ أَنَّ أَفْلَامًا جَافَةً مِنْ جِزْيَاتِ الْبَاكْتِيرِيورودوسِينِ الْوُظُفِيَّةِ الْمُعَدَّلَةِ مَفِيدَةٌ لِالِاسْتِعْمَالِ فِي الْعَمَلِيَّاتِ الْمَعْلُومَاتِيَّةِ الضَّوْثِيَّةِ [6]، مِثْلُ التَّعْرِفِ عَلَى لِنَمَطِ التَّصْوِيرِي الْمَجْسَمِ holographic [9]. وَيَجِبُ أَنْ تُعْطَى (تَنْتَج) الصِّفَاتِ الضَّوْثِيَّةِ لِأَفْلَامِ الْبَاكْتِيرِيورودوسِينِ الْجَافَةِ تَطْبِيقَاتٍ مُتَنَوِّعَةٍ [10]. إِنْ التَّشْوَهُ بِالْحَرَارَةِ لَمْ يَكُنْ مُشْكِلَةً أَبَدًا، وَلَكِنْ أَحَدًا لَمْ يَجْرِبْ دَفْعَ أَفْلَامِ الْبَاكْتِيرِيورودوسِينِ إِلَى حُدُودِ مَقْدَرَتِهَا الْعَظْمَى. وَإِنْ نَتَائِجُ شَيْنٍ وَمُسَاعَدِيَةٍ تَضَعُهَا فِي مَصَافِ التَّطْبِيقَاتِ الْحَرَارِيَّةِ بِصُورَةٍ جَيِّدَةٍ، عَلَى النَّقِيضِ مِنْ مُعْظَمِ الْمَوَادِّ اللَّوْنِيَّةِ الضَّوْثِيَّةِ الصَّنَعِيَّةِ، وَخَاصَّةً سَتُعْمَالُهَا بِوُجُودِ الْأُوكْسِجِينِ وَالضَّوءِ.

وَمَعَ وَجُودِ الْحِظِّ، فَإِنَّ أَعْمَالَ شَيْنٍ وَمُسَاعَدِيَةٍ، سَتُشْجَعُ بَاخِثِينَ آخَرِينَ لِلْعَمَلِ مِنْ أَجْلِ تَحْوِيلِ الْجِزْيَاتِ الْبِيُولُوجِيَّةِ الْكَبِيرَةِ «جَيِّدَةِ التَّمْيِزِ» إِلَى الْحَالَةِ الصَّلْبَةِ أَوْ الزَّجَاجِيَّةِ (عَمُومًا لَيْسَ بِسَهُولَةٍ اسْتِخْدَامِ الْغَشَاءِ الْأَرْجَوَانِيِّ) وَبَحْثِ الثَّبَاتِ الْبِنْيَوِيِّ لِلْمَوَادِّ الَّتِي تَنْتَجُ فِي دَرَجَاتِ حَرَارَةٍ أَعْلَى.

REFERENCES

- [1] Shen, Y. et al. *Nature* 366.48 50 (1993).
- [2] Oesterheld, D. & Stoeckenius, W. *Nature new Biol* 233. 149 152 (1971).
- [3] Oesterheld, D. et al. *Q. Rev. Biophys.* 24.425 478 (1991).
- [4] HenJerson, R. et al. *J. molec. Biol.* 213.899 929 (1990).
- [5] Birge, R.R.A. *Rev. phys. Chem* 41.683. 733. (1990).
- [6] Zimanyi, L. et al. *Biochemistry* 31. 8535 8543 (1992).
- [7] Braiman, M.S. et al. *J. biol. Chem.* 262.9271 9276 (1987).
- [8] Ni, B. F. et al. *Gene* 90. 169 172 (1990).
- [9] Thoma, R. & Hampp, N. *Opt. Lett.* 17.1158 1160 (1992).
- [10] Hampp, N. et al. *Mat. Res. Soc. Bull.* 17.56 60 (1992).

المراجع

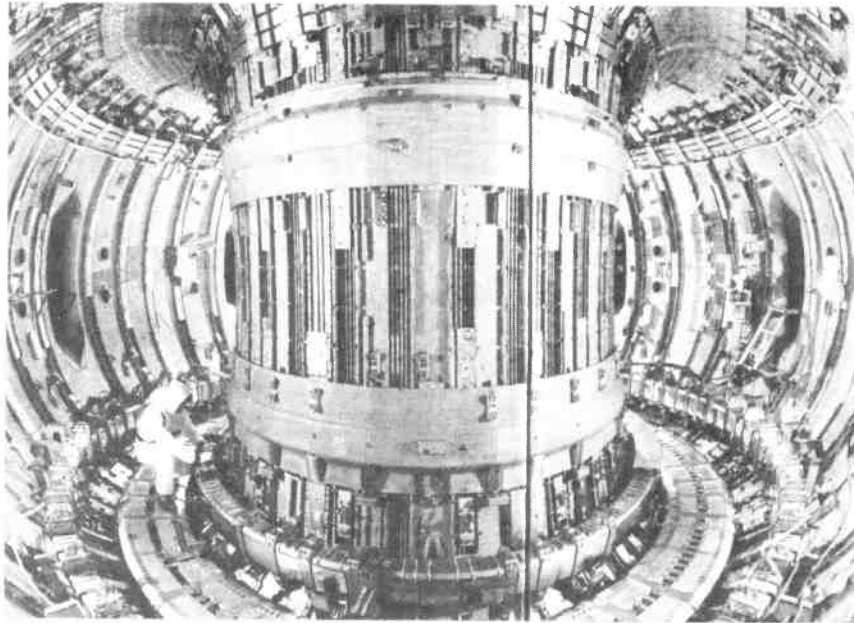
الأوربية دوماً أن العاملين بالمشروع يتقاضون رواتب جيدة بالمقارنة مع غيرهم. وبالحقيقة فإن العاملين في مشروع JET ينالون إعانة سنوية تبلغ 15%. وتقول الوكالة أنها لا تستطيع دفع رواتب أعلى لأنها ملتزمة بسقف الرواتب الذي حددته الحكومة للعاملين بالقطاع العام.

وعلاوة على ذلك تجادل الهيئة أنها لا تستطيع أن تحابي العمال البريطانيين الذين يبحثون لأنفسهم عن وظائف. ويقول أحد الموظفين في بروكسل: «ينص أحد المبادئ الأساسية في قانون الوكالة على أنه لايجوز التمييز بين الناس من الدول الأعضاء. وإذا منحناهم معاملة تفضيلية فقد نخسر القضية إذا عرضت على المحكمة الأوربية».

ونظراً لعدم إمكان التوصل إلى تسوية في المستقبل القريب صوتت لجنة الميزانية التابعة للبرلمان الأوربي في شهر كانون الأول الماضي لصالح اقتطاع 59 مليون وحدة نقدية أوربية (44 مليون جنيه استرليني) من الأموال المخصصة لبرنامج الاندماج النووي لهذا العام. وتقول آن ماري غودميكرز A. Goedmakers، وهي عضوة هولندية في لجنة الميزانيات التابعة للبرلمان الأوربي، في رسالة لها إلى اللجنة الاستشارية التابعة للهيئة أن البرلمان سيصدر

لايتملكون أية ضمانات بالعمل عقب إغلاق مشروع JET. وإذا قارناهم بغيرهم نجد أن لدى أولئك الذين تستخدمهم هيئة الطاقة النووية الأوربية ضمانات بالعمل مع مستخدميهم السابقين أو بالعمل في مشاريع أوربية كمشروع ITER.

لقد عرض الموظفون البريطانيون قضيتهم على المجموعة الأوربية بدون تحقيق أي نجاح. وفي عام 1990 قدموا التماساً للبرلمان الأوربي. وفي عام 1992 اقترحت لجنة تحقيق، شكلها أعضاء ذلك البرلمان، حلين للنزاع هما أن تقدم هيئة مشروع JET لجميع العاملين عقداً موحداً أو أن توصي وكالة الطاقة الذرية الأوربية بمنح الموظفين البريطانيين الذين سيتقدمون للعمل في مشاريع أوربية أخرى معاملة تفضيلية. ولقد رفض مجلس إدارة المشروع، الذي يضم ممثلين لمنظمات أوربية تدفع جزءاً من ميزانية المشروع، الخيار الأول. إن إعطاء كافة العاملين بالهيئة عقوداً للعمل معها سيعني إعادة كتابة دستور الوكالة، وهي مهمة يعتبرها المجلس شاقة ومكلفة. وذكر المجلس أنه ليس من الغريب أن يتقاضى أناس محليون رواتب أقل من العمال الأجانب. وانتهى الاقتراح الثاني أيضاً والذي تقدمت به اللجنة إلى طريق مسدود. وأكدت وكالة الطاقة الذرية



الاستعداد للعمل: JET تستعد لتجربة الاندماج التالية، لكن السياسة يمكن أن تتدخل.

أضخم مفاعل اندماجي في العالم هو المفاعل الحلقي الأوروبي المشترك (JET) Joint European Torus الواقع في منطقة كالهام بالقرب من مدينة اكسفورد، كما ستم تخليته من الهواء ليكون جاهزاً لاختبار معدات جديدة، يأمل الباحثون أن تمنحهم سيطرة أكبر على التفاعل الاندماجي.

ومن الناحية النظرية، تستطيع مفاعلات هذا الاندماج تزويد العالم بالطاقة لآلاف السنين. ومن المتوقع أن يكون المزيج الناجح من الوقود مركباً من نظيرين للهيدروجين هما الديوتيريوم الموجود في الماء والتريتيوم الذي يمكن صنعه من الليثيوم. وعندما تندمج نوى هذين النظيرين فإنها تولد كميات هائلة من الطاقة.

وبداخل مفاعل JET الذي له شكل الكعكة (انبوب سوري)، يُسخّن غاز من أحد النظيرين أو من كليهما إلى 100 مليون درجة وتنفذ. ولدى بلوغ هذه الدرجات من الحرارة تنهار الذرات لتشكل البلازما حيث يكون للنوى المجردة (المتأينة) طاقة تكفي للتغلب على التنافر الطبيعي فيما بينها. ويتم حصر هذه البلازما داخل «قفص» تولده مغناط قوية. إلا أن الباحثين وجدوا أن تجاربهم توقفت لدى ظهور زهورات «blooms» مفاجئة من الشوائب لا يمكن السيطرة عليها. وتتكون هذه الزهورات عندما تشق الأيونات السريعة الحركة طريقها عبر القفص مصدمة بالقرميد الذي يبطن قلب المفاعل مولدة نواتج تفاعل تمدد البلازما وتشع حرارة تنقص من طاقة البلازما مما يؤدي إلى القضاء عليها.

وللتغلب على هذه المشكلة، أعيد تصميم القسم الداخلي من JET بأكمله. وقد أزيل 30 طناً من مكوناته على مدى السنتين الماضيتين واستبدل بها معدات جديدة.

وطبقاً لما ذكره مارتن كيلهاكر M. Keilhacker مدير مشروع JET أن من أكثر التغيرات إثارة كان إضافة أربع وشائع (ملفات) coils حول أرضية المفاعل. فالحقل المغنطيسي الذي تولده هذه الشائع سيرفع البلازما من أرض المفاعل ويحول مسار الأيونات الضالة إلى أسفل جدران المفاعل ثم إلى

أمرأ بصرف الأموال عندما تبدأ كافة الأطراف بالعمل على حل النزاع القائم بينها.

وفي وقت سابق قررت اللجنة توزيع الدين بالتساوي على برنامج الاندماج النووي باستثناء المشاريع لصالح مفاعل ITER. وإذا حصل أي تأخير في تنفيذ هذه الاجراءات فستجد أوروبا نفسها عرضة للنقد من شركائها الدوليين. بيد أن مشروع JET سيتعرض لاقتطاع يبلغ 28 مليون وحدة نقدية أوروبية من الميزانية المتوقعة وهي 100 مليون وحدة. ويذكر كيلهاكر أن المشروع مدين بمبلغ 27 مليون وحدة. ويضيف قائلاً: «نحن لانستطيع المحافظة على سلامة هذا المكان وكل العاملين به إلى نهاية العام».

وعلاوة على العاملين في وكالة الطاقة الذرية الأوروبية فإن لدى مشروع JET 150 عاملاً من الهيئة و550 مقاولاً. ويقول كيلهاكر أنه إذا بقيت الأمور على ما هي عليه فسيغطي قرابة 200 شخص إنذارات بفصلهم من أعمالهم في شهر نيسان. ويردف قائلاً: «بالواقع إننا في ورطة ولا نعتقد أنه يوجد حل لهذه المشكلة».

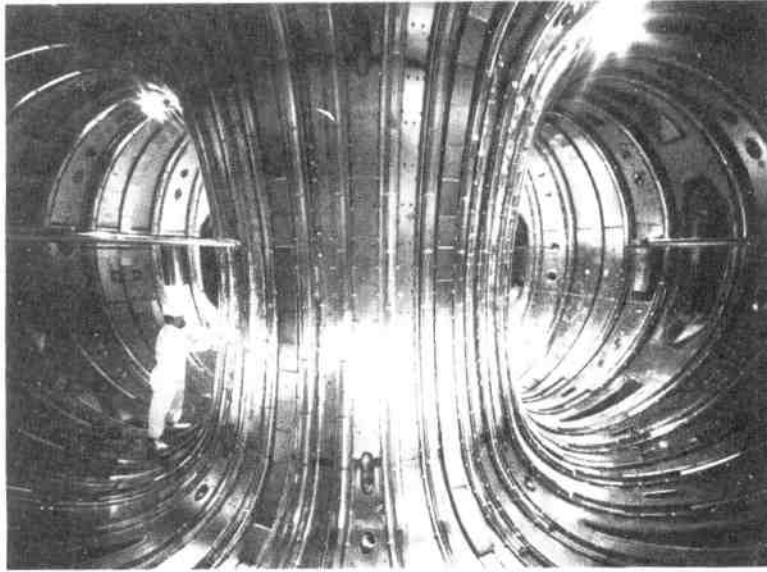
إن وكالة الطاقة النووية الأوروبية التي لديها ممثلين في مجلس مشروع JET واللجنة الاستشارية التابعة لهيئة الطاقة الذرية الأوروبية تحاول جاهدة أن تنأى بنفسها عن العاصفة الوشيكة. ويقول ناطق رسمي: «إن إغلاق مشروع JET هو من شأن هيئة المشروع». وتذكر وزارة التجارة والصناعة الممثلة في اللجنة الاستشارية للبرنامج أن قرار إغلاق المشروع سيتخذ الطاقم الأوروبي الذي يدير برنامج الاندماج النووي.

- تشكر إدارة مجلة عالم الذرة مجلة New Scientist للسماح لها بترجمة هذا الخبر ونشره.

5- الأمل بنجاح الاندماج النووي منوط بأداء مفاعل JET المجدد *

تدخل مهمة تسخير التفاعل الذي يزود الشمس بالطاقة مرحلة جديدة هذا الأسبوع. وستوصد أبواب

* عن مجلة 18 p, 22 January, 1994, New Scientist, تأليف Jeremy Webb. ترجمة دائرة الاعلام والترجمة والنشر ومراجعة لجنة التحرير - هيئة الطاقة الذرية السورية.



الشحن: إعادة بناء الجزء الداخلي في JET من أجل تمديد تفاعلات الاندماج.

المفاعل ITER ليكون أضخم وأقوى من المفاعل JET، ولاشبات أنه يُنتج بلازما طاقته أكبر من الطاقة اللازمة لقيادتها. ويقول جورج ديتز J. Dietz الذي يعمل في مشروع مفاعل ITER في غارشينغ بالقرب من ميونيخ: «إن إنجاز محوّل المسار (المفرّعة) لدى JET مهم للغاية»، ويضيف قائلاً «ونحن نأمل بأن يتمكن الباحثون العاملون في JET من معالجة المشاكل المتعلقة بمحوّل المسار (المفرّعة) في مفاعل ITER».

ولن نضطر للانتظار طويلاً حيث يتوقع أن تبدأ التجارب على مفاعل JET الذي أعيد تصميمه في غضون الأسابيع الخمسة القادمة.

- تشكر إدارة مجلة عالم الذرة مجلة New Scientist للسماح لها بترجمة هذا الخبر ونشره.

6- أعضاء التيتانيا السحرية *

كان مونيت Monet مشهوراً في فن الرسم بالضوء وكذلك نبيل لاوئدي Nabil Lawandy. وهذا الأخير فيزيائي متخصص بالليزر من جامعة براون Brown في

ميزاب في الأرضية. إن أية شوائب تنجم عن اصطدام الأيونات بالقرميد ستقذف بها المضخات نحو الخارج. ويقول مايك واتكينز M. Watkins مساعد كيهاكر في مشروع JET: «إن إبعاد الشوائب هذا ينبغي أن يحمي البلازما».

إن استخدام المخليات يوفر سبيلاً للمحافظة على ثبات كثافة البلازما. وأثناء التجارب يجري إطلاق حزم عالية السرعة من أيونات الدوتيريوم إلى داخل حجرة المفاعل لرفع درجة الحرارة. «ولايَقاف ارتفاع كثافة البلازما جراء ذلك، يجب ضخ الفائض منها إلى الخارج أيضاً» كما يقول واتكينز.

ويرى كيهاكر أن التغلب على الشوائب وغازات العادم هي مشاكل بالغة الأهمية تواجه التفاعل الاندماجي. ويقول كيهاكر «إنه يمكن تدبير هذه الأمور باستخدام هذه المفرّعة الضخّية». ويأمل كيهاكر أن يُمكن الجهاز الجديد العلماء من توليد بلازما تبقى في حالة مستقرة ولا تدمرها زهارات الشائبة.

ستطبق الخبرة البحثية التي حصل عليها العلماء من خلال عملهم في مشروع JET على المفاعل الاندماجي من الجيل التالي، وهو المفاعل التجريبي النووي الحراري الدولي ITER. وقد وُضع تصميم

الصباغ وإضافة التيتانيا فإن ذلك يضيء الغرفة بأكملها مباشرة.

وللضوء القوي ذي اللون الوحيد استخدامات كثيرة، ويحتمل أن تزداد هذه الاستخدامات عندما تتمكن من توليد الضوء بسرعة وبكلفة قليلة من شيء يأتي في علبة معدنية. ويسعى الدكتور لاوندي إلى تحقيق فكرة واحدة مع فريق متخصص في علم الأطياف في رودآيلند حيث يستخدمون الأصباغ للحصول على ألوان أخرى من حزمة الليزر الرئيسية ذاتها.

تتطلب إزالة العلامات الموجودة على الجلد حالياً ضوءاً ليزرياً له مجال من الألوان، والليزرات المطلوبة بهذه المواصفات ليست رخيصة. ويريد الدكتور لاوندي أن يركب مستحضرات رخيصة مصممة كي تعمل على إصدار الضوء بأطوال موجية مختلفة؛ فبإمكانك أن تدهن هذه المستحضرات في الأماكن المناسبة وتدع ليزراً واحداً يضيئها جميعاً. ويمكن تطبيق تقنية مشابهة على المعالجة بالتحريك الضوئي للسرطان، حيث تعالج فيها الأورام بواسطة دواء يصبح مميتاً فقط عندما يتعرض لضوء ذي طول موجي معين.

ويسعى علم الأطياف والدكتور لاوندي أيضاً للحصول على شاشات سوف يُستبدل فيها الليزر بأنبوب الأشعة المهبطية التقليدي. وتتلخص الفكرة بجعل كل عنصر صورة pixel* (عنصر صورة picture element) على الشاشة على شكل بقعة منفصلة من الدهان الليزري ولون معين. ويمكن أن يمسح الليزر الرئيسي الشاشة راسماً الصورة بحث عنصورات ليزرية متتابعة. كما يتطلع الدكتور لاوندي إلى إيجاد طرق يستخرج فيها ضوء الليزر من الدهان باستخدام الكهرباء لليزر للقيام بعملية الضخ.

ويمكن استخدام عدة مواد مختلفة في المستقبل لكل من الصباغ والعناصر التي تبعثر الضوء في المزيج، مانحة مايمكن تسميته بالفنانين الليزريين، ذوقاً رفيعاً يستغلونه في تصميم صورة زيتية جدارية متطورة جداً. ولكن قبل استخدام الألوان الليزرية في صنع الزخارف سيكونون قد شرعوا بإزالتها. ويتوقع لاوندي أن يتم استخدامها في إزالة الوشم خلال سنة.

بروفيدنس Providence في رودآيلند قام بمزج فوق كلورات الرودامين، وهو صباغ يستخدم في الليزرات، مع التيتانيا (جسيمات أكسيد التيتانيوم)، وهو قوام الطلاء الأبيض الذي يبعثر الضوء، وهو بذلك يشكل معجوناً يعمل على تضخيم الضوء بطريقة الليزر نفسها. وانفرد الوحيد بين الضوء الذي يسطع من بقعة المعجون (التي يمكن أن يُلطخ بها أي سطح وبأية كمية كانت) وبين الضوء الصادر عن ليزر تقليدي هو أن الضوء ينبثق من البقعة في جميع الاتجاهات بدلاً من أن يكون على شكل حزمة ضوئية محددة. ومن ناحية أخرى يبدو الضوء ساطعاً جداً ولون واحد كضوء الليزر العادي ولهذا السبب يمكن أن يُنطوي على فوائد شتى. ويتصور الدكتور لاوندي تطبيقات متعددة إذ لديه مجموعة تراخيص مسجلة لهذه التطبيقات.

يتألف الضوء من تيار من الفوتونات، ويتميز ضوء الليزر بأن جميع فوتوناته تحمل بالضبط الكمية نفسها من الطاقة. وتكتسب طاقتها من تعاقب تفاعلات تسمى الإصدار المحثوث حيث تقوم الفوتونات بالقفز بين الذرات المضخوخة بكمية مناسبة من الطاقة، بواسطة ضوء وامض أو ليزر آخر، ويقصد بكمية الطاقة المناسبة ذات الكمية التي تحملها الفوتونات.

وتتخلص الذرة المضخوخة من الطاقة الزائدة بإصدار فوتون يشبه تماماً الفوتون الذي قام بعملية الضخ، وبعدئذ ينطلق الفوتون بعيداً ويفعل الشيء نفسه مع الذرة المجاورة التي تعرضت للضخ. وفي ليزر عادي تنظم المرايا مسار شعاع الضوء هذا وتحوله لحزمة ضوئية منتظمة.

لايفعل الدكتور لاوندي ذلك بواسطة المرايا - أو بالأحرى نيس بمرايا كبيرة. فهو يضحى بمفهوم الاتجاه ويحصل على مصدر رخيص من ضوء الليزر الذي يصدر أشعته في الاتجاهات كافة.

إلا أن الضوء لايزال يقفز هنا وهناك إلى حد بعيد. ولهذا السبب نضع «التيتانيا» في الخليط. إن حث الصباغ بشعاعه الخاص بواسطة حزمة ليزرية يعطي بقعة صغيرة متوهجة؛ ويفعل الشيء نفسه مع

* عنصر صورة Pixel كلمة منحوتة من عنصر صورة picture element.

وتكمن المشكلة في معرفة كيفية تجريب هذه الفكرة المثيرة، بما أن المادة السوداء، بطبيعتها غير مرئية.

- تشكر إدارة مجلة عالم الذرة مجلة *La Recherche* للسماح لها بترجمة هذا الخبر ونشره.

8- لماذا تحتاج الأغنام المصابة بسقط ذري إلى شراب فوار غير مسكر؟*

يمكن أن يحمل الشراب الفوار غير المسكر fizzy المفتاح لإزالة تلوث الأغنام بالفاعلية الإشعاعية وهي المشكلة الموجودة في بريطانيا منذ عام 1986 عندما أثر السقط (الغبار الذري الساقط) الناجم عن حادثة تشرنوبيل على مئات آلاف الحيوانات. بين الباحثون في جامعة ليدز Leeds بأنه يمكن أن يزال تلوث الأغنام جزئياً وأن تتم وقايتها من تلوث جديد عندما تتغذى هذه الحيوانات على المنتجات الثانوية لصناعة المشروبات العادية غير المسكرة.

يدعى هذا المنتج الثانوي ميسيليوم حامض الليمون citric acid mycelium وهو عبارة عن مخلف صلب يوجد في الراقودات vats (أوعية كبيرة تستخدم للتخمير) عند تصنيع حامض الليمون الذي يستخدم كمادة منكهة flavouring في العديد من الأغذية والمشروبات الفوارة. وجد الباحثون أن هذا المخلف يساعد على جريان السيزيوم-137 المتراكم إلى خارج أجسام الحيوانات ويعيق امتصاصه من العليقة.

يقول بول أوينز Paul Owens وزملاؤه في قسم فيزيولوجيا وتغذية الحيوان بجامعة ليدز بأن المخلف المذكور يمكن أن يساعد المزارعين على إزالة تلوث أغنامهم بسرعة أكبر. تمنع أنظمة الحكومة البريطانية بيع أكثر من 400 000 رأس غنم في بريطانيا موجودة في حوالي 500 مزرعة تقع في أراض مرتفعة موجودة في مناطق كمبريا Cumbria و ويلز Wales، واسكتلندا Scotland ما لم تصل الفاعلية الإشعاعية إلى أقل من

7- كيف تشكل الهدروجين الأسود؟*

لم ينته الحديث عن المادة السوداء. هذه المادة اللامضيئة التي قد تمثل تسعة أعشار كتلة الكون، هل يمكن أن تكون جسيمات أولية؟ أم أنها نجوم أخفقت في الوصول إلى الطور المضيء، كما توهي وقائع العدسة المكروية الثقالية، هذه الوقائع المكتشفة منذ فترة وجيزة (انظر «هل كشف النقاب أخيراً عن الكتلة المخفية؟» في هذا العدد من مجلة (La Recherche).

لقد افترض بعض الفلكيين السويسريين والفرنسيين أن في المجرات الحلزونية، تبدو المادة السوداء على شكل غاز (وحتى على شكل جليد) الهدروجين الجزيئي.

يتوزع هذا الغاز، مثله كمثل النجوم، في قرص، ولكنه يتخذ أبعاداً تفوق كبر القرص النجمي. وتتوضع جزيئات من الهدروجين بعيداً عن مركز المجرة، هناك حيث تكاد لا توجد أية نجوم، مما يجعلها من الناحية العملية غير مرئية. وفي الواقع، في هذه المناطق النائية المحيطية (البعيدة عن المركز) لا توجد نجوم لتسخينها، ودرجة حرارتها هي نفس درجة حرارة عمق الإشعاع الكوني (2,7K). ومن جهة أخرى، إذا توزعت هذه الجزيئات وفق بنية جزيئية، فإن الكتلة الكلية يمكن أن تكون كبيرة جداً؛ وهذا هو تعريف المادة السوداء بعينه.

إن تشكل بنية كهذه واستقراريتها يطرحان، مع ذلك، بعض المشكلات. وفي النموذج الذي يتصوره انباحثون، فإن دوران المجرة هو الذي يثبت البنية على نطاق واسع، فالفكرة إذن صحيحة وخاصة بالنسبة للمجرات اللولبية. ويوحى النموذج، إضافة إلى ذلك، بأن أصغر الذرات من الهدروجين لا بد أن تكون أكثر كثافة بمليون مرة من الوسط البينجمي وبأنها ذات أبعاد تفوق مدار الأرض بـ 30 مرة. كما أن هناك تصادمات مستمرة تمنع هذه المواد من التجمع على شكل نجوم.

* عن مجلة La Recherche Vol.25, No 261, Janvier, 1994, p.12، ترجمة دائرة الإعلام والترجمة والنشر ومراجعة لجنة التحرير - هيئة الطاقة الذرية السورية

* عن مجلة New Scientist, 16 April, 1994، تأليف Andy Coghlan، ترجمة الدكتور معزز زرقاوي - قسم الزراعة الإشعاعية - ومراجعة لجنة التحرير - هيئة الطاقة الذرية السورية.

بعد ثلاثة أيام، انخفض تعداد النشاط الإشعاعي نحو 80% عند الحيوانات التي حصلت على ميسيليوم حامض الليمون في مقابل انخفاض بلغ 37% عند الحيوانات التي حصلت على الكريات العشبية فقط. وكان روث الحيوانات، التي تناولت الميسيليوم، يُبدي نشاطاً إشعاعياً أكثر بكثير إضافة إلى وجود آثارٍ من النشاط الإشعاعي في البول، الشيء الذي يشير إلى أن السيزيوم كان يمر عبر الأمعاء دون أن يُمتص من قبل تيار الدم.

تم عكس نظام التغذية للحيوانات الستة بعد 6 أسابيع، لكن فاعلية الميسيليوم كانت هي هي. يقول أوينز: «إن عدد الحيوانات ليس كثيراً، لكن التأثيرات كانت سريعة ولا يوجد شك في أن الميسيليوم يعمل».

في تجربة ثانية، حُقن كلور السيزيوم النشاط إشعاعياً في دم الأغنام ليتراكم في أنسجة عضلاتها. طرحت الحيوانات، التي غذيت على عليقة غنية بالميسيليوم، السيزيوم في روثها بمعدل يزيد 10 أضعاف طرحه من قبل الأغنام التي غذيت على الأعشاب لوحدها، الشيء الذي يبرهن أن الميسيليوم يؤدي إلى التخلص من السيزيوم المتراكم، يقول أوينز. يقترح الباحث تغذية النعاج بالميسيليوم خلال موسم الولادات عندما تقضي الحيوانات عدة أسابيع في حقول المزرعة ولا ترعى في الأراضي الوعرة.

- تشكر إدارة مجلة عالم الذرة مجلة *New Scientist* للسماح لها بترجمة هذا الخبر ونشره.

9- مضادات الآفات وسرطان الثدي *

إن المواد الكيميائية الموجودة في الوسط المحيط «البيئة» التي تعمل عمل هرمونات بشرية يمكن أن تكون سبباً في «زيادة غير متوقعة لمعدل حدوث سرطان الثدي»، كما تقول د. ل. ديفيس

الحد المسموح به (مستوى الأمان) وهو 1000 بيكريل بانكغ الواحد.

يُعد السيزيوم -137 من أكثر الملوثات الناجمة عن حادثة تشيرنوبيل إشكالاً: إذ تتناول الأغنام هذا النظير عندما ترعى على أعشابٍ امتصت نواة مشعة من تربةٍ ملوثة. إن للسيزيوم عمر نصف يناهز 30 عاماً ولهذا، سيستغرق تحلله قروناً ليبلغ مستوىً مهملاً أي إلى الحد المسموح به.

يحتوي ميسيليوم حامض الليمون *Aspergillus niger* الذي يؤدي إلى تخمر المولاس وإنتاج حامض الليمون. توجد مادة أخرى أثناء عملية التصنيع تدعى حديدات أزرق سداسي البوتاسيوم والتي تحد من نمو الفطر ولكن تؤدي إلى الحصول على حامض الليمون بالإنتاج الأعظمي. تنتمي المادة المذكورة إلى عائلة مركبات تستطيع حجز ذرات المعدن ضمن معقدات كيميائية.

في عمل دُعِمَ مالياً من قبل وزارة الزراعة والمسامك والأغذية، قدّم أوينز وزملاؤه ميسيليوم حامض الليمون إلى الأغنام وحاولوا ملاحظة ما إذا كانت مادة حديدات أزرق سداسي البوتاسيوم ستجذب إلى السيزيوم -137 وتساعد الحيوان على التخلص منه. يقول أوينز: «لاحظنا أن المادة لا تمنع تمثيل (امتصاص) السيزيوم من العلف فحسب، بل ونطرح السيزيوم الموجود في جسم الحيوان أيضاً».

في تجربة أولى، غذى الباحثون وبصورة أولية 6 غنم على محلول يحتوي كلور السيزيوم ذا الفاعلية الإشعاعية مخلوطاً بالكريات العشبية. تناولت كل غنمة 620 000 بيكريل من الفاعلية الإشعاعية، وقام الباحثون بعدها بقياس الفاعلية الإشعاعية في كامل جسم الحيوان باستخدام مراقب إشعاعي خاص.

بعد أن غذيت الحيوانات على الكريات النشطة إشعاعياً، أعطيت (تناولت) ثلاث من الأغنام الست جرعات يومية تحوي 500 غ من ميسيليوم حامض الليمون المخلوط مع 200 غ من كريات من العشب، حين أعطيت الحيوانات الثلاثة الأخرى مأمقاره 700 من الكريات العشبية وحدها.

الصحة البيئية» ستشعر ديفيس وخمسة من زملائها ورقة تشير فيها إلى هذه المواد الكيميائية «كأسباب لسرطان الثدي يتوجب الوقاية منها».

«إن الفرضية البيئية مثيرة للغاية ومهمة علمياً، وسنقوم بتتبعها والتحقق منها»، يقول س. بريدر S. Broder، مدير المعهد القومي للسرطان في الولايات المتحدة: «إنها مسألة ذات أولوية عالية بكل تأكيد».

وفي وقت مبكر من هذا العام، نشرت مجلة المعهد ورقة مبدئية لـ ماري وولف M. Wolff من المدرسة الطبية لـ Mount Sinai في نيويورك. لقد حَلَّت وولف عينات دم مجمدة مأخوذة من نساء تشكّل عندهن سرطان الثدي حديثاً، ووجدت أن هذه العينات تحوي سويات من الـ DDE، وهو أحد المركبات الناتجة عن تفكك الـ DDT، أعلى بكثير مما يوجد منه عند نساء لم يتشكل عندهن سرطان الثدي. ويعتقد باحث آخر، وهو ل. برادول L. Bradlow من جامعة كورنيل Cornell في نيويورك، أنه وجد الآلية الكيميائية الحيوية التي تشرح هذا الاكتشاف. لقد وضح أن مركبات الكلورين العضوية تعزز الطريق

D.L.Davis، عالمة سموم وعضو استشاري في سكرتارية المساعدة الصحية في الولايات المتحدة الأمريكية. ويجب استعراض صفات المواد الكيميائية من حيث محاكاتها لهرمون الأستروجين. oestrogen. قبل الإفراج عنها للاستخدام في البيئة المحيطة، تقول ديفيس.

ولقد ارتبط اسم الأستروجين بسرطان الثدي منذ فترة طويلة، كما تدل وقائع وبائية، الأمر الذي يربط بين درجة المخاطرة للإصابة عند المرأة وبين درجة التعرض المقدرة لهذا الهرمون، ومن خلال ما اكتشف من أن الأستروجين يحث خلايا الثدي على الانقسام بصورة سريعة. والآن يتوخى بعض العلماء أن الجرعة (العيارات) المفرطة لمركبات شبيهة بالأستروجين موجودة في البيئة المحيطة يمكن أن ترفع كميات هرمون بعض النساء اللواتي يتلقينه إلى السويات الخطرة.

«إنني لأستطيع أن أقول لكم أن مبيدات الآفات تسبب سرطان الثدي»، تقول ديفيس، «ولكن الملوثات شبيهة الأستروجين تتوافق مع الأنماط غير المتوقعة من حوادث سرطان الثدي وزيادة معدله المملقة للنظر». وتشير الوقائع إلى أن نسبة الوفيات بسرطان الثدي في الولايات المتحدة قد ارتفعت منذ الأربعينيات إلى نحو 1% كل عام. وتقدر ديفيس وفريقها أن عوامل المخاطرة المثبتة من أجل حدوث سرطان الثدي، مثل: الطمث المبكر، الحمل المتأخر، الوصول المتأخر لسن اليأس، مع تواتر المرض ضمن العائلة، تتوافق مع 30% فقط من هذه الحالات.

ومن سجلات مواد كيميائية صناعية - بما في ذلك مبيدات الآفات المشتعلة على مشتقات الكلورين العضوية مثل الـ DDT بالإضافة إلى ثنائي الفينيل عديد الكلور (PCBs) يتضح بأنها معروفة الآن بكونها تعمل كأستروجينات ضعيفة، كما يقول ج. ماك لاشلان J. McLachlan، وهو عالم ومدير المعهد القومي لعلوم الصحة البيئية في كارولينا الشمالية. وتملك بعض هذه الكيميائية نصف عمر طويل ويمكنها أن «تتراكم بيولوجياً»، أي أنها تدخل في بنية المدخرات الدسمة والسلسلة الغذائية. وفي العدد الشهري المقبل من «آفاق في



حصاد مرير: الملوثات يمكن أن تفسر ازدياد السرطان

لا يتناسب أبداً مع مانع له عن نزعة انتشار سرطان الثدي».

- تشكر إدارة مجلة عالم الذرة مجلة *New Scientist* للسماح لها بترجمة هذا الخبر ونشره.

10- جرع منخفضة تساعد جمل التصحيح في الخلايا البشرية *

تشير نتائج البحوث أكثر فأكثر إلى أن تعريض الأنسجة الحية إلى جرع منخفضة من الأشعة لا يكون عديم الأذية فقط، ولكنه يكون مفيداً. إن فريقاً في مخبر شالك ريفر Chalk River في كندا قد كتب أن الخلايا الجلدية البشرية المعرضة إلى جرعة كلية من 0,5 غراي أعطيت بمعدل 0,5 ملّي غراي في الدقيقة تستطيع أن تعزز مقدرتها على تصحيح التكرسات الحادثة في جزيئات حمضها الريبي النووي منقوص الأوكسجين (DNA). وفي وقت مبكر من هذا العام، كتب باحث فرنسي أن التعرض إلى سويات منخفضة من الأشعة يمكن أن يعزز مقدرة الخلايا على مقاومة تأثيرات الجرعة العالية جداً (NN, Aug. 1993, P.68).

وكان الفريق الفرنسي يتطلع إلى معرفة فيما إذا كان التشعيع يجعل الخلايا قادرة على التعامل مع تشعيع أكثر بصورة أفضل، ولكن الفريق الكندي الذي قام بدراسة أجراها أ.ي. عزام E.I. Azzam و س.م. دو توليدو S.M. de Toledo، و ج.ب. رافورست G.P. Raaphorst، و ر. ميتشيل R. Mitchell يأمل أن يجعل التشعيع الخلايا في حالة أفضل بصورة عامة، وذلك بتحسين آلية الترميم الذاتي الأساسية.

لقد أخبر ميتشيل مجلة NN أن فريق شالك ريفر يعتقد أنه يجب أن يكون هناك آليتان أساسيتان في استجابة الخلايا إلى جرعة منخفضة. الأولى تقضي أن التشعيع يمكن أن يزيد مقدرة جملة التصحيح

الاستقلابي الذي يقلب الاستراديول، وهو أستروجين الجسم الأكثر كفاءة، إلى 16-alpha-hydroxyoestrone، الذي يحث خلايا الثدي على الانقسام ويُقلع بالتالي عملية تشكل أورام. ولكن ليست جميع الأستروجينات «سيئة» لهذا الحد، تقول ديفيس؛ فقد أشارت إلى أن الأستروجينات المستعملة في موانع الحمل التي تؤخذ عن طريق الفم أو أثناء العلاج الهرموني البديل HRT لا يتوجب أن يكون لها هذا الأثر الاستقلابي. ولم يتم البرهان على وجود ارتباط بين استعمال الـ HRT أو حبوب منع الحمل وبين حدوث سرطان الثدي.

ولكن لم يتم التأكد من جميع الحجج التي كتبتها ديفيس في هذا المجال. يقول ج. بيتو J. Peto من معهد البحوث السرطانية في لندن بأنه معجب بأعمال ديفيس، ويسعى للبرهان على ما يربط بين سرطان الثدي وبين الإفاضة الهرمونية.

ويحتمل أن تعكس مثل هذه التوافقات مدى التغيرات الحاصلة في أنماط الحمل التي تغير حالة النساء الخاضعات لتأثير الأستروجين. إذ تميل النساء فاضات الأستروجين إلى الحمل في وقت متأخر من حياتهن، كما ينجبن عدداً قليلاً من الأطفال، كما تقول فاليري برال V. Beral، مديرة مؤسسة البحوث السرطانية الملكية - وحدة الباثيات السرطانية في أوكسفورد. إنها تشك في أن يكون للأستروجينات البيئية أي تأثير ولو صغير، هذا إن كان لها أي تأثير. «ليس هناك ارتفاع مفاجيء في معدل الموت من سرطان الثدي منذ تداول مضادات الآفات. لقد بقي معدل التزايد ثابتاً بنحو أدنى من 1% في العام». وفي بريطانيا، يعود تاريخ معدل التزايد إلى بداية هذا القرن، «وقبل تداول مضادات الآفات بوقت طويل»، تقول فاليري.

أكثر من ذلك، تسوق برال الحجج، «إذا كانت مقولة وولف بأن هناك ارتباطاً بين ارتفاع كبير في المخاطرة بحدوث سرطان الثدي وبين فرق صغير في ترايد سوية مضادات الآفات صحيحة، فيجب توقع ارتفاع معدل حدوث سرطان الثدي أضعافاً عديدة خلال الثلاثين أو الأربعين سنة الماضية. إن هذا

المنخفضة التي يمكن أن تكون مفيدة، يقول ميتشيل أن بعض الجرعة يمكن أن تطرح من الإجمالي لإعطاء فكرة أوضح عن كيفية حدوث ضرر ما .

- تشكر إدارة مجلة عالم الذرة مجلة *Nuclear News* للسماح لها بترجمة هذا الخبر ونشره .

الخلوية لإنتاج إنزيمات مطلوبة . أما الأخرى فتقضي أن جرعة مزمنة تؤخر عملية الانقسام الخلوي، مانحة الخلية وقتاً أكثر لتصحيح الأذيات قبل القيام بالانقسام . لقد ذكر ميتشيل أن الرؤيا التقليدية لكيفية تأثير الجمل الحية بالتشعيع تكون بإضافة جميع الجرعة معاً ويستدل من الأذية مايمكن أن تفعله مثل هذه الجرعة، والآن، وبواسطة بعض الجرعة

ورقات المحوٲ

استقرار الباي بولارون في الترانس بولي استيلين بوساطة الاقتران بين السلاسل*

محمد خير صبرة

قسم الفيزياء - هيئة الطاقة الذرية السورية - دمشق - ص. ب 6091

ج. أ. بلاك مان

قسم الفيزياء - جامعة رونغ، وايت نايتس، رونغ RG6 2AF - المملكة المتحدة

ملخص

تُعد الباي بولارونات غير مستقرة في السلاسل البوليميرية المتفسخة (المتنكسة) المنفردة لأنها تتفكك إلى سوليتونات وسوليتونات مضادة. يبد أن الاستقرار سيظهر نتيجة الاقتران الإلكتروني بين المدارات π على السلاسل المتجاورة. أجريت الحسابات العددية التي تقدّر الحجم الفضائي للباي بولارون المستقر بوساطة الاقتران بين السلاسل $interchain\ coupling$.

المقدمة

التشكيل المتوازي أصغرياً. ولا تعتمد النتيجة بشكل أساسي على شحنة السوليتون لأن الحالة الإلكترونية المتوضعة في ثغرة الطاقة بقيت غير منشطرة مستقلة بذلك عن المسافة الفاصلة بين السوليتونين. أظهر العمل [5] بأن التشكيل المتوازي للروابط يمكن أن يكون مفضلاً طاقياً إذا كان حد الوثب متناوباً بالإشارة على طول السلسلة. هذا وقد اعتبرت أوراق بحث أخرى [6-9] مفاهيم أخرى للوثب بين السلاسل ضمن النموذج SSH.

حُسبت في العمل المشار إليه طاقة الربط $binding\ energy$ لسوليتونين متموضعين على سلسلتين مختلفتين. تنشطر حالة ثغرة الطاقة، من أجل سوليتون وسوليتون مضاد موجودين معاً في سلسلة واحدة ويعتمد سلوكهما على شحنة الزوجين. فمن أجل سلسلة منفردة تكون البولارونات (سوليتون وسوليتون مضاد مقيدان مع إلكترون أو ثقب) مستقرة. بينما تكون الإشارات ثنائية الشحنة (الباي بولارونات) غير مستقرة وتتفكك إلى سوليتونين مشحونين ومستقلين. وبالطبع، تكون الباي بولارونات مستقرة في حالة البوليميرات بحالات طاقة دنيا متفسخة.

حقق فهم الخواص الإلكترونية للبوليميرات الناقلة تقدماً ملحوظاً بعد استخدام النماذج (الطرز) أحادية البعد $one-dimensional\ models$ وخاصة النموذج SSH [1, 2]، الذي اقترحه سو Su، وشريفر Schrieffer، وهيغر Heeger؛ المستخدم بشكل واسع. أدى تزايد ظهور النتائج التجريبية حول العينات البلورية إلى ازدياد الاهتمام بتأثير الاقتران بين السلاسل.

اعتبرت الدراسات المبكرتان [3, 4] للتأثيرات الناجمة عن وجود ترانس بولي استيلين في حيز ثلاثي الأبعاد، سلسلتين وُصِفَت كل منهما بالهماملتوني SSH مع إضافة حد يمثل الوثب hopping الإلكتروني البسيط بين المدارات π على السلسلتين. لقد وجد المؤلفان أن ترتيب الروابط اللامتوازي $antiparallel\ bond\ arrangement$ (روابط مضاعفة في إحدى السلاسل في جور روابط أحادية في سلسلة أخرى)، كان مفضلاً طاقياً على التشكيل المتوازي (الروابط المتجاورة في السلسلتين متشابهة). كما أخذت الإشارات اللاخطية (سوليتون، بولارون، باي بولارون) بعين الاعتبار، وقد تبين أنه في حال وجود سوليتونين على سلسلتين مختلفتين، هناك تقييد $confinement$ لجعل طول

* نشرت ورقة البحث هذه في مجلة Polymer, 1990, Vol 31, April. راحمها الدكتور محمد قعق - لجنة التحرير - هيئة الطاقة الذرية السورية.

حصلنا على التشكيل ذي الطاقة الصغرى بصورة تكرارية وذلك بحساب المجموعة $\{\partial E/\partial u_{j,n}\}$ من خلال عملية تقطير المصفوفة $2N+1$ مرة وبعد تحسين التشكيل $\{u_{j,n}\}$ باستخدام الخوارزمية:

$$u_{j,n} \rightarrow u_{j,n} + \delta \partial E/\partial u_{j,n}$$

حيث اختيرت δ تجريبياً.

بإعطاء تشكيل مبدئي مناسب للازاحات، فإن التقارب يكون نوعاً ما سريعاً. وجدنا أن الشكل الابتدائي المناسب من الازاحات للبدء في عملية التكرار معطى بـ:

$$u_{1,n} = (-1)^n u_0 \begin{cases} -\tanh[(n-n_1)/\xi] & n < n_0 \\ \tanh[(n-n_2)/\xi] & n \geq n_0 \end{cases} \quad (2a)$$

$$u_{2,n} = -(-1)^n u_0 \quad (2b)$$

حيث $n_0 = (n_1 + n_2)/2$. أوجدنا القيم المثلى لـ n_1 و n_2 عن طريق التحري. وتمثل القيمة $(n_2 - n_1)$ حجم الباي بولارون التقريبي. أجريت الحسابات من أجل أطوال مختلفة للسلاسل. وقد تبين أن الطول $N=128$ كافٍ لتمثيل السلسلة اللانهائية.

النتائج

نسرد فيما يلي القيم التي كثيراً ما ترد للدلالة على الوسطاء المستخدمة في النموذج وهي $t_0=2.5\text{eV}$ ، $\alpha=5.6\text{eV \AA}^{-1}$ ، $K=40\text{eV \AA}^{-2}$. تعطي القيمتان $u_0=0.04\text{\AA}$ و $\xi=8\text{\AA}$ في المعادلة (2) شروطاً جيدة للبدء في التكرار. حُسب حجم الباي بولارون l من أجل عدة قيم t_1 لشدة الاقتران بين السلاسل. نعرف الحجم على أنه عدد المسافات الشبكية الفاصلة بين نقطتين من سلسلة حيث تغير $u_{1,n}$ إشارة $(-1)^n$ إشارتها بعد الحصول على الطاقة الدنيا. يُظهر الشكل (1) كتاب l لـ $\ln t_1$. وكما هو متوقع يستقر الباي بولارون بسبب وجود الاقتران بين السلاسل وتزداد طاقة التقييد مع ازدياد t_1 .

يمكن فهم سلوك الباي بولارون كما يلي: يمكن كتابة الطاقة الكلية بشكل تقريبي على النحو:

$$E = E_0 + A \exp(-l/\rho) + B t_1^2 \quad (3)$$

يُتوقع أن يكون الباي بولارون مستقراً في البيئة ثلاثية الأبعاد حتى في حالة البوليميرات المتكسكة. إن الميل إلى التفكك في السلسلة المنفردة تقاومه تكلفة الطاقة المتزايدة مع المسافة الفاصلة بين السوليتون والسوليتون المضاد. تنشأ هذه الطاقة نتيجة ترتيب الروابط غير المرغوب فيه، وسوف يحدد التوازن حجم الباي بولارون.

نسجل في هذا العمل بعض النتائج الطاقية للحسابات العددية التي أجريناها حول وجود الباي بولارون على سلسلة مقترنة مع سلسلة أخرى خالية من إثارات لاخطية. فقد استخدمنا النموذج SSH مع حد وثب بين السلسلتين، وقمنا بتخفيض الطاقة السكونية لسلاسل طويلة إلى الحد الأدنى. تكون السلاسل الأطول من 100 وحدة (CH) كافية لتقريب سلوك السلاسل اللانهائية.

النموذج والحسابات

اعتمدت الحسابات على الجزء السكوني للهاميلتون SSH من أجل زوج من السلاسل مع حد تأثير متبادل interaction term بسيط بينهما:

$$H = -\sum_{j,n} [t_0 + \alpha(u_{j,n} - u_{j,n+1})] a_{j,n}^\dagger a_{j,n} - t_1 \sum_n a_{1,n}^\dagger a_{2,n} + \text{h.c.} + (K/2) \sum_{j,n} (u_{j,n+1} - u_{j,n})^2 \quad (1)$$

حيث $u_{j,n}$ إزاحة الوحدة CH في الموضع n من السلسلة j ($j = 1, 2$) و $a_{j,n}^\dagger$ ، $a_{j,n}$ مؤثراً البناء والبناء للإلكترونات على الترتيب.

من أجل التشكيل الخاص $\{u_{j,n}\}$ وجدت القيم الخاصة للسلاسل المنتهية بطريقة تقطير المصفوفة (جعلها قطرية). فلقد استخدمنا سلاسل ذات عدد زوجي من الوحدات (N لكل سلسلة) وشروط حدية دورية للتخلص من تأثير النهايات. ولدراسة الباي بولارونات، حسبنا الطاقات الكلية E من أجل نظم مؤلفة من $2N+2$ إلكترونات. يقتضي طيف الطاقة المتناظر حالة تطابق الطاقة الكلية للنظم المؤلفة من $2N-2$ إلكترونات (باي بولارون مع ثقبين) مع الطاقات الكلية للنظم المؤلفة من $2N+2$ إلكترونات.

تقودنا الحسابات [4-3] من أجل سوليتون على كل سلسلة إلى استنتاج أن B هي $(\pi t_0)^{-1}$ والتي تتطابق مع حساباتنا ضمن الدقة العددية.

الاستنتاج

لقد عرضنا بشكل كمي استقرار الباي بولارون بسبب الاقتران بين السلاسل. على أي حال: فالبولارونات مستقرة والاقتران سوف يعدل وضعها بشكل قليل. القيمة المذكورة لـ t_1 في الدوريات هي 0.1eV والتي تؤدي حسب نتائجنا إلى إيجاد باي بولارون بحجم 23 مسافة شبكية. لكن في ظروف ثلاثية الأبعاد وبوجود أربع سلاسل متجاورة، بدلاً من واحدة، فإن الطاقة الكلية (المعادلة 3) سوف تستبدل $4B$ بـ B ، مما يؤدي إلى وجود حد تقييد إضافي في المعادلة (4) وهو $4 \ln \rho$. من أجل القيمة $t_1 = 0.1\text{eV}$ يتناقص الحجم 23 ليصبح 17.

ألقت بعض التجارب [10] الشك حول أفضلية أن يكون الترتيب اللامتوازي هو حالة الطاقة الدنيا. وأوضح كل من بارسل Baeriswyl وماكي Maki كيفية التوفيق بين هذه النتائج والطرز SSH الموسع. يمكن توسيع الإجراء العددي الموصوف هنا ليشمل هذا الطراز المعقد والعمل قائم للبحث في هذا المضمار. على أي حال: إن وصف تقييد الباي بولارون بدلالة التأثيرات التنافسة كما هو مصاغ في الحدود المقاربة الممثلة بالعلاقة (4) يجب أن يكون كافياً.

REFERENCES

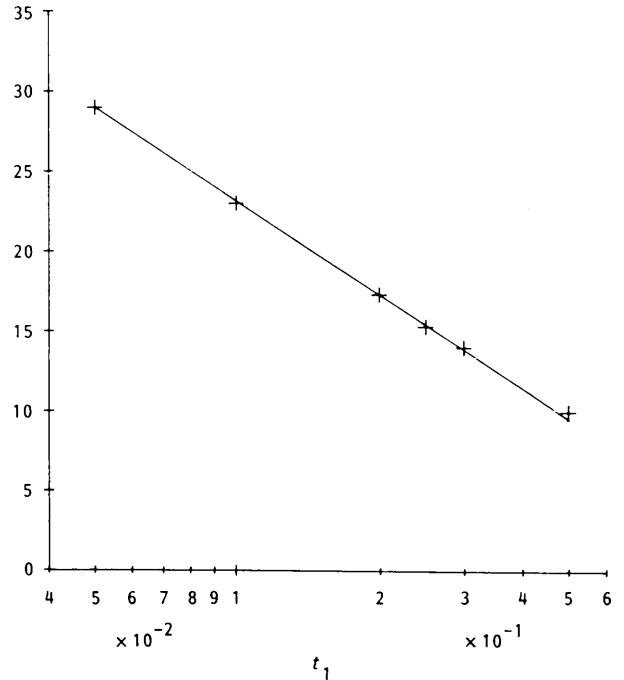
- [1] Su, W. P., Schrieffer, J. R. and Heeger, A. J. *Phys. Rev.* 1980. **B22**, 2099; 1983, **B28**, 1138 (E).
- [2] Heeger, A. J., Kivelson, S., Schrieffer, J. R. and Su, W. P. *Rev. Mod. Phys.* 1988, **60**, 781.
- [3] Baeriswyl, D. and Maki, K. *Phys. Rev.* 1983, **B28**, 2068.
- [4] Danielsen, P. L. and Ball, R. C. *J. Phys. (Paris)* 1985, **46**, 131.
- [5] Baeriswyl, D. and Maki, K. *Phys. Rev.* 1988, **B38**, 8135.
- [6] Gartstein, Y. N. and Zakhidov, A. A. *Synth. Met.* 1989, **28**, D501.
- [7] Baeriswyl, D. and Maki, K. *Synth. Met.* 1989, **28**, D507.

المراجع

يتمثل الحد الثاني نتيجة تأثير التراكب overlap بين السوليتون والسوليتون المضاد وهو ما يسبب التفكك في السلسلة المنفردة. يأتي الحد الثالث من الاقتران بين السلسلتين في تقريب المرتبة الثانية لنظرية الاضطراب وتمثل المسافة 1 بين السوليتون والسوليتون المضاد طول الترتيب المتوازي غير المرغوب فيه. تعطى قيم t_1 المعبرة عن الطاقة الدنيا بالعلاقة:

$$l = \rho [\ln(A/B\rho) - 2 \ln t_1] \quad (4)$$

يمكن التأكد من أن الشكل 1 يمثل المعادلة (4) بشكل جيد. ويمكن تحديد قيمة ρ من ميل المنحني وهي 4.5 (مسافة شبكية). أما النسبة A/B فيمكن تحديد قيمتها من تقاطع المنحني مع المحور x وهي 8.8eV^2 . تم الحصول على B بفحص طاقة الجملة عندما كانت المسافة بين السوليتون والسوليتون المضاد كبيرة. لذلك يمكن إهمال مساهمة الحد الثاني للمعادلة (3) وبالتالي تكون المعادلة (2) تمثيلاً دقيقاً للازاحات ضمن هذا القيد. حصلنا على قيمة B ومن ثم قيمة A فوجدناهما 0.125eV^{-1} و 1.1eV على التوالي.



الشكل 1- الحجم الفضائي l (مسافة شبكية) للباي بولارون من أجل عدة قيم للاقتران بين السلاسل $t_1(\text{eV})$.

- [8] Fesser, K. *Synth. Met.* 1988, **25**, 1.
[9] Fesser, K. *Phys. Rev.* 1989, **B40**, 1962.

- [10] Kahlert, H., Leitner, A. and Leising, G. *Synth. Met.* 1987, **17**, 467.

Key Words

الكلمات المفتاح

- 1- trans-polyacetylene. ترانس بولي استيلين
2- bipolarons باي بولارون
3- SSH model نموذج SSH
4- interchain coupling. الاقتران بين السلاسل

طريقة مبسطة للتقدير العاجل لأعمار النصف للنكليدات المشعة قصيرة العمر*

توفيق ياسين - ابراهيم عثمان
قسم الوقاية الإشعاعية والأمان النووي - هيئة الطاقة الذرية السورية - دمشق - ص. ب 6091

ملخص

اقترحت طريقة جديدة لتقدير أعمار النصف للنكليدات المشعة قصيرة العمر. تعتمد هذه الطريقة على حساب عمر النصف باستخدام التعداد الكلي خلال فترتين زمنيتين بحيث تكون الفترة الثانية متضمنة الأولى. الصيغة المقترحة بسيطة وسهلة الاستخدام وخاصة في الحالة التي تكون قيمة فترة التعداد الأولى مساوية لنصف قيمة فترة التعداد الثانية.

هذين الزمنين، واشتق علاقة تمثل نسبة التعداد الكلي خلال فترتين مختلفتين وتبدأ بنفس اللحظة كنابغ لثابت التفكك.

استخدمت العلاقة المشتقة لحساب ورسم النسبة R لعدة قيم نموذجية لأعمار النصف، سميت المنحنيات الناتجة بـ آهاغراف Ahagraph واستخدمت لاستقراء عمر النصف الموافق للنسبة التجريبية R. لهذه الطريقة بعض المساوئ منها ضرورة التحضير المسبق للآهاغراف بغرض الاستقراء وعلاوة عن ذلك فالافتراض بأن هذه الآهاغرافات خطوط مستقيمة صحيح فقط عند جزء صغير من المنحني.

لتحاشي الحاجة لرسم منحنيات الآهاغراف بقصد تقدير $T_{1/2}$ ، تم اقتراح طريقة تعتمد على حسابات مبسطة تجعل عملية تحديد أعمار النصف سريعة ودقيقة. تعتبر الطريقة المقترحة مفيدة جداً في برامج التحليل بالتنشيط حيث تستخدم أعمار النصف لتمييز الهوية بالإضافة إلى الطاقة وهذا يتطلب تخزين طيف غاما خلال فترتين مختلفتين.

طريقة الحساب

تعتمد هذه الطريقة على رياضيات بسيطة بحيث تتضمن الصيغة الناتجة باستخدامها مجموع معدلات

مقدمة

إن لأعمار النصف للنكليدات المشعة أو ثوابت تفككها تطبيقات هامة في العلوم والتكنولوجيا النوويتين إذ تميز القيم التي تأخذها هوية النكليدات المشعة؛ كما أن لها دوراً رئيسياً في تحديد معامل تصحيح التفكك وكذلك النمو عند قياس النشاط الإشعاعي، لذا يلزم إجراء قياسات دقيقة لأعمار النصف. تم تطبيق عدة طرائق لتحديد أعمار النصف للنكليدات المشعة [1] ولكن لكل منها بعض المساوئ وتعتبر الطريقة البيانية الأكثر شيوعاً من أجل أعمار النصف، المتوسطة والقصيرة. تعتمد هذه الطريقة على رسم لوغاريتم النشاط المقاس بدلالة الزمن والذي يؤدي إلى خط مستقيم ميله $\lambda = \ln 2 / T_{1/2}$ حيث λ ثابت التفكك و $T_{1/2}$ عمر النصف.

لاتلائم هذه الطريقة للنكليدات المشعة ذات الأعمار القصيرة ولا ضعيفة النشاط الإشعاعي لأن تناقص النشاط في أثناء فترة التعداد مرتبط أسياً بالزمن، مما يؤدي إلى عدم دقة في تحديد موقع معدل التعداد على محور الزمن، وهذا يجعل اختيار منتصف فترة التعداد على محور الزمن غير دقيق [2].

اقترح أهافيا [3] طريقة جديدة لقياس أعمار النصف تعتمد على افتراض أن التعداد الكلي المقاس بين زمنين t_1 و t_2 مساوي إلى الفرق في النشاط عند

رياضية مناسبة. استخدمت في هذه الدراسة طريقة نيوتن لحل المعادلة (2).

القسم التجريبي

1- تحضير المنبع

يبين الجدول 1 النكليدات المشعة المختارة لتطبيق هذه الطريقة. تم إنتاج كافة النكليدات المشعة في هذا الجدول باستثناء التكنيشيوم 99m بتثبيط عناصرها بالنترونات الحرارية من منبع نتروني $Am-241/Be$ محاط بشمع البارافين ويعطى تدفقاً نترونياً حرارياً يقدر بحوالي $10^5 n \text{ cm}^{-2} s^{-1}$. تختم العنصر الدريثة في أنبوب بولي إيثيلين وتم تشيعه. أما التكنيشيوم 99m فقد حصل عليه من مولد تكنيشيوم 99m (CIS فرنسا).

2- اجراءات التعداد

تمت قياسات النشاط الإشعاعي باستخدام مطيافية غاما عالية الفصل. استخدم كاشف جرمانيوم عالي النقاوة HPGe (الحجم الفعال 100 cm^3 ، الكفاءة النسبية 15%) من أجل الكشف وعولج الخرج المضخم باستخدام محلل متعدد الأقنية (4k) نوع Canberra 35+. اختيرت قمة الطاقة الأكثر كثافة لكل نكليد من أجل التعداد. يلخص الجدول 1 الميزات والشروط التجريبية للنكليدات المدروسة.

النتائج والمناقشة

بما أن احصاء التعداد يرتبط بمعدل العد وفترة التعداد، فإنه من المتوقع أن يؤثر هذان العاملان بشكل كبير على صحة ودقة قيم أعمار النصف المحسوبة. أجريت أولاً محاولات لجعل فترات التعداد بتابعة قيم عمر النصف بالصورة الأمثل. اختير التكنيشيوم 99m لهذه الدراسات بسبب توافره وعمره النصف المناسب (6.02h) والذي يسمح بالتعداد ضمن مجال زمني واسع.

تم تعداد منبع تكنيشيوم 99m ذي نشاط إشعاعي قدره حوالي 350 Bq لفترة قدرها $2 \times 10^4 s$. وسجل التعداد الكلي تحت القمة الضوئية الموافق للطاقة 141keV خلال فترات زمنية قدرها 1000s ثم حسبت قيم عمر النصف من أجل نسب مختلفة

التعداد خلال فترات التعداد. إذ من المعروف أن النشاط الإشعاعي لنكليد مشع في أي لحظة زمنية t يعطى وفق قانون التفكك:

$$A_t = A_0 e^{-\lambda t}$$

حيث A_0, A_t النشاط الإشعاعي في اللحظتين صفر و t على الترتيب. و λ ثابتة التفكك. عند عد نكليد مشع بمرودود تعداد ϵ يمكن تمثيل معدل التعداد في اللحظة t بـ

$$C_t = \epsilon A_t = \epsilon A_0 e^{-\lambda t}$$

يكون التعداد الكلي خلال فترة T مساوياً إلى مجموع معدلات العد خلال هذه الفترة، ولهذا تكون نسبة التعداد الكلي خلال فترتين زمنيتين مختلفتين T و T' مساوية إلى نسبة تكاملي معدل العد أثناء الفترتين. وهذا يؤدي إلى

$$\frac{C_T}{C_{T'}} = \frac{1 - e^{-\lambda T}}{1 - e^{-\lambda T'}} \quad (1)$$

هذه العلاقة مماثلة لتلك المقدمة من قبل آهافيا [3]. والآن بافتراض أن $T' = nt$ حيث n عدد صحيح يكون لنا:

$$\sum_{i=0}^{n-1} e^{-i\lambda T} - \frac{C_{nT}}{C_T} = 0. \quad (2)$$

يمكن استخدام المعادلة (2) لتحديد قيم λ أو $T_{1/2}$ بأخذ القيم التجريبية لنسبة تعدادين كليتين خلال فترتين مختلفتين تبدآن في نفس اللحظة، وحل المعادلة (2) من أجل أية قيمة لـ n . فمن أجل $n=2$ نحصل من المعادلة (2) على:

$$T_{1/2} = \frac{\ln 2}{\lambda} = -\frac{\ln 2}{\ln(C_{2T}/C_T - 1)} T. \quad (3)$$

ومن أجل $n=3$ وبأخذ الحل الموجب للمعادلة (2) نحصل على:

$$T_{1/2} = \frac{\ln 2}{\lambda} = \frac{\ln 2}{\ln\{2[\sqrt{1 - 4(1 - C_{3T}/C_T) - 1]}\}} T. \quad (4)$$

يمكن حساب أعمار النصف بسهولة فائقة باستخدام المعادلتين (3) و (4). بينما من أجل قيم أعلى لـ $n = T/T'$ يكون من الضروري حل معادلة من الدرجة $n-1$ باستخدام طرائق

الجدول 1 - بعض خواص التكيدات المشعة المدروسة

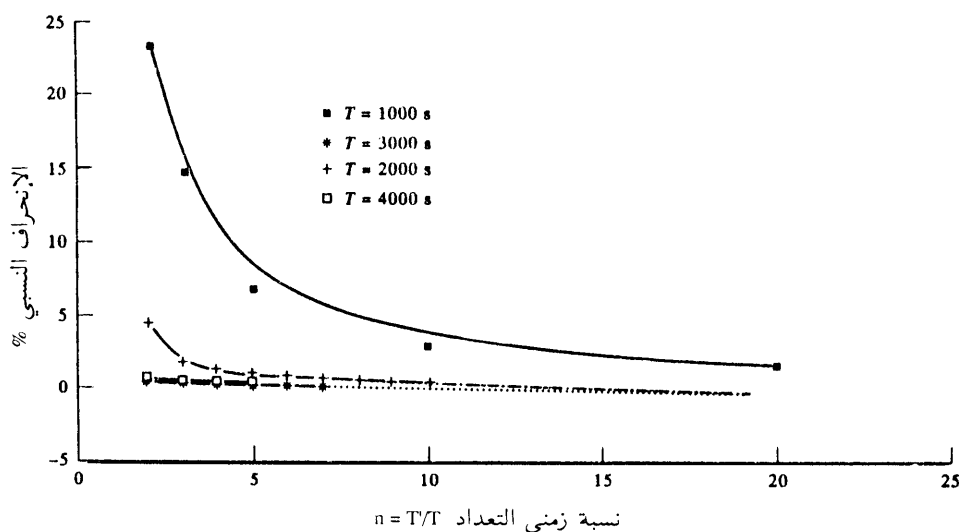
النكليد	تفاعل الإنتاج	عمر النصف	المقطع الفعال barn	طاقة غاما keV	زمن التشعيع
Mn-56	$Mn^{55}(n,\gamma)Mn^{56}$	2.58 h	13.3	847	20 h
I-128	$I^{127}(n,\gamma)I^{128}$	25 m	443	443	3 h
Ag-108	$Ag^{107}(n,\gamma)Ag^{108}$	2.41 m	633	633	20 m
Ag-110	$Ag^{109}(n,\gamma)Ag^{110}$	24.6 s	89	658	3 m
Tc-99m	$Mo^{99} \rightarrow Tc^{99m}$	6.02 h	—	141	—

الأعمار القصيرة أكبر ($1/5 T_{1/2} - 1/2 T_{1/2}$) للسماح في تحسين الإحصاء . تعطى النتائج في الجدول 2 .

تبين هذه النتائج أن القيم المحسوبة لأعمار النصف هي بشكل عام على توافق جيد مع القيم المدونة في الجداول . ويتوضح من الجدول 2 تناقص الانحراف النسبي من أجل التكيدات المشعة ذات أعمار النصف من مرتبة الساعات (Tc-99m, Dy-165, Mn-56) وبمعدل تعداد حوالي 3-5s ، من حوالي 2% من أجل $T = (1/9 T_{1/2} - 1/7 T_{1/2})$ و $n=2$ إلى أقل من 1% من أجل أية قيم أكبر لـ T و n . وبينما يتطلب ، في حالة التكيدات المشعة الأقصر عمراً بأعمار النصف من مرتبة الدقائق (Ag-108, I-128) وبمعدل عد حوالي 2-5s ومن أجل انحراف نسبي أقل من 1% ، زمن تعداد قدره حوالي $1/5 T_{1/2}$ و $n=5$ أو $1/3 T_{1/2}$ مع أية قيمة لـ n . يملك Ag-110 عمر نصف أقل من نصف دقيقة ويعطى انحرافاً نسبياً منخفضاً جداً

لفترات التعداد ($n=T/T$) باستخدام المعادلة (2) . تمت مقارنة القيم الحاصلة مع القيمة المدونة 6.02h واعتبر الانحراف النسبي عن هذه القيمة بمثابة الخطأ النسبي . يبين الشكل 1 تغير الانحراف النسبي لقيم عمر النصف المحسوبة بتغير نسبة زمني التعداد ($n=T/T$) والتي تشير إلى أن دقة قيم عمر النصف المحسوبة تزداد عند زيادة فترة التعداد الأولى وعند زيادة نسبة فترة التعداد (n) .

من الواضح أن الخطأ النسبي في حالة $T=1000s$ ($1/22 T_{1/2}$) حوالي 23% من أجل ($n=2$) . تنخفض هذه القيمة إلى حوالي 1.5% من أجل ($n=20$) كما تؤدي زيادة فترة التعداد الأولى إلى 3000s إلى نتائج دقيقة حيث كان الانحراف النسبي $< 0.5\%$ من أجل أية قيمة لـ T و n . طبقت هذه الطريقة على نكليدات مشعة ذات أعمار النصف المتباينة آخذين بعين الاعتبار أن تكون فترة التعداد أكبر من $1/8 T_{1/2}$ واختيرت بأن تكون من أجل النكليدات المشعة ذات



الشكل 1 - تغير الانحراف النسبي مع نسبة زمني التعداد

الجدول 2 - أعمار النصف والانحراف النسبي لبعض النكليدات المشعة والمحددة بالطريقة المقترحة .

الانحراف النسبي %	عمر النصف المحسوب	التعداد الكلي الثاني	التعداد الكلي الأول	فترة التعداد الثانية	فترة التعداد الأولى	عمر النصف الجدول	النكليد المشع
1.16	6.09 h	23850	12490	6000	3000	6.02 h	Tc-99m
0.00	6.02 h	52025	12490	15000	3000		
0.00	6.02 h	30831	16400	8000	4000		
1.88	24.53 m	1106	592	600	300	25 m	I-128
0.68	24.83 m	2283	592	1500	300		
0.24	24.94 m	1943	1106	1200	600		
2.23	2.64 h	7258	3761	2000	1000	2.5 h	Mn-56
0.00	2.58 h	16291	3761	5000	1000		
1.16	2.55 h	13498	7258	4000	2000		
0.00	2.41 m	737	235	250	50	2.41 n	Ag-108
0.41	2.40 m	646	399	200	100		
0.88	24.82 s	310	176	20	10	24 s	Ag-110
0.54	24.59 s	543	176	50	10		
0.45	24.49 s	486	310	40	20		

وضعة أيام. تتطلب تعداد المنبع المشع لفترتين زمنية الثانية فيهما من مضاعفات الأولى ثم يحسب عمر النصف وفق الصيغة المقترحة .

REFERENCES

- [1] Friedlander G., Kennedy J. W., Edward S. M. and Miller J. M. (1981) Determination of Half-Lives in Nuclear and Radiochemistry, pp. 308-311. Wiley-Interscience, New York.
- [2] Hoffman B. W. and Van Camerik S. B. (1967) A table and method for determining the time representing a count rate observed in reatio nuclear counting. Anal. Chem. 39, 1198.
- [3] Ahafia A. K. (1989) Ahagraphs: a new method for the accurate determination of half-lives. Appl. Radiat. Isot. 40, 407.
- [4] Lederer C. M. and Shirley V. S. (Eds) (1978) Table of Isotopes, 7th edn. John Wiley, New York.

المراجع

(21%) عند معدل عد حوالي 18s و $T > 2/5T_{1/2}$ من أجل أية قيمة ل: n .

تمت مقارنة هذه الطريقة مع طريقة آهافيا حيث أعيد حساب نتائجها باستخدام المعادلة (2) . بدا من المقارنة التوافق بين الطريقتين ، لكن هذه الطريقة تعتبر أسرع بكثير ولا تحوي أخطاء الرسم البياني . من محاذير هذه الطريقة كيفية التعامل مع النكليدات المشعة المجهولة والذي يمكن تجاوزه بإعادة الحسابات من أجل فترات تعداد مختلفة فإذا تم الحصول على نتائج مماثلة من أجل فترات مختلفة يمكن التأكيد على صحة القيمة المحددة .

الخاتمة

طريقة تحديد أعمار النصف للنكليدات المشعة قصيرة العمر دقيقة وسريعة ويمكن تطبيقها من أجل نكليدات مشعة ذات أعمار نصف تمتد بين الثواني

Key Words

- 1- half life. عمر النصف
- 2- short lived radio nuclides. النكليدات المشعة قصيرة العمر
- 3- decay constant. ثابتة التفكك
- 4- Tc-99m. تكنيشيوم-99m
- 5- I-128. يود-128
- 6- Mn-56. منغنيز-56
- 7- Ag-108. فضة-108
- 8- Ag-110. فضة-110

النفسانية العلمية

تطوير طريقة في التحليل الحجمي لتحديد اليورانيوم في حمض الفسفور السوري وفي المذيب DEHPA/TOPO المشحونين باليورانيوم*

يحيى قدسي - حبيب شليوط
قسم الكيمياء - هيئة الطاقة الذرية السورية - دمشق - ص. ب 6091

ملخص

تتضمن هذه الورقة تطويراً لطريقة معايرة حجمية لتحديد اليورانيوم في كل من حمض الفسفور السوري والمذيب المشحونين باليورانيوم، حيث يتم استخدام هذه الطريقة بنجاح لمراقبة عمل الوحدة المصغرة لاستخلاص اليورانيوم من حمض الفسفور السوري، بينما كانت تستخدم لتحديد اليورانيوم في العينات الصلبة فقط. ويمكن إيجاز هذه الطريقة بما يلي:

استخدام زيادة من أيونات الحديد في وسط من حمض الفسفور المركز وحمض السلفاميك، ثم أكسدة أيونات الحديد بحمض الآزوت باستخدام مولبيدات الصوديوم كوسيط والزيادة من أيونات الحديد تقوم باختزال U^{6+} إلى U^{4+} ، ومن ثم يتم اختزال أيونات الحديد إلى حديدي بوجود U^{4+} عند تمديد المحلول بالماء. ويعاير كلا من U^{4+} و Fe^{2+} بواسطة ديكرومات البوتاسيوم باستخدام سلفونات ثنائي فينيل أمين الباريوم كمشعر.

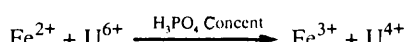
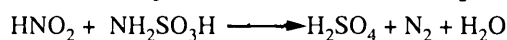
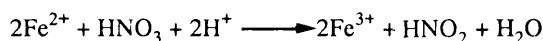
مقدمة

على الرغم من التطور الهائل لطرائق التحليل الآلي ومكائنتها المرموقة حالياً في مجال التحليل الكمي فإن الطرائق التقليدية لا تزال تحتفظ بأهمية كبيرة لتحليل اليورانيوم في محاليله المركزة نسبياً خاصة وأنها تعطي النتائج في وقت مقبول نسبياً وبصورة خاصة عند تحليل اليورانيوم في حمض الفسفور الخام المشحون أو في الطور العضوي المشحون، حيث يكون تركيز اليورانيوم فيها مرتفعاً. وتمكن طرق المعايرة الحجمية من تحديد اليورانيوم دون الحاجة لفصله مسبقاً (من طوري الاستخلاص سائل - سائل) حتى بحضور أيونات النترات والحديد والبلوتونيوم وغيرها من الأيونات التي تشكل تداخلاً معيقاً عند استخدام طرائق التحليل الآلي.

ويمكن إيجاز هذه الطريقة بما يلي: [1, 2, 3]

- استخدام زيادة من أيونات الحديد في وسط من حمض الفسفور المركز وحمض السلفاميك، ثم أكسدة أيونات الحديد بحمض الآزوت باستخدام

مولبيدات الصوديوم كوسيط تفاعل، والزيادة من أيونات الحديد تقوم باختزال U^{6+} إلى U^{4+} .
- تختزل بعد ذلك أيونات الحديد إلى أيونات الحديد بوجود أيونات U^{4+} عند تمديد المحلول بالماء المقطر وفق المعادلات المبينة أدناه:



وأخيراً يعاير كل من U^{4+} و Fe^{2+} بواسطة 0.050 N ديكرومات البوتاسيوم باستخدام سلفونات ثنائي فينيل أمين الباريوم كمشعر.



* تقرير عن بحث علمي أنجز في قسم الكيمياء - هيئة الطاقة الذرية السورية.

من التداخلات عدا تداخل كل من Br, V, I, Ag وتراكيز عالية نسبياً [7, 8].

الخاتمة

إن طرق المعايرة الحجمية لتحديد اليورانيوم [1, 6] تطبق عادة على العينات الصلبة التي تحتوي على < 0.5% في أوساط حمضية من حمض الكبريت أو حمض الآزوت، حيث قمنا بهذه الدراسة بتكريس هذه الطرق لتحديد اليورانيوم في المحاليل العضوية المستخدمة في العمليات المستمرة لاستخلاص اليورانيوم وحمض الفسفور السوري على السواء وذلك بتعديل بعض الإضافات في طريقة العمل.

وتمكننا بذلك من حل مشكلة تحديد اليورانيوم بالطورين المائي والعضوي بالسرعة والدقة المناسبتين، لمراقبة عمل وحدة الاستخلاص المستمرة لليورانيوم، متحاشين بذلك التداخلات المعدنية (أهمها الحديد).

REFERENCES

- [1] W. Gray and W. Davis. India Bombay B, A, R, C (1964). A rapid and specific volumetric method for the precise determination of uranium.
- [2] V. K. Manchanda, G. a. Rama Rao, and P. R. Nataraijan, Radio Chemistry Division, BARC (India), 1982.
- [3] N. Glenca. (1965).
- [4] Personal communication with the Indian scientists training course in the BARC (India), Habib Shlweit.
- [5] J. Basset, R. C. Denney, G. H. Jeffery and J. Mandhem. Long Man (1978). Text Book of Quantative Inorganic Analyses.
- [6] IAEA, P. 1, 82, 121. (1972). Analytical

المراجع

طريقة العمل [1, 4, 5]

يؤخذ 15 ml من العينة الحاوية ما بين 9-300 mg يورانيوم ويضاف إليها على التوالي:

5 ml من حمض السلفاميك 5 M ، 40 ml حمض فسفور مخبري مركز، 5 ml كبريتات حديدي، 5 ml من محلول (حمض نترك 0.4 M / حمض السلفاميك 0.1 M)، ثم يضاف 1 ml من مولبيدات الصوديوم 1%. يخض المزيج ويترك ليهدأ، ويضاف بعد ذلك 25 ml حمض كبريت نقي 9 M و 200 ml ماء مقطراً ثم 2 ml من المشعر سلفونات ثنائي فينيل أمين الباريوم 0.04%. ويعاير المحلول أخيراً بثنائي كرومات البوتاسيوم 0.050 N وتحسب كمية اليورانيوم وفق العلاقة:

$$U \text{ (mg/L)} = C (A-B)/V$$

حيث A: حجم ثنائي الكرومات المضافة.
B: حجم ثنائي الكرومات اللازمة لمعايرة البلانك (الشاهد).

C: كتلة اليورانيوم المكافئة لإضافة 1 ml من ثنائي الكرومات، وقد وجد أنها تعادل 0.9591 mgU.
V: حجم العينة ml.

مناقشة النتائج ومجال الطريقة [2, 4, 6]

يبين الجدول التالي مقارنة بين كمية اليورانيوم المقيسة تجريبياً بالطريقة الحجمية وكمية اليورانيوم المعلومة.

وبذلك يمكن تطبيق هذه الطريقة على محاليل عضوية ومائية تحتوي على ما بين: 9 mg-300 mg يورانيوم / 15 ml وبدقة 5% حيث يبين الجدول السابق أن الفرق بين كمية اليورانيوم المقيسة تجريبياً والكمية النظرية هي بحدود 5% تقريباً بغض النظر عن كثير

رقم العينة	كمية اليورانيوم المعلومة		كمية اليورانيوم المقيسة تجريبياً			وسطي القياس	الفرق
	غ/ل	مغ/15ml	قياس أول	قياس ثاني	قياس ثابت	مغ/15ml	غ/ل
1	0.667	10.00	10.02	10.03	10.30	10.17	0.012
2	3.333	50.0	50.71	51.00	50.80	50.80	0.053
3	6.666	100.0	103.00	105.00	103.50	103.80	0.253
4	10.00	150.0	151.00	158.00	152.00	153.70	0.247
5	13.33	200.0	206.20	207.00	206.00	206.40	0.427
6	16.667	250.00	260.00	257.00	258.30	258.30	0.553

Chemistry of Nuclear Fuels.
[7] O. Suschny IAEA (1972). Introduction to the Problems of Uranium Analyses.

[8] Duoglas A. Skog. Dounald W. West CBS Colege Publishing P. 156. Fundamentals of Analytical Chemistry.

Key Words

الكلمات المفتاح

- 1- volumetric titration. المعايرة الحجمية
- 2- DEHPA/TOPO. المذيب DEHPA/TOPO
- 3- Syrian phosphoric acid. حمض الفوسفور السوري
- 4- uranium extraction. استخلاص اليورانيوم
- 5- liquid-liquid extraction. استخلاص سائل - سائل
- 6- uranium determination. تعيين اليورانيوم

مستقبلات عوامل النمو كمستهدفات للمعالجة بالأضداد*

محمد عادل باكير

قسم البيولوجيا والصحة الإشعاعية - هيئة الطاقة الذرية السورية - دمشق - ص ب 6091

ج . دين - ج . ستايلس - م . فاليري - ه . موجتهدي - ج . بايتش - س . اكلز
قسم الفيزياء وشعبة علم المناعة - معهد الأبحاث السرطانية ومشفى مارسدن الملكية -
ستون - سري - المملكة المتحدة

ملخص

تقدم ورقة البحث هذه وصفاً لتحضير الأضداد وحيدة النسيلة (mAbs) الموجهة ضد منتجات المورثة مولدة الورم c-erbB-2 المتجسدة على السلالة الخلوية لسرطان الثدي BT474 واستخدام واحد من هذه الأضداد (ICR12) في التوضع النوعي لأورام الطعوم المغايرة (xenografts) التي تبدي فرطاً في تعبير c-erbB-2 gp¹⁸⁵. ترشح الدراسة الحالية ضد وحيد النسيلة (ICR12) للاستخدام السريري بأمل واعد.

1- مداخل

لقد تم تحديد عدد قليل من المستهدفات targets النوعية للأورام البشرية human tumours بخلاف الأورام المحرصة كيميائياً في القوارض rodent والتي غالباً ما تتركب مستضدات antigens ورمية نوعية. إن الاكتشاف الذي وضح أن مستقبل receptor عامل النمو البشري (EGF) epidermal growth factor ومستقبل المنتجات الخاصة بـ c-erbB-2 و c-erbB-3 تتركب بافراط في الكارسينومات شائكة الخلايا squamous cell carcinoma والأورام الغدية glandular tumours والكارسينومات الغدية adenocarcinomas [1, 2, 3]، أو الكارسينومات [4] على التوالي، يقترح أن الوجوه الخارجية لهذه العائلة من المستقبلات ومستقبلات افتراضية يمكن أن تكون مستهدفات فعالة لأضداد نوعية.

إن منتج المورثة مولدة الورم الابتدائية c-erbB-2 عبارة عن بروتين سكري عبر غشائي بوزن 185 كيلودالتون [5, 6]. وهو عبارة عن نظير البروتين البشري (الإنساني) للمورثة المحمولة neu والتي وجدت في السلالات الخلوية للأورام الجذعية العصبية

neuroblastoma في الجرد المشتقة من أورام محرصة في الرحم بواسطة مركب ethylnitrosourea [7, 8]، والذي يبدي تماثلاً كبيراً لمستقبلات ال EGF.

يحدث عند مرضى سرطان الثدي فرط في تعبير المورثة مولدة الورم c-erbB-2gp¹⁸⁵ بنسبة 15-20% من الأورام [11] ويكون الانذار عند هؤلاء المرضى سيئاً [12, 1] ومن المحتمل أن يكون ذلك ناجماً عن تعنيد (عدم استجابة) هذه الأورام للمعالجة الهرمونية [13] والمعالجة الكيميائية [14]. وإن انخفاض مستويات منتجات تعبير المورثة c-erbB-2 في معظم النسيج السليمة يجعل فرط تعبير إنتاج هذه المورثة مستهدفاً ورمياً نوعياً لقد قمنا بتوليد عدد من الأضداد وحيدة النسيلة (mAbs) مختلفة النمط المتماثل isotype ونوعية لمحددات مستضدية epitope لمستقبلات بشرية ل EGF ضد منتجات المورثة مولدة الورم الابتدائية c-erbB-2 وذلك بقصد استخدامها العلاجي. نقدم فيما يلي وصفاً لتحضير الأضداد وحيدة النسيلة الموجهة ضد منتجات c-erbB-2 المركب من قبل خلايا السلالة الخلوية لسرطان الثدي BT 474. ومن ثم

* نشرت ورقة البحث هذه في مجلة Mutant Oncogenes Targets for Therapy, London, 1993

الأمونوم بنسبة إشباع 45% وتنقى باستخدام تقانة الكروماتوغرافيا التبادلي الأيوني ion-exchange chromatography في الوسط السللوزي DE - 52 (whatman Ltd, Maidstone, Kent) كما وصفت سابقاً [16]. أما أضداد IgA فتعزل من رشاحة المزعة الخلوية باستخدام كروماتوغرافيا الألفة affinity chromatography في وسط من Sepharose المرتبط مع أضداد محضرة في الماعز للجردان α .

4-2- الترسيب المناعي و Western blotting

يوسم بروتين خلايا السلالة الخلوية MDA MB 361 شعاعياً بالحضن لمدة 16-20 ساعة بوجود ^{35}S -methionine بفعالية إشعاعية قدرها 200 ميكروكوري لكل حبيرة زرع سعة 25 سم². ثم، وبعد الغسل، تستخلص الخلايا في 1 مل من محلول ملحي موقى بالفوسفات (PBS) الحاوي على 1% من methyl sulphonyl و Triton X-100 و 10^{-4} مول من chloride و 0.02% صوديوم ايزايد NaN_3 . بعد ذلك ترسب مناعياً بروتينات نوعية من هذه الخلاصة كما وصف سابقاً [16] باستخدام حبيبات Sepharose (4B) المغطاة إما بضد وحيد النسيلة نقي أو جسم مضاد لضد وحيد النسيلة مرتبط مع F(ab)_2 جرذي (ضد حذف منه الجزء Fc). تحلل البروتينات بطريقة الرحلان الكهربائي SDS-PAGE باستخدام هلام مرجعة بنسبة 6% ثم يجرى عليها تصوير شعاعي ذاتي على فيلم Fuji RX بشاشة ذات تكثيف سريع من التنغستين. ولإجراء طريقة Western blots تستعمل خلاصات غير موسومة شعاعياً وتسير بضد وحيد النسيلة جرذي موسوم باليود - 125.

5-2- تحديد المحدد المستضدي «epitope» الرابط

يوسم كل ضد من الأضداد وحيدة النسيلة باليود - 125 (تم الحصول عليه من Amersham International على شكل يود الصوديوم ^{125}I) بفعالية نوعية حوالي 15 ميكروكوري/مكروغرام. وتحضر معددات لكل واحد من الأضداد غير الموسومة وتختبر قدرتها على تثبيط ارتباط كل من الأضداد الموسومة باليود - 125 مع خلايا MDA MB 361 النامية على شكل طبقة أحادية لمرحلة الاحتشاد في صفائح ذات 96 بئراً من النوع Nunc. وعندما

استخدام واحد من هذه الأضداد وهو ICR12 للتوضع المناعي لأورام الطعوم المغايرة والتي تبدي فرطاً في تعبير c-erbB-2 gp^{185} .

2- المواد والطرائق

1-2- السلالات الخلوية

تم الحصول على السلالات الخلوية لسرطان الثدي MDA MB 361، MDA MB 453، BT 474، MDA MB 468 و MCF-7 والسلالة الخلوية لكارسينوما المبيض SKOV3 والكارسينوما شائكة الخلايا HNS - LON - LICR من قبل الدكتور O'Hare. حفظت هذه السلالات في وسط Dulbecco's modified Eagle's medium (DMEM) المضاف إليه 10% مصل جنين العجل والمضادات الحيوية: بنسيلين، سترتومايسين والنيوميسين.

2-2- تحضير الأضداد وحيدة النسيلة الجرذية

منعت جردان من السلالة CBH/cbi ثلاث مرات عن طريق Péyer's Patches [32] بالسلالة الخلوية لسرطان الثدي BT 474 التي تبدي فرطاً في تعبير المورثة المولدة للورم c-erbB-2، ثم أخذت الخلايا من العقد اللمفاوية المساريقية بعد ثلاثة أيام من التميع الأخير ودمجت fused مع خلايا ورم نقوي myeloma جرذية Y3. Ag 1,2,3 وبعد 7-12 يوماً أجريت اختبارات غربلة screening على الرشاحات الخلوية للأضداد التي ترتبط نوعياً مع منتجات المورثة المولدة للورم الابتدائية c-erbB-2 على خلايا السلالة MDA-MB 361، BT 474 والسلالة الخلوية SKOV3. ثم عزلت الخلايا النغلة (الهجينة) Hybridomas من الآبار التي أبدت تفاعلاً إيجابياً، ثم بعد ذلك تنسيلها لمرتين ثم اختبرت قدرتها على تلوين الأغشية المأخوذة من مقاطع مجمدة لنسيج سرطان ثدي معلوم أنه ينتج بافرط منتجات المورثة c-erbB-2.

3-2- تحديد النمط المتماثل وتنقية الأضداد وحيدة

النسيلة

يتم تحديد النمط المتماثل للأضداد باستخدام مقايسة أسر الضد antibody capture assay [15]. تعزل الأضداد ذات الأنماط IgG_{2a} و IgG_{2b} من سائل الجين أو رشاحة المزارع الخلوية بالترسيب بكبريتات

MDA MB 361 أو SKOV₃ أو HNS بمزيج من 5 ميكروغرام من كل من الضد الموسوم ICR12 أو ALN/11/53 (ضد شاهد من النمط المتماثل وموسوم بنظير مشع مختلف) بفعالية نوعية قدرها 1 ميكروكوري/ميكروغرام. ثم تقتل مجموعات من الفئران يتراوح عددها من 4-6 فئران بعد 24، 48، 120 ساعة بعد الحقن ويجري تحديد الفعالية الإشعاعية في عينات موزونة من الدم والرئتين والكبد والكلية والطحال والأورام. ويعبر عن النتائج كنسبة مئوية للجرعة المحقونة في كل غرام من النسيج (% ID/g) وكمشعر للتوضع (LI, localization index) على النحو التالي:

$$(LI) = \frac{\text{النسبة المئوية لجرعة الضد النوعي المحقونة في كل غرام من النسيج الورمي} / \text{نفس النسبة في الدم}}{\text{النسبة المئوية لجرعة الضد اللا نوعي المحقونة في كل غرام من النسيج الورمي} / \text{نفس النسبة في الدم}}$$

3- النتائج

3-1- إنتاج وانتقاء الأورام الهجينة

لكي نفرق بين الأضداد التي تتعرف على بروتين c-erbB-2 والأضداد التي تتفاعل مع مستضدات أخرى تتوضع على السطح الخلوي للسلاسل الخلوية لسرطان الثدي، تم إجراء اختبارات غربلة على رشاحات المزارع الخلوية للأورام الهجينة وذلك على ثلاثة أنواع من السلالات الخلوية وهي BT 474 و MDA MB 361 و MCF-7 والتي أبدت فرط تعبير كبير أو متوسط أو خفيف في منتجات c-erbB-2 [16, 21]. ومن إجراء سلسلتين من الدمج الخلوي تم تحضير ما مجموعه عشرة أضداد وحيدة النسيلة من منشأ جرذي والتي تتفاعل بشكل نوعي مع الوجه الخارجي لمنتجات المورثة المولدة للورم gp¹⁸⁵ c-erbB-2 (الجدول 1). وباستثناء ضد واحد من الصنف IgA(class) وواحد من تحت الصنف IgG2a (subclass)، كانت جميع الأضداد من النمط المتماثل IgG2a. استطاعت جميع الأضداد الارتباط مع الخلايا الحية ومقاطع مجمدة لنسيج سرطان ثدي بيدي فرطاً في تعبير منتجات c-erbB-2 كما استطاعت أن ترسب نوعياً المكونة gp¹⁸⁵ من الخلايا الموسومة بـ ³⁵S-methionine. كذلك لم يلاحظ

يثبت أن أحد الأضداد يثبط ارتباط ضد آخر بنسبة أكثر من 80% يعتبر هذان الضدان يربطان نفس ال epitope.

2-6- تحديد الفعالية المناعية ودرجة ألفة الضد وحيد النسيلة

تحدد الفعالية المناعية immunoreactivity للأضداد وحيدة النسيلة الموسومة باليود - 125 بطريقة مماثلة لتلك الموصوفة من قبل لندمو وزملائه [17]. يثبت مستضد c-erbB-2 الموجود في المستخلص Triton X-100 للخلايا MDA MB 361 على حبيبات Sepharose 4B المرتبطة مع ضد نوعي. يتم اختيار الضد لتثبيت المستضد بحيث لا يحدث تفاعلات مصالبة مع الضد الموسوم باليود - 125 المراد اختباره ولذي تحدد ارتباطه بعدئذ بوجود كمية مفرطة من المستضد. وتحدد ثوابت التفكك من خلايا اختبار Scatchard plots وذلك من المعطيات الناجمة عن ارتباط الضد الموسوم باليود مع المستضد بوجود كمية مفرطة من الضد. في هذه الحالة يثبت المستضد c-erbB-2 على سطح صفيحات ذات 96 بئراً باستخدام ضد نوعي لل c-erbB-2 لا يتفاعل بصورة مصالبة مع الضد الخاضع للدراسة.

2-7- دراسات التوزيع في 'حي' «in-vivo»

توسم الأضداد وحيدة النسيلة باليود 125 أو اليود - 131 باستخدام ال iodogen [18] وهو مادة تقوم بأكسدة اليود إلى I⁺ وباليود - 124 باستخدام (NBS, N-bromosuccinimide) [19] بفعالية نوعية 1 ميكروكوري/ميكروغرام. ولوسم الضد ICR12 بالانديوم - 111 (¹¹¹In)، يتم أولاً ربط الضد مع مخلب للمعدن metal chelating agent وهو مركب (diethylene triamine pentaacetic) باستخدام bicyclic anhydride (ccDTPA) المقترحة من قبل كريجكاريك [20]. ثم يجري الوسم بعدئذ بـ ¹¹¹In. أما وسم ICR12 بالـ ^{99m}Tc فيجري بعد مفاعلة الضد مع مركب Succinimidyl 5-hydrazinium nicotinate hydrochloride (SHNH) المزود من قبل (Johnson Matthey, West Chester, Pennsylvania, USA).

يجري الحقن الوريدي لمجموعات من الفئران من النوع عديم الغدة التيمية «athymic» الحاملة تحت الجلد وعلى الجانبين لأورام السلالات الخلوية

الجدول 1- الأضداد وحيدة النسيلة الجردية المضادة لبروتين المورثة المولدة للورم c-erbB-2.

mAb	النمط المتماثل	المحددات المستضدية					تلون المقاطع البارافينية	W-blots p185
		A	B	C	D	E		
ICR12	IgG2a	+					+	+
ICR13	IgG2a		+				-	-
ICR17	IgA		+				-	-
ICR27	IgG2a		+				-	+
ICR50	IgG2a		+				-	-
ICR51	IgG2a		+				-	-
ICR52	IgG2b			+			-	-
ICR53	IgG2a				+		-	-
ICR54	IgG2a					+	+	+
ICR55	IgG2a					+	+	+

بسبب درجة ألفته الكبيرة high affinity وقدرها 2.0×10^{10} لتر/مول¹ وفعاليته المناعية الثابتة والتي تجاوزت 75% بعد الوسم بعدد من النكليدات المشعة. وأظهرت نتائج التلوين الكيميائي الخلوي المناعي immunocyto chemical staining لنسيج ثدي طبيعي والأورام التي تبدي فرطاً في تعبير منتجات المورثة المولدة للورم c-erbB-2 عدم وجود أي تفاعل بين هذا الضد ونسيج الثدي الطبيعي بما في ذلك النسيج القريبة من مناطق الورم. أشارت تلك النتائج إلى احتمال الفائدة الكبيرة في استخدام هذا الضد كعامل تصوير ومضاني مشع في سرطان الثدي (RIS, radioimmunoscentigraphy) وكذلك فلان إمكانية استخدامه في تلوين النسيج المثبتة بالفورمالين والمغمورة بالبارافين أضافت فائدة أخرى في القيام بدراسة راجعة في المرضى المصابين بسرطان ناكس.

4-3 دراسات التوزع في الحي in-vivo

لتقييم ملائمة الضد ICR12 في الكشف عن مواضع الأورام، تمّ وسمه باليود المشع باستخدام مولديود iodogen، تبع ذلك اختباره من حيث ملائمة للتخزين. دلت النتائج على أن الضد ICR12 الموسوم باليود المشع ثابت بصورة كبيرة في محلول PBS بدرجة حرارة قدرها 4 درجات مئوية. ولدى حضنه في البلاسما لمدة 6 أيام وبدرجة حرارة قدرها 37 درجة مئوية. كان مقدار انفكاك النظير المشع الواسم أقل من 5%.

ارتباط أي من الأضداد أكثر من الخلفي background مع خلايا السلالة الخلوية للكارسينوما شائكة الخلايا من منشأ بشري HN5 والتي تبدي فرطاً في تعبير مستقبل EGF ولا تبدي نتاج المورثة المولدة للورم c-erbB-2. نستخلص من ذلك أن أضداد منتجات المورثة المولدة للورم c-erbB-2 لا تحدث تفاعلات مصالبة مع مستقبلات EGF بالرغم من أن 43% تماثل في التتالي المورثي الخاص بالوجه الخارجي لها.

2-3 الأضداد وحيدة النسيلة التي تميز خمس محددات مستضدية مختلفة

أكدت تجارب المقايسة المناعية المشعة التنافسية أن الأضداد ترتبط مع واحد من خمس محددات مستضدية متميزة على الوجه الخارجي للـ gp¹⁸⁵ المنتجة من السلالات الخلوية BT 474 أو MDA MB 361 أو SKOV3 (الجدول 1). أعطت ثلاثة من الأضداد وهي ICR12 (يميز المحددة المستضدية A) و ICR53 و ICR55 (يميزان المحددة المستضدية E) نتيجة تلوين غشائي إيجابي لنسج مأخوذة من أورام تبدي فرطاً في تعبير المورثة المولدة للورم c-erbB-2 ومثبتة بالفورمول والمصل الفيزيولوجي والمغمورة بالبارافين، كما لونت بروتين وزنه 185 كيلودالتون في اختبار Western blots

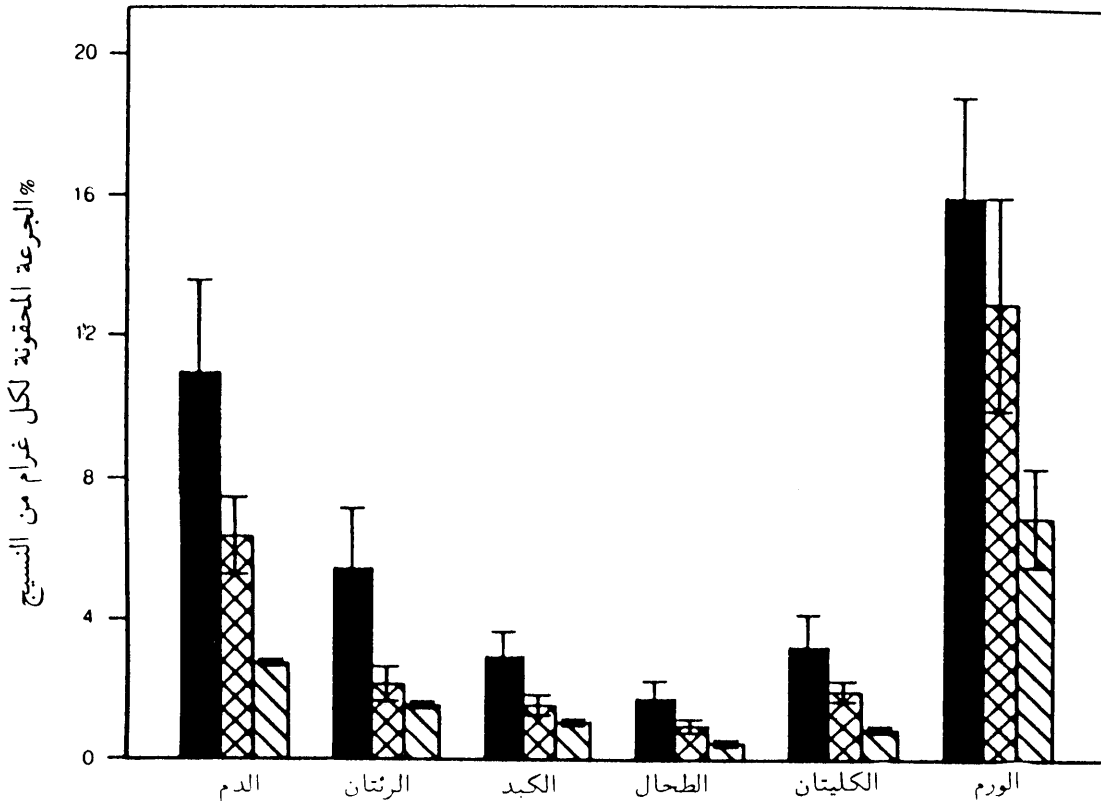
3-3 الضد ICR12

تم اختيار الضد ICR12 من السلسلة الأولى من الأضداد وحيدة النسيلة لإجراء دراسات أخرى وذلك

تم الحصول على توزيع ورمي نوعي جيد عندما حقن ^{125}I -ICR12 في الفئران عديمة التيموس الحاملة لطعوم ورمية مغايرة لكارسينوما المبيض SKOV3 والتي تبدي فرطاً في تعبير منتجات c-erbB-2 ومستقبلات EGF. وعند إجراء دراسة مماثلة باستخدام فئران عديمة التيموس حاملة طعوم ورمية مغايرة لكارسينوما شائكة الخلايا البشرية HN5 والتي تبدي فرطاً في تعبير مستقبلات EGF بدون فرط في تعبير c-erbB-2 كان قبط الورم للضد ICR12 مماثلاً للضد الشاهد ALN/11/53 وأقل من 4% من الجرعة المحقونة لكل غرام من النسيج في جميع النقاط الزمنية المدروسة (الجدول 2).

وتم الحصول على توزيع ورمي نوعي جيد عندما وسم الضد ICR12 بالاندنيوم ^{111}In و $^{99\text{m}}\text{Tc}$ باستخدام عوامل رابطة مخملبة chelate conjugate (الجدول 2). ومهما يكن من أمر، فقد لوحظت زيادة كبيرة في القبط في الكبد ولأو الكليتين (8-10%)

لاختبار الحركية الصيدلانية pharmacokinetics و لتوزيع الحيوي biodistribution للضد ICR12 في الحي، أجري الحقن الوريدي للفئران عديمة التيموس الحاملة لطعوم ورمية مغايرة MDA MB 361 بمزيج من ICR12 الموسوم باليود-125 والضد المصالب ALN/11/53 من نمط مماثل وذلك كشاهد. ثم تقتل الحيوانات بعد 24، 48، 120 ساعة بعد الحقن ويحدد التوزيع النسبي لكل من الضدين في الدم والنسج الأخرى. أظهرت النتائج أنه بينما كانت مستويات الضدين في النسيج الطبيعي متماثلة في جميع الأزمنة التي اختبر التوزيع فيها، أعطى الضد ICR12 نسبة توزيع كبيرة ومستمرة في أورام MDA MB 361 (الشكل 1) والتي تبدي فرطاً في تعبير المورثة المولدة لبورم c-erbB-2. كان قبط الضد الشاهد من قبل الأورام أقل من 4% من الجرعة المحقونة لكل غرام من النسيج (% ID/g) بعد 24 ساعة وانخفضت هذه النسبة إلى أقل من 2% بعد 120 ساعة.



الشكل 1- التوزيع الحيوي للضد ICR12 الموسوم باليود 125 في الفئران الحاملة لطعوم ورمية مغايرة لسرطان ثدي بشري MDA MB-361.

■ 24h, ▨ 48h, ▩ 120h

الجدول 2- توضع الضد ICR12 في الطعوم الورمية المغايرة .

نظير	الضد وحيد النسيلة	ورم	القبط (Mean %ID/g \pm s.d.)	
			24 h	48 h
I-125	ICR12	MDA MB 361	16.0 \pm 2.8	13.0 \pm 3.0
I-131	"	"	16.3 \pm 4.9	12.3 \pm 2.4
I-124	"	"	12.6 \pm 2.1	10.4 \pm 2.7
Tc-99	"	"	15.5 \pm 3.5	n.d.
In-111	"	"	14.8 \pm 2.1	17.0 \pm 2.8
I-125	"	SKOV 3	12.2 \pm 3.4	13.2 \pm 2.2
I-131	"	"	13.6 \pm 2.9	10.6 \pm 1.8
Various	ALN/11/53	متنوعة	3.9 \pm 0.7	2.2 \pm 0.8

n.d. = غير معينة

هو الحال في مستقبل EGF، أن يكون تثبيط ارتباط المرتبط Ligand شرطاً لتثبيط النمو ينتظر عزل مرتبطات من المفترض وجودها (putative ligands) لمستقبلات c-erbB-2 وإظهار هذا التأثير .

يوجد اهتمام سريري بالغ في الدور الذي تلعبه المورثة c-erbB-2 في سرطانات الثدي والمبيض . عقب التقارير المقدمة من مجموعة Slamon والتي أفادت أن تضخم هذه المورثة يمكن أن يرتبط مع سوء الانذار [1, 23]، قام عدد آخر من مجموعة العمل باثبات نسبة الحدوث العالية لتضخم هذه المورثة [24, 2, 3, 25] وفرض تعبير منتجاتها في سرطان الثدي [5, 26, 11, 27, 28, 12, 29] . دلّ عدد من هذه الدراسات أيضاً على وجود علاقة بين تضخم المورثة وسوء الانذار .

إن المستويات المنخفضة لتعبير المورثة c-erbB-2 على أنسجة الإنسان الكهل السوي [30] وارتفاع مستوياتها على بعض أنواع السرطانات الغدية (الأدينوكارسينومات) يقترح أن الوجه الخارجي لنتاج المورثة المولدة للورم هذه يمكن أن يكون مناسباً للاستهداف بالأضداد والمعالجة . إن نتائج الدراسة الحالية باستخدام الضد الجرذي ICR12 تقترح أن هذا الضد يعتبر مرشحاً واعداً للاستخدام السريري . أيضاً، إن احتمال استخدام هذا الضد موسوماً باليود-124 إجراء ملفت للنظر وذلك بسبب الحساسية sensitivity وقوة الفصل resolution العاليتين للتصوير المقطعي ذي الاصدار البوزتروني (PET, positron

و 5-17%)، من الجرعة المحقونة بكل غرام من النسيج على التوالي مقارنة مع الضد الموسوم باليود المشع (3-4%) في كلا النسيجين . يتفق هذا مع ما وجدته باحثون آخرون استخدموا عوامل رابطة مماثلة مع أضداد أخرى . وهناك أهمية خاصة في الحصول على نتائج جيدة باستخدام الضد ICR12 الموسوم باليود-124 (الجدول 2) والذي يتفكك بالاصدار البوزتروني positron emitter حيث تم الحصول على قبض ورمي كبير مع مستويات قبض منخفضة في النسيج الطبيعية .

4- المناقشة

لقد قمنا بتحضير أضداد وحيدة النسيلة مضادة لحمس محددات مستضدية متميزة على الوجه الخارجي للبروتين السكري عبر الغشائي الناتج عن المورثة المولدة للورم الابتدائية c-erbB-2 . لم يلاحظ أي تفاعل مصالب بين أي من هذه الأضداد ومستقبل EGF ذي الصلة القريبة بالرغم من تماثلها بنسبة 45% . ومن الجدير بالذكر أنه لم يستطيع أي من هذه الأضداد تثبيط نمو الخلايا الورمية (في الزجاج in-vitro) التي تبدي فرطاً في تعبير نتاج المورثة المولدة للورم c-erbB2 (المعطيات غير معروضة) . وتعارض هذه النتائج مع ما تميزت به مجموعة من الأضداد الجرذية التي قمنا بتحضيرها مضادة لمستقبلات EGF حيث أدت إلى تثبيط كبير في النمو وما ذكر في تقارير أخرى لباحثين قاموا بتحضير أضداد وحيدة النسيلة فأرية مضادة لمنتجات c-erbB-2 المتجسدة على خلايا 3T3 [22] . ومن المحتمل ، كما

REFERENCES

المراجع

- [1] Slamon, D. J. Clark, G. M., Wong, S. G., levin, W. J., Ullrich, A. and McGuire, W. L. (1987) Human breast cancer: correlation of relapse and survival with amplification of the HER-2 neu oncogene. *Science*, **235**, 177-182.
- [2] Van de Vijver, M. J., Van de Bersselaar, R., Devilee, P., Peterse, J. L. and Nusse, R. (1987) Amplification of the *neu* (*c-erbB-2*) oncogene in human mammary tumours is relatively frequent and often accompanied by amplification of the linked *c-erbA* oncogene. *Mol Cell Biol.*, **7**, 2019-2023.
- [3] Venter, D. J. Tuzi, N. L., Kumar. S. and Gullick, W. J. (1987) Overexpression of the *c-erbB-2* onco-protein in human breast carcinomas: immuno-histological assessment correlates with gene amplification. *Lancet*, **ii**, 69-72.
- [4] Kraus, M. H., Issing, W., Miki, T., Popescu, N. C. and Aaronson, S. A. (1989) Isolation and characterization of ERBB3, a third member of the ERBB/epidermal growth factor receptor family: evidence for overexpression in a subset of human mammary tumours. *Proc. Natl Acad Sci. USA*, **86**, 9193-9197.
- [5] Cullick, W. J., Berger, M. S. Bennett, P. L. P. Rothbard, J. G. and Waterfield, M. D. (1987) Expression of the *c-erbB-2* protein in normal and transformed cells. *Int. J. Cancer*, **40**, 246-254.
- [6] Akiyama, T., Sudo, C., Ogawara, M., Toyoshima, K. and Yamamoto, T. (1986) The product of the *c-erbB-2* gene: a 185-kilodalton glycoprotein with tyrosine kinase activity. *Science*, **232**, 1644-1646.
- [7] Bargmann, C. I., Hung, M.-C. and Weinberg, R. A. (1986) The *neu* oncogene encodes an epidermal-growth-factor-related protein. *Nature* (Lond.), **319**, 226-230.
- [8] Schechter, A. L., Stern, D. F., Vaidyanathan, L., et al. (1984) The *neu* oncogene; a *c-erbB*-related gene encoding a 185 000-M, tumour antigen *Nature* (Lond.), **312**, 513-516.
- [9] Yamamoto, T., Ikawa, S., Akiyama, T. et al. (1986) Similarity of the proteins encoded by the *c-erbB-2* gene to epidermal growth factor receptor. *Nature* (Lond), **319**, 230-234.
- [10] Schechter, A. L., Hung, M. C., Vaidyanathan, L. et al. (1985) The *neu* gene. an *erbB*-homologous gene distinct from and unlinked to the gene encoding the ECF receptor *Science*, **229** - 976-978.
- [11] Gusterson, B. A., Machin, L. G., Gullick, W. J. et al. (1988) *c-erbB-2* expression in benign and malignant disease. *Br. J. Cancer*, **58**, 453-457.
- [12] Anbazhagan, R., Gelber, R. D., Bettelheim, R., Goldhirsch, A. and Gusterson, B. A. (1991) Association of *c-erbB-2* expression and S-phase fraction in the prognosis of node positive breast cancer. *Ann. Oncol.* **2**, 47-53.
- [13] Ro, J., El-Naggar, A., Ro, J. Y. et al. (1989) *c-erbB-2* amplification in node negative breast cancer: a positive relation with nuclear aplasia and DNA aneuploidy. A possible prognostic factor. *Lab. Invest.*, **60**, 70A.
- [14] De potter, C. R., Beghin, C., Makar, A. P., Vanderckhove, D. and Roels, H. J. (1990) The *neu*- oncogene protein as a predictiv factor for haematogenous metastases in breast cancer patients. *Int. J. Cancer*, **45**, 55-58.
- [15] Rose, M. E., Peppard, J. V. and Hobbs, S. M. (1984) Coccidiosis: characterisation of antibody response to infection with *Eimeria nieschulzi*. *Parasite Immunol.*, **6**, 1-12.
- [16] Styles, J. M., Harrison, S., Gusterson, B. A. and Dean, C. J. (1990) Rat monoclonal antibodies to the external domain of the *c-erbB-2* proto-oncogene. *Int. J. Cancer*, **45**, 320-324.
- [17] Lindmo, T., Boven, E., Cuttitta, F., Fedorko, J. and Bunn, Jr, P. A. (1984) Determination of the immunoreactive fraction of radiolabelled monoclonal antibodies by linear extrapolation to binding at infinite antigen excess. *J. Immunol. Methods*, **72**, 77-89.
- [18] Fraker, P. J. and Speck, J. C. (1978) Protein and cell membrane iodinations with a sparingly soluble chloramide 1,3,4, 4-tetra chloro-3-6- emission tomography) الومضاني الغامي التقليدية والقدرة كذلك على إجراء عدد كمي quantitation لتوزع النظير المشع في الحي. وبالواقع فإنه باستخدام ^{124}I -ICR12 حصلنا على مسح scans باستخدام PET بقوة فصل كبيرة لفئران nude mice حاملة لطعوم ورمية بشرية مغايرة، وتم إجراء عدد كمي للقبســـــط النوعي باستخدام السلالة MDA MB 361 [31]. إن التصوير الشعاعي باستخدام ^{124}I $^{99\text{m}}\text{Tc}$ ICR12 يجري حالياً في مشفى مارسدن الملكية Royal Marsden Hospital في Sutton (المملكة المتحدة) لمرضىات مصابات بسرطان ثدي والذي يبدي فرطاً في تعبير نتاج المورثة *c-erbB-2*.

- diphenylglycouril. *Biochem. Biophys. Res. Comm.*, **80**, 849.
- [19] Reay, P. (1982) Use of bromosuccinimide for the iodination of proteins for radioimmuncassay. *Ann. Clin. Biochem.*, **19**, 129-133.
- [20] Krejcarek, G. E. and Tucker, K. L. (1977) Covalent attachment of chelating groups to macromolecules. *Biochem. Biophys. Res. Comm.*, **77**, 581.
- [21] Kraus, M. H., Popescu, N. C., Amsbaugh, S. C. and Richter-King, C. (1987) Overexpression of the ECF-receptor-related proto-oncogene in human mammary tumour cell lines by different molecular mechanisms. *EMBO J.*, **6**, 605-610.
- [22] Hudziak, R., Lewis, G., Winget, M., Fendly, B., Shepard, M. and Ullrich, A. (1989) p185^{HER2} monoclonal antibody has antiproliferative effects *in vitro* and sensitises human breast tumour cells to tumour necrosis factor. *Mol. Cell Biol.*, **9**, 1165-1172.
- [23] Slamon, D. J., Godolphin, W., Jones, L. A. *et al.* (1989) Studies of the HER-2/*neu* proto-oncogene in human breast and ovarian cancer. *Science*, **244**, 707-712.
- [24] Varley, J. M., Swallow, J. E., Brammar, W. J., Whittaker, J. L. and Walker, R. (1987) Alter-ations to either *c-erbB-2 (neu)* or *C-myc* proto-oncogenes in breast carcinomas correlate with poor short-term prognosis. *Oncogene*, **1**, 423-430.
- [25] Zhou, D., Battifora, H., Yokota, J., Yamamoto, T. and Kline, M. J. (1987) Association of multiple copies of the *c-erbB-2* oncogene with spread of breast cancer. *Cancer. Res.*, **47**, 6123-6125.
- [26] Gusterson, B. A., Cullick, W. J., Venter, D. J. *et al.* (1987) Immunohistochemical localisation of *c-erbB-2* in human breast carcinomas. *Mol. Cell Probes*, **1**, 383-391.
- [27] Berger, M. S., Gottfried, W. L., Saurer, S. *et al.* (1988) Correlation of *c-erbB-2* gene amplification and protein expression in human breast carcinoma with nodal status and nuclear grading. *Cancer Res.*, **48**, 1238-1243.
- [28] Paik, S., Hazan, R., Fisher, E. R. *et al.* (1990) Pathologic findings from the national surgical adjuvant breast and bowel project: prognostic significance of *erbB-2* protein overexpression in primary breast cancer. *J. Clin. Oncol.*, **3**, 103-112.
- [29] Machin, L., Ashley, S., Dean, C. *et al.* (1991) Immunohistochemical distribution of *c-erbB-2*-like immunoreactivity in tissues-biological and clinical significance with particular reference to breast cancer. *Diagn. Oncol.*, **1**, 209-217.
- [30] Natali, P., Nicotra, M., Venturo, I., Slamon, D., Fendly, B. and Ulrich, A. (1990) Expression of the p185 encoded by HER2 oncogene in normal and transformed human tissues. *Int. J. Cancer*, **45**, 457-41.
- [31] Bakir, M. A., Babich, J. W., Styles, J. M., Dean, C. J., Eccles, S. A. and Lambrecht, R. M. (1990) Iodine-124-labelled-ICR12, a new monoclonal antibody for imaging proto-oncogene expression in breast cancer using PET: optimisation of labelling efficiency and immunoreactivity. *J. Nucl. Med.*, **31**, 777.
- [32] Dean, C. J., Styles, J. M., Gyure, L. A. *et al.* (1984) The production of hybridomas from the gut associated lymphoid tissue of tumour-bearing rats. I. Mesenteric nodes as a source of IgG-producing cells. *Clin. Exp. Immunol.*, **57**, 358-364.

Key Words

الكلمات المفتاح

- 1- monoclonal antibodies (mAbs) أضداد وحيدة النسيلة
- 2- oncogene المورثة مولدة الورم
- 3- growth factor receptors مستقبلات عوامل النمو
- 4- xenografts الطعوم المغايرة
- 5- immunolocalisation. التوضع المناعي
- 6- biodistribution التوزيع الحيوي

کتاب حدیث مختار

يضم هذا الباب عرضاً وتحليلاً لمجموعة كتب هامة صدرت حديثاً

ظلت MBE ، كطريقة فرعية ، معروفة لفترة زمنية طويلة أتاح إنتاج مجموعة من المواضيع التي تقع خارج نطاق أعمال المؤتمرات المباشرة التي لا تغطي في العادة سوى أحدث التطورات التي تهتم الخبراء الذين يعملون في هذا الحقل . إن الكتاب الذي كتبه م . أ . هيرمان M. A. Herman و ه . ستر H. Sitter بعنوان التنضيد بالحزمة الجزيئية: الأسس والوضع الراهن (Springer-Verlag, New York, 1989) والكتاب الآخر لـ ي . كاسبر E. Kasper و ج . س . بين وعنوانه التنضيد بحزمة السيليكون الجزيئية (CRCP, Boca Raton, Fla., 1988) كلاهما يقدمان عرضاً موحداً لهذا الميدان من منظور ممارسيه الأكثر دقة ، ويعالج كتاب ي . ه . باركر E. H. C. Parker وعنوانه: التكنولوجيا وفيزياء التنضيد بالحزمة الجزيئية (Plenum, New York, 1985) بتفصيل أكثر معدات MBE العملية التي باتت تكون جزءاً لا يتجزأ من التقانة . ولكن تساو يحاول أن يتناول بعجالة مسائل التكنولوجيا الخاصة بـ MBE التي يهاها القراء ويركز بدلاً من ذلك على المواد العلمية الحقيقية التي تكمل وتعزز نمو التكنولوجيا . وبفعله هذا ، يكون تساو قد خاطب جمهوراً واسعاً يفوق بكثير تلك المئات من منميين بلورات MBE . والقارئ لم يتزود بنظرة نادرة ومتأمله في عملية نمو MBE فقط ، لكنه مدعو هو أو هي ليتعرف على دورة متميزة شاملة في المواضيع المطروحة في علم الحركة والتحرك الحراري (الترموديناميك) ، مضافاً إليها شروح متأنية حول زمان ومكان استخدام كل طريقة .

ويتخلل التحريك الحراري (الترموديناميك) أغلبية المواضيع التي يعالجها الكتاب ، ويضم الكتاب شرحاً جيداً للأسس التي تحتاجها المعالجات العميقة التي تتبعها . وتتضمن هذه المعالجات استقرار الطور لدى تطبيقه على ترسيب البخار ، ومفاهيم التبخير الملائم وغير الملائم ، ومعالجة ترموديناميكية لتخشين السطح ، وشرحاً مفصلاً بشكل خاص لطريقة تغير التجمعات التي يستفاد منها في معالجة سبائك المجموعتين V-III الثنائية الكاذبة .

1- ماديّات وأساسيات التنضيد بالحزمة الجزيئية

Materials Fundamentals of Molecular Beam Epitaxy*

تأليف: ج . ي . تاو
عرض وتحليل: ج . ب . هاريسون**

إن اكتشاف طريقة التنضيد بالحزمة الجزيئية molecular beam epitaxy (MBE) والتعديلات المتتالية التي طرأت عليها ، والتي تبدو لا حصر لها ، قد رسّخت بعض مجالات فيزياء الحالة الصلبة التجريبية الرائعة التي جرت دراستها في العشرين سنة الماضية . بدءاً من آثار هول الكمومية المتكاملة والجزيئية وحتى النظم ذات الأبعاد الأصغر ، كالأبار الكمومية والأسلاك الكمومية والنقط الكمومية . إن مقدرة طريقة التنضيد بالحزمة الجزيئية MBE على التحكم بنمو بُنى طبقية من أنصاف النواقل بالمقياس الذري قد مكنت الذين يمارسونها من تشكيل البنى المؤلفة من أفلام رقيقة ، تتطلبها تلك التجارب الرائعة بدقة لا مثيل لها . وفي الوقت نفسه ، تمخّض التطور في فيزياء أنصاف النواقل عن عدد من النبائط (الأجهزة) الفريدة المصنوعة من أنصاف النواقل ، نذكر منها الترانزستور ذا الإلكترونات عالية الحركة ، وليزر البئر الكمومي الأمر الذي بوّأ طريقة التنضيد بالحزمة الجزيئية تقانة إنتاج مهمة في النبائط ذات الأداء العالي .

ومع ذلك فإن عمليات التنمية بواسطة MBE بحدّ ذاتها تبقى غامضة بصورة مذهلة وبعيدة المنال حتى عند أولئك الذين اعتادوا بشكل خصوصي على تفاصيل الفيزياء المثيرة التي كشفت عنها تلك البنى . إن كتاب ماديّات وأساسيات في التنضيد بالحزمة الجزيئية الذي كتبه جيفري تساو يزيل عن هذا الحقل المتنامي بسرعة ، كثيراً من الغموض الذي أحاط به . يعرض الكاتب بشكل واضح ومستفيض العناصر المميزة للمواد التي تكمن خلف هذه التقانة المثيرة .

* by Jeffrey Y. Tsao, Academic, San Diego, Calif, 1993

** ج . ب . هاريسون J. P. Harbison - بيلكور - ريدبانك - نيوجيرسي - الولايات المتحدة . - العرض والتحليل عن مجلة Physics Today, October 1993, P. 125
ترجمة دائرة الإعلام والترجمة والنشر - ومراجعة لجنة التحرير - هيئة الطاقة الذرية السورية .

الأولية والنواتج النهائية في تصادم ما . وتحدث تلك التصادمات في أنواع متباينة من التطبيقات في الفيزياء الذرية والكيميائية والجزيئية . ومن الأمثلة على تصادمات إعادة التنظيم عند طاقات حرارية نذكر تفاعلات تحويل ذرة هيدروجين في الغلاف الجوي العلوي . أما عند الطاقات المتوسطة أو النسبوية فتحدث تصادمات إعادة التنظيم في مجال واسع من تصادمات أيون - أيون و أيون - ذرة بدءاً من اندماج الحصر الذاتي إلى تصادمات الأيونات الثقيلة .

يتطلب الوصف النظري لتصادم $A + B \rightarrow C + D$ ، والذي يشتمل إعادة ترتيب إلكترونات (وربما نوى) المتفاعلات الأولية (A و B) في النواتج (C و D) ، حل سؤالين أساسيين: الأول هو كيف نميز ونختار الإحداثيات للهاميلتونين H_{AB} و H_{CD} الخاصين بقناتي المتفاعلات والمنتجات على التوالي؟ والثاني هو هل يُستخدم التمثيل الكمومي أم شبه التقليدي للتابع الموجي للمركب المتشكل خلال التصادم . وتتطلب الإجابة عن هذين السؤالين نظرة فيزيائية ثابتة في الآليات المشاركة في نقل الشحنة بالإضافة إلى دقة تنسجم مع إمكانية التطبيق الحسابية .

وفي السنوات الخمس والعشرين الماضية ، أدى التقدم في هندسة الكمبيوتر وتصميم البرمجيات إلى زيادة كبيرة في فهمنا النظري للخواص الكيميائية الكمومية لتشكيلة واسعة من النظم المعزولة والسائكة والمعتدلة والأيونية . كما صرنا نفهم بشكل أفضل المقاطع العرضية التحريكية للإثارة والتأين وتبادل الشحنة في مثل هذه النظم في الفيزياء الذرية والجزيئية والكيميائية . بيد أن الحاجة قد ظهرت في أدبيات تبادل الشحنة إلى نظرة شاملة تتناول كل النظريات القائمة الكمومية منها ، وشبه التقليدية ، والتقليدية وعلاقاتها المتبادلة والمجالات التي تكون فيها قابلة للتطبيق .

لقد كان تلبية لتلك الحاجة إصدار كتاب «تبادل الشحنة وتصادمات أيون - ذرة» للكاتبين ب . هـ . برانزدين و م . ر . ك . مكدويل في الوقت المناسب . ويُعدّ الكاتبان مرجعين معروفين في نظرية التبعر الذري والجزيئي وقد كانا نشيطين في بحوث تبعر

وهناك فكرة أخرى تتخلل الكتاب تتعلق بالترابط وتأثير الاجهاد . فقد قدم تساو معالجة مستفيضة جداً لحسابات حقل قوة - التكافؤ ، وكيف يمكن تطبيقها على الاجهاد ، كما أن معالجته للسماكة الحرجة والانخلاعات في تضيد طبقات مُجهّدة ينقل الأفكار التقليدية لـ ماثيو Mathews و بليكزلي Blakesley إلى التسعينيات متقدمة بذلك عدة أشواط . إن تحويله لفكرة مخطط التشويه التقليدية لـ هارولد فروست H. Frost و مايك أشبي M. Ashby إلى أداة للتنبؤ بحركات استرخاء الاجهاد كان عملاً في منتهى الروعة .

والكتاب ليس مخصصاً لمطالعة عرضية تسبق وقت النوم . لقد أنجز المؤلف عملاً رائعاً بتلخيصه الأجزاء المادية الأساسية لكل موضوع تمت معالجته ، قبل الشروع بمعالجته الرياضية الشاملة والمفصلة ، بشكل أتاح للقارئ أن يستكشف كل مجال بالعمق الذي يرغب . إن اختتام كل فصل بمجموعة كاملة من المراجع ، ومجموعة شاملة من المسائل جعل الكتاب كتاباً مدرسياً مثالياً يصلح للمتخرجين وغير المتخرجين . وسيجد له مكاناً في مكتبتي لسنوات طويلة قادمة .

تشكر إدارة مجلة عالم الذرة مجلة *Physics Today* للسماح لها بترجمة هذا العرض ونشره .

2- تبادل الشحنة ونظرية تصادمات أيون - ذرة

Charge Exchange and the Theory of Ion-Atom Collisions*

تأليف: ب . هـ . برنزدن و م . ر . ك . مكدويل
عرض وتحليل: إ . ج . مانسكي**

تشمل تصادمات إعادة التنظيم (الترتيب) تحويل أو تبادل جسيمات معتدلة أو مشحونة بين المتفاعلات

* by B. H. Bransden and M. R. C. McDowell, Clarendon (Oxford U. P.), New York, 1992
** إ . ج . مانسكي E. J. Mansky - معهد جورجيا للتكنولوجيا - أتلانتا - جورجيا . - العرض والتحليل عن مجلة *Physics Today*, October 1993, P. 124 . ترجمة دائرية الإعلام والترجمة والنشر - ومراجعة لجنة التحرير - هيئة الطاقة الذرية السورية .

(المتصلة) في تفاعلات تبادل الشحنة . وبينما يحزنني حذف الكثير من مادة الكتاب القديم حول التبعثر التقليدي ، فإن الفهم الأكثر عمقاً الذي عرضه النهج الموحد لـ برانزدرن و ماكديويل هو بالتأكيد إضافة ذات دلالة إلى الأدبيات وستعطي القراء دليلاً لاتباعه في الإجابة عن السؤالين الأساسيين السابقين .

ولكونه كتاباً يليق بـ «سلسلة دراسات الفيزياء العالمية الذي نشرته مطبعة كلارندون» فإن الكتاب الحالي خال من الأخطاء المطبعية . لكن نظراً لارتفاع ثمن الطبعة ذات الغلاف السميك فلنني أفضل إخراجها بغلاف عادي ليستعملها الطلاب الخريجون .

وفي الختام ، فإن كتاب «تبادل الشحنة ونظرية تصادمات ذرة - أيون» سيكون إضافة قيمة لمكتبات النظريين المهتمين بتبعثر الجسيمات الثقيلة وتبعثر الإلكترونات في مجال الفيزياء الذرية والجزيئية .

- تشكر إدارة مجلة عالم الذرة مجلة *Physics Today* للسماح لها بترجمة هذا العرض ونشره .

الأجسام الثقيلة والإلكترونات منذ عام 1950 . وكما أشار المؤلفان في المقدمة ، يمكن اعتبار الكتاب بديلاً عن كتاب «مدخل إلى نظرية تصادمات أيون - ذرة» ، للكاتبين ماكديويل و ج . ب . كولمان J. P. Coleman (نورث هولندا ، نيويورك 1970) الذي كانت نسخه نافذة لعدة سنوات . وقد أصبح المؤلف الأول ، بشرحه الممتاز للتبعثر التقليدي وشبه التقليدي ومعالجته المفصلة للتبعثر الكولوني ، كتاباً تقليدياً ممتازاً . إنه من الكتب المميزة في مكتبتني الخاصة . والكتاب الحاني هو خلف مناسب للعمل السابق وأثر باقي من آثار ماكديويل الذي توفي في 13 / حزيران / 1993 .

إن إحدى نقاط القوة المميزة لكتاب «تبادل الشحنة ونظرية تصادمات ذرة - أيون» هي الشرح الممتاز للأفكار الفيزيائية التي تحرك جمل الإحداثيات المستخدمة في النماذج النظرية لتفاعلات تبادل الشحنة . وهناك نقطة قوية أخرى هي المناقشة المستفيضة لجمل متنوعة من معادلات مقرونة نتجت عن طرق مختلفة تمثل التابع الموجي للجمل . ومن القيم فيه أيضاً المعالجة المفصلة للشروط الحدية في التبعثر الكولوني والدور الذي تلعبه الحالات المستمرة

تذكرة بمحتويات العددين الأخيرين (الحادي والثلاثين والثلاثين)

باب المقالات

في مجال الفيزياء

- 1- التبعثر العميق اللامرن: تجارب على البروتون ورصد التدرج - هـ. كندال - ترجمة الدكتور أدهم السمان - العدد 31.....الصفحة 7
- 2- الخواص الفيزيائية للنواقل الفائقة ذات الدرجات الحرجة T_c العالية - ب. باتلورغ - ترجمة الدكتور محمد قعق - العدد 31.....الصفحة 30
- 3- مغناطيسية الأفلام المعدنية الرقيقة من مرتبة بضعة مستويات ذرية - ب. بوفلان - ك. شاربز - ك. دباس - ج. ب. رونارد - ترجمة الدكتورة سهام طرايشي - العدد 31.....الصفحة 41
- 4- خطوط نييل: رصدها ضوئياً وتطبيقاتها - ج. ملات - أ. تيافيل وآخرون - ترجمة الدكتور أدهم السمان - العدد 32.....الصفحة 7
- 5- سطوح فرمي وسوائل فرمي والنواقل الفائقة عالية درجة الحرارة - و. إ. بكيت - د. ج. سنغ - هـ. كراكوار - ر. إ. كوهن - ترجمة الدكتور فوزي عوض - العدد 32.....الصفحة 54

في مجال الكيمياء

- 1- استعراض شامل عن الفلرين C_{60} - الدكتور عبد الوهاب علاف - هـ. و. كروتو - س - ب. ب. بالم - العدد 32.....الصفحة 19

في المجال الجيولوجي

- 1- الموازنة الإشعاعية للأرض - ر. كندل - إ. فوكارت - ترجمة الدكتور جمال أصفهاني - العدد 31.....الصفحة 49

باب الأخبار المتفرقة

في العدد الحادي والثلاثين

- 1- ما مصدر سبين التكوين؟.....الصفحة 65
- 2- رقم قياسي جديد في النواقل الفائقة.....الصفحة 65
- 3- المغناطيسية الحديدية المضادة في المركب Fe_2SiO_4 الذي أزال الضغط بلورته.....الصفحة 66
- 4- أمواج ثقالية من بدء الكون؟.....الصفحة 66
- 5- مزايا فناء البروتونات المضادة في عمليات التصوير الطبي.....الصفحة 67
- 6- نشر الفوتونات وإعادة تجميعها.....الصفحة 69
- 7- مدى بساطة قتل الجزيئات نفسها.....الصفحة 71
- 8- مزهرية جزيئية تضاهي أفضل المصائد.....الصفحة 72
- 9- هل للحياة بداية بسيطة؟.....الصفحة 74
- 10- مشعر حيوي ينبه الدماغ للإشارات المبكرة للمرض.....الصفحة 76

في العدد الثاني والثلاثين

- 1- جزيء العام.....الصفحة 71
- 2- إلكترون «كرة البوكي» تفضل الخمسات.....الصفحة 72

3- ضوء أسرع من الضوء؟.....	الصفحة 73
4- البرد عامل أساسي في خسارة الأوزون.....	الصفحة 75
5- الطريق إلى الإنجاز الشاري.....	الصفحة 76
6- تطبيقات الأشعة المؤينة في مجال التجهيزات البيولوجية.....	الصفحة 82
7- البلورة العملاقة في قلب الكرة الأرضية.....	الصفحة 83

باب ورقات البحوث (البحوث المتكورة)

في مجال الكيمياء

1- الإظهار بالتلميش الكهركيميائي لشظايا الإنشطار في كواشف الهولي كربونيت نوع توفاك -	
الدكتور إبراهيم عثمان - غسان رجا - محمد الحشري - ر. ه. آير - العدد 31.....	الصفحة 79
2- معالجة النفايات المشعة باستعمال البنتونيت السوري الطبيعي -	
الدكتور جمال أبو جاموس - ترجمة الدكتور غدير زيزفون - العدد 31.....	الصفحة 87
3- استخدام المنبع التروني أمريشيوم 241- بيريليوم المحول في تقدير الكيات الأثر لليورانيوم في بني مختلفة -	
الدكتور إبراهيم عثمان - غسان رجا - محمد الحشري - ر. ه. آير - العدد 32.....	الصفحة 85
4- دراسات طيفية لبروم الثيازيل NSBr - الدكتور عبد الوهاب علاف -	
ج. ي. ماتي - ر. ج. سفولك - ج. د. واتس - العدد 32.....	الصفحة 32

في المجال الزراعي

1- تقصير الساق عند الحصاد يزيد العمر التخزيني للقطر الطازج أكاريكس بايسبورس -	
الدكتور سعيد مجلوني - ر. ب. بيلمان - د. ب. تومسون - ج. ل. ماو - العدد 31.....	الصفحة 95

باب التقارير العلمية

في المجال الزراعي

1- قياس الكفاءة التثبيته للأزوت الجوي في خلطة علفية من البقية والشعير باستخدام ^{15}N -	
الدكتور فواز كرد علي - الدكتور نجم الدين شرابي - العدد 31.....	الصفحة 103
2- الأثر المحتمل لأشعة غاما في تحسين الإنتاجية والباكورية في صنفين من فول الصويا -	
الدكتور محمد مجي معلا - الدكتور نزار مير علي - العدد 32.....	الصفحة 101

باب الكتب الحديثة

في العدد الحادي والثلاثين

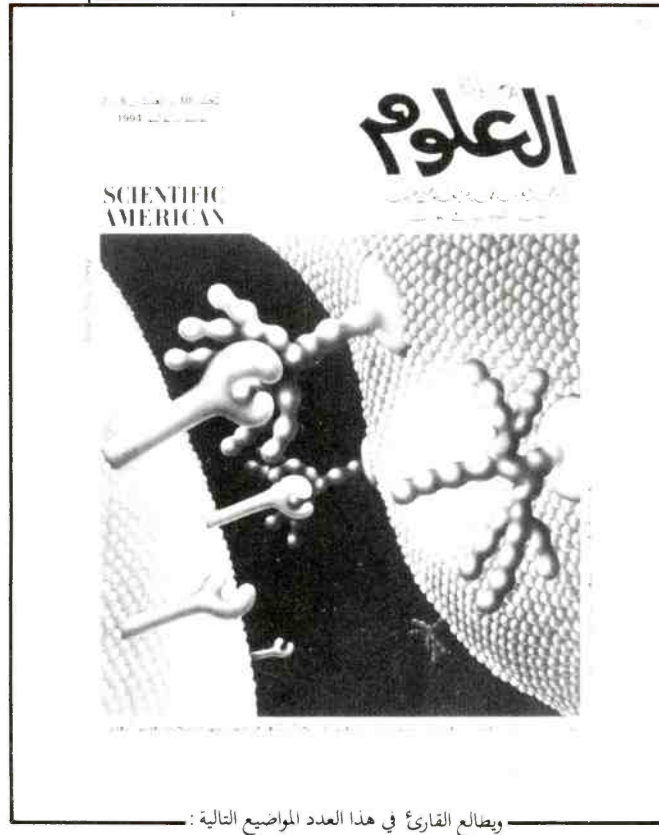
1- علم رديء: الحياة القصيرة والأوقات الصعبة للإندماج البارد..... (تأليف: ك. توبس)	الصفحة 108
(A- عرض وتحليل: ب. بوند)	
(B- عرض وتحليل: ر. م. كروكس)	
2- النظرية الكمومية للحركة: تقوم لتفسير «دي بروي - بوم» السبي..... (تأليف: ب. ر. هولاند)	الصفحة 111
(عرض وتحليل: ش. غولدشتاين)	

في العدد الثاني والثلاثين

1- 'لتعرف على أنصاف النواقل..... (تأليف: م. ي. ليفينشتاين - ج. س. سمين)	الصفحة 105
(عرض وتحليل: ج. ورك)	
2- بلورات سائلة..... (تأليف: س. تشاندرا سيخار)	الصفحة 105
(عرض وتحليل: روزنبلات)	

انتهى الجزء العربي.
يبدأ الجزء الأجنبي من اليسار.

صدر مؤخراً العددان 6 و7 / يونيو -
يوليو / 1994 من مجلة العلوم «الترجمة
العربية لمجلة العلوم الأمريكية».
وإن هيئة تحرير مجلة عالم الذرة، إذ
تعزّز بهذه المجلة تتبنّى لها استمرار النجاح
والتقدم.



- * الجسور مسبقة الصنع * إزالة الرؤوس الحربية النووية * مناخ الأرض يزداد دفئاً
- * سلوك الذرات والفوتونات في التجاويف الصغيرة يتيح استنباط وسائل تحسس جديدة
- * هل تعكس أصوات النسانيس أفكاراً؟ * تحريض الجهاز المناعي على محاربة السرطان
- * معدل تمدد الكون وحجمه * كيف ينظم الأنسولين عمل ناقل الغلوكوز؟
- * مرجل كوندستروپ وانتقال الثقافة من الهند إلى الدانمارك

GROWTH FACTOR RECEPTORS AS TARGETS FOR ANTIBODY THERAPY ★

A. BAKIR,

*Department of Radio-Biology and Health, Atomic Energy Commission of Syria, P.O. Box 6091,
Damascus, Syria.*

C. DEAN, J. STYLES, M. VALERI,

H. MODJTAHEDI, J. W. BABICH,

AND S. ECCLES

*Joint Department of Physics and Section of Immunology, Institute of Cancer Research
and The Royal Marsden Hospital, Sutton, Surrey, United Kingdom.*

ABSTRACT

We describe here the preparation of the mAbs directed against the c-erbB-2 product expressed by the breast carcinoma cell line BT 474 and the use of one of these mAbs (ICR12) to localise specifically xenografts of tumours that overexpress the c-erbB-2 gp¹⁸⁵. The results of the present study with the rat antibody ICR12 suggest that this mAb is a very promising candidate for clinical use.

Key Words

monoclonal antibodies (mAbs), oncogene, growth factor receptors, xenografts, immunolocalisation, biodistribution.

★ This paper appeared in *Mutant Oncogenes Targets for Therapy*, London 1993.

chains, however. Numerical calculations are reported which estimate the spatial extent of a bipolaron which has been stabilized by interchain coupling.

Key Words

trans-polyacetylene, bipolarons, SSH, interchain coupling.

* This paper appeared in *Polymer*, 1990, Vol 31, April.

A SIMPLE METHOD FOR THE RAPID ASSESSMENT OF THE HALF-LIVES OF SHORT-LIVED RADIONUCLIDES *

T. YASSINE and I. OTHMAN

*Department of Radiation Protection & Nuclear Safety,
Syrian Atomic Energy Commission, P.O. Box 6091 Damascus, Syria.*

ABSTRACT

A new method for the assessment of the half lives of short-lived radionuclides is proposed. This method depends on the calculation of half-life using the total counts in two counting periods where the second period includes the first one. The proposed formula for calculation is simple and easy to use especially in the case that the value of the first counting period is equal to half the second.

Key Words

half life, short lived radio nuclides, decay constant, Tc-99m, I-128, Mn-56, Ag-108, Ag-110.

* This paper appeared in *Appl. Radiat. Isot.*, vol. 45, No. 2, pp. 271-273, 1994.

REBORT

DEVELOPMENT OF A VOLUMETRIC ANALYSIS METHOD TO DETERMINE URANIUM IN THE LOADED PHOSPHORIC ACID AND LOADED ORGANIC PHASE (DEHPA-TOPO) *

Y. KOUDSI, H. SHLEWIT

Department of Chemistry, Atomic Energy Commission of Syria, P. O. Box 6091 Damascus, Syria.

ABSTRACT

This volumetric method has been developed to determine loaded uranium in both Syrian phosphoric acid and organic solvent (DEHPA/TOPO).

This developed method is successfully used to control the liquid-liquid uranium extraction from the Syrian phosphoric acid process.

This developed method (previously was used to determine the uranium in solid samples only) is based on: Using an excess of Fe^{2+} in concentrated phosphoric acid and sulphamic acid medium, oxidation of Fe^{2+} by nitric acid using sodium molybdate as a catalyst. Excess present of Fe^{2+} will reduce U^{6+} into U^{4+} . Then Fe^{3+} will be reduced into Fe^{2+} in the presence of U^{4+} after diluting solution by distilled water. And finally both U^{4+} and Fe^{2+} will be titrated by potassium dichromate using barium diphenylamin sulphonate as a detector.

Key Words

volumetric titration, DEHPA/TOPO, Syrian phosphoric acid, uranium extraction, liquid-liquid extraction, uranium determination.

* A report on scientific research carried out at the Department of Chemistry, Atomic Energy Commission of Syria.

commercial apparatus (instruments) have very recently been realised, and designated either to the research, or the industry of thin layers in optics or in microelectronics.

Key Words

reflectivity, X-ray, interface, tunnel effect microscope, structure, liquid crystals, surface tension, layer, surface diffraction.

*This article appeared in *La Recherche*, 244, Vol. 23, Juin 1992. It has been translated into Arabic by Dr. M. Ibrahim, Department of Chemistry, Atomic Energy Commission of Syria.

AALAM AL-ZARRA Journal would like to express its deep appreciation and sincere thanks to *La Recherche* Journal for the permission to translate into Arabic and publish this article.

LA CATASTROPHE DE TCHERNOBYL UN BILAN INATTENDU*

J. C. NENOT

*Ingénieur agronome et directeur de recherche à l'Institut de protection et de sûreté nucléaire (IPSN)
à Fontenayaux-Roses, France*

R. COULON

est chef de service dans le même institut.

ABSTRACT

The reactor n°4 of the nuclear centre of Tchernobyl exploded six years ago. During 10 days, an important group of radioactive products from the centre of the reactor was dissipated in the atmosphere forming a radioactive cloud. The tract of this cloud and its fallout on Europe have been the main head in the press for several months. This unprecedented catastrophe formed the main object for many reassuring reports and official speechlessness or catastrophic rumors. Now, six years after the catastrophe, what are the consequences this accident can have on ecology, agriculture and health? Jean-Claude and Rene Coulon present a clear picture of this accident. If the ecological effects, even near the station, in their way for regression there are some uncertainties, in the medical and health field.

Key Words

Tchernobyl, radionucleotides, radioactivity, radiations, radioactive fallout, ^{137}Cs , ^{131}I , radioactive cloud, catastrophic pathogenes, radio-induced hypothyroid.

*This article appeared in *La Recherche* 246, Vol. 23, Septembre. It has been translated into Arabic by Dr. M. Osman, Department of Biology Atomic Energy Commission of Syria.

AALAM AL-ZARRA Journal would like to express its deep appreciation and sincere thanks to *La Recherche* Journal for the permission to translate into Arabic and publish this article.

PAPERS

STABILIZATION OF BIPOLARONS IN TRANSPOLYACETYLENE BY INTERCHAIN COUPLING*

M. K. SABRA

Department of Physics, Atomic Energy Commission of Syria, P. O. Box 6091 Damascus, Syria.

J. A. BLACKMAN

Department of Physics, University of Reading, Whiteknights, Reading RG6 2AF, UK

ABSTRACT

Bipolarons are unstable on single chains of a degenerate polymer dissociating into free solitons and anti-solitons. Stabilization will occur as a result of electronic coupling between π orbitals on neighbouring

Key Words

oestrous cycle, fertility, follicle stimulating hormone (FSH), fusion, radioimmunoassay, immunization, artificial insemination, biotechnology.

★ This article appeared in *IAEA-SM-318/16, 1991*. It has been translated into Arabic by Dr. M. Zarkawi, Department of Radiation Agriculture, Atomic Energy Commission of Syria.

ARE SUPERCONDUCTORS REALLY SUPERCONDUCTING? ★

David A. Huse

AT&T Bell Laboratories, Murray Hill, New Jersey 07974, USA.

Matthew P. A. Fisher

IBM T. J. Watson Research Center, PO Box 218, Yorktown Heights, New York 10598, USA.

Daniel S. Fisher

Physics Department, Harvard University, Cambridge, Massachusetts 02138, USA

ABSTRACT

The most striking difference between the behaviour of the copper oxide high-temperature superconductors and previous low-temperature type II superconductors is the much more gradual decrease in electrical resistance with temperature in the latter, in the presence of a magnetic field. This raises the question of whether a type II superconductor has strictly zero resistivity, when cooled in a magnetic field. Theoretical and experimental evidence now suggests that as the temperature is lowered, there is a sharp phase transition to a truly superconducting, impurity-dominated phase containing a disordered, frozen arrangement of magnetic flux vortices.

Key Words

coherence length, cooper pairs, long-range order, magnetic penetration length, magnus force, meissner phase, scaling behaviour, spin glass, vortex glass phase, vortex creep.

★ This article appeared in *Nature*, Vol. 358, 13 August 1992. It has been translated into Arabic by Dr. A. Harfoush, Department of Chemistry, Atomic Energy Commission of Syria.

AALAM AL-ZARRA Journal would like to express its deep appreciation and sincere thanks to *Nature* Journal for the permission to translate into Arabic and publish this article.

LA REFLECTIVITÉ DES RAYONS X ★

J. J. BENATTAR

chercheur au service de physique de l'état condensé, au centre d'études de Saclay.

ABSTRACT

The X-rays, a traditional way for studying crystals, are, since few years ago, used to cast a new light on the surfaces and the interfaces. The reflection of X-rays is in reality very sensitive to the structural details and surfaces deformations in scales of some angstroms. The author shows how this method has permitted a certain progress in the comprehension of surfaces of liquids, solids and thin films. That is the basis on which

ABSTRACTS OF THE SUBJECTS PUBLISHED IN THIS ISSUE

ARTICLES

THE ELUSIVE ELECTRON CRYSTAL ★

CHRIS MELLOR

Chris Mellor is a Research Associate in the Physics Department of the University of Nottingham U.K.

ABSTRACT

More than 50 years after it was suggested that electrons could be frozen into a solid, physicists are finding the first evidence that this really happens.

Key Words

electron crystal, Hall effects, Wigner crystal, semiconductors, Heterojunctions.

★ This article appeared in *New Scientist*, 8 August, 1992. It has been translated into Arabic by Dr. I. Khamis, Department of Scientific Services, Atomic Energy Commission of Syria.

- AALAM AL-ZARRA Journal would like to express its deep appreciation and sincere thanks to *New Scientist* Journal for the permission to translate into Arabic and publish this article.

RECENT TECHNIQUES FOR IMPROVING REPRODUCTIVE EFFICIENCY OF LIVESTOCK ★

A.R. PETERS

Hoechst UK Ltd, Walton, Milton Keynes. United Kingdom

ABSTRACT

Radioimmunoassay (RIA) techniques for the measurement of reproductive hormones have been developed over the past two decades. These have contributed enormously to the understanding of reproductive physiology and to the application of fertility programmes in the field. For example, the measurement of progesterone in milk or blood of cows is a widely used technique to monitor ovarian function and to determine fertility parameters, e.g. for pregnancy diagnosis. RIA techniques have also found major application in detailed study of biochemical and physiological mechanisms controlling reproductive processes. For example, the RIA of the gonadotrophin hormones luteinizing hormone (LH) and follicle stimulating hormone (FSH), oestradiol-17 β , progesterone, prostaglandins and more recently inhibin has been a basis for understanding the control of ovarian function. The major biological and management constraints to optimal livestock fertility are ovarian and behavioural anoestrus, failure of pregnancy and suboptimal litter size. The physiological background of these problems is briefly reviewed together with techniques being developed to alleviate their effects.

□GROWTH FACTOR RECEPTORS AS TARGETS FOR A. BAKIR	100
ANTIBODY THERAPY	
	C. DEAN-J. STYLES- M. VALERI-
	M. MODJTAHEDI-
	J. W. BABICH-S. ECCLES

SELECTED NEW BOOKS (Review and analysis).

1- MATERIALS FUNDAMENTALS OF MOLECULAR.....BY J. Y. TSAO	109
BEAM EPITAXY	
	REVIEWED AND ANALYSED
	BY J. P. HABBISON
2- CHARGE EXCHANGE AND THE THEORY OFBY B. H. BRANDSEN.....	110
ION-ATOM COLLISION	
	M. R. C. McDOWELL
	REVIEWED AND ANALYSED
	BY E. J. MANSKY

TITLES OF THE SUBJECTS PUBLISHED IN THE LAST TWO ISSUES	
(The 31th, 32th ones).....	112

ABSTRACTS OF THE SUBJECTS PUBLISHED IN THIS ISSUE IN ENGLISH.....	120
--	------------

AALAM AL-ZARRA

CONTENTS

ARTICLES

(Translated or written by Arab specialists).

-
- THE ELUSIVE ELECTRON CRYSTAL.....C. MELLOR7
- RECENT TECHNIQUES FOR IMPROVING REPRODUCTIVE..... A. R. PETERS.....14
EFFICIENCY OF LIVESTOCK
- ARE SUPERCONDUCTORS REALLY SUPERCONDUCTING?.....D.A. HUSE-M. P. A. FISHER26
D. S. FISHER
- LA REFLECTIVITÉ DES RAYONS X..... J. J. BENATTAR40
- LA CATASTROPHE DE TCHERNOBYL UN BILAN..... J. C. NENOT-R. COULON.....53
INATTENDU
-

NEWS (Mainly collected and translated by the Journal's Editorial Board and the Arab Specialists).

-
- 1- GOT IT!..... *TIME* ★69
- 2- LASER-EXCITED CONFINED BUCKYBALLS EMIT..... *LASER FOCUS WORLD*73
WHITE LIGHT
- 3- HEAT-PROOF PROTEINS.....*NATURE* ★74
- 4- BRINKMANSHIP THREATENS JET.....*NEW SCIENTIST* ★75
- 5- FUSION HOPES HANG ON REFURBISHED JET.....*NEW SCIENTIST* ★77
- 6- TITANIA'S FAIRY LIGHTS..... *THE ECONOMIST*79
- 7- DE L'HYDROGÈNE NOIR?..... *LA RECHERCHE* ★80
- 8- WHY HOT SHEEP NEED SOFT DRINKS..... *NEW SCIENTIST* ★80
- 9- PESTICIDES LINKED TO BREAST CANCER..... *NEW SCIENTIST* ★82
- 10- LOW DOSE SEEN TO HELP HUMAN CELL REPAIR SYSTEM.... *NUCLEAR NEWS* ★83
-

PAPERS (Published worldwide by the Syrian A. E. C. Staff).

-
- STABILIZATION OF BIPOLARONS IN TRANSPOLY- M. K. SABRA87
ACETYLENE BY INTERCHAIN COUPLING J. A. BLACKMAN
- A SIMPLE METHOD FOR THE RAPID ASSESSMENT OF..... T. YASSINE-I. OTHMAN91
THE HALF-LIVES OF SHORT-LIVED RADIONUCLIDES
-

REPORTS (Unpublished works of the Syrian A. E. C. Staff).

-
- DEVELOPMENT OF A BOLOMETRIC ANALYSIS METHOD..... Y. KOUDSI-H. SHLEWIT.....99
TO DETERMINE URANIUM IN THE LOADED PHOSPHORIC
ACID AND LOADED ORGANIC PHASE (DEHPA-TOPO)
-

★AALAM AL-ZARRA Journal would like to express its deep appreciation and sincere thanks to this journal for the permission to translate into Arabic and publish this piece of news.

Notice: Scientific matters and different inquiries; subscriptions, renewals of subscriptions, address changes, advertisements and single copy orders, should be addressed to the journal's address:

Damascus , P.O. Box 6091 Phone 6668114/5, Cable, TAKA, Telex: ATENCO 411420, Fax : 6620317

Subscription rates, including first class postage charges: a) Individuals \$ 30 for one year
b) Establishments \$ 60 for one year
c) For one issue \$ 6

It is preferable to transfer the requested amount to: The Commercial Bank of Syria N°13
P.O. Box 16005 Damascus-Syria
account N°3012/2

Cheques may also be sent directly to the journal's address.

The views expressed in any signed article in this journal do not necessarily represent those of the AEC of Syria, and the commission accepts no responsibility for them.

AALAM AL-ZARRA

A Journal published in Arabic six times a year, by the Atomic Energy Commission of Syria. It aims to disseminate knowledge of Nuclear and Atomic Sciences and of the different Applications of Atomic Energy.

Nº33

9th Year

SEPTEMBER/OCTOBER 1994

Managing Editor

Dr. IBRAHIM OTHMAN
Director General of A.E.C.S.

Editorial Board

Dr. TAWFIK KASSAM The Board Chairman
Dr. MOUSTAFA HAMO-LEILA
Dr. MOHAMMED KA'AKA

Supervision Committee

in the Arabic Alphabetical order

Dr. M. HUSSEINY
Dr. M. HAMO-LEILA
Dr. G. ZAIZAFOUN
Dr. N. ZAIN AL-ABEDEEN
Dr. A. SAMMAN
Dr. Sh. SAFADI
Dr. I. OTHMAN

Dr. A. OSMAN
Dr. T. KASSAM
Dr. M. KA'AKA
Dr. H. KELLAOUI
Dr. A. LOUTFI
Dr. A. Kh. AL-MALEH

Layout and Printing Supervision

J. YACOUB AGHA , H. AL-KHATIB

تعريف بمنشورات هيئة الطاقة الذرية
Internal & External Publications of the AEC of SYRIA

الشكل	منشورات داخلية (غير معدة للبيع)
صفحة أو صفحتان	أ: - النشرة الصحفية اليومية وتتضمن أقوال الصحف والمجلات حول الطاقة الذرية. (إعداد دائرة الإعلام والترجمة والنشر)
كتاب مطبوع على الآلة الكاتبة كُتيب مطبوع كُتيب مطبوع كُتيب مطبوع كُتيب مطبوع كُتيب مطبوع	ب: سلسلة الوقاية والأمان: 1- معايير الأمان الأساسية للوقاية الإشعاعية في الجمهورية العربية السورية. 2- قواعد الفحص والإشراف الطبيين للمتعرضين للإشعاع. 3- تعليمات حول تحضير المواد الصيدلانية المشعة لأغراض التشخيص والمعالجة في المشافي. 4- قواعد التخلص الآمن من النفايات المشعة. 5- قواعد الاستخدام الآمن لأجهزة التصوير الإشعاعي الصناعي. 6- قواعد وشروط إجراءات ترخيص العمل الإشعاعي. (إعداد قسم الوقاية الإشعاعية والأمان النووي)
عدة صفحات صغيرة مطبوعة عدة صفحات صغيرة مطبوعة عدة صفحات صغيرة مطبوعة عدة صفحات صغيرة مطبوعة عدة صفحات صغيرة مطبوعة	ج: نشرات صغيرة: 1- نشرة إعلامية حول الوقاية من الإشعاع. 2- المسؤوليات الأساسية التي تقع على إدارة المنجم أو المطحنة. 3- المسؤوليات الملقاة على عاتق العاملين في المنجم. 4- الرادون والخطوات الواجب اتباعها للمحافظة على صحة أفراد العائلة. 5- منشأة التعقيم بالإشعاع (رادستير). (إعداد قسم الوقاية الإشعاعية والأمان النووي)
كُتيب مطبوع كُتيب مطبوع	د: 1- هيئة الطاقة الذرية في عشر أعوام 1980-1990. 2- لحة تاريخية عن المراحل الأولى من عمر هيئة الطاقة الذرية في الجمهورية العربية السورية. (إعداد إدارة هيئة الطاقة الذرية)
كتاب مطبوع	هـ: - أبنيس: النظام الدولي للمعلومات النووية. (ترجمة المهندسة تغريد عطية)

AALAM AL-ZARRA

(THE WORLD OF THE ATOM)

JOURNAL OF THE ATOMIC ENERGY COMMISSION OF SYRIA



N°33

9th Year

SEPTEMBER/OCTOBER 1994

33